

Formelsammlung Stahlbetonbau – nach DIN EN 1992 (EC2)

letzte Aktualisierung: 25.08.2025

Diese Formelsammlung basiert auf Inhalten aus meinem Studium sowie auf Erfahrungen aus meiner bisherigen beruflichen Praxis.

Sie wurde nach bestem Wissen und Gewissen erstellt, erhebt jedoch keinen Anspruch auf vollständige Richtigkeit oder Vollständigkeit. Die Sammlung dient mir als persönliches Arbeitsmittel, das ich gerne auch anderen Bauingenieurinnen und Bauingenieuren zur Verfügung stelle.

Bei der Anwendung ist stets fachlicher Sachverstand und eine eigenverantwortliche ingenieurtechnische Prüfung erforderlich.

Anmerkungen, Verbesserungsvorschläge usw. an: mail@zimmermann-felix.de

1 Literaturverzeichnis

- [1] Deutsches Institut für Normung, DIN EN 1992-1-1/NA, Berlin: Beuth Verlag, Januar 2011.
- [2] F. Fingerloos, J. Hegger und K. Zilch, Eurocode 2 für Deutschland, Kommerzierte Fassung, Berlin: Ernst & Sohn, Beuth, 2012.
- [3] Skript Hochschule 21, „Platten,“ Sept. 2013. [Online]. Available: http://extra.hs21.de/seiten/goettsche/_private/K11_Platten.pdf. [Zugriff am 19 November 2013].
- [4] Deutsches Institut für Normung, DIN EN 1992-1-1, Berlin: Beuth Verlag, Januar 2011.
- [5] K. Zilch und G. Zehetmaier, Bemessung im konstruktiven Betonbau, München: Springer Verlag, Juni 2009.
- [6] Vorlesungsfolien KIT, Bemessung und Konstruktion von Bauteilen im Stahlbeton, Karlsruhe, WS2013/2014.
- [7] Hochschule für Technik Stuttgart, Skript Stahlbetonbau 2, Stuttgart, SS 2013.
- [8] P. D.-I. R. Baumgart, Skript Massivbau Hochschule Darmstadt, Darmstadt, 2013.
- [9] Schneider, Bautabellen für Ingenieure, 20. Auflage, Köln: Werner Verlag, 2012.
- [10] Wommelsdorf, Stahlbeton, Bemessung und Konstruktion Teil1+2, Werner Verlag, 2011.
- [11] E. Dutulescu, „Zur Ermittlung der Beton- und Stahlspannungen,“ *Beton- und Stahlbetonbau*, pp. 388-400, Mai 2004.
- [12] Deutscher Beton- und Bautechnik- Verein, Beispiele zur Bemessung nach DIN 1045-1 Band 1: Hochbau, Berlin: Ernst u. Sohn, 2005.

2 Grundlagen der Trawerksplanung

2.1 Einwirkungskombinationen (vereinfacht)

1.) Einwirkungskombination im GZT

$$E_d = \gamma_G \cdot G_k + \gamma_Q \cdot Q_{k,1} + \sum [\gamma_Q \cdot \Psi_{0,i} \cdot Q_{k,i}]$$

Ungünstige Wirkung:

$$\gamma_G: [] = 1,35$$

$$\gamma_Q: [] = 1,5$$

Günstige Wirkung:

$$\gamma_G: [] = 1,0$$

$$\gamma_Q: [] = 1,5$$

$\Psi_{0,i}: [] \rightarrow$ siehe Tabelle

2.) Ermittlung der Einwirkungskombination im GZG

Charakteristische Kombination (früher seltene Kombination)

$$p_{d,char} = g_k + q_{1,k} + \sum_{i>1} \Psi_{0,i} \cdot q_{i,k} \text{ [kN/m]}$$

$\Psi_{0,i}: []$ Kombinationsbeiwert; siehe Tabelle 1

Quasi-ständige Kombination

$$p_{d,perm} = g_k + \sum_{i>1} \Psi_{2,i} \cdot q_{i,k} \text{ [kN/m]}$$

$\Psi_{2,i}: []$ Kombinationsbeiwert; siehe Tabelle 1

3.) Tabelle mit Kombinationsbeiwerten – DIN EN 1990/NA

Einwirkung	ψ_0	ψ_1	ψ_2
Nutzlasten im Hochbau (Kategorien siehe EN 1991-1-1) ^a			
— Kategorie A: Wohn- und Aufenthaltsräume	0,7	0,5	0,3
— Kategorie B: Büros	0,7	0,5	0,3
— Kategorie C: Versammlungsräume	0,7	0,7	0,6
— Kategorie D: Verkaufsräume	0,7	0,7	0,6
— Kategorie E: Lagerräume	1,0	0,9	0,8
— Kategorie F: Verkehrsflächen, Fahrzeuglast ≤ 30 kN	0,7	0,7	0,6
— Kategorie G: Verkehrsflächen, $30 \text{ kN} \leq$ Fahrzeuglast ≤ 160 kN	0,7	0,5	0,3
— Kategorie H: Dächer	0	0	0
Schnee- und Eislasten, siehe DIN EN 1991-1-3			
— Orte bis zu NN + 1 000 m	0,5	0,2	0
— Orte über NN + 1 000 m	0,7	0,5	0,2
Windlasten, siehe DIN EN 1991-1-4	0,6	0,2	0
Temperatureinwirkungen (nicht Brand), siehe DIN EN 1991-1-5	0,6	0,5	0
Baugrundsetzungen, siehe DIN EN 1997	1,0	1,0	1,0
Sonstige Einwirkungen ^{b,c}	0,8	0,7	0,5
^a Abminderungsbeiwerte für Nutzlasten in mehrgeschossigen Hochbauten siehe DIN EN 1991-1-1. ^b Flüssigkeitsdruck ist im allgemeinen als eine veränderliche Einwirkung zu behandeln, für die die ψ -Beiwerte standortbedingt festzulegen sind. Flüssigkeitsdruck, dessen Größe durch geometrische Verhältnisse begrenzt ist, darf als eine ständige Einwirkung behandelt werden, wobei alle ψ -Beiwerte gleich 1,0 zu setzen sind. ^c ψ -Beiwerte für Maschinenlasten sind betriebsbedingt festzulegen.			

Tabelle 1: Kombinationsbeiwerte im Hochbau [1]

2.2 Ermittlung der Lasteinwirkung bei Treppen

1.) Eigenlast auf Grundfläche bezogen

Platte: $g_k = \frac{d_{\text{Platte}} \cdot \gamma_{\text{Stb}}}{\cos \alpha} \text{ [kN/m}^2\text{]}$
 Putz: $g_k = \frac{d_{\text{Putz}} \cdot \gamma_{\text{Putz}}}{\cos \alpha} \text{ [kN/m}^2\text{]}$
 Betonstufen: $g_k = \frac{A_{\text{Stufe}}}{x_1} \cdot \gamma_{\text{Beton}} \text{ [kN/m}^2\text{]}$
 Mörtel: $g_k = d_{\text{Mörtel}} \cdot \gamma_{\text{Mörtel}} \cdot \left(1 + \frac{x_2}{x_1}\right) \text{ [kN/m}^2\text{]}$
 Belag: $g_k = d_{\text{Belag}} \cdot \gamma_{\text{Belag}} \cdot \left(\frac{x_4 + x_3}{x_1}\right) \text{ [kN/m}^2\text{]}$

α : [°] Winkel zwischen Horizontaler Ebene und Treppenachse
 d_{Platte} : [m] Dicke der Stahlbetonplatte
 d_{Putz} : [m] Dicke des Putzes
 $d_{\text{Mörtel}}$: [m] Dicke des Mörtels
 d_{Belag} : [m] Dicke des Belages
 γ_{Stb} : [kN/m³] Wichte von Stahlbeton
 γ_{Putz} : [kN/m³] Wichte des Putzes
 γ_{Beton} : [kN/m³] Wichte von unbewehrtem Beton
 $\gamma_{\text{Mörtel}}$: [kN/m³] Wichte des Mörtels
 γ_{Belag} : [kN/m³] Wichte des Belages
 x_1 : [m] Breite der unbewehrten Betonstufe; siehe Abbildung 1
 x_2 : [m] Höhe der unbewehrten Betonstufe; siehe Abbildung 1
 x_3 : [m] Höhe des Setzstufe; siehe Abbildung 1
 x_4 : [m] Breite des horizontalen Belages; siehe Abbildung 1
 A_{Stufe} : [m²] Fläche der Stufe; $A_{\text{Stufe}} = 0,5 \cdot x_1 \cdot x_2$

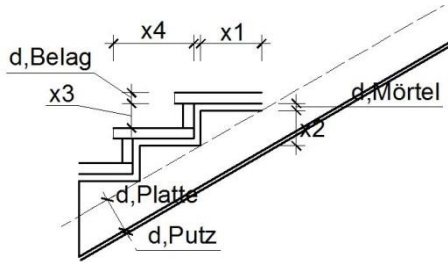


Abbildung 1: Querschnitt einer Stahlbetontreppe

2.) Lasten bezogen auf Stabachse

Eigengewicht: $g_{\perp,k} = \sum g_k \cdot \cos^2(\alpha) \text{ [kN/m}^2\text{]}$
 $g_{\parallel,k} = \sum g_k \cdot \sin(\alpha) \cdot \cos(\alpha) \text{ [kN/m}^2\text{]}$
 Verkehr & Schnee: $q_{\perp,k} = q_k \cdot \cos^2(\alpha) \text{ [kN/m}^2\text{]}$
 $q_{\parallel,k} = q_k \cdot \sin(\alpha) \cdot \cos(\alpha) \text{ [kN/m}^2\text{]}$
 Wind: $w_{\perp,k} = w_k \text{ [kN/m}^2\text{]}$
 $w_{\parallel,k} = 0 \text{ [kN/m}^2\text{]}$

g_k : [kN/m²] Belastung aus Eigengewicht, bezogen auf die Grundfläche; siehe oben

4 Dauerhaftigkeit und Betondeckung

4.1 Ermittlung der Betondeckung

3.) Mindestbetondeckung							
$c_{min} = \max \left\{ \begin{array}{l} c_{min,b} \\ c_{min,dur} + \Delta c_{dur,y} - \Delta c_{dur,st} - \Delta c_{dur,add} \\ 10\text{mm} \end{array} \right.$			$c_{min,b}$: [mm] Mindestbetondeckung aus Verbundanforderungen (i.d.R. \varnothing Stab) $c_{min,dur}$: [mm] Mindestbetondeckung aus Dauerhaftigkeitsanforderung (siehe Tab. unten) $\Delta c_{dur,y}$: [mm] additives Sicherheitselement (siehe Tab. unten) $\Delta c_{dur,st}$: [mm] bei Verwendung von nichtrostendem Stahl (i.d.R. = 0) $\Delta c_{dur,add}$: [mm] bei zusätzlichen Schutzmaßnahmen (grundsätzlich: $\Delta c_{dur,add} = 0$ s. A1:2015-12)				
Bei Mechanischer Exposition Opferbeton zu c_{min} dazu addieren! (XM 1: + 5mm, XM2: + 10mm, XM3: +15mm)							
4.) Nennmaß der Betondeckung							
$c_{nom} = c_{min} + \Delta c_{dev}$ [mm] → aufrunden auf 5 mm → = c_{vl}			Δc_{dev} : [mm] Vorhaltemaß für unplanmäßige Abweichungen durch die Bauausführung. $\Delta c_{dev} = 10$ mm wenn Verbundanforderung ($c_{min,b}$) maßgebend ist. bei Fund. mit Sauberkeitsschicht von $d = 5-10\text{cm}$: $\Delta c_{dev} + 20$ mm s.DIN EN 1992-1-1 4.4.1.3(4) bei Fund. und betonieren gegen Erdrreich: $\Delta c_{dev} + 50$ mm s.DIN EN 1992-1-1 4.4.1.3(4) $\Delta c_{dev} = 15$ mm wenn Dauerhaftigkeitsanforderung ($c_{min,dur}$) maßgebend ist. außer für XC1: $\Delta c_{dev} = 10$ mm bei Fund. mit Sauberkeitsschicht von $d = 5-10\text{cm}$: $\Delta c_{dev} + 20$ mm s.DIN EN 1992-1-1 4.4.1.3(4) bei Fund. und betonieren gegen Erdrreich: $\Delta c_{dev} + 50$ mm s.DIN EN 1992-1-1 4.4.1.3(4) c_{vl} : [mm] Verlegemaß (muss auf Plänen angegeben werden!)				
Exp.	X0	XC1	XC2, XC3	XC4	XD1, XS1	XD2, XS2	XD3, XS3
$c_{min,dur}$	10	10	20	25	30	35	40
$\Delta c_{dur,y}$	0				10	5	0
Hinweis: diese Tab. entspricht der Tab. NA 4.4 bzw. 4.4N							

4.2 Klassifizierung Expositionsklassen

1.) Erdüberschüttete Stahlbetonbauteile unterhalb durchlässigem Fahrbahnbelag
Ohne Abdichtung: Horizontale Oberflächen (Gefälle < 2,5%): XD3 Vertikale Oberflächen & Gefälle $\geq 2,5\%$: XD2 Mit regelgerechter Abdichtung: Alle Oberflächen: XC3 s. Auslegungen zu DIN 1992-1-1 (Stand 04.10.2017)

5 Ermittlung der Schnittgrößen

5.1 Ermittlung der effektiven Stützweite (DIN EN 1992-1-1; 5.3.2.2)

1.) Stütze - Riegel

$$L_{\text{eff}} = L_n + a_1 + a_2 \text{ [m]}$$

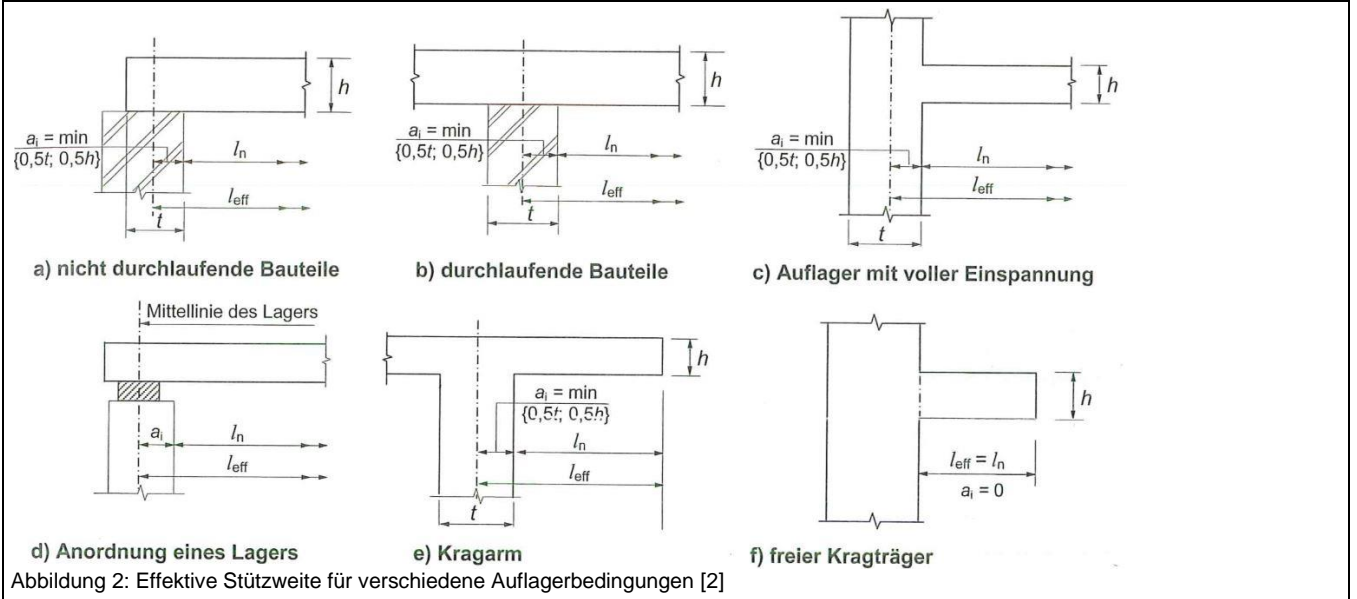


Abbildung 2: Effektive Stützweite für verschiedene Auflagerbedingungen [2]

2.) Stütze - Fundament

Systemlänge der Stütze:

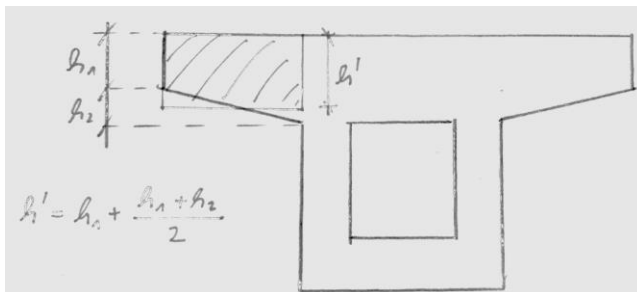
$$L_{\text{eff}} = \min\{0,5 \cdot h_f; 0,5 \cdot c\} + L_n \text{ [m]}$$

h_f : [m] Höhe des Fundamentes

c : [m] Breite der Stütze

L_n : [m] lichte Stützweite

5.2 Ersatzquerschnitte



5.3 Ermittlung der Bemessungsmomente bei zweiachsig gespannten Platten

1.) Pieper Martens Verfahren

Hinweise:

- In die Tafelwerte von Pieper Martens ist eine Randeinspannung von 50% eingearbeitet.
- Die Feldmomente können sofort abgelesen werden.

Anwendungsgrenzen

$$q_d \leq 2 \cdot g_d$$

q_d : [kN/m²] Bemessungswert der Verkehrslast
 g_d : [kN/m²] Bemessungswert des Eigengewichts

Feldmomente

Platten mit voller Drillsteifigkeit:

$$m_{xf} = \frac{(g_d + q_d) \cdot (l_x)^2}{f_x} \quad [\text{kNm/m}]$$

$$m_{yf} = \frac{(g_d + q_d) \cdot (l_x)^2}{f_y} \quad [\text{kNm/m}]$$

Platten ohne volle Drillsteifigkeit:

$$m_{xf} = \frac{(g_d + q_d) \cdot (l_x)^2}{f_{x0}} \quad [\text{kNm/m}]$$

$$m_{yf} = \frac{(g_d + q_d) \cdot (l_x)^2}{f_{y0}} \quad [\text{kNm/m}]$$

m_{xf} : [kNm] Moment um die y-Achse (liefert Bewehrung in x-Richtung)
 m_{yf} : [kNm] Moment um die x-Achse (liefert Bewehrung in y-Richtung)
 l_x : [m] Spannweite in x-Richtung (kürzere Spannweite)

Hinweis: Platten bei denen Abhebekräfte an den Ecken aufgenommen werden können, gelten als drillsteif. Platten die diese Kräfte nicht aufnehmen können als drillweich.

Stützmomente

x-Richtung: (kürzere Spannweite)

$$m_{xs,1} = \left(\frac{(g_d + q_d) \cdot (l_{x,1})^2}{s_x} \right) \quad [\text{kNm/m}]$$

$$m_{xs,2} = \left(\frac{(g_d + q_d) \cdot (l_{x,2})^2}{s_x} \right) \quad [\text{kNm/m}]$$

$$\frac{l_{x1}}{l_{x2}} < 5: m_{xs} = \max \left\{ \begin{array}{l} \frac{1}{2} \cdot (m_{xs,1} + m_{xs,2}) \quad [\text{kNm/m}] \\ 0,75 \cdot \max \{ |m_{xs,1}|; |m_{xs,2}| \} \quad [\text{kNm/m}] \end{array} \right.$$

$$\frac{l_{x1}}{l_{x2}} > 5: m_{xs} = \max \{ |m_{xs,1}| ; |m_{xs,2}| \} \quad [\text{kNm/m}]$$

y-Richtung: (längere Spannweite)

$$m_{ys,1} = \left(\frac{(g_d + q_d) \cdot (l_{x,1})^2}{s_y} \right) \quad [\text{kNm/m}]$$

$$m_{ys,2} = \left(\frac{(g_d + q_d) \cdot (l_{x,2})^2}{s_y} \right) \quad [\text{kNm/m}]$$

$$\frac{l_{y1}}{l_{y2}} < 5: m_{ys} = \max \left\{ \begin{array}{l} \frac{1}{2} \cdot (m_{ys,1} + m_{ys,2}) \quad [\text{kNm/m}] \\ 0,75 \cdot \max \{ |m_{ys,1}|; |m_{ys,2}| \} \quad [\text{kNm/m}] \end{array} \right.$$

$$\frac{l_{y1}}{l_{y2}} > 5: m_{ys} = \max \{ |m_{ys,1}| ; |m_{ys,2}| \} \quad [\text{kNm/m}]$$

Hinweis: Ränder mit Kragplatte können nur dann als eingespannter Rand betrachtet werden, wenn das Kragmoment infolge $g_d \geq 0,5 \cdot$ Stützmoment des angrenzenden Feldes infolge $g_d + q_d$ beträgt. [3]

$l_{x,1}/l_{x,2}$: [] Verhältnis der anschließenden Stützweiten

$l_{x,1}$: [m] Länge des 1. Feldes in x-Richtung

$l_{x,2}$: [m] Länge des 2. Feldes in x-Richtung

$m_{xs,1}$: [] Moment um die y-Achse auf Seite 1 der beiden angrenzenden Felder (liefert Bewehrung in x-Richtung)

$m_{xs,2}$: [] Moment um die y-Achse auf Seite 2 der beiden angrenzenden Felder (liefert Bewehrung in x-Richtung)

$m_{ys,1}$: [] Moment um die x-Achse auf Seite 1 der beiden angrenzenden Felder (liefert Bewehrung in y-Richtung)

$m_{ys,2}$: [] Moment um die x-Achse auf Seite 2 der beiden angrenzenden Felder (liefert Bewehrung in y-Richtung)

2.) Belastungsumordnungsverfahren – mit Czerny-Tafeln

Hinweise

- Mit dem Moment m_{xs} ermittelt man die Bewehrung in x-Richtung.
- die y-Richtung zeigt immer in die Richtung der längeren Plattenseite.
- An einer Stützstelle muss entweder m_{xs} oder m_{ys} berechnet werden.
- (je nachdem wie die Platten m und n aneinander liegen) Das Stützmoment befindet sich zwischen der Platte m und der Platte n
- Die Czernytafeln setzen eine drillsteife Platte voraus.
- Bei der Erstellung der Czernytafeln wurde mit der Querdehnzahl $v = 0$ gerechnet.

m: Mitte
 max: Ort des Maximalwertes
 min: Ort des Minimalwertes
 e: Plattenecke
 er: eingespannter Rand
 erm: eingespannter Rand Mitte
 fr: freier Rand
 frm: freier Rand Mitte
 rm: Rand Mitte

Anwendungsgrenzen für Belastungsumordnungsverfahren:

$$\frac{\min l_x}{\max l_x} \geq 0,75 \wedge \frac{\min l_y}{\max l_y} \geq 0,75$$

Belastungen ermitteln:

Belastung aller Felder

$$f_{1d} = g_d + \frac{q_d}{2} \text{ [KN/m}^2\text{]}$$

g_d : [KN/m²] Belastung aus Eigengewicht.
 $g_d = \gamma_G \cdot g_k$
 q_d : [KN/m²] Belastung aus Verkehrslast.
 $q_d = \gamma_Q \cdot q_k$

Schachbrettartige Belastung mit $q = \pm q/2$

$$f_{2d} = \frac{q_d}{2} \text{ [KN/m}^2\text{]}$$

Maximales Feldmoment

Feldmoment bei vorhandener Randeinspannung und der Belastung f_{1d}

$$m_{xf}^E = f_{1d} \cdot \frac{l_x^2}{TW} \text{ [KNm/m]}$$

$$m_{yf}^E = f_{1d} \cdot \frac{l_x^2}{TW} \text{ [KNm/m]}$$

TW: [] Tafelwert
 l_x : [m] kurze Spannweite
 f_{1d} : [KN/m²] Volllast

Feldmomente bei gelenkigen Rändern und der Belastung f_{2d}

$$m_{xf}^G = f_{2d} \cdot \frac{l_x^2}{TW} \text{ [KNm/m]}$$

$$m_{yf}^G = f_{2d} \cdot \frac{l_x^2}{TW} \text{ [KNm/m]}$$

TW: [] Tafelwert
 l_x : [m] kurze Spannweite
 f_{2d} : [KN/m²] Schachbrettartige Belastung

Endgültiges Feldmoment durch Summenbildung

$$m_{xf} = m_{xf}^E + m_{xf}^G \text{ [KNm/m]}$$

$$m_{yf} = m_{yf}^E + m_{yf}^G \text{ [KNm/m]}$$

Maximales Stützmoment

Stützmoment bei vorhandener Randeinspannung und der Belastung f_{1d} ermitteln.

$$\text{Platte m: } m_{xs}^{Em1} = f_{1d} \cdot \frac{l_x^2}{TW} \text{ [KNm/m] oder } m_{ys}^{Em1} = f_{1d} \cdot \frac{l_x^2}{TW} \text{ [KNm/m]}$$

$$\text{Platte n: } m_{xs}^{En1} = f_{1d} \cdot \frac{l_x^2}{TW} \text{ [KNm/m] oder } m_{ys}^{En1} = f_{1d} \cdot \frac{l_x^2}{TW} \text{ [KNm/m]}$$

TW: [] Tafelwert
 l_x : [m] kurze Spannweite
 f_{1d} : [KN/m²] Volllast

Stützmoment bei einseitiger Randeinspannung und der Belastung f_{2d}

$$\text{Platte m: } m_{xs}^{Em2} = f_{2d} \cdot \frac{l_x^2}{TW} \text{ [KNm/m] oder } m_{ys}^{Em2} = f_{2d} \cdot \frac{l_x^2}{TW} \text{ [KNm/m]}$$

$$\text{Platte n: } m_{xs}^{En2} = f_{2d} \cdot \frac{l_x^2}{TW} \text{ [KNm/m] oder } m_{ys}^{En2} = f_{2d} \cdot \frac{l_x^2}{TW} \text{ [KNm/m]}$$

TW: [] Tafelwert
 l_x : [m] kurze Spannweite
 f_{2d} : [KN/m²] Schachbrettartige Belastung

Hinweis: die 3-seitig gelenkige Lagerung kann angenommen werden, weil in allen Nachbarfeldern eine verminderte Verkehrslast vorhanden ist. (Schachbrettartige Anordnung der Verkehrslast)
 Falls ein an die Platte m oder n angrenzendes Auflager als biegesteif angenommen werden kann, ist dieser Auflagerand nicht als gelenkig zu betrachten.

Endgültiges Stützmoment zwischen der Platte m und n:

$$m_{xs} = \frac{1}{2} \cdot (m_{xs}^{Em1} + m_{xs}^{Em2}) + \frac{1}{2} \cdot (m_{xs}^{En1} + m_{xs}^{En2}) \text{ [KNm/m]}$$

$$\text{oder } m_{ys} = \frac{1}{2} \cdot (m_{ys}^{Em1} + m_{ys}^{Em2}) + \frac{1}{2} \cdot (m_{ys}^{En1} + m_{ys}^{En2}) \text{ [KNm/m]}$$

5.4 Umlagerung – Zweifeldträger mit vereinfachtem Rotationsnachweis

5.5 Überprüfen ob vereinfachter Nachweis zulässig

- $0,5 \leq \frac{L_{\text{eff},1}}{L_{\text{eff},2}} \leq 2,0$
- Vorwiegend auf Biegung beansprucht
- Durchlaufender Balken

$L_{\text{eff}1}$: [m] Stützweite Feld 1
 $L_{\text{eff}2}$: [m] Stützweite Feld 2

5.6 Umlagerungsfaktor

$$\delta = \left(1 - \frac{P}{100}\right) []$$

$$M_{\text{St},\delta} = \delta \cdot M_{\text{St},\text{el}} \text{ [KNm]}$$

P: [%] Größe der Umlagerung
 $M_{\text{St},\text{el}}$: [KNm] elastisches Stützmoment

5.7 Bezogene Druckzonenhöhe

$$\mu_{\text{Ed}} = \frac{M_{\text{St},\delta} \cdot 100}{d^2 \cdot b \cdot f_{\text{cd}}} []$$

$$\zeta = \frac{1 + \sqrt{1 - 2 \cdot \mu_{\text{Ed}}}}{2} []$$

$$\frac{x_u}{d} = \xi = 2,5 \cdot (1 - \zeta)$$

5.8 Nachweis der Umlagerung

Normalduktiler Stahl: Bst 500 S **(A)** ; Bst 500 M **(A)** ;

$$\delta_{\text{lim}} = \max \begin{cases} 0,64 + 0,8 \cdot \xi \\ 0,85 \end{cases}$$

Hochduktiler Stahl: Bst 500

S **(B)** ; Bst 500 M **(B)** ;

Bst 500 S **(C)** ; Bst 500 M **(C)** ;

$$\delta_{\text{lim}} = \max \begin{cases} 0,64 + 0,8 \cdot \xi \\ 0,7 \end{cases}$$

5.9 Nachweis

$$\delta_{\text{vorh.}} \leq \delta_{\text{lim}}$$

Hinweis: wenn NW nicht eingehalten, ist ein genauerer Nachweis erforderlich!

6 Nachweise im Grenzzustand der Tragfähigkeit

6.1 Biegung mit und ohne Normalkraft

6.1.1 k_d-Verfahren

1.) Bemessungsmoment	
$M_{Eds} = M_{Ed} - N_{Ed} \cdot \frac{z_{s1}}{100}$	M_{Ed} : [KNm] N_{Ed} : [KN] vorzeichengerecht! z_{s1} : [cm] Abstand zwischen Schwerpunkt und Zugbewehrung. Bei Rechteckquerschnitt: $d - 0,5 \cdot h$
2.) k_d-Wert	
$k_d = \frac{d}{\sqrt{\frac{M_{Eds}}{b_{eff}}}}$ <p>$k_d >$ Endwert der Tabelle → k_s-Wert ablesen → $A_s = k_s \cdot \frac{M_{Eds}}{d} + \frac{N_{Ed}}{43,5}$</p> <p>$k_d <$ Endwert der Tabelle: → Druckbewehrung erforderlich → weiter mit 3.)</p>	d : [cm] statische Nutzhöhe M_{Eds} : [KNm] b_{eff} : [m] Druckzonenbreite
3.) k_d-Verfahren mit Druckbewehrung	
<p>ξ wählen: - normalerweise ξ = 0,617 - wenn ausreichende Rotationsfähigkeit sichergestellt sein muss → ξ = 0,45</p> <p>aus Tabelle (0,617 oder 0,45) k_{s1} und k_{s2} ablesen</p> <p>mit Hilfe d₂/d die Werte p₁ und p₂ ablesen</p>	
4.) Querschnittsfläche der Druckbewehrung	
$A_{s1} = p_1 \cdot k_{s1} \cdot \frac{M_{Eds}}{d} + \frac{N_{Ed}}{43,5}$ $A_{s2} = p_2 \cdot k_{s2} \cdot \frac{M_{Eds}}{d}$ <p>Wenn $A_{s2} > A_{s1}$ → IAD-Verfahren</p>	
5.) Sonstiges	
Druckzonenhöhe: $x = \xi \cdot d$ [cm]	

6.1.2 IAD- Verfahren:

1.) <u>Ermittlung der Bewehrung</u>	
Eingangswerte	
$v_{Ed} = \frac{N_{Ed}}{b \cdot h \cdot f_{cd}} \quad []$ $\mu_{Ed} = \frac{M_{Ed} \cdot 100}{b \cdot h^2 \cdot f_{cd}} \quad []$ <p>Mit den Werten: d_1/h ; v_{Ed} und $\mu_{Ed} \rightarrow \omega_{tot}$ aus IAD Diagramm ablesen</p>	b: [cm] Querschnittsbreite h: [cm] Querschnittshöhe f_{cd} : [KN/cm ²] Betondruckfestigkeit $= \alpha \cdot \frac{f_{ck}}{1,5}$ (für Normalbeton)
Querschnittsfläche der Bewehrung	
$A_{s,tot} = \omega_{tot} \cdot \frac{b \cdot h \cdot f_{cd}}{f_{yd}}$	
Minimalbewehrung/ Maximalbewehrung	
$A_{s,min} = \frac{0,15 \cdot N_{Ed} }{f_{yd}}$ $A_{s,max} = 0,09 \cdot A_c$ <p>maßgebend ist der größere Wert von $A_{s,tot}$ und $A_{s,min}$ maßgebender Wert darf nicht größer sein als $A_{s,max}$ wenn abzulesender Wert im weißen Bereich liegt ist $A_{s,min}$ maßgebend.</p>	A_c : [cm] $b \cdot h$
Bewehrungsanordnung	
$A_{s1} = A_{s2} = 0,5 \cdot A_{s,tot}$	
2.) <u>Aufnehmbares Moment ermitteln:</u>	
Eingangswerte	
$v_{Ed} = \frac{N_{Ed}}{b \cdot h \cdot f_{cd}}$ $\omega_{tot} = \frac{A_{s,tot}}{b \cdot h} \cdot \frac{f_{yd}}{f_{cd}}$ <p>Mit den Werten: d_1/h ; v_{Ed} ; $\omega_{tot} \rightarrow \mu_{Ed}$ aus IAD Diagramm ablesen</p>	b: [cm] Querschnittsbreite h: [cm] Querschnittshöhe f_{cd} : [KN/cm ²] Betondruckfestigkeit $= \alpha \cdot \frac{f_{ck}}{1,5}$ (für Normalbeton)
Aufnehmbares Moment	
$M_{Ed} = \mu_{Ed} \cdot b \cdot h^2 \cdot f_{cd} \cdot 0,01 \quad [KNm]$	b: [cm] h: [cm] h ist senkrecht zur Symmetrieachse f_{cd} : [KN/cm ²]
3.) <u>Aufnehmbare Normalkräfte ermitteln:</u>	
Eingangswerte	
$\mu_{Ed} = \frac{M_{Ed} \cdot 100}{b \cdot h^2 \cdot f_{cd}} \quad []$ $\omega_{tot} = \frac{A_{s,tot}}{b \cdot h} \cdot \frac{f_{yd}}{f_{cd}} \quad []$ <p>Aus IAD-Diagramm beide v_{Ed} - Werte ablesen</p>	b: [cm] Querschnittsbreite h: [cm] Querschnittshöhe f_{cd} : [KN/cm ²] Betondruckfestigkeit $= \alpha \cdot \frac{f_{ck}}{1,5}$ (für Normalbeton)
Aufnehmbare Normalkräfte	
$N_{Ed1} = v_{Ed1} \cdot b \cdot h \cdot f_{cd} \quad [KN]$ $N_{Ed2} = v_{Ed2} \cdot b \cdot h \cdot f_{cd} \quad [KN]$ <p>Hinweis: N_{Ed1} & N_{Ed2} haben eventuell unterschiedliche Vorzeichen.</p>	b: [cm] Querschnittsbreite h: [cm] Querschnittshöhe f_{cd} : [KN/cm ²] Betondruckfestigkeit $= \alpha \cdot \frac{f_{ck}}{1,5}$ (für Normalbeton)

6.1.3 Hebelgesetz (gering ausmittige Zugkraft)

1.) Innerer Hebelarm	
$z_{s1} = z_{s2} = \frac{h}{2} - d_1$ <p>Hinweis: $z_{s1} = z_{s2} \rightarrow$ Normalfall</p>	
2.) Exzentrizität	
$e = \frac{M_{Ed} \cdot 100}{N_{Ed}} \quad [\text{cm}]$ <p>$e \leq z_{s1} \rightarrow$ geringe/mittlere Ausmitte \rightarrow Hebelgesetz \rightarrow weiter mit $e > z_{s1} \rightarrow$ große Ausmitte \rightarrow k_d-Verfahren</p>	M_{Ed} : [KNm] N_{Ed} : [KN]
3.) Querschnittsfläche der Bewehrung	
$A_{s1} = \frac{N_{Ed}}{f_{yd}} \cdot \frac{z_{s2} + e}{z_{s1} + z_{s2}} \quad [\text{cm}^2]$ $A_{s2} = \frac{N_{Ed}}{f_{yd}} \cdot \frac{z_{s1} - e}{z_{s1} + z_{s2}} \quad [\text{cm}^2]$	N_{Ed} : [KN] f_{yd} : [KN/cm ²] z_{s1} : [cm] z_{s2} : [cm] e : [cm]
4.) Bewehrungskräfte	
$F_{s1d} = \frac{N_{Ed} \cdot (z_{s2} + e)}{z_{s1} + z_{s2}} \quad [\text{KN}]$ $F_{s2d} = \frac{N_{Ed} \cdot (z_{s1} - e)}{z_{s1} + z_{s2}} \quad [\text{KN}]$	N_{Ed} : [KN] f_{yd} : [KN/cm ²] z_{s1} : [cm] z_{s2} : [cm] e : [cm]

6.1.4 Hebelgesetz (keine ausmittige Zugkraft)

1.) Querschnittsfläche der Bewehrung	
$A_{s,tot} = \frac{N_{Ed}}{f_{yd}} \quad [\text{cm}^2]$	N_{Ed} : [KN] f_{yd} : [KN/cm ²]

6.1.5 Mittige Druckkraft ohne Knickgefahr ($M_{Ed} = 0$)

1.) Bewehrung gesucht	
Aufnehmbare Betondruckkraft	
$F_{c,d} = A_c \cdot f_{cd}$ [KN]	A_c : [cm ²] $b \cdot h$ f_{cd} : [KN/cm ²] = $\alpha \cdot \frac{f_{ck}}{1,5}$ (für Normalbeton)
Kraft die Bewehrung aufnehmen muss	
$F_{s,d} = N_{Ed} - F_{c,d}$ [KN] Wenn $F_{c,d} > N_{Ed} \rightarrow$ siehe 0	N_{Ed} : [KN] $F_{c,d}$: [KN]
Querschnittsfläche der Bewehrung	
$\kappa = \left(1 - \frac{f_{c,d}}{f_{y,d}}\right)$ $A_s = \frac{F_{s,d}}{\kappa \cdot f_{y,d}}$ [cm ²]	$F_{s,d}$: [KN] $f_{y,d}$: [KN/cm ²]
Mindestbewehrung (wenn $F_{c,d} > N_{Ed}$)	
$A_{s,min} = \frac{0,15 \cdot N_{Ed} }{f_{y,d}}$ [cm ²]	
2.) Aufnehmbare Kraft gesucht	
Aufnehmbare Kraft	
$N_{Ed} = A_{cn} \cdot f_{cd} + A_s \cdot f_{y,d}$ [KN]	A_{cn} : [cm ²] $A_c - A_s$ A_c : [cm ²] $b \cdot h$ f_{cd} : [KN/cm ²] = $\alpha \cdot \frac{f_{ck}}{1,5}$ (für Normalbeton) $f_{y,d}$: [KN/cm ²] = $\frac{f_{yk}}{\gamma_s} \rightarrow 43,5$ für Bst 500

6.1.6 Biegebemessung Platte - einachsig gespannt:

1.) Ermittlung Bemessungsmoment:	
Feldmoment:	
$m_{Eds} = m_{Ed} - N_{Ed} \cdot z_{s1}$ [KNm/m]	l_{ers} : [m] lichte Stützweite (größeres l_{ers} maßgebend!) f_d : [kN/m ²] Belastung der Platte
Stützmoment	
<p>ausgerundetes Moment: (nicht monolytisch verbunden) $m_{Eds} = extr. m_{Eds} - C_{Ed} \cdot \frac{a}{8}$ [KNm/m]</p> <p>Randmomente: (monolytisch verbunden) $m_{Eds} = extr. m_{Eds} + V_{Ed,li/re} \cdot 0,5 \cdot a$ [KN] Hinweis: kleineres V_{Ed} von $V_{Ed,li}$ und $V_{Ed,re}$ ist maßgebend!</p> <p>Mindestmomente: erste Innenstütze im Feld: $\min m_{Ed} = f_d \cdot \frac{l_{ers}^2}{8} \cdot 0,65$ übrige Innenstützen: $\min m_{Ed} = f_d \cdot \frac{l_{ers}^2}{12} \cdot 0,65$</p>	C_{Ed} : [kN/m] Auflagerkraft a : [m] Auflagertiefe extr. m_{Eds} : [kNm/m] negativ !!
2.) Biegebemessung mit kd-Verfahren	
$k_d = \frac{d}{\sqrt{M_{Eds}}} \rightarrow$ ablesen von k_s $a_s = k_s \cdot \frac{m_{Eds}}{d} + \frac{n_{Ed}}{43,5}$ [cm ² /m]	d : [cm] statische Nutzhöhe m_{Eds} : [kNm/m]

6.1.7 Biegebemessung Platte - zweiachsig gespannt:

1.) Bemessung mit kd-Verfahren	
$k_d = \frac{d}{\sqrt{M_{Eds}}} \rightarrow$ ablesen von k_s $a_{sx} = k_s \cdot \frac{m_x}{d} + \frac{n_{Ed}}{43,5}$ [cm ² /m] $a_{sy} = k_s \cdot \frac{m_y}{d} + \frac{n_{Ed}}{43,5}$ [cm ² /m]	m_{Eds} : [kNm/m] d : [cm] statische Nutzhöhe
Hinweise: mit dem Moment m_x wird die Bewehrung in x-Richtung ermittelt! mit dem Moment m_y wird die Bewehrung in y-Richtung ermittelt!	

6.1.8 Biegebemessung Platte - punktförmig gestützt

1.) Belastung	
Stütznormalkraft	
$A_E = 1,1 \cdot l_x \cdot 1,1 \cdot l_y$ $N_d = A_E \cdot (1,35 \cdot g_k + 1,5 \cdot q_k)$	
Bemessungslast	
$f_d = 1,35 \cdot g_k + 1,5 \cdot q_k$ [KN/m ²]	
Verkehrslastanteil	
$V = \frac{q_d}{q_d + g_d}$ []	
2.) Tafelwerte	
$x_x \rightarrow$ Tafelwert unter Berücksichtigung der Anzahl der Felder in x-Richtung und dem Verkehrslastanteil v $x_y \rightarrow$ Tafelwert unter Berücksichtigung der Anzahl der Felder in y-Richtung und dem Verkehrslastanteil v	
3.) Biegemomente	
Momente des Ersatzdurchlaufträgers	
x-Richtung: Feld: $M_{xf} = x_x \cdot f_d \cdot l_x^2 \cdot l_y$ [KNm] Stütze: $M_{xs} = -x_x \cdot f_d \cdot l_x^2 \cdot l_y$ [KNm]	
y-Richtung: Feld: $M_{yf} = x_y \cdot f_d \cdot l_y^2 \cdot l_x$ [KNm] Stütze: $M_{ys} = -x_y \cdot f_d \cdot l_y^2 \cdot l_x$ [KNm]	
Momente im Feld (Schnitt durch das Feld)	
Gurtstreifen Achse: $m_{xFGA} = \frac{0,25 \cdot M_{xf}}{l_y \cdot 0,2}$ [KNm/m]	$m_{yFGA} = \frac{0,25 \cdot M_{yf}}{l_x \cdot 0,2}$ [KNm/m]
Feldstreifen: $m_{xFF} = \frac{0,5 \cdot M_{xf}}{l_y \cdot 0,6}$ [KNm/m]	$m_{yFF} = \frac{0,5 \cdot M_{yf}}{l_x \cdot 0,6}$ [KNm/m]
Momente in Stützenachse (Schnitt durch Stützenachse)	
Gurtstreifen Achse: $m_{xSGA} = -\frac{0,21 \cdot M_{xs} }{l_y \cdot 0,1}$ [KNm/m]	$m_{ySGA} = -\frac{0,21 \cdot M_{ys} }{l_x \cdot 0,1}$ [KNm/m]
Gurtstreifen Rand: $m_{xSGR} = -\frac{0,14 \cdot M_{xs} }{l_y \cdot 0,1}$ [KNm/m]	$m_{ySGR} = -\frac{0,14 \cdot M_{ys} }{l_x \cdot 0,1}$ [KNm/m]
Feldstreifen: $m_{xSF} = -\frac{0,3 \cdot M_{xs} }{l_y \cdot 0,6}$ [KNm/m]	$m_{ySF} = -\frac{0,3 \cdot M_{ys} }{l_x \cdot 0,6}$ [KNm/m]
4.) Mindestbiegemomente	
$m_{Ed,x} = \eta_x \cdot V_{Ed}$ [kNm/m] $m_{Ed,y} = \eta_y \cdot V_{Ed}$ [kNm/m]	η_x : [] Momentenbeiwert; siehe EC2 Tab. NA 6.1.1 η_y : [] Momentenbeiwert; siehe EC2 Tab. NA 6.1.1
anzusetzende Breite \rightarrow siehe EC2 Tab.NA 6.1.1	

6.1.9 Biegebemessung Plattenbalken:

1.) Beanspruchungssituation

M_{Ed} positiv	$\left\{ \begin{array}{l} \text{Unterzug (Druckzone in der Platte)} \rightarrow \text{weiter mit 2.} \\ \text{Überzug (Druckzone im Steg)} \rightarrow \text{weiter mit 7. (} b_{eff} = b_w \text{ von Steg)} \end{array} \right.$
M_{Ed} negativ	
	$\left\{ \begin{array}{l} \text{Unterzug (Druckzone im Steg)} \rightarrow \text{weiter mit 7. (} b_{eff} = b_w \text{ von Steg)} \\ \text{Überzug (Druckzone in der Platte)} \rightarrow \text{weiter mit 2.} \end{array} \right.$

2.) Ermittlung der Effektiven Plattenbreite

Effektive Spannweite

$$l_{effi} = l_n + a_1 + a_2 \quad [m]$$

l_n : [m] lichte Weite
 $a_{1/2}$: [m] $t/2$ für Stahlbetonwand
 $t/3$ für Mauerwerkswand

Abstand der Momentennullpunkte

Einfeld $\rightarrow l_0 = l_{eff}$
 Endfeld $\rightarrow l_0 = 0,85 \cdot l_{eff1}$
 Stützfeld $\rightarrow l_0 = 0,15 \cdot (l_{eff1} + l_{eff2})$
 Mittelfeld $\rightarrow l_0 = 0,7 \cdot l_{eff2}$
 Kragfeld $\rightarrow l_0 = 1,5 \cdot l_{eff3}$

Hinweis: Alternativ können die Momentennullpunkte auch aus einem EDV-Programm herausgelesen werden.

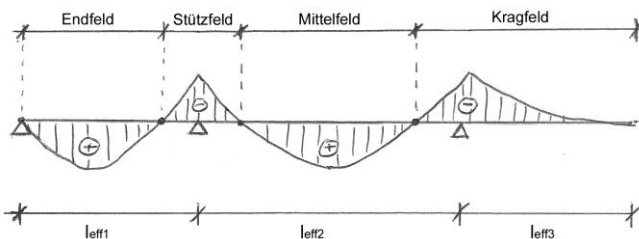


Abbildung 3: Längsschnitt durch Plattenbalken

Effektive Plattenbreite

b_i bestimmen $\rightarrow \frac{b_{ges}}{2}$

$$b_{effi} = \min \left\{ \begin{array}{l} 0,2 \cdot b_i + 0,1 \cdot l_0 \\ 0,2 \cdot l_0 \\ b_i \end{array} \right.$$

$$b_{eff} = \sum b_{effi} + b_w$$

b_{ges} : [m] lichte Spannweite der Platte ohne die Stegbreite
 l_0 : [m] Abstand der Momentennullpunkte; siehe oben

3.) Ermittlung der Beanspruchung:

Im Feld:

$$M_{Eds} = M_{Ed} - N_{Ed} \cdot z_{s1}$$

An Stütze:

ausgerundetes Moment (nicht monolithisch verbunden):

$$M_{Eds} = |\text{extr.} M_{Eds}| - C_{Ed} \cdot \frac{a}{8}$$

Randmomente (monolithisch verbunden):

$$M_{Eds} = \text{extr.} M_{Eds} + |V_{Ed,li/re}| \cdot 0,5 \cdot a \quad [kN]$$

Hinweis: kleineres V_{Ed} von $V_{Ed,li}$ und $V_{Ed,re}$ ist maßgebend!

erste Innenstütze im Feld:

$$\min M_{Ed} = f_d \cdot \frac{l_{ers}^2}{8} \cdot 0,65$$

übrige Innenstützen:

$$\min M_{Ed} = f_d \cdot \frac{l_{ers}^2}{12} \cdot 0,65$$

z_{s1} : [m] $d - h/2$

N_{Ed} : [kN] Normalkraft vorzeichengerecht (Druck negativ)

C_{Ed} : [kN] Auflagerkraft

a : [m] Auflagertiefe

a : [m] Auflagertiefe

extr. M_{Eds} negativ !!

l_{ers} : [m] lichte Stützweite (größeres l_{ers} maßgebend!)

f_d : [kN/m] Belastung des Balkens

4.) Biegebemessung mit k_d -Verfahren

$$k_d = \frac{d}{\sqrt{\frac{M_{Eds}}{b_{eff}}}} \rightarrow \text{ablesen von } \xi$$

d: [cm] statische Nuthöhe des Plattenbalken
 b_{eff} : [m] Druckzonbreite; siehe oben

eventuell Interpolation:

$$\xi = \xi_{min} + \frac{\xi_{max} - \xi_{min}}{k_{dmax} - k_{dmin}} \cdot (k_{dvorh} - k_{dmin})$$

wenn k_d kleiner Endwert der Tabelle:
 → Druckbewehrung erforderlich
 → siehe Formelsammlung „ k_d – Verfahren“

5.) Ermittlung der Druckzonhöhe

$$x = \xi \cdot d \text{ [cm]}$$

d: [cm] statische Nuthöhe des Plattenbalken

wenn $x > h_f \rightarrow$ weiter mit 6.)

$$\text{wenn } x < h_f \rightarrow A_s = k_s \cdot \frac{M_{Eds}}{d} + \frac{N_{Ed}}{43,5} \text{ [cm}^2\text{]}$$

6.) Auswahl Bemessungsverfahren

wenn $\frac{b_{eff}}{b_w} \geq 5$: Bemessung für den schlanken Plattenbalken

b_{eff} : [m] Druckzonbreite
 b_w : [m] Stegbreite

wenn $\frac{b_{eff}}{b_w} < 5$: Bemessung für den gedrunenen Plattenbalken

7.) Bemessung für den schlanken Plattenbalken ($b_{eff} > 5 \cdot b_w$)

Ermittlung der Biegezugbewehrung

$$z \approx d - \frac{h_f}{2} \text{ [cm]}$$

h_f : [cm] Dicke der Platte
 f_{yd} : [KN/cm²] Bemessungswert der Betonstahlstreckgrenze
 für B500: $f_{yd} = 43,5 \text{ KN/cm}^2$
 z : [cm]

$$A_{s1} = \frac{M_{Eds} \cdot 100}{z \cdot f_{yd}} + \frac{N_{Ed}}{f_{yd}} \text{ [cm}^2\text{]}$$

Kontrolle der Betondruckzone:

$$\frac{h_f}{d} \leq 0,231 \rightarrow \alpha = 1,0$$

$$\frac{h_f}{d} > 0,231 \rightarrow \alpha = 1,14 - 0,62 \cdot \frac{h_f}{d}$$

$$\sigma_{cd,m} = \frac{M_{Eds}}{z \cdot b_{eff} \cdot h_f} \leq \alpha \cdot f_{cd}$$

h_f : [cm] Dicke der Platte
 d: [cm] statische Nuthöhe des Plattenbalken

8.) Bemessung für den gedrunenen Plattenbalken ($b_{eff} < 5 \cdot b_w$)

$$\mu_{Eds} = \frac{M_{Eds} \cdot 100}{b_{eff} \cdot d^2 \cdot f_{cd}} \text{ []}$$

$\frac{h_f}{d}$ (kleineren Wert wählen)

$$\frac{b_{eff}}{b_w}$$

} ω ablesen

b_{eff} : [cm] Druckzonbreite
 d: [cm] statische Nuthöhe des Plattenbalken
 f_{cd} : [KN/cm²] Bemessungswert der Betondruckfestigkeit
 h_f : [cm] Dicke der Platte
 f_{yd} : [KN/cm²] Bemessungswert der
 N_{Ed} : [KN] Normalkraft im Plattenbalken
 vorzeichengerecht!!

$$A_{s1} = \frac{1}{f_{yd}} \cdot (\omega \cdot b_{eff} \cdot d \cdot f_{cd} + N_{Ed})$$

9.) Konstruktive Regelungen

An Zwischenauflagern von durchlaufenden PB muss die Zugbewehrung über b_{eff} verteilt werden. Im Bereich des Steges kann ein Teil der Bewehrung konzentriert werden.
 Laut nationalem Anhang wird aber empfohlen, die Bewehrung nur auf $0,5 \cdot b_{eff}$ zu verteilen.
 (EC2 – 9.2.1.2(2))

6.2 Querkraft

6.2.1 Ermittlung der Bemessungsquerkraft

1.) Allgemein

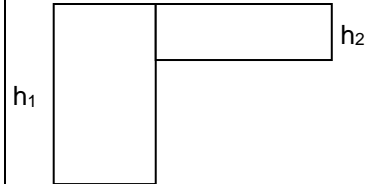
Bei direkter Lagerung und bei gleichmäßig verteilten Lasten kann mit der Querkraft im Abstand d vom Auflagerrand gerechnet werden. (s. DIN EN 1992-1-1; 6.2.1(8))
Bei indirekter Lagerung ist die Querkraft am Auflagerrand maßgebend.

2.) Bestimmung der Lagerungsart

Auflage auf Wand/Stütze → direkte Lagerung

Aufhängung an Überzug → indirekte Lagerung

Auflage auf Unterzug { $h_1 - h_2 \geq h_2 \rightarrow$ direkte Lagerung
 $h_1 - h_2 < h_2 \rightarrow$ indirekte Lagerung



3.) Stelle der maßgebenden Querkraft

direkte Lagerung:

- Endauflager aus Mauerwerk, Beton ohne Einspannung → $x_v = \frac{t}{3} + d$ [m]

- Zwischenaflager + Endauflager mit Einspannung → $x_v = \frac{t}{2} + d$ [m]

indirekte Lagerung:

- Endauflager aus Mauerwerk, Beton ohne Einspannung → $x_v = \frac{t}{3}$ [m]

- Zwischenaflager + Endauflager mit Einspannung → $x_v = \frac{t}{2}$ [m]

t : [m] Auflagerbreite

d : [m] statische Nutzhöhe

wenn Platte bemessen wird: d der Platte

wenn Träger bemessen wird: d des Trägers

4.) Ermittlung der reduzierten Querkraft

$V_{Ed,red} = |extrV_d| - f_d \cdot x_v$ [KN/(m)]

$extrV_d$: [KN/(m)] maximale maßgebende Querkraft in V-Verlauf

f_d : [KN/m] ; [KN/m²] Bemessungslast; $f_d = 1,35 \cdot g_k + \Sigma(1,5 \cdot q_k)$

x_v : [m] siehe oben

6.2.2 Bauteile ohne Querkraftbewehrung (Platten → $b \geq 5 \cdot h_f$)

1.) Einfluss der Bauteilhöhe:	
$k = \min \left\{ \begin{array}{l} 1 + \sqrt{\frac{200}{d}} \\ 2 \end{array} \right.$	d: [mm] statische Nutzhöhe des Streifenfundamentes
2.) Längsbewehrungsgrad:	
$\rho_l = \frac{a_{sl}}{b_w \cdot d} \leq 0,02$	a _{sl} : [cm ² /m] Hauptbewehrung ; nur Zugbewehrung infolge Biegebemessung; nur Bewehrung, die über das Auflager geführt wird. b _w : [cm] kleinste Querschnittsbreite in der Zugzone bei Platte: b = 100cm d: [cm] statische Nutzhöhe des Streifenfundamentes
3.) Querkraftwiderstand (s. DIN EN 1992-1-1; 6.2.2)	
Beiwert x	
wenn $d \leq 600\text{mm} \rightarrow x = 0,0525$ wenn $600\text{mm} < d < 800\text{mm} \rightarrow \text{Interpolation: } x = 0,0975 - 0,075 \cdot d_{\text{vorh.}}$ wenn $d > 800\text{mm} \rightarrow x = 0,0375$	d: [m] statische Nutzhöhe
Grundwert der Querkrafttragfähigkeit	
$V_{Rd,c} = \left[\frac{0,15}{\gamma_c} \cdot k \cdot \sqrt[3]{100 \cdot \rho_l \cdot f_{ck}} + 0,12 \cdot \sigma_{cp} \right] \cdot b_w \cdot d$ [MN/m]	γ _c : Sicherheitsbeiwert = 1,5 k: Einfluss der Bauteilhöhe; siehe oben f _{ck} : Betondruckfestigkeit [f _{ck}] = N/mm ² σ _{cp} : Zugspannung im Beton (i.d.R. = 0), [σ _{cp}] = N/mm ² σ _{cp} < 0,2 * f _{cd} Betonzugspannungen sind negativ einzusetzen. b _w : kleinste Querschnittsbreite in der Zugzone, [b _w] = m/m, bei Platte: b _w = 1,0m/m d: statische Nutzhöhe, [d] = m
Mindestwert der Querkrafttragfähigkeit	
$v_{\min} = \frac{x}{\gamma_c} \cdot k \cdot \sqrt{k \cdot f_{ck}}$ [MN/m ²] $V_{Rd,c,\min} = (v_{\min} + k_1 \cdot \sigma_{cp}) \cdot b_w \cdot d$ [MN/m]	γ _c : [] Sicherheitsbeiwert = 1,5 k: [] Einfluss der Bauteilhöhe; siehe oben f _{ck} : [N/mm ²] Betondruckfestigkeit b _w : [m/m] kleinste Querschnittsbreite in der Zugzone bei Platte: b _w = 1,0m/m d: [m] statische Nutzhöhe v _{min} : [MN/m ²] k ₁ : [] = 0,12
Maßgebende Querkrafttragfähigkeit	
maß $V_{Rd,c} = \max \left\{ \begin{array}{l} V_{Rd,c} \text{ [MN/m]} \\ V_{Rd,c,\min} \text{ [MN/m]} \end{array} \right.$	
4.) Nachweis	
$V_{Ed,red} \leq V_{Rd,c} \rightarrow$ keine Querkraftbewehrung erforderlich $V_{Ed,red} > V_{Rd,c} \rightarrow$ Querkraftbewehrung erforderlich. Weiter mit Punkt 0	

6.2.3 Bauteile mit erforderlicher Querkraftbewehrung

1.) Innerer Hebelarm	
$z = \min \left\{ \begin{array}{l} 0,9 \cdot d \text{ [cm]} \\ \max \{ d - 2 \cdot c_{v,l} ; d - c_{v,l} - 3 \} \text{ [cm]} \end{array} \right.$	z: [cm] innerer Hebelarm bei Bauteil mit konstanter Höhe d: [cm] statische Nutzhöhe $c_{v,l}$: [cm] Verlegemaß der Längsbewehrung in der Betondruckzone
2.) Druckstrebenneigungswinkel	
<p>vereinfacht: $\cot \theta = 1,2$ für Biegung/ Biegung + Druckkraft $\cot \theta = 1,0$ für Biegung + Zugkraft</p> <p>genauer: $\cot \theta = \frac{1,2 + 1,4 \cdot \frac{\sigma_{cd}}{f_{cd}}}{1 - \frac{V_{Rd,cc}}{V_{Ed}}}$ [] $1,0 \leq \cot \theta \leq 3,0$ (bei geeigneter Querkraftbewehrung: $0,58 \leq \cot \theta \leq 3,0$)</p> <p>mit: $V_{Rd,cc} = c \cdot 0,48 \cdot \sqrt[3]{f_{ck}} \cdot \left(1 - 1,2 \cdot \frac{\sigma_{cd}}{f_{cd}}\right) \cdot b_w \cdot z \cdot 0,1$ [kN]</p> <p>Hinweise: - es ist immer der kleinste Druckstrebenneigungswinkel maßgebend!</p>	σ_{cd} : [N/mm ²] Spannung aus Längskraft infolge Last oder Vorspannung = N_{Ed}/A_c (i.d.R.: $\sigma_{cd} = 0$) Betonzugspannungen sind negativ einzusetzen f_{cd} : [N/mm ²] Bemessungswert der einaxialen Druckfestigkeit $V_{Rd,cc}$: [kN/m] siehe oben V_{Ed} : [kN/m] Maximalwert der einwirkenden Querkraft c : [] = 0,5 f_{ck} : [N/mm ²] charakteristische Betondruckfestigkeit σ_{cd} : [N/mm ²] Spannung aus Längskraft infolge Last oder Vorspannung = N_{Ed}/A_c (i.d.R.: $\sigma_{cd} = 0$) Betonzugspannungen sind negativ einzusetzen f_{cd} : [N/mm ²] Betondruckfestigkeit b_w : [cm] kleinste Querschnittsbreite zwischen Bewehrungsschwerpunkt und der Druckresultierenden. für Streifenfundament: $b_w = 100\text{cm}$ z: [cm] innerer Hebelarm; siehe oben
3.) Beiwerte (s. DIN EN 1992-1-1 NA; 6.2.3(3))	
$\alpha_{cw} = 1,0$ $v_2 = 1,0$ für $\leq C50/60$ $v_2 = \left(1,1 - \frac{f_{ck}}{500}\right)$ für $\geq C55/67$ $v_1 = 0,75 \cdot v_2$ []	α_{cw} : [] Beiwert zur Berücksichtigung des Spannungszustands im Druckgurt. v_1 : [] Abminderungsbeiwert für die Betonfestigkeit bei Schubrisen f_{ck} : [N/mm ²] charakteristische Betondruckfestigkeit
4.) Aufnehmbare Querkraft - Betondruckstrebe s. DIN EN 1992-1-1; 6.2.3(3)	
$\alpha = 90^\circ$: $V_{Rd,max} = \alpha_{cw} \cdot b_w \cdot z \cdot v_1 \cdot f_{cd} \cdot \frac{1}{\cot \theta + \frac{1}{\cot \theta}}$ [kN/(m)] $\alpha < 90^\circ$: $V_{Rd,max} = \alpha_{cw} \cdot b_w \cdot z \cdot v_1 \cdot f_{cd} \cdot \frac{\cot \theta + \frac{1}{\tan \alpha}}{1 + \cot^2 \theta}$ [kN/(m)]	α_{cw} : [] Beiwert; siehe oben b_w : [cm] kleinste Querschnittsbreite zwischen Bewehrungsschwerpunkt und der Druckresultierenden. für Streifenfundament: $b_w = 100\text{cm}$ z: [cm] innerer Hebelarm; siehe oben v_1 : [] Beiwert; siehe oben f_{cd} : [kN/cm ²] Betondruckfestigkeit $f_{cd} = 0,85 \cdot \frac{f_{ck}}{1,5}$
5.) Aufnehmbare Querkraft - Querkraftbewehrung s. DIN EN 1992-1-1; 6.2.3(3)	
$\alpha = 90^\circ$: $V_{Rd,s} = a_{sw} \cdot f_{ywd} \cdot z \cdot \cot \theta$ [kN/(m)] $\alpha < 90^\circ$: $V_{Rd,s} = a_{sw} \cdot f_{ywd} \cdot z \cdot (\cot \theta - \cot \alpha) \cdot \sin \alpha$ [kN/(m)] Hinweis: $V_{Rd,s}$ kann nur bei bekannter Bewehrung ermittelt werden.	a_{sw} : [cm ² /m] gewählte Querkraftbewehrung = $\frac{A_{sw}}{s_w}$ f_{ywd} : [kN/cm ²] Bemessungswert der Streckgrenze der Querkraftbewehrung. $f_{ywd} = f_{yk}/\gamma_s$ (i.d.R.: $f_{yk} = 50\text{KN/cm}^2$; $\gamma_s = 1,15$) z: [m] innerer Hebelarm; siehe oben α : [°] Winkel zwischen Querkraftbewehrung und Bauteilachse
6.) Nachweis	
$\text{extr. } V_{Ed} \leq V_{Rd,max} \rightarrow \text{Druckstrebe versagt nicht}$	

7.) Erforderliche Bewehrung

$$\alpha = 90^\circ: a_{sw,erf.} \geq \frac{V_{Ed,red} \cdot s_w}{f_{ywd} \cdot z \cdot \cot \vartheta} \quad [\text{cm}^2/\text{m}]$$

(Bewehrung für 1m Trägerlänge)

$$\alpha < 90^\circ: a_{sw,erf.} \geq \frac{V_{Ed,red} \cdot s_w}{f_{ywd} \cdot z \cdot \left(\cot \vartheta + \frac{1}{\tan \alpha} \right) \cdot \sin \alpha} \quad [\text{cm}^2/\text{m}]$$

Hinweis: Wenn an einem Bauteil Lasten von unten angreifen (z.B. Platte hängt an einem Überzug) ist eine Aufhängebewehrung erforderlich. (s. DIN EN

1992-1-1; 6.2.1(9))

$$\Delta a_{sw} = \frac{f_d}{43,5} \quad [\text{cm}^2/(\text{m})] \rightarrow \text{tot } a_{sw} = a_{sw} + \Delta a_{sw} \quad [\text{cm}^2/(\text{m})]$$

$V_{Ed,red}$: [KN/m] reduzierte Querkraft; siehe oben

s_w : [m] Abstand der Querkraftbewehrung (vereinfacht 1,0 bzw. beim Fundament a-d = Lasteinzugsbereich)

f_{ywd} : [KN/cm²] Bemessungswert der Streckgrenze der Querkraftbewehrung.

$$f_{ywd} = f_{yk}/\gamma_s \quad (\text{i.d.R.: } f_{yk} = 50\text{KN/cm}^2; \gamma_s = 1,15)$$

z : [m] innerer Hebelarm; siehe oben

$\cot \vartheta$: [] Druckstrebenneigungswinkel

α : [°] Winkel zwischen Querkraftbewehrung und Bauteilachse

8.) Konstruktive Regeln

Mindestquerkraftbewehrung

für allgemeine Fälle:

$$\rho_{w,min} = 0,16 \cdot \frac{f_{ctm}}{f_{yk}} \quad []$$

für gegliederte Querschnitte mit vorgespanntem Zuggurt:

$$\rho_{w,min} = 0,256 \cdot \frac{f_{ctm}}{f_{yk}} \quad []$$

$$\min a_{sw} = \rho_{w,min} \cdot b_w \cdot \sin \alpha \cdot 100 \quad [\text{cm}^2/\text{m}]$$

α : [°] Winkel zwischen Querkraftbewehrung und Bauteilachse für lotrechte Bewehrung $\alpha = 90^\circ$; $\sin \alpha = 1$

b_w : [cm] kleinste Querschnittsbreite zwischen Bewehrungsschwerpunkt und der Druckresultierenden. für Platte: $b_w = 100\text{cm}$

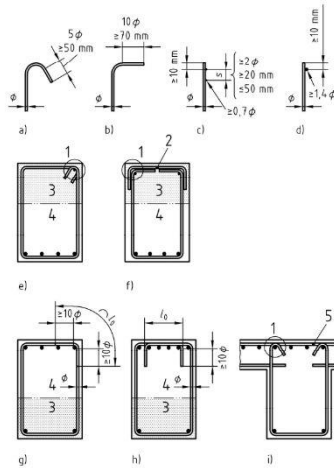
f_{ctm} : [N/mm²] Zugfestigkeit von Beton; siehe Anhang Tab. 3.1

f_{yk} : [N/mm²] charakteristische Streckgrenze von Betonstahl B500: $f_{yk} = 500 \text{ N/mm}^2$

Höchstlängsabstände der Querkraftbewehrung

$$\frac{V_{Ed,red}}{V_{Rd,max}} \begin{cases} < 0,3 \rightarrow \text{siehe Anhang Tabelle NA9.1} \\ \leq 0,6 \text{ aber } > 0,3 \rightarrow \text{siehe Anhang Tabelle NA9.1} \\ > 0,6 \rightarrow \text{siehe Anhang Tabelle NA9.1} \end{cases}$$

6.2.4 Verankerung von Querkraftbewehrung



Legende

- | | |
|--|---|
| 1 Verankerungselemente nach a) bzw. b) | a) Haken |
| 2 Kappenbügel | b) Winkelhaken |
| 3 Betondruckzone | c) gerade Stäben mit zwei angeschweißten Querstäben |
| 4 Betonzugzone | d) gerade Stäben mit einem angeschweißten Querstab |
| 5 obere Querbewehrung | e) und f) Schließen in der Druckzone |
| 6 untere Bewehrung der anschließenden Platte | g) und h) Schließen in der Zugzone (l_a mit $\alpha_1 = 0,7$ nach Tabelle 8.2 mit Haken oder Winkelhaken am Bügelende) |
| | i) Schließen bei Plattenbalken im Bereich der Platte |

ANMERKUNG Für c) und d) darf in der Regel die Betondeckung nicht weniger als 3ϕ oder 50 mm betragen.

Abbildung 4: Verankerung und Schließen von Bügeln [1]

6.2.5 Querkraftdeckungslinie

1.) Allgemein

Bei erforderlicher Aufhängebewehrung Querkraftverlauf um die Zusatzkraft ΔV_{Ed} nach oben verschieben:

$$\Delta V_{Ed} = f_d \cdot z \cdot \cot \vartheta$$

f_d : [KN/(m)] angreifende Last; z.B.: Auflagerkraft der Platte

z : [m] innerer Hebelarm; siehe oben

6.2.6 Nachweis Anschluss Druckgurt (Druck in Platte) – Schub zwischen Balkensteg & Platte

1.) Abstand a zwischen Momentennullpunkt und Momentenhöchstwert:

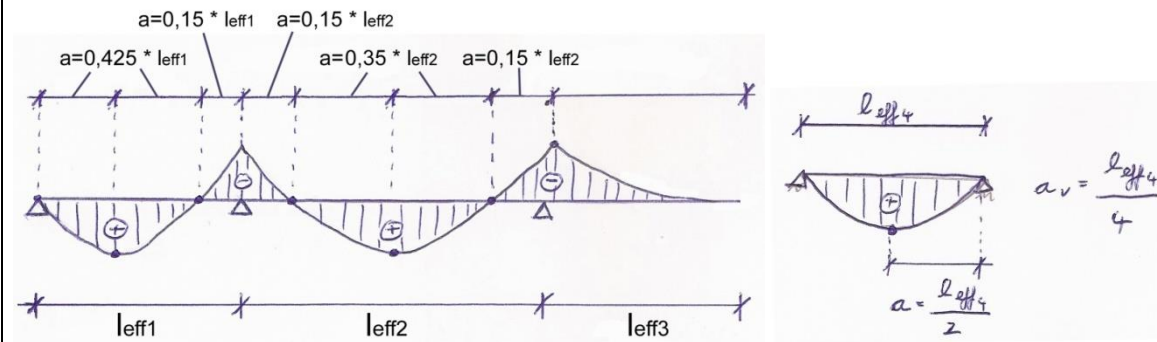
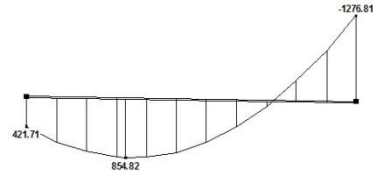


Abbildung 5: Sonderfall, linkes Auflager eingespannt und Moment positiv.



Hinweis: alternativ kann a auch aus dem Bemessungsprogramm abgelesen werden!

2.) Δx

$$\Delta x = 0,5 \cdot a \text{ [m]} \quad (\text{EC 2 6.2.4 (3)})$$

Δx : betrachtete Länge in der die Schubkraft als konstant angenommen werden kann.

3.) Moment $M_{Ed,\Delta x}$

Moment $M_{Ed,\Delta x}$ an der Stelle Δx links bzw. rechts des Auflagers ermitteln.

M_{max} : nicht abgemindertes M

Bei Stützen $M_{Ed} = 0,5 \cdot M_{max}$ (=vereinfacht)

4.) Druckkräfte in der Biegedruckzone

$$F_{cd,\Delta x} = \frac{M_{Ed,\Delta x} \cdot 100}{z} \text{ [KN]}$$

$$F_{cd,x=0} = \frac{M_{Ed,x=0} \cdot 100}{z} \text{ [KN]}$$

z : [cm] $\min\{0,9 \cdot d; \max\{d - c_{v,l} - 3; d - 2 \cdot c_{v,l}\}\}$

$F_{cd,x=0}$: [KN] i.d.R. = 0, außer sie Abbildung 1

Hinweis: Drucknormalkräfte sind zusätzlich zu berücksichtigen

5.) Druckkräfte in einseitigem Gurtabschnitt wenn Dehnungsnulllinie in der Platte ($x \leq h_f$)

$$F_{cd,\Delta x,G} = F_{cd,\Delta x} \cdot \frac{A_{ca}}{A_{cc}} \text{ [KN]}$$

$$F_{cd,x=0,G} = F_{cd,x=0} \cdot \frac{A_{ca}}{A_{cc}} \text{ [KN]}$$

A_{ca} = Fläche eines einseitigen Gurtabschnittes = $h_f \cdot b_{eff}$

A_{cc} = gesamte Fläche der Biegedruckzone = $h_f \cdot b_{eff}$

h_f : [m] Höhe des Flansches

b_{eff} : [m] immer größeres b_{eff} !

b_{eff} : [m]

6.) Längskraftdifferenz zwischen Auflager A und Δx :

$$\Delta F_{cd} = F_{cd,\Delta x,G} - F_{cd,x=0,G} \text{ [KN]}$$

$$v_1: [] = 0,75 \cdot v_2$$

$$v_2: [] = 1,0$$

$$f_{cd}: [\text{KN/cm}^2] = 0,85 \cdot f_{ck} / 1,5$$

h_f in cm

Δx in cm

$\cot \vartheta$: vereinfachend = 1,2

7.) Druckstrebenachweis:

$$V_{Rd,max} = \frac{v_1 \cdot f_{cd} \cdot h_f \cdot \Delta x}{\cot \vartheta + \frac{1}{\cot \vartheta}} \text{ [KN]}$$

Nachweis: $V_{Rd,max} \geq \Delta F_{cd}$

8.) erforderliche Bewehrung der Zugstrebe.

$$a_{sf} = \frac{\Delta F_{cd}}{f_{yd} \cdot \Delta x \cdot \cot \vartheta} \text{ [cm}^2/\text{m]}$$

Δx : in m!!

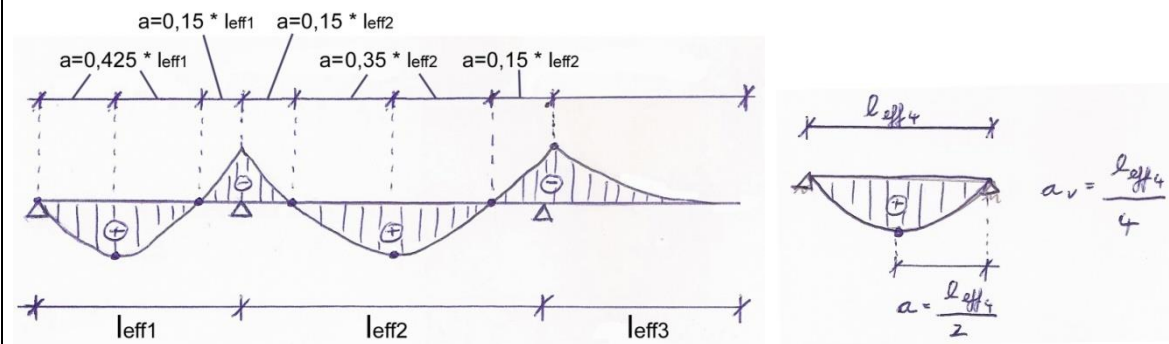
$\cot \vartheta$: vereinfachend = 1,2

9.) Bewehrung + Abstand wählen

Bewehrung ist quer über den Steg anzuordnen. Je zur Hälfte auf der Plattenober- bzw. Unterseite. Bei kombinierter Beanspruchung durch Längsschubkräfte und Querbiegung der Platte, kann die Bewehrung der Platte angerechnet werden \rightarrow größere Bewehrung ist maßgebend. (EC 2 6.2.4 (5))

6.2.7 Nachweis Anschluss Zuggurt (Zug in Platte)

1.) Abstand a zwischen Momentennullpunkt und Momentenhöchstwert



Hinweis: alternativ kann a auch aus dem Bemessungsprogramm abgelesen werden!

2.) Δx

$$\Delta x = 0,5 \cdot a \text{ [m]} \quad (\text{EC 2 6.2.4 (3)})$$

Δx : betrachtete Länge in der die Schubkraft als konstant angenommen werden kann.

3.) Moment $M_{Ed, \Delta x}$

Moment $M_{Ed, \Delta x}$ an der Stelle Δx links bzw. rechts des Auflagers ermitteln.
Bei Stützen $M_{Ed} = 0,5 \cdot M_{max}$ (=vereinfacht)

M_{max} : nicht abgemindertes M

4.) Zugkraft in der Bewehrung an der Stelle Δx :

$$F_{sd, \Delta x} = \frac{M_{Ed, \Delta x} \cdot 100}{z} \text{ [kN]}$$

z : [cm] $\min \{0,9 \cdot d; \max \{d - c_{v,l} - 3; d - 2 \cdot c_{v,l}\}\}$

Hinweis: Zugnormalkräfte sind zusätzlich zu berücksichtigen: $F_{sd, \Delta x} + N_{Ed}$

5.) Längszugkraftdifferenz im Gurt:

$$\Delta F_{sd} = F_{sd, \Delta x} \cdot \frac{A_{sa}}{\text{tot } A_s} \text{ [kN]}$$

A_{sa} : [cm²] Fläche der in einem Gurt ausgelagerten Biegezugbewehrung
tot A_s : [cm²] gesamte Zugbewehrung in der Platte

6.) Druckstrebnachweis:

$$V_{Rd, max} = \frac{v_1 \cdot f_{cd} \cdot h_f \cdot \Delta x}{\cot \vartheta + \frac{1}{\cot \vartheta}} \text{ [kN]}$$

Nachweis: $V_{Rd, max} \geq \Delta F_{sd}$

v_1 : [] = $0,75 \cdot v_2$
 v_2 : [] = 1,0
 f_{cd} : [kN/cm²] $0,85 \cdot f_{ck} / 1,5$
 h_f in cm
 Δx in cm
 $\cot \vartheta$: vereinfachend = 1,0

7.) erforderliche Bewehrung der Zugstrebe

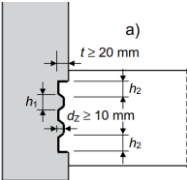
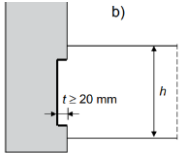
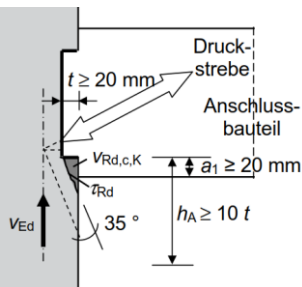
$$a_{sf} = \frac{\Delta F_{sd}}{f_{yd} \cdot \Delta x \cdot \cot \vartheta} \text{ [cm}^2/\text{m]}$$

Δx : in m!!
 $\cot \vartheta$: vereinfachend = 1,0

8.) Bewehrung + Abstand wählen

Bewehrung ist quer über den Steg anzuordnen. Je zur Hälfte auf der Plattenober- bzw. Unterseite. Bei kombinierter Beanspruchung durch Längsschubkräfte und Querbiegung der Platte, kann die Bewehrung der Platte angerechnet werden → größere Bewehrung ist maßgebend. (EC 2 6.2.4 (5))

6.2.8 Schubkraftübertragung quer zur Verbundfuge (Decke an Wand)

1.) Allgemeines	
Regelungen:	- DIN EN 1992-1-1, 6.2.5 - DBV-Merkblatt Rückbiegen Betonstahl, 2011
Hinweise:	- Fugen quer zur Verbundfuge werden in der Regel auf Biegung beansprucht (bei gelenkiger Lagerung trotzdem Verdrehung). - Nach DIN EN 1991-1-1, NA.6 ist ein Querkraftnachweis nach DIN EN 1991-1-1, 6.2.2 zu führen und kein Nachweis nach 6.2.5. - bei Rückbiegeanschlüssen wird die Tragfähigkeit i.d.R. durch die Hersteller der Verfahrboxen berechnet und Bemessungswerte der Tragfähigkeit angegeben.
2.) Festlegung Fugenrauigkeit (Auszug DBV-Merkblatt)	
	a) verzahnt
	b) rau oder glatt, ggf. mit Konsoltraganteil $V_{Rd,ct,K}$ (Auflagerhöhe $h_A \geq 10 \cdot t$)
3.) Einfluss der Bauteilhöhe:	
$k = \min \left\{ \begin{array}{l} 1 + \sqrt{\frac{200}{d}} \\ 2 \end{array} \right.$	d: [mm] statische Nutzhöhe des Streifenfundamentes
4.) Längsbewehrungsgrad:	
$\rho_l = \min \left\{ \begin{array}{l} \frac{a_{sl}}{b_w \cdot d} \cdot 0,8^{*1} \\ 0,02 \end{array} \right.$	a_{sl} : Hauptbewehrung (cm ² /m) ; nur Zugbewehrung infolge Biegebemessung; nur Bewehrung, die über das Auflager/Fuge geführt wird. b_w : kleinste Querschnittsbreite in der Zugzone (cm) bei Platte: $b = 100\text{cm}$ d: statische Nutzhöhe (cm)
*1: Abminderung nur bei Rückbiegeanschluss für Kaltbiegen der Bewehrung mit Faktor 0,8	
5.) Konsoltraganteil (falls vorhanden)	
$V_{Rd,ct,K} = \frac{a_1}{\tan(35^\circ)} \cdot 0,75 \cdot \alpha_{ct} \cdot \frac{f_{ctk;0,05}}{\gamma_c} \text{ (MN/m)}$	a_1 : Abstand Bauteilrand Anschlussbauteil zu Beginn Ausklinkung. [a_1] = m α_{ct} : Beiwert = 0,85 $f_{ctk;0,05}$: 5% Betonzugfestigkeit, [$f_{ctk;0,05}$] = N/mm ² C20/25: $f_{ctk;0,05} = 1,5\text{N/mm}^2$ C25/30: $f_{ctk;0,05} = 1,8\text{N/mm}^2$ C30/37: $f_{ctk;0,05} = 2,0\text{N/mm}^2$ C35/45: $f_{ctk;0,05} = 2,2\text{N/mm}^2$ C40/50: $f_{ctk;0,05} = 2,5\text{N/mm}^2$ C45/55: $f_{ctk;0,05} = 2,7\text{N/mm}^2$ C50/60: $f_{ctk;0,05} = 2,9\text{N/mm}^2$ γ_c : Sicherheitsbeiwert = 1,5
	
6.) Grundwert der Querkrafttragfähigkeit	
Grundwert der Querkrafttragfähigkeit: $V_{Rd,c} = \left[\frac{0,15}{\gamma_c} \cdot k \cdot \sqrt{100 \cdot \rho_l \cdot f_{ck}} + 0,12 \cdot \sigma_{cp} \right] \cdot b_w \cdot d \text{ (MN/m)}$	
Maßgebend: $V_{Rd,c,maßg.} = \min \left\{ \begin{array}{l} V_{Rd,c} \cdot \frac{c}{0,5} + V_{Rd,ct,K} \\ V_{Rd,c,verzahnt} \end{array} \right.$	
Hinweise: - Als oberer Grenzwert von $V_{Rd,c}$ gilt die verzahnte Fugenausbildung. - Falls die Tragfähigkeit nicht ausreicht → Nachweis mit Querkraftbewehrung nach DIN EN 1992-1-1, 6.2.3.	c: Beiwert Betonverbund verzahnt: 0,5 rau: 0,4 glatt: 0,2 sehr glatt: 0 γ_c : Sicherheitsbeiwert = 1,5 k: Einfluss der Bauteilhöhe; siehe oben f_{ck} : Betondruckfestigkeit [f_{ck}] = N/mm ² σ_{cp} : Spannung senkrecht zur Fuge, [σ_{cp}] = N/mm ² $\sigma_{cp} < 0,2 \cdot f_{cd}$ Betonzugspannungen negativ b_w : kleinste Querschnittsbreite in der Zugzone, [b_w] = m/m, bei Platte: $b_w = 1,0\text{m/m}$ d: statische Nutzhöhe, [d] = mm

6.2.9 Schubkraftübertragung quer zu Verbundfuge (Wand auf Fundament)

1.) Allgemeines																					
Regelungen: - DIN EN 1992-1-1, 6.2.5 Hinweise:	<ul style="list-style-type: none"> - Die Fuge am Wandfuß ist i.d.R. überdrückt, sodass ein Nachweis nach 6.2.5 erfolgen kann. - Nur bei überwiegender Biegebeanspruchung soll nach DIN EN 1991-1-1, NA.6 ein Querkraftnachweis nach DIN EN 1991-1-1, 6.2.2 bzw. 6.2.3 geführt werden und kein Nachweis nach 6.2.5. - Vorschlag: Beide Nachweise führen. Am Wandfuß ist bei einer erhöhten Querkraftbeanspruchung (z.B. infolge Erddruck) ohnehin ein Querkraftnachweis nach 6.2.2 bzw. 6.2.3 zu führen. 																				
2.) Fugennachweis nach DIN EN 1992-1-1, 6.2.5																					
2.1) Einwirkung																					
$v_{Edi} = \frac{V_{Ed}}{b_i \cdot h_i} \text{ (kN/cm}^2\text{)}$	V_{Ed} : Querkraft am Wandfuß (kN) b_i : kleinste Querschnittsbreite (cm/m) bei durchgehender Wand: $b_i = 100\text{cm/m}$ h_i : Wanddicke (cm) bei Elementwand $h_i - 2 \cdot t$ t : Dicke der Elementschale (cm)																				
2.2) Bewehrungsgrad Fuge:																					
$\rho = \frac{A_s}{A_i}$ <p>wenn keine Anschlussbewehrung vorhanden ist: $\rho_i = 0$</p>	A_s : Querschnittsfläche Bewehrung quer zur Fuge (cm ² /m) = Anschlussbewehrung aus Bodenplatte A_i : Fläche der Fuge über die Schub übertragen wird (cm ² /m) $A_i = b_i \cdot h_i$ b_i : kleinste Querschnittsbreite (cm/m) bei durchgehender Wand: $b_i = 100\text{cm/m}$ h_i : Wanddicke (cm) bei Elementwand $h_i - 2 \cdot t$ t : Dicke der Elementschale (cm)																				
2.3) Normalspannung in der Fuge:																					
$\sigma_n = \min \left\{ \begin{array}{l} \frac{n_{Ed}}{A_i} \\ 0,6 \cdot f_{cd} \end{array} \right. \text{ (kN/cm}^2\text{)}$ <p>Hinweis: im Bauzustand ist ggf. keine, oder nur eine geringe vertikale Last vorhanden. Es darf nur die vertikale Last angesetzt werden, die im ungünstigsten Fall gesichert vorhanden ist (z.B. nur Eigenlast Untergeschossbauteile).</p>	n_{Ed} : Bemessungswert senkrecht zur Fuge (kN/m) bei Druck: $n_{Ed} = \gamma_F \cdot n_k$ (i.d.R. $n_{Ed} = 1,0 \cdot n_k$) bei Zug: $n_{Ed} = 0$ bzw. $-\gamma_F \cdot n_k$ (i.d.R. $n_{Ed} = -1,5 \cdot n_k$) A_i : Fläche der Fuge über die Schub übertragen wird (cm ² /m) $A_i = b_i \cdot h_i$																				
2.4) Bemessungswert der aufnehmbaren Schubkraft:																					
<p>Bewehrung senkrecht zur Fuge ($\alpha = 90^\circ$):</p> $v_{Rdi} = \min \left\{ \begin{array}{l} c \cdot f_{ctd} + \mu \cdot \sigma_n + \rho \cdot f_{yd} \cdot 1,2 \cdot \mu \\ 0,5 \cdot v \cdot f_{cd} \end{array} \right.$ <p>Bewehrung geneigt ($\alpha \leq 90^\circ$):</p> $v_{Rdi} = \min \left\{ \begin{array}{l} c \cdot f_{ctd} + \mu \cdot \sigma_n + \rho \cdot f_{yd} \cdot (1,2 \cdot \mu \cdot \sin \alpha + \cos \alpha) \\ 0,5 \cdot v \cdot f_{cd} \end{array} \right.$ <p>Mit:</p> <p>C20/25: $f_{ctd} = 0,085 \frac{\text{kN}}{\text{cm}^2}$</p> <p>C25/30: $f_{ctd} = 0,102 \frac{\text{kN}}{\text{cm}^2}$</p> <p>C30/37: $f_{ctd} = 0,113 \frac{\text{kN}}{\text{cm}^2}$</p> <p>C40/50: $f_{ctd} = 0,142 \frac{\text{kN}}{\text{cm}^2}$</p> <p>C50/60: $f_{ctd} = 0,164 \frac{\text{kN}}{\text{cm}^2}$</p>	c : Rauigkeitsbeiwert (-) μ : Reibbeiwert (-) v : Abminderungsbeiwert Betondruckfestigkeit (-) <table border="1" style="margin-top: 10px;"> <thead> <tr> <th>Fuge</th> <th>c</th> <th>μ</th> <th>v</th> </tr> </thead> <tbody> <tr> <td>verzahnt</td> <td>0,50</td> <td>0,9</td> <td>0,70</td> </tr> <tr> <td>rau</td> <td>0,40^{a)}</td> <td>0,7</td> <td>0,50</td> </tr> <tr> <td>glatt</td> <td>0,20^{a)}</td> <td>0,6</td> <td>0,20</td> </tr> <tr> <td>sehr glatt</td> <td>0^{b)}</td> <td>0,5</td> <td>0</td> </tr> </tbody> </table> <p>^{a)} Zug rechtwinklig zur Fuge: $c = 0$ ^{b)} Höhere Beiwerte müssen durch entsprechende Nachweise begründet sein.</p> <p>f_{ctd}: Betonzugfestigkeit (kN/cm²) $f_{ctd} = \alpha_{ct} \cdot \frac{f_{ctk,0,05}}{\gamma_c}$</p> <p>$f_{yd}$: Bemessungswert der Streckgrenze der Fugenbewehrung (kN/cm²) $f_{yd} = f_{yk}/\gamma_s$ (i.d.R.: $f_{yk} = 50\text{KN/cm}^2$; $\gamma_s = 1,15$)</p>	Fuge	c	μ	v	verzahnt	0,50	0,9	0,70	rau	0,40 ^{a)}	0,7	0,50	glatt	0,20 ^{a)}	0,6	0,20	sehr glatt	0 ^{b)}	0,5	0
Fuge	c	μ	v																		
verzahnt	0,50	0,9	0,70																		
rau	0,40 ^{a)}	0,7	0,50																		
glatt	0,20 ^{a)}	0,6	0,20																		
sehr glatt	0 ^{b)}	0,5	0																		

2.5) Ermittlung Aufhängebewehrung (bei Nachweis nach 6.2.5) *1

Konzentrierte Anordnung (z.B. Bügel):

$$A_s = \frac{V_{Ed}}{f_{yd}} \quad (\text{cm}^2)$$

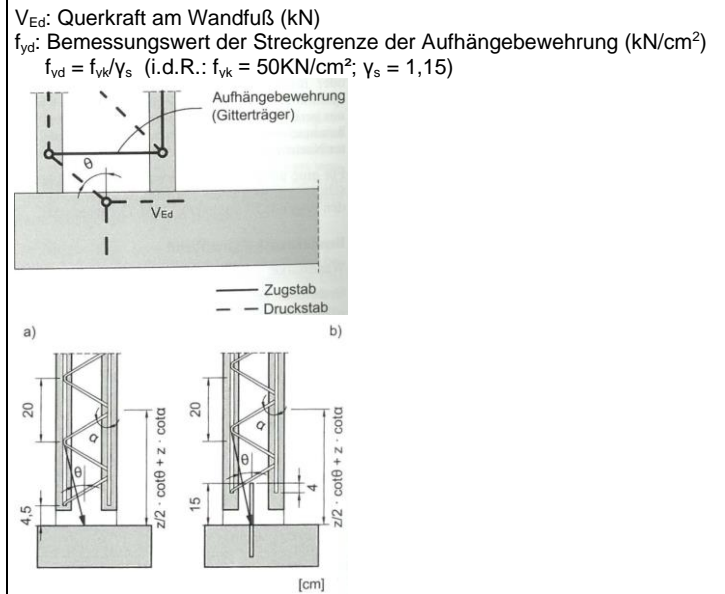
Bei Elementwand mit Gitterträgern:

$$A_s = \frac{V_{Ed}}{f_{yd} \cdot z \cdot (\cot \theta + \cot \alpha) \cdot \sin \alpha} \quad (\text{cm}^2)$$

Mit anrechenbarem Bereich der Aufhängebewehrung:

$$l_A = \frac{z}{2} \cdot \cot \theta + z \cdot \cot \alpha$$

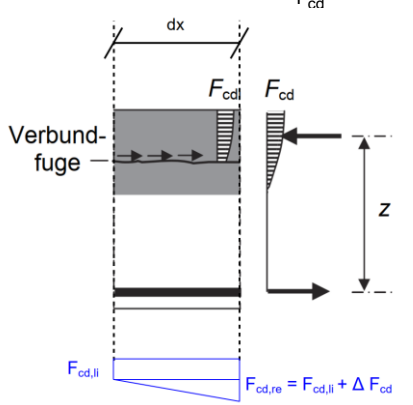
*1: eine Aufhängebewehrung ist nur erforderlich, wenn auf eine Anschlussbewehrung aus der Bodenplatte verzichtet wird (Biegebewehrung wird nicht in der als Auflager dienenden Bodenplatte verankert → NW indirektes Auflager).



3.) Fugennachweis nach DIN EN 1992-1-1, 6.2.2 oder 6.2.3

s. Querkraftnachweis

6.2.10 Schubkraftübertragung längs zur Verbundfuge (z.B. Horizontale Arbeitsfuge Unterzug)

4.) Allgemeines																					
Regelungen: - DIN EN 1992-1-1, 6.2.5																					
5.) Fugennachweis nach DIN EN 1992-1-1, 6.2.5																					
2.6) Einwirkung																					
$v_{Edi} = \frac{\beta \cdot V_{Ed}}{b_i \cdot z_i} \text{ (kN/cm}^2\text{)}$ <p>Mit:</p> <p>Fuge in der Zugzone: $\beta = 1,0$ (sichere Seite)</p> <p>Fuge in der Druckzone: $\beta = \frac{F_{cdi}}{F_{cd}}$</p>  <div style="border: 1px solid black; padding: 5px; width: fit-content;"> <p>Herleitung:</p> <p>I) $\tau = \Delta F_{cd} / (b \cdot dx)$</p> <p>II) $\Delta F_{cd} = dM_{Ed} / z = (V_{Ed} \cdot dx) / z$</p> <p>$\rightarrow \tau = V_{Ed} \cdot dx / (z \cdot b \cdot dx) = V_{Ed} / (z \cdot b)$</p> </div>	<p>β: Beiwert zur Berücksichtigung der zu übertragenden Kraft (-)</p> <p>V_{Ed}: Querkraft im Träger (kN)</p> <p>b_i: kleinste Querschnittsbreite (cm)</p> <p>z_i: Hebelarm (cm)</p> $z = \min \begin{cases} 0,9 \cdot d \\ d - c_{v,1} - 3,0 \text{ cm} \\ d - 2 \cdot c_{v,1} \end{cases}$ <p>d: statische Nutzhöhe (cm)</p>																				
2.7) Bewehrungsgrad Fuge:																					
$\rho = \frac{A_s}{A_i} \text{ (-)}$	<p>A_s: Querschnittsfläche Bewehrung längs der Fuge (cm²/m) = Querkraftbewehrung im Unterzug</p> <p>A_i: Fläche der Fuge über den Schub übertragen wird (cm²/m)</p> <p>$A_i = b_i \cdot L_i$</p> <p>b_i: kleinste Querschnittsbreite (cm)</p> <p>L_i: Länge der betrachteten Fuge (cm/m)</p> <p>z.B. 100cm/m</p>																				
2.8) Normalspannung in der Fuge:																					
$\sigma_n = \min \left\{ \begin{array}{l} \frac{n_{Ed}}{A_i} \\ 0,6 \cdot f_{cd} \end{array} \right. \text{ (kN/cm}^2\text{)}$ <p>Hinweis: z.B. Aufbeton</p>	<p>n_{Ed}: Bemessungswert senkrecht zur Fuge (kN/m)</p> <p>bei Druck: $n_{Ed} = \gamma_F \cdot n_k$ (i.d.R. $n_{Ed} = 1,35 \cdot g_k + 1,5 \cdot q_k$)</p> <p>sichere Seite bzw. bei Zug: $n_{Ed} = 0$</p> <p>A_i: Fläche der Fuge über den Schub übertragen wird (cm²/m)</p> <p>$A_i = b_i \cdot L_i$</p>																				
2.9) Bemessungswert der aufnehmbaren Schubkraft:																					
<p>Bewehrung senkrecht zur Fuge ($\alpha = 90^\circ$):</p> $V_{Rdi} = \min \left\{ \begin{array}{l} c \cdot f_{ctd} + \mu \cdot \sigma_n + \rho \cdot f_{yd} \cdot 1,2 \cdot \mu \\ 0,5 \cdot v \cdot f_{cd} \end{array} \right.$ <p>Bewehrung geneigt ($\alpha \leq 90^\circ$):</p> $V_{Rdi} = \min \left\{ \begin{array}{l} c \cdot f_{ctd} + \mu \cdot \sigma_n + \rho \cdot f_{yd} \cdot (1,2 \cdot \mu \cdot \sin \alpha + \cos \alpha) \\ 0,5 \cdot v \cdot f_{cd} \end{array} \right.$ <p>Mit:</p> <p>C20/25: $f_{ctd} = 0,085 \frac{\text{kN}}{\text{cm}^2}$</p> <p>C25/30: $f_{ctd} = 0,102 \frac{\text{kN}}{\text{cm}^2}$</p> <p>C30/37: $f_{ctd} = 0,113 \frac{\text{kN}}{\text{cm}^2}$</p> <p>C40/50: $f_{ctd} = 0,142 \frac{\text{kN}}{\text{cm}^2}$</p> <p>C50/60: $f_{ctd} = 0,164 \frac{\text{kN}}{\text{cm}^2}$</p>	<p>c: Rauigkeitsbeiwert (-)</p> <p>μ: Reibbeiwert (-)</p> <p>v: Abminderungsbeiwert Betondruckfestigkeit (-)</p> <table border="1"> <thead> <tr> <th>Fuge</th> <th>c</th> <th>μ</th> <th>v</th> </tr> </thead> <tbody> <tr> <td>verzahnt</td> <td>0,50</td> <td>0,9</td> <td>0,70</td> </tr> <tr> <td>rau</td> <td>0,40^{a)}</td> <td>0,7</td> <td>0,50</td> </tr> <tr> <td>glatt</td> <td>0,20^{a)}</td> <td>0,6</td> <td>0,20</td> </tr> <tr> <td>sehr glatt</td> <td>0^{b)}</td> <td>0,5</td> <td>0</td> </tr> </tbody> </table> <p>^{a)} Zug rechtwinklig zur Fuge: $c = 0$</p> <p>^{b)} Höhere Beiwerte müssen durch entsprechende Nachweise begründet sein.</p> <p>f_{ctd}: Betonzugfestigkeit (kN/cm²)</p> $f_{ctd} = \alpha_{ct} \cdot \frac{f_{ctk,0,05}}{\gamma_c}$ <p>f_{yd}: Bemessungswert der Streckgrenze der Fugenbewehrung (kN/cm²)</p> $f_{yd} = f_{yk} / \gamma_s \text{ (i.d.R.: } f_{yk} = 50 \text{ kN/cm}^2; \gamma_s = 1,15)$	Fuge	c	μ	v	verzahnt	0,50	0,9	0,70	rau	0,40 ^{a)}	0,7	0,50	glatt	0,20 ^{a)}	0,6	0,20	sehr glatt	0 ^{b)}	0,5	0
Fuge	c	μ	v																		
verzahnt	0,50	0,9	0,70																		
rau	0,40 ^{a)}	0,7	0,50																		
glatt	0,20 ^{a)}	0,6	0,20																		
sehr glatt	0 ^{b)}	0,5	0																		

6.3 Torsion

6.3.1 Bemessung bei reiner Torsion (nur Rechteckquerschnitt und Hohlkasten)

1.) Einwirkendes Torsionsmoment

Kontrolle des Torsionsmomentenverlaufes durch Querkraftanalogie!

Bei zusammengesetzten Querschnitten:

$$T_{Ed,i} = T_{Ed} \cdot \frac{I_{T,i}}{\sum I_{T,i}} \quad [\text{kNm}]$$

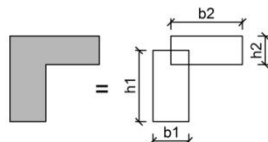


Abbildung 6: Zerlegung eines profilierten Querschnittes

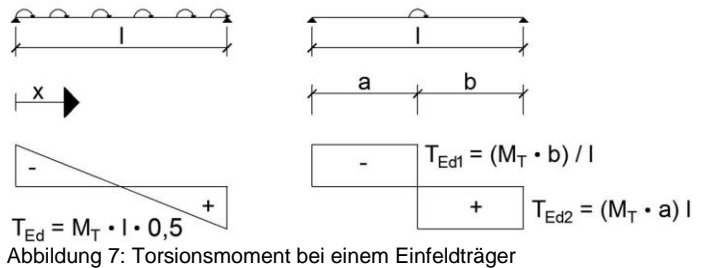


Abbildung 7: Torsionsmoment bei einem Einfeldträger

Torsionssteifigkeit

	$I_T = \alpha \cdot L \cdot t^3 \quad [\text{m}^4]$	L/t	1,0	1,25	1,5	2,0	2,5	3,0	4,0	5,0	6,0	10	∞
		α	0,14	0,171	0,196	0,229	0,249	0,263	0,281	0,291	0,299	0,313	0,333

	$I_T = \frac{4 \cdot (b_k)^2 \cdot (h_k)^2}{\frac{b_k}{t_1} + \frac{b_k}{t_2} + \frac{h_k}{t_3} + \frac{h_k}{t_4}} \quad [\text{m}^4]$
--	--

$I_{T,i}$: [m⁴] Torsionssteifigkeit des Querschnittsteils i; siehe Anhang
 T_{Ed} : [kNm] gesamtes Torsionsmoment

2.) Querkraft in der Wand des Ersatzhohlkastens

Effektive Wanddicke

Allgemein:

$$t_{ef,i} = \min \begin{cases} h_w \quad [\text{m}] \\ 2 \cdot a \quad [\text{m}] \end{cases}$$

a: [m] Abstand zwischen Außenfläche und Schwerelinie der Bewehrung
 h_w : [m] vorhandene Wanddicke

Hohlkasten mit Wanddicke $h_w \leq b/6$:

$$t_{ef,i} = h_w \quad [\text{m}]$$

Querkräfte

$$V_{Ed,T+V} = V_{Ed,T} + V_{Ed,V} \quad [\text{kN}]$$

$$\text{mit: } V_{Ed,V} = V_{Ed} \cdot \frac{t_{ef,i}}{b_w} \quad [\text{kN}] \quad V_{Ed,T} = \frac{T_{Ed} \cdot z_i}{2 \cdot A_k} \quad [\text{kN}]$$

Hinweise:

- Bei einem gegliederten QS ist $V_{Ed,V}$ in der Platte = 0 (es wird angenommen dass die Querkraft nur von den Stegen aufgenommen wird)
- Für Steg eines Hohlkastens: $\tau = \frac{M_T}{2 \cdot t \cdot A_T}$
 → Kraft in einem Steg: $F = \tau \cdot t \cdot z_i$

A_k : [m²] Durch die Mittellinien der Wände eingeschlossene Fläche
 → i.d.R. Fläche innerhalb der Bewehrungsachsen
 z_i : [m] Abstand der Schnittpunkte der Wandmittellinie und der angrenzenden Wandmittellinie
 → i.d.R. Abstand der oberen und unteren Bewehrungslage
 T_{Ed} : [kNm] einwirkendes Torsionsmoment

3.) Nachweis der Druckstrebe

Druckstrebenneigung (s. DIN EN 1992-1-1/NA:2013-04; 6.2.3(2))

genau:

$$0,58 \leq \cot \theta = \frac{1,2}{1 - \frac{V_{Rd,cc}}{\sqrt{V_{Ed,T+V}}}} \leq 3,0 []$$

mit $V_{Rd,cc} = 0,24 \cdot \sqrt[3]{f_{ck}} \cdot \left(1 - 1,2 \cdot \frac{\sigma_{cp}}{f_{cd}}\right) \cdot t_{ef,i} \cdot z_i$ [MN]

vereinfacht zur Ermittlung der Torsionsbewehrung:
 $\cot \theta = 1,0$

Hinweis:

Der Nachweis für Querkraft als auch für Torsion ist mit dem Druckstrebenneigungswinkel $\cot \theta$ der sich aus der kombinierten Beanspruchung $V_{Ed,T+V}$ ergibt zu führen. (DIN EN 1992-1-1/NA:2013-04; 6.3.2(2))

Vereinfacht kann der Nachweis für Torsion mit dem Druckstrebenneigungswinkel $\cot \theta = 1,0$ geführt werden. Der Querkraftnachweis wird dann separat geführt und die jeweils ermittelten Bewehrungen addiert.

$V_{Ed,T+V}$: [kN]

$V_{Rd,cc}$: [kN]

f_{ck} : [N/mm²] charakteristische Zylinderdruckfestigkeit von Beton
 σ_{cp} : [N/mm²] Bemessungswert der Betonlängsspannung in Höhe des Schwerpunkts des Querschnitts. **Zugspannungen negativ!**

$\sigma_{cp} = N_{Ed}/A_c$

f_{cd} : [N/mm²] Bemessungswert der einaxialen Druckfestigkeit

$t_{ef,i}$: [m]

z_i : [m] Höhe der Wand i; definiert durch die Schnittpunkte der Wandmittellinien

Druckstrebentragfähigkeit $T_{Rd,max}$

$$T_{Rd,max} = \frac{v \cdot \alpha_{c,w} \cdot f_{cd} \cdot 2 \cdot A_k \cdot t_{ef,i}}{\cot \theta + \frac{1}{\cot \theta}} \text{ [MNm]}$$

Hinweis:

$T_{Rd,max}$ entspricht dem Widerstand eines Steges bzw. eines Flansches.

v : [] allgemein: $v = 0,525$

für $\geq C55/67$: $v = 0,525 \cdot (1,1 - f_{ck}/500)$

Kastenquerschnitt: $v = 0,75$

für $\geq C55/67$: $v = 0,75 \cdot (1,1 - f_{ck}/500)$

$\alpha_{c,w}$: [] Beiwert zur Berücksichtigung des Spannungszustandes im Druckgurt. $\alpha_{c,w} = 1,0$

f_{cd} : [N/mm²] Bemessungswert der einaxialen Druckfestigkeit.

A_k : [m²] Durch die Mittellinien der Wände eingeschlossene Fläche
 → i.d.R. Fläche innerhalb der Bewehrungsachsen

t_{ef} : [m] wirksame Dicke der Wand = 2 x Abstand zwischen Außenfläche und Bewehrungsachse

$\cot \theta$: [] Druckstrebenneigungswinkel; siehe oben

Druckstrebentragfähigkeit $V_{Rd,max}$

$$V_{Rd,max} = \frac{\alpha_{c,w} \cdot b_w \cdot z \cdot v_1 \cdot f_{cd}}{\cot \theta + \frac{1}{\cot \theta}} \text{ [kN]}$$

Hinweis:

Bei gegliedertem QS entspricht $V_{Rd,max}$ dem Widerstand eines Steges bzw. eines Flansches, wenn für b_w nur dessen Breite angesetzt wird. Falls die ganze Schnittbreite angesetzt wird entspricht $V_{Rd,max}$ dem Widerstand des gesamten QS.

$\alpha_{c,w}$: [] Beiwert zur Berücksichtigung des Spannungszustandes im Druckgurt. $\alpha_{c,w} = 1,0$

b_w : [m] Querschnittsbreite (siehe Hinweis)

z : [m] innerer Hebelarm; $z = \min \{0,9 \cdot d; \max \{d - 2 \cdot c_{v,1}; d - c_{v,1} - 3\}\}$

v_1 : [] Beiwert; $v_1 = 0,75 \cdot v_2$

v_2 : [] Beiwert; $v_2 = 1,0$ (für $\leq C50/60$)

f_{cd} : [N/mm²] Bemessungswert der einaxialen Druckfestigkeit.

$\cot \theta$: [] Druckstrebenneigungswinkel; siehe oben

Nachweis der Druckstrebentragfähigkeit

Kompakt- und Vollquerschnitte:

$$\left[\frac{T_{Ed}}{T_{Rd,max}}\right]^2 + \left[\frac{V_{Ed,red}}{V_{Rd,max}}\right]^2 \leq 1,0$$

Kastenquerschnitte:

$$\frac{T_{Ed}}{T_{Rd,max}} + \frac{V_{Ed,red}}{V_{Rd,max}} \leq 1,0$$

Hinweis:

bei gegliederten Querschnittsteilen ist die Querkraft in den horizontalen Teilen in der Regel = 0.

Es gilt dann: $\frac{T_{Ed}}{T_{Rd,max}} \leq 1,0$

4.) Nachweis der Zugstrebe – Ermittlung der Bewehrung

Überprüfen ob Mindestbewehrung ausreicht

Bei rechteckigem Vollquerschnitt wenn:

$$\frac{V_{Ed,red} \cdot b_w}{4,5} \geq T_{Ed} \text{ [kNm]}$$

und

$$V_{Ed,red} \cdot \left[1 + \frac{4,5 \cdot T_{Ed}}{V_{Ed,red} \cdot b_w}\right] \leq V_{Rd,c} \text{ [kN]}$$

und

$$\frac{T_{Ed}}{T_{Rd,c}} + \frac{V_{Ed}}{V_{Rd,c}} \leq 1,0$$

wenn alle Bedingungen eingehalten sind:

→ nur Mindestbewehrung erf.

wenn eine/ beide Bedingungen nicht eingehalten sind:

→ Bewehrung für Querkraft und Torsion erf.

T_{Ed} : [kNm] einwirkendes Torsionsmoment

$V_{Ed,red}$: [kN] einwirkende Querkraft

b_w : [m] kleinste Querschnittsbreite in der Zugzone

$V_{Rd,c}$: [kN] Grundwert der Querkrafttragfähigkeit; siehe Abschnitt 0

Querbewehrung infolge Querkraft	
$a_{sw,V} = \frac{V_{Ed,red} \cdot s_w}{f_{ywd} \cdot z \cdot \cot \theta} \text{ [cm}^2\text{/m]}$ <p>Hinweis: Bei einem gegliederten QS (z.B. PB) ist für den horizontalen Querschnittsteil kein $a_{sw,V}$ erforderlich.</p>	$V_{Ed,red}$: [kN] Querkraft im Abstand d des Auflagers s_w : [m] Abstand der Querkraftbewehrung; $s_w = 1,0$ f_{ywd} : [kN/cm ²] Bemessungswert der Streckgrenze der Querkraftbewehrung. $f_{ywd} = f_{yk}/\gamma_s$ (i.d.R.: $f_{yk} = 50\text{KN/cm}^2$; $\gamma_s = 1,15$) z : [m] innerer Hebelarm; $z = \min \{0,9 \cdot d; \max \{d - 2 \cdot c_{v,l}; d - c_{v,l} - 3\}\}$ $\cot \theta$: [] Druckstrebenneigungswinkel; siehe oben
Querbewehrung infolge Torsion	
$a_{sw,T} = \frac{T_{Ed} \cdot 100^2}{f_{yd} \cdot 2 \cdot A_k \cdot \cot \theta} \text{ [cm}^2\text{/m]}$	T_{Ed} : [kNm] einwirkendes Torsionsmoment; siehe oben f_{yd} : [kN/cm ²] Bemessungswert der Streckgrenze der Torsionsquerbewehrung $f_{yd} = f_{yk}/\gamma_s$ (i.d.R.: $f_{yk} = 50\text{KN/cm}^2$; $\gamma_s = 1,15$) A_k : [cm ²] $\cot \theta$: [] Druckstrebenneigungswinkel; siehe oben
Längsbewehrung infolge Torsion	
$a_{sl} = \frac{T_{Ed} \cdot 100^2 \cdot \cot \theta}{f_{yd} \cdot 2 \cdot A_k} \text{ [cm}^2\text{/m]}$ <p>Hinweis: die Längsbewehrung ist auf den Umfang der Kernfläche zu verteilen.</p>	T_{Ed} : [kNm] einwirkendes Torsionsmoment; siehe oben f_{yd} : [kN/cm ²] Bemessungswert der Streckgrenze der Torsionslängsbewehrung $f_{yd} = f_{yk}/\gamma_s$ (i.d.R.: $f_{yk} = 50\text{KN/cm}^2$; $\gamma_s = 1,15$) A_k : [cm ²] $\cot \theta$: [] Druckstrebenneigungswinkel; siehe oben u_k : [m] Umfang der Kernfläche
5.) Konstruktive Durchbildung	
Mindestbewehrung	
$a_{sw,T,min} = 0,16 \cdot \frac{f_{ctm}}{f_{yk}} \cdot t_{ef,i} \cdot 100 \text{ [cm}^2\text{/m]}$	f_{yk} : [N/mm ²] charakteristischer Wert der Streckgrenze; $f_{yk} = 500 \text{ N/mm}^2$ f_{ctm} : [N/mm ²] Mittelwert der zentrischen Betonzugfestigkeit $t_{ef,i}$: [cm] effektive Wanddicke; siehe oben
Superposition der Bewehrung	
<p>Querbewehrung je Bügelschenkel: $a_{sw,ges} = 0,5 \cdot a_{swq} + a_{swt} \text{ [cm}^2\text{/m]}$</p> <p>Längsbewehrung: Druckzone : $a_{sl} \cdot z_o$ Zugzone: $A_{sl} = A_{slB} + a_{sl} \cdot z_u \text{ [cm}^2\text{]}$ seitlich: $A_{sl} = a_{sl} \cdot z_s \text{ [cm}^2\text{]}$</p>	a_{swq} : [cm ² /m] Querbewehrung infolge Querkraft; siehe Abschnitt 6.2.3 Es darf dabei vereinfachend mit $\cot \vartheta = 1,2$ gerechnet werden. a_{swt} : [cm ² /m] Querbewehrung infolge Torsion z_o : [m] Breite des Ersatzhohlkastens an der Oberseite z_u : [m] Breite des Ersatzhohlkastens an der Unterseite z_s : [m] Breite des Ersatzhohlkastens auf der Seite
Maximale Stababstände	
<p>Abstand der Querbewehrung in Trägerlängsrichtung: $s_w \leq \frac{u_k}{8}$ und $s_w \leq s_{w,V}$</p> <p>Abstand der Längsstäbe: $s_l \leq 350 \text{ mm}$</p>	

6.4 Durchstanzen

6.4.1 Durchstanzen bei Flachdecken

1.) Rundschnitte

Innenstützen

Rechteckstütze $a/b \leq 2,0$ und $u_0 \leq 12 \cdot d_{\text{eff}}$:

$$u_0 = 2 \cdot (b_y + b_z) \quad [\text{m}]$$

$$u_1 = 2 \cdot (b_y + b_z) + 2 \cdot \pi \cdot 2,0 \cdot d_{\text{eff}} \quad [\text{m}]$$

Rundstütze $u_0 \leq 12 \cdot d$:

$$u_0 = \pi \cdot d_{\text{Stütze}} \quad [\text{m}]$$

$$u_1 = (2,0 \cdot d_{\text{eff}} + 0,5 \cdot d_{\text{Stütze}}) \cdot 2 \cdot \pi \quad [\text{m}]$$

Rechteckstütze $a/b > 2,0$ und/oder $u_0 > 12 \cdot d_{\text{eff}}$:

$$a_1 = \min \begin{cases} a \\ 2 \cdot b \\ 6 \cdot d - b_1 \end{cases} \quad b_1 = \min \begin{cases} b \\ 3 \cdot d \end{cases}$$

$u_0 =$ siehe unten

$u_1 =$ siehe unten

d_{eff} : [m] mittlere Nutzhöhe der Platte

$$d_{\text{eff}} = (d_y + d_x)/2$$

a: [m] Querschnittsabmessung der Rechteckstütze

b: [m] Querschnittsabmessung der Rechteckstütze

u_0 : [m] Umfang der Stütze

u_1 : [cm] Umfang des kritischen Rundschnittes im

Abstand $2,0 \cdot d_{\text{eff}}$ vom Stützenrand

$d_{\text{Stütze}}$: [m] Durchmesser der Stütze

$$\text{Umfang Kreis: } U = 2 \cdot \pi \cdot r$$

$$U = \frac{a}{180} \cdot \pi \cdot r$$

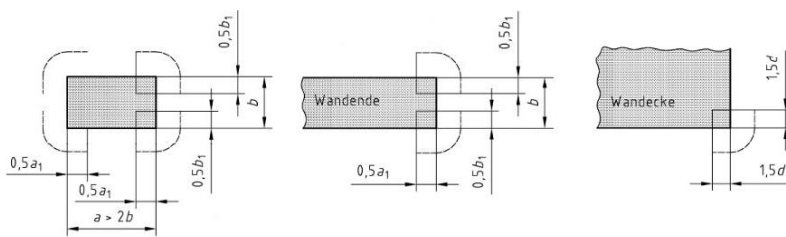


Abbildung 9: kritischer Rundschnitt bei ausgedehnten Auflagerflächen [1]

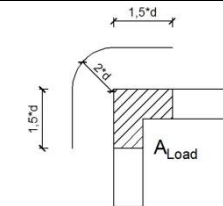


Abbildung 8: Wanddecke mit begrenzter Wanddicke

Hinweis: bei länglichen Stützen ist es egal ob man ein Wandende oder eine Stütze mit dem angepassten Rundschnitt betrachtet. Bei der Stütze mit dem angepassten Rundschnitt ist u_1 zwar doppelt so groß wie bei einem Wandende, allerdings ist auch die Lasteinzugsfläche doppelt so groß.

Rundstütze $u_0 > 12 \cdot d_{\text{eff}}$:

Der Durchstanznachweis darf entfallen. Es ist der Nachweis für querkraftbeanspruchte Flachdecken zu führen. (s. DIN EN 1992-1-1/NA; 6.4.1(2))

Rand- und Eckstützen

Rechteckstütze $a/b \leq 2,0$ und $u_0 \leq 12 \cdot d_{\text{eff}}$:

$$u_0 = 2 \cdot (b_y + b_z) \quad [\text{m}]$$

$$u_1 = \min \{u_{1,1}; u_{1,2}\}$$

Rundstütze $u_0 \leq 12 \cdot d$:

$$u_0 = 2 \cdot \pi \cdot d_{\text{Stütze}} \quad [\text{m}]$$

$$u_1 = \min \{u_{1,1}; u_{1,2}\}$$

Hinweis: Bei Rand- und Eckstützen ist der minimale Rundschnittumfang maßgebend. In der Regel ist dies der Umfang der sich durch eine gerade Verbindung zum freien Rand ergibt. (s. DIN EN 1992-1-1; 6.4.2(4))

d_{eff} : [m] mittlere Nutzhöhe der Platte; $d_{\text{eff}} = (d_y + d_x)/2$

a: [m] Querschnittsabmessung der Rechteckstütze

b: [m] Querschnittsabmessung der Rechteckstütze

u_0 : [m] Umfang der Stütze

u_1 : [cm] Umfang des kritischen Rundschnittes im Abstand $2,0 \cdot d_{\text{eff}}$ vom Stützenrand

$d_{\text{Stütze}}$: [m] Durchmesser der Stütze

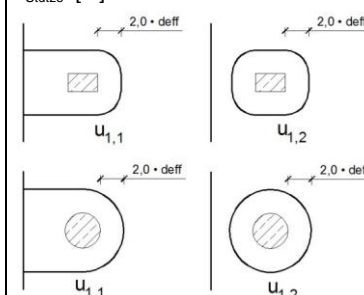


Abbildung 10: kritische Rundschnitte an freien Rändern

Stütze in der Nähe von Öffnungen:

Wenn sich in der Platte Öffnungen mit einem Abstand $a \leq 6 \cdot d$ von der Stützenkante befinden, muss der Rundschnitt reduziert werden. (s. DIN EN 1992-1-1; 6.4.2(3))

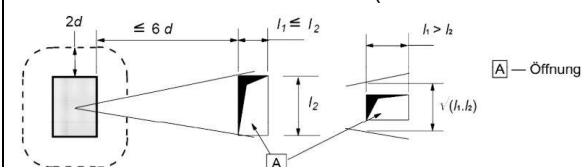


Abbildung 11: Rundschnitte in der Nähe von Öffnungen [4]

2.) Maximal einwirkende Querkraft

Zur Bestimmung der Durchstanzlast muss die Lasteinzugsfläche ermittelt werden. Diese kann wie in nebenstehender Abbildung abgeschätzt werden oder man ermittelt sich mit einer FE-Berechnung die Querkraftnulllinie. Diese ist gleichzeitig die umschließende Linie der Lasteinzugsfläche.

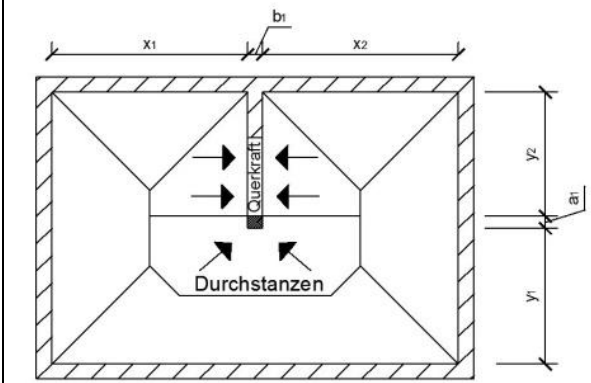


Abbildung 12: Lasteinzugsfläche

3.) Normalkräfte in der Deckenplatte

Allgemeines

Normalkräfte treten beispielsweise bei vorgespannten Decken (Druck) oder bei Decken die Bestandteil einer Gebäudeauskragung (Zug oder Druck) auf. Zugkräfte wirken ungünstig!
Normalkräfte können durch Erhöhung bzw. Reduzierung der einwirkenden Last V_{Ed} berücksichtigt werden.

Berücksichtigung von Zugkräften

Aus dem Anteil $k_1 \cdot \sigma_{cp}$ (vgl. EC2, Gl. 6.47):

$$V_{Ed, maßg} = V_{Ed} - k_1 \cdot \sigma_{cp} \cdot b_w \cdot d \text{ (kN)}$$

V_{Ed} : [kN] Durchstanzlast aus Lasteinzugsfläche bzw. Auflagerlast
Deckenbemessung.
 k_1 : [] Beiwert $k_1 = 0,1$
 σ_{cp} : [kN/m²] Normalspannung in der Deckenplatte.
Zugkräfte negativ.
 b_w : [m] Plattenbreite $b_w = 1,0\text{m}$
 d : [m] statische Nutzhöhe

4.) Lasterhöhungsfaktor β

Ermittlung von β mit Verfahren nach Bild 6.21N

Gilt nur bei einem unverschieblichen Gesamttragwerk

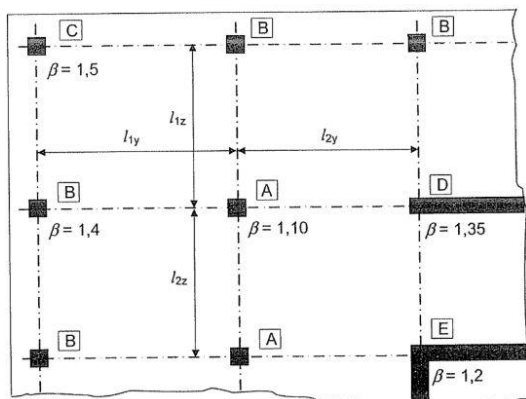
$$\text{und nur wenn: } 0,8 \leq \frac{l_{eff,1,y}}{l_{eff,2,y}} \leq 1,25$$

$$0,8 \leq \frac{l_{eff,1,z}}{l_{eff,2,z}} \leq 1,25$$

Für Randstützen mit:

$$\frac{e_z}{c_z} \geq 1,2 \rightarrow \beta \text{ muss genauer ermittelt werden. (s. 0 oder 0)}$$

$$\frac{e_y}{c_y} \geq 1,2 \rightarrow \beta \text{ muss genauer ermittelt werden. (s. 0 oder 0)}$$



- | | |
|---------------------------------|-------------------------------|
| [A] Innenstütze: $\beta = 1,10$ | [B] Randstütze: $\beta = 1,4$ |
| [C] Eckstütze: $\beta = 1,5$ | [D] Wandende: $\beta = 1,35$ |
| [E] Wanddecke: $\beta = 1,20$ | |

Abbildung 13: Werte für β [2]

$l_{eff,1,y}$: [m] Effektive Spannweite der Platte in y-Richtung auf der einen Seite der betrachtete Stütze.
 $l_{eff,2,y}$: [m] Effektive Spannweite der Platte in y-Richtung auf der anderen Seite der betrachteten Stütze.
 $l_{eff,1,z}$: [m] Effektive Spannweite der Platte in z-Richtung auf der einen Seite der betrachtete Stütze.
 $l_{eff,2,z}$: [m] Effektive Spannweite der Platte in z-Richtung auf der anderen Seite der betrachteten Stütze.
 e_z : [m] Lastausmitte in z-Richtung; $e_z = M_{Ed,y} / \Delta N_{Ed}$
 e_y : [m] Lastausmitte in y-Richtung; $e_y = M_{Ed,z} / \Delta N_{Ed}$
 M_{Ed} : [kNm] Bemessungsmoment des zwischen Platte und Stütze überzuleitenden Biegemoments.
 ΔN_{Ed} : [kN] Normalkraftdifferenz in der Stütze, in der Regel entspricht ΔN_{Ed} der Durchstanzlast V_{Ed}
 c : [m] Stützenabmessung in Richtung der Lastausmitte

Ermittlung von β mit Sektormodell

Ermittlung der Lasteinzugsfläche A_{LE}

Zunächst muss die Lasteinzugsfläche A_{LE} über die Querkraftnulllinien unter Volllast ermittelt werden.
Die Nullstellen des Querkraftverlaufs können mit Hilfe eines Ersatzdurchlaufträgers, jeweils in Richtung der beiden Plattenachsen, ausreichend genau ermittelt werden.

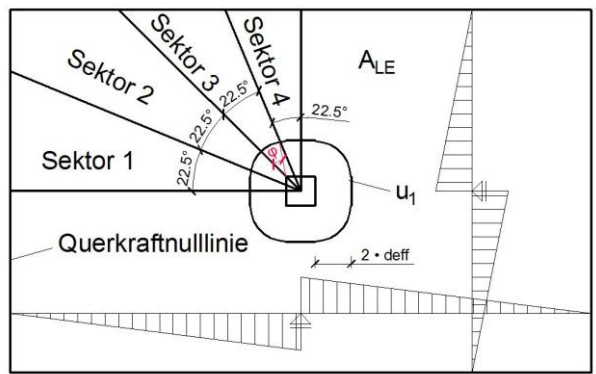


Abbildung 14: Lasteinzugsfläche mit Sektoren

Ermittlung der Sektoren

Unterteilung der Lasteinzugsfläche in i Lasteinteilungssektoren A_i .
Jeder Quadrant soll in mindestens 4 Sektoren aufgeteilt werden.

Ermittlung der einzelnen Sektorkräfte

$$V_{Ed,i} = \frac{A_i \cdot p_d}{u_i} \quad [\text{kN/m}]$$

für Rechteckstütze mit 4 Sektoren je Quadrant:

$$U_2 = U_3 = \pi \cdot \left(a_1 + \frac{h}{2} \right) \cdot \frac{\varphi}{180} \quad (\text{m})$$

$$U_1 = U_4 = \frac{1}{2} \cdot \left[\frac{u_1}{4} - 2 \cdot U_2 \right] \quad [\text{m}]$$

A_i : Flächeninhalt des Sektors i , [A_i] = m^2
 p_d : Bemessungswert der Belastung, [p_d] = kN/m^2
 u_i : Umfang des kritischen Rundschnittes im Abstand $2 \cdot d_{eff}$ des Lastsektors i , [u_i] = m
 u_1 : Umfang des kritischen Rundschnittes im Abstand $2 \cdot d_{eff}$, [u_1] = m
 a_1 : Abstand des kritischen Rundschnittes u_1 von der Stützenkante, [a_1] = m
 h : Stützenabmessung, [h] = m
 φ : Öffnungswinkel betrachteten Sektors gemessen von der Stützenecke, [φ] = $^\circ$

Ermittlung der mittleren Auflagerkraft

$$V_{Ed,m} = \frac{V_{Ed}}{u_1} \quad [\text{kN/m}]$$

V_{Ed} : [kN] Durchstanzlast; siehe oben
 u_1 : [m] Umfang des kritischen Rundschnittes im Abstand $2 \cdot d_{eff}$

Ermittlung des Lasterhöhungsfaktors

$$\beta = \max \left\{ \frac{V_{Ed,i}}{V_{Ed,m}} \right\} \geq 1,1 \quad []$$

Ermittlung von β mit ausführlicher Berechnung

Ermittlung Momentenfaktor k (s. DIN EN 1992-1-1; Tabelle 6.1)

c_1/c_2	$\leq 0,5$	1,0 (z.B. Rundstützen)	2,0	$\geq 3,0$
k	0,45	0,6	0,7	0,8

c_1 : [m] Stützenabmessung parallel zur Lastausmitte
 c_2 : [m] Stützenabmessung senkrecht zur Lastausmitte

Hinweise:

Zwischenwerte können linear interpoliert werden.

Ein größerer k -Wert liegt auf der sicheren Seite.

Biegemomente aus der Platte werden durch Schubspannungen und Normalspannungen in die Stütze abgetragen, sodass nur ein Teil des Momentes durchstanzrelevante Querkräfte hervorruft. [5] Der Momentenfaktor gibt den Anteil des Momentes an, der durch Schubspannungen übertragen wird. $\rightarrow M_{Ed,eff} = k \cdot M_{Ed}$

Statisches Moment des kritischen Rundschnittes

$$W_{1,y} = \int_0^{u_1} |y| dl \quad [m^2] \quad \text{bzw.} \quad W_{1,z} = \int_0^{u_1} |z| dl \quad [m^3]$$

Die folgenden Formeln gelten nur wenn die Schwerelinie des kritischen Rundschnittes gleich der Schwerelinie der Stütze entspricht. Sonstige Fälle: siehe DAfStb Heft 600

Rechteckstütze:

$$W_{1,z} = \frac{b^2}{2} + 2 \cdot a \cdot l_u + a \cdot b + \pi \cdot l_u \cdot b + 4 \cdot (l_u)^2 \quad [m^3]$$

$$W_{1,y} = \frac{a^2}{2} + 2 \cdot b \cdot l_u + a \cdot b + \pi \cdot l_u \cdot a + 4 \cdot (l_u)^2 \quad [m^3]$$

Rundstütze:

$$W_1 = 4 \cdot \left(l_u + \frac{b}{2} \right)^2 \quad [m^3]$$

$W_{1,y}$: [m³] statisches Moment des kritischen Rundschnittes um die y-Achse, bezogen auf die Schwerelinie des kritischen Rundschnittes.

$W_{1,z}$: [m³] statisches Moment des kritischen Rundschnittes um die z-Achse, bezogen auf die Schwerelinie des kritischen Rundschnittes.

dl : [] Differential des Umfangs

y : [m] Abstand von dl zur Achse, um die das Moment M_{Ed} wirkt.

a : [m] Stützenabmessung parallel zur y-Achse

b : [m] Stützenabmessung parallel zur z-Achse

l_u : [m] Abstand zwischen Stützenrand und dem kritischen Rundschnitt u_1

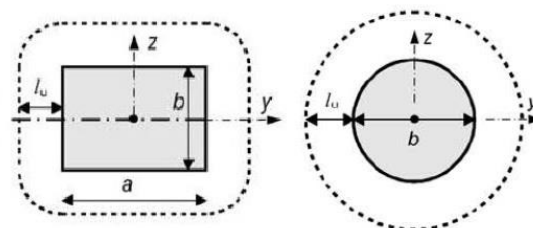


Abbildung 15: Grundrisse Stützen [6]

Ermittlung des Lasterhöhungsfaktors (s. DIN EN 1992-1-1; 6.4.3(3))

Einachsige Ausmitte:

Ausmitte in z-Richtung:

$$\beta = \max \left\{ 1 + k_y \cdot \frac{|M_{Ed,y}|}{V_{Ed}} \cdot \frac{u_1}{W_{1,y}} ; 1,1 \right\} []$$

Ausmitte in y-Richtung:

$$\beta = \max \left\{ 1 + k_z \cdot \frac{|M_{Ed,z}|}{V_{Ed}} \cdot \frac{u_1}{W_{1,z}} ; 1,1 \right\} []$$

$M_{Ed,y}$ und $M_{Ed,z}$ müssen auf die Schwerachse des Rundschnittes umgerechnet werden!!

$$M_{Ed,y}^* = M_{Ed,y} - V_{Ed} \cdot z_0 \quad [kNm] \quad (\text{kann auch negativ werden})$$

$$M_{Ed,z}^* = M_{Ed,z} - V_{Ed} \cdot y_0 \quad [kNm]$$

Hinweis: Bei Rundstützen muss immer die Formel für einachsige Ausmitte angewendet werden.

k_y : [] Momentenfaktor für Biegung um y-Achse; siehe oben
 k_z : [] Momentenfaktor für Biegung um z-Achse; siehe oben
 u_1 : [m] Umfang des kritischen Rundschnittes im Abstand $2 \cdot d_{eff}$; siehe oben

$W_{1,y}$: [m³] statisches Moment des kritischen Rundschnittes bezogen auf dessen Schwerelinie; siehe oben

$W_{1,z}$: [m³] statisches Moment des kritischen Rundschnittes bezogen auf dessen Schwerelinie; siehe oben

$M_{Ed,y}$: [kNm] Bemessungsmoment des zwischen Platte und Stütze überzuleitenden Biegemoments um die y-Achse.

$M_{Ed,z}$: [kNm] Bemessungsmoment des zwischen Platte und Stütze überzuleitenden Biegemoments um die z-Achse.

V_{Ed} : [kN] Durchstanzlast; siehe oben

z_0 : [m] Lage der Schwerelinie des kritischen Rundschnittes in z-Richtung, bezogen auf die Schwerelinie der Stütze. Siehe DAfStb Heft 600

y_0 : [m] Lage der Schwerelinie des kritischen Rundschnittes in y-Richtung, bezogen auf die Schwerelinie der Stütze. Siehe DAfStb Heft 600

Zweiachsige Ausmitte:

$$\beta = \max \left\{ 1 + \sqrt{\left(k_y \cdot \frac{M_{Ed,y}^*}{V_{Ed}} \cdot \frac{u_1}{W_{1,y}} \right)^2 + \left(k_z \cdot \frac{M_{Ed,z}^*}{V_{Ed}} \cdot \frac{u_1}{W_{1,z}} \right)^2} ; 1,1 \right\}$$

$M_{Ed,y}$ und $M_{Ed,z}$ müssen auf die Schwerachse des Rundschnittes umgerechnet werden!!

$$M_{Ed,y}^* = M_{Ed,y} - V_{Ed} \cdot z_0 \quad [kNm]$$

$$M_{Ed,z}^* = M_{Ed,z} - V_{Ed} \cdot y_0 \quad [kNm]$$

k_y : [] Momentenfaktor für Biegung um y-Achse

k_z : [] Momentenfaktor für Biegung um z-Achse

u_1 : [m] Umfang des kritischen Rundschnittes im Abstand $2 \cdot d_{eff}$; siehe oben

$M_{Ed,y}$: [kNm] Bemessungsmoment des zwischen Platte und Stütze überzuleitenden Biegemoments um die y-Achse.

$M_{Ed,z}$: [kNm] Bemessungsmoment des zwischen Platte und Stütze überzuleitenden Biegemoments um die z-Achse.

V_{Ed} : [kN] Durchstanzlast; siehe oben

$W_{1,y}$: [m³] statisches Moment des kritischen Rundschnittes bezogen auf dessen Schwerelinie; siehe oben

$W_{1,z}$: [m³] statisches Moment des kritischen Rundschnittes bezogen auf dessen Schwerelinie; siehe oben

5.) Überprüfung ob Durchstanzbewehrung erforderlich ist

Maximal einwirkende Querkraft je Flächeneinheit (s. DIN EN 1992-1-1; Formel 6.38)

$$V_{Ed,u1} = \frac{\beta \cdot V_{Ed}}{u_1 \cdot d_{eff}} \quad [\text{MN/m}^2]$$

β : Lasterhöhungsfaktor; siehe oben
 V_{Ed} : [MN] maximal einwirkende Querkraft; siehe oben
 u_1 : [m] Umfang des kritischen Rundschnittes im Abstand $2,0 \cdot d$ vom Stützenrand
 d_{eff} : [m] mittlere Nutzhöhe der Platte
 $d_{eff} = (d_y + d_x)/2$

Ermittlung des Durchstanzwiderstandes

Einfluss der Bauteilhöhe (Maßstabseffekt)

$$k = \min \left\{ \begin{array}{l} 1 + \sqrt{\frac{200}{d_{eff}}} \quad [] \\ 2 \end{array} \right.$$

d_{eff} : [mm] mittlere Nutzhöhe der Platte
 $d_{eff} = (d_y + d_x)/2$

Mittlerer Bewehrungsgrad

$$\rho_{l,x} = \frac{a_{s,x}}{d_x \cdot 100} \quad [] \quad \text{bzw.} \quad \frac{A_x}{d_x \cdot d_{crit}} \quad []$$

$$\rho_{l,y} = \frac{a_{s,y}}{d_y \cdot 100} \quad [] \quad \text{bzw.} \quad \frac{A_y}{d_y \cdot d_{crit}} \quad []$$

$$\rho_l = \min \left\{ \begin{array}{l} \sqrt{\rho_{lx} \cdot \rho_{ly}} \quad [] \\ 0,02 \quad [] \\ 0,5 \cdot \frac{f_{cd}}{f_{yd}} \quad [] \end{array} \right.$$

$a_{s,x}$: [cm²/m]
 $a_{s,y}$: [cm²/m]
 $d_{x,y}$: [cm] statische Nutzhöhe in x-Richtung
 d_y : [cm] statische Nutzhöhe in y-Richtung
 d_{crit} : [cm] Durchmesser des kritischen Rundschnittes
 $d_{crit} = c + 2 \cdot 2,0 \cdot d_{eff}$
 f_{cd} : [KN/cm²] Bemessungswert der Betondruckfestigkeit
 f_{yd} : [KN/cm²] Bemessungswert der Streckgrenze des Betonstahls; $f_{yd} = 43,5$ KN/cm²

Notwendiger Bewehrungsgrad damit keine Durchstanzbewehrung erforderlich wird:

$$\rho_l \geq \frac{\left(\frac{V_{Ed}}{C_{Rd,c} \cdot k} \right)^3}{100 \cdot f_{ck}} \quad [] \quad \rightarrow a_{s,x} = a_{s,z} = \rho_l \cdot 100 \cdot d_{eff}$$

Berechnung des Vorwertes $C_{Rd,c}$ (s. DIN EN 1992-1-1-NA; 6.4.4(1))

Innenstützen mit $u_0/d_{eff} < 4$:

$$C_{Rd,c} = \frac{0,18}{\gamma_c} \cdot \left(0,1 \cdot \frac{u_0}{d_{eff}} + 0,6 \right) \quad []$$

u_0 : [m] Umfang der Stütze
 d_{eff} : [m] statische Nutzhöhe der Platte; siehe oben
 γ_c : [] Teilsicherheitsbeiwert für Beton; $\gamma_c = 1,5$

Sonst für Flachdecken & Bodenplatten:

$$C_{Rd,c} = \frac{0,18}{\gamma_c} \quad []$$

Spannungen

$$\sigma_{c,y} = \frac{N_{Ed,y}}{A_{cy}} \quad [\text{MN/m}^2] \quad \sigma_{c,z} = \frac{N_{Ed,z}}{A_{cz}} \quad [\text{MN/m}^2]$$

$$\sigma_{cp} = \frac{\sigma_{cy} + \sigma_{cz}}{2} \quad [\text{MN/m}^2]$$

Hinweis: in der Regel ist $\sigma_{cp} = 0$

σ_{cy} : [KN/m²] Betonnormalspannungen in y-Richtung im kritischen Querschnitt
 σ_{cz} : [KN/m²] Betonnormalspannungen in z-Richtung im kritischen Querschnitt
 $N_{Ed,y}$: [kN/m] Horizontalbelastung in y-Richtung
 $N_{Ed,z}$: [kN/m] Horizontalbelastung in z-Richtung
 A_{cy} : [m²/m] Fläche im kritischen Rundschnitt; $A_{cy} = 1,0 \cdot h_{pl}$
 A_{cz} : [m²/m] Fläche im kritischen Rundschnitt; $A_{cz} = 1,0 \cdot h_{pl}$
 h_{pl} : [m] Plattendicke

Mindestquerkrafttragfähigkeit

wenn $d \leq 600\text{mm} \rightarrow x = 0,0525$

wenn $600\text{mm} < d < 800\text{mm} \rightarrow \text{Interp.: } x = 0,0975 - 0,075 \cdot d_{vorh}$

wenn $d > 800\text{mm} \rightarrow x = 0,0375$

$$v_{min} = \frac{x}{\gamma_c} \cdot k \cdot \sqrt{k \cdot f_{ck}} \quad [\text{MN/m}^2]$$

d : [m] statische Nutzhöhe

γ_c : [] Teilsicherheitsbeiwert für Beton; $\gamma_c = 1,5$

k : [] Faktor für den Einfluss der Bauteilhöhe; siehe oben

f_{ck} : [N/mm²] charakteristische Zylinderdruckfestigkeit von Beton

Durchstanzwiderstand ohne Durchstanzbewehrung

$$V_{Rd,c} = C_{Rd,c} \cdot k \cdot \sqrt[3]{100 \cdot \rho_l \cdot f_{ck}} + k_1 \cdot \sigma_{cp} \quad [\text{MN/m}^2]$$

$$\text{maß. } V_{Rd,c} = \max \left\{ \begin{array}{l} V_{Rd,c} \quad [\text{MN/m}^2] \\ v_{min} + 0,1 \cdot \sigma_{cp} \quad [\text{MN/m}^2] \end{array} \right.$$

f_{ck} : [N/mm²] charakteristische Zylinderdruckfestigkeit von Beton
 k : [] Faktor für den Einfluss der Bauteilhöhe; siehe oben
 b_w : [cm] kleinste Querschnittsbreite in der Zugzone bei Streifenfundament: $b = 100\text{cm}$
 d : [cm] statische Nutzhöhe des Streifenfundamentes
 k_1 : [] = 0,1
 σ_{cp} : [MN/m²]
 Betonzugspannungen sind negativ einzusetzen.

Nachweis	
$V_{Ed} \leq V_{Rd,c} \rightarrow$ es ist keine Durchstanzbewehrung erforderlich. $V_{Ed} > V_{Rd,c} \rightarrow$ Plattendicke vergrößern \rightarrow Betongüte erhöhen \rightarrow Biegezugbewehrung erhöhen (erf. $\rho_l \rightarrow$ siehe oben) \rightarrow Stützenabmessung vergrößern (nicht üblich) \rightarrow Durchstanzbewehrung anordnen (üblich)	V_{Ed} : [MN/m ²] maximal einwirkende Querkraft; siehe oben $V_{Rd,c}$: [MN/m ²] Durchstanzwiderstand ohne Durchstanzbewehrung
6.) Nachweis der Druckstrebe	
$V_{Rd,max} = 1,4 \cdot V_{Rd,c}$ [MN/m ²] $V_{Rd,max} \geq V_{Ed,u1} \rightarrow$ Druckstrebe versagt nicht $V_{Rd,max} < V_{Ed,u1} \rightarrow$ auch eine Durchstanzbewehrung kann die Durchstanztragfähigkeit nicht erhöhen. <div style="border: 1px solid gray; padding: 5px; background-color: #f0f0f0;"> Nachweis: $V_{Ed} \leq V_{Rd,max}$ <p>Für Flachdecken: HDB Dübelleisten $V_{Rd,max} = 1,96 V_{Rd,c}$ FDB II Durchstanzbewehrung $V_{Rd,max} = 2,09 V_{Rd,c}$</p> </div>	$V_{Rd,c}$ [MN/m ²] Durchstanzwiderstand ohne Durchstanzbewehrung σ_{cp} muss bei der Ermittlung von $V_{Rd,c} = 0$ gesetzt werden! Hinweis: bei Halben-Dübelleisten kann die Druckstrebentragfähigkeit mit $> 1,4$ angesetzt werden.
7.) Bemessung der Durchstanzbewehrung	
Hinweis	
Nach DIN EN 1992-1-1/NA; 6.4.5(4) muss der Rundschnitt u_{out} mit $V_{Rd,c}$ für Querkrafttragfähigkeit ohne Querkraftbewehrung nach DIN EN 1992-1-1; 6.2.2(1) ermittelt werden.	
Querkraftwiderstand nach DIN EN 1992-1-1; 6.2.2	
Beiwert x	
wenn $d \leq 600\text{mm} \rightarrow x = 0,0525$ wenn $600\text{mm} < d < 800\text{mm} \rightarrow$ Interpolation: $x = 0,0975 - 0,075 \cdot d_{vorh}$. wenn $d > 800\text{mm} \rightarrow x = 0,0375$	d: [m] statische Nutzhöhe
Querkraftwiderstand (s. DIN EN 1992-1-1; 6.2.2)	
$V_{Rd,c} = \left[\frac{0,15}{\gamma_c} \cdot k \cdot \sqrt[3]{100 \cdot \rho_l \cdot f_{ck}} + 0,12 \cdot \sigma_{cp} \right]$ [MN/m ²]	γ_c : [] Sicherheitsbeiwert = 1,5 k : [] Einfluss der Bauteilhöhe; siehe oben f_{ck} : [N/mm ²] Betondruckfestigkeit σ_{cp} : [MN/m ²] Zugspannung im Beton (i.d.R. = 0) Betonzugspannungen sind negativ einzusetzen
Mindestwert der Querkrafttragfähigkeit	
$V_{min} = \frac{x}{\gamma_c} \cdot k \cdot \sqrt{k \cdot f_{ck}}$ [MN/m ²] $V_{Rd,c,min} = (V_{min} + k_1 \cdot \sigma_{cp})$ [MN/m ²]	γ_c : [] Sicherheitsbeiwert = 1,5 k : [] Einfluss der Bauteilhöhe; siehe oben f_{ck} : [N/mm ²] Betondruckfestigkeit b_w : [cm] kleinste Querschnittsbreite in der Zugzone bei Streifenfundament: $b = 100\text{cm}$ d : [cm] statische Nutzhöhe des Streifenfundamentes V_{min} : [MN/m] k_1 : [] = 0,12
Maßgebende Querkrafttragfähigkeit	
$maß. V_{Rd,c} = \max \left\{ \begin{array}{l} V_{Rd,c} \text{ [MN/m}^2\text{]} \\ V_{Rd,c,min} \text{ [MN/m}^2\text{]} \end{array} \right.$	

Äußerer Rundschnitt	
$u_{out} = \frac{\beta \cdot V_{Ed}}{\text{maß } v_{Rd,c} \cdot d_{eff}} \quad [m]$	β : [] Lasterhöhungsfaktor; siehe oben V_{Ed} : [MN] maximal einwirkende Querkraft; siehe oben $\text{maß } v_{Rd,c}$: [MN/m ²] Querkrafttragfähigkeit nach DIN EN 1992-1-1;6.2.2(1) ; siehe oben d_{eff} : [m] mittlere Nutzhöhe der Platte; $d_{eff} = (d_y + d_x)/2$
Abstand a_{out} zwischen Stützenrand und u_{out}	
<p>Rechteckinnenstütze:</p> $a_{out} = \frac{u_{out} - u_0}{2 \cdot \pi} \quad [cm] \quad \rightarrow \quad \frac{a_{out}}{d_{eff}} \triangleq x \cdot d_{eff}$	u_{out} : [cm] Umfang des äußeren Rundschnittes u_0 : [cm] Umfang der Stütze d_{eff} : [cm] mittlere Nutzhöhe der Platte; $d_{eff} = (d_y + d_x)/2$ $d_{Stütze}$: [cm] Stützendurchmesser α : [°] Öffnungswinkel
<p>Randstütze oder Stütze in der Nähe einer Öffnung: → maßstäbliche Zeichnung</p>	<p>Umfang Kreisabschnitt: $U = 2 \cdot \pi \cdot r \cdot \left(1 - \frac{\alpha}{360}\right)$</p>
wirksamer Bemessungswert der Streckgrenze der Durchstanzbewehrung	
$f_{ywd,ef} = \min \begin{cases} 250 + 0,25 \cdot d_{eff} \quad [N/mm^2] \\ f_{ywd} \quad [N/mm^2] \end{cases}$	d_{eff} : [mm] mittlere Nutzhöhe der Platte; $d_{eff} = (d_y + d_x)/2$ f_{ywd} : [N/mm ²] Bemessungswert der Streckgrenze der Querkraftbewehrung; $f_{ywd} = 435 \text{ N/mm}^2$

Abstände der Bewehrungsreihen

Es sind mindestens 2 Bewehrungsreihen innerhalb u_{out} anzuordnen!

s_r kann unter Berücksichtigung der folgenden Vorgaben gewählt werden.

$$0,3 \cdot d_{eff} \leq s_1 \leq 0,5 \cdot d_{eff}$$

$$s_{r,out} \leq 1,5 \cdot d_{eff} \text{ [cm]}$$

$$s_{r,max} = 0,75 \cdot d_{eff} \text{ [cm]}$$

$$s_{t,max} \leq 1,5 \cdot d_{eff} \text{ [cm]} \quad (s_{t,vorh.} = u/n)$$

d_{eff} : [cm] mittlere Nutzhöhe der Platte; $d_{eff} = (d_y + d_x)/2$
 $s_{r,max}$: [cm] maximaler Abstand zwischen den Bewehrungsreihen
 $s_{r,out}$: [cm] Abstand zwischen der äußersten Bewehrungsreihe und dem kritischen Rundschnitt u_{out}
 $s_{r,1}$: [cm] Abstand der ersten Bewehrungsreihe zum Stützenrand
 $s_{r,2}$: [cm] Abstand zwischen erster und zweiter Bewehrungsreihe
 $s_{r,3}$: [cm] Abstand zwischen erster und dritter Bewehrungsreihe
 $s_{t,max}$: [cm] Maximaler Abstand der Bügelschenkel in tangentialer Richtung

Grundbewehrung je Reihe

$$A_{sw} = \frac{(V_{Ed,u1} - 0,75 \cdot V_{Rd,c}) \cdot s_r \cdot u_1}{1,5 \cdot f_{ywd,ef} \cdot \sin \alpha} \text{ [cm}^2\text{]}$$

$V_{Ed,u1}$: [MN/m²] einwirkende Querkraft im Rundschnitt u_1 ; siehe oben
 $V_{Rd,c}$: [MN/m²] Durchstanzwiderstand ohne Durchstanzbewehrung; siehe oben
 s_r : [cm] radialer Abstand der Durchstanzbewehrungsreihen; siehe oben
 bei unterschiedlichem rad. Abstand der Bewehrungsreihen ist der maximale Wert einzusetzen.
 u_1 : [cm] Umfang des kritischen Rundschnittes im Abstand $2,0 \cdot d$ vom Stützenrand; siehe oben
 $f_{ywd,ef}$: [N/mm²] wirksamer Bemessungswert der Streckgrenze der Durchstanzbew.; siehe oben
 α : [°] Winkel zwischen Durchstanzbewehrung und Plattenebene
 für Regelfall $\alpha = 90^\circ$: $\sin \alpha = 1,0$

Bewehrung je Reihe

$$\text{Reihe 1: } A_{sw,1} = 2,5 \cdot A_{sw} \text{ [cm}^2\text{]}$$

$$\text{Reihe 2: } A_{sw,2} = 1,4 \cdot A_{sw} \text{ [cm}^2\text{]}$$

$$\text{Reihe 3: } A_{sw,3} = 1,0 \cdot A_{sw} \text{ [cm}^2\text{]}$$

$$\text{Reihe n: } A_{sw,n} = 1,0 \cdot A_{sw} \text{ [cm}^2\text{]}$$

A_{sw} : [cm²] Grundbewehrung je Reihe; siehe oben

Mindestdurchstanzbewehrung (s. DIN EN 1992-1-1-NA; 9.4.3(2))

$$A_{sw,min} = \frac{0,08}{1,5} \cdot \frac{\sqrt{f_{ck}}}{f_{yk}} \cdot s_r \cdot s_t \text{ [cm}^2\text{]}$$

$$\rightarrow \min \varnothing_{sw} = \sqrt{\frac{4 \cdot A_{sw,min}}{\pi}} \cdot 10 \text{ [mm]}$$

f_{ck} : [N/mm²] charakteristische Zylinderdruckfestigkeit von Beton
 f_{yk} : [N/mm²] charakteristischer Wert der Streckgrenze von Querkraftbewehrung; $f_{yk} = 500 \text{ N/mm}^2$
 s_r : [cm] Abstand der Bügel in radialer Richtung
 s_t : [cm] Abstand der Bügel in tangentialer Richtung
 maximaler Abstand in tangentialer Richtung: $1,5 \cdot d_{eff}$

Stabdurchmesser

Maximaler Stabdurchmesser:

$$\text{Bügel: } \varnothing_{sw} \leq 0,05 \cdot d_{eff}$$

$$\text{Schrägaufbiegung: } \varnothing_{sw} \leq 0,08 \cdot d_{eff}$$

d_{eff} : [cm] mittlere Nutzhöhe der Platte; $d_{eff} = (d_y + d_x)/2$

Notwendige Bügelschenkelanzahl

$$n = \frac{A_{s,erf.}}{A_{sw}} \text{ []} \rightarrow \text{Aufrunden auf gerade Zahl}$$

$A_{s,erf.}$: [cm²] erforderliche Bewehrung in der betrachteten Reihe
 A_{sw} : [cm²] Querschnittsfläche eines Bügelschenkels

Abreissbewehrung

Hinweis: Um ein schlagartiges Versagen zu vermeiden müssen an der Plattenunterseite je Richtung mindestens 2 Stäbe angeordnet werden.

$$\text{erf. } A_s = \frac{V_k}{f_{yk}} \text{ [cm}^2\text{]}$$

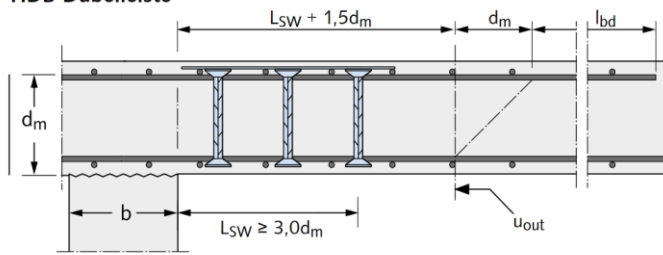
f_{yk} : [N/mm²] $f_{yk} = 500$
 V_k : [kN] $V_k \approx \frac{V_{Ed}}{0,5 \cdot (1,35 + 1,5)}$

8.) Sonstige Hinweise

- Die Biegebewehrung muss hinter dem äußeren Rundschnitt (+ d_m) verankert werden.

Mindest-Stablängen

HDB Dübelleiste



Mindest-Stablängen – Beispiel Innenstütze

$$\text{Stablänge } l_{stab} = b + 2 \cdot (L_{SW} + 1,5 d_m + d_m + l_{bd})$$

$$\geq b + 2 \cdot (3 d_m + l_{bd})$$

l_{bd} = Verankerungslänge gemäß
EN 1992-1-1:2011-01 und
zugehörigem Nationalen Anhang

9.) Deckenvorschüttung

Zur Optimierung der Durchstanznachweise (Vermeidung Bewehrungszulagen, Entfall Dübelleisten) kann es wirtschaftlich sinnvoll sein, die Durchstanzbereiche mit einem höherwertigeren Beton (z.B. C50/60 anstelle C30/37) auszuführen. Die Bemessung erfolgt i.d.R. in einem Bemessungsprogramm der Dübelleistenhersteller (z.B. Fa. Schöck, Firma Halfen) und dem höherwertigeren Beton. Damit die Nachweise am Übergang zum geringfestesten Beton auch eingehalten werden, muss ein zusätzlicher statischer Nachweis am äußeren Rundschnitt geführt werden.

Beispiel:

Ermittlung der Lage des äußeren Rundschnitts bei einem C50/60:

$$r = \frac{u_{out}}{2 * \pi} * \frac{360^\circ}{95^\circ} = \frac{304cm}{2 * \pi} * \frac{360^\circ}{95^\circ} = 183cm$$

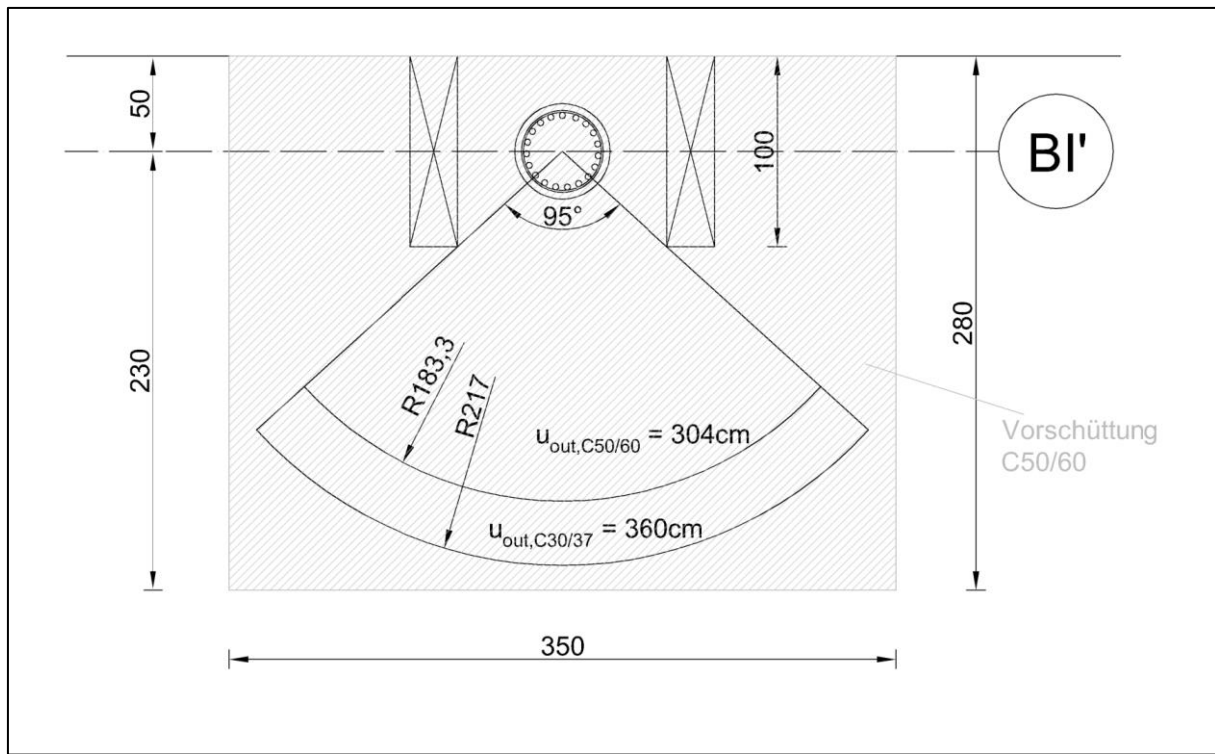
Ermittlung der Lage des äußeren Rundschnitts bei einem C30/37:

$$v_{Rd,c} = \frac{0,15}{\gamma_c} * k * \sqrt[3]{100 * \rho_l * f_{ck}} = \frac{0,15}{1,5} * 1,78 * \sqrt[3]{100 * 0,0129 * 30} = 0,602 \frac{MN}{m^2}$$

$$u_{out} = \frac{\beta * V_{Ed}}{v_{Rd,c} * d_{eff}} = \frac{1,1 * 650kN}{0,602 \frac{kN}{m^2} * 0,33m} = 3,6m$$

$$r = \frac{u_{out}}{2 * \pi} * \frac{360^\circ}{95^\circ} = \frac{360cm}{2 * \pi} * \frac{360^\circ}{95^\circ} = 217cm$$

Gewählte Breite der C50/60-Vorschüttung: B=2,3m



10.) Hinweise EDV-Bemessung

- Einfluss der Betondeckung auf Dübellänge beachten.
- Bei Deckenöffnungen mit $l_1 > l_2$ (vgl. EC2 Bild 6.14) wird mehr Rundschnitt abgezogen als bei Deckenöffnungen mit $l_1 \leq l_2$ → durch geschickte Abbildung der vorhandenen Durchbrüche ggf. längere Rundschnitte möglich.

6.5 Stabwerksmodelle

6.5.1 Bemessung einer Konsole

1.) Belastung

$$H_d = \max \{ H_{d, \text{vorh.}} ; 0,2 \cdot F_d \} \text{ [kN]}$$

F_d : [kN] Vertikalbelastung

2.) Geometrische Größen

$$a_1 = \frac{F_d}{b \cdot k_1 \cdot f_{cd}} \text{ [cm]}$$

$$a_2 = d - \sqrt{d^2 - \frac{2 \cdot F_d \cdot c}{b \cdot k_1 \cdot f_{cd}}} \text{ [cm]}$$

$$d = h_c - c_{\text{nom}} - \varnothing_{\text{sw}} - \varnothing_{\text{sl}} \cdot 0,5 \text{ [cm]}$$

$$c = a_c + 0,5 \cdot a_1 \text{ [cm]}$$

$$z = d - 0,5 \cdot a_2 \text{ [cm]}$$

Hinweis: a_2 ermittelt sich aus $\Sigma M_{1, \text{re}}$

b : [cm] Breite der Konsole

a_c : [cm] Abstand zwischen Stützenkante und vertikaler Last

c : [cm] Abstand zwischen Druckstrebenkraft in der Stütze und vertikaler Belastung

d : [cm] Abstand zwischen Knoten 1 und Konsolenunterkante

h_c : [cm] Höhe der Konsole

k_1 : [] Wert zur Ermittlung der Bemessungsdruckfestigkeiten

hier Druckknoten $k_1 = 1,1$

f_{cd} : [kN/cm²] Bemessungswert der einaxialen Druckfestigkeit

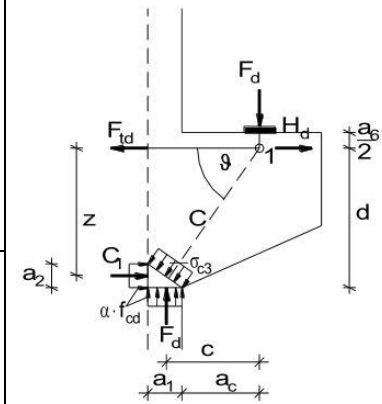


Abbildung 16: Konsolabmessungen [7]

3.) Bemessung der horizontalen Bewehrung

$$F_{td} = F_d \cdot \frac{c}{z} + H_d \text{ [kN]}$$

c : [cm] Abstand zwischen Druckstrebenkraft in der Stütze und vertikaler Belastung
 f_{yd} : [kN/cm²] Bemessungswert der Streckgrenze des Betonstahls; $f_{yd} = 43,5 \text{ kN/cm}^2$

$$A_{s, \text{erf.}} = \frac{F_{td}}{f_{yd}} \text{ [cm}^2\text{]}$$

4.) Nachweis der Betondruckstrebe

$$V_{Rd, \text{max}} = b \cdot z \cdot \alpha_c \cdot f_{cd} \cdot \frac{1}{\frac{1}{\cot \theta} + \cot \theta} \text{ [kN]}$$

Hinweis: Eine sehr gut nachvollziehbare Herleitung dieser Formel befindet sich in [8]

$$\text{NW: } F_d \leq V_{Rd, \text{max}}$$

b : [cm] Breite der Konsole

z : [cm] innerer Hebelarm; siehe oben

α_c : [] 0,75

f_{cd} : [kN/cm²] Bemessungswert der einaxialen Druckfestigkeit

$\cot \theta$: [] Winkel zwischen Betondruckstrebe und Zugstrebe; $\cot \theta = c/z$

5.) Nachweis der Auflagerpressung

$$\sigma_{sd} = \frac{F_d}{t_1 \cdot t_2} \text{ [kN/cm}^2\text{]}$$

$$\sigma_{Rd, \text{max}} = \alpha_c \cdot f_{cd} \text{ [kN/cm}^2\text{]}$$

$$\text{NW: } \sigma_{sd} \leq \sigma_{Rd, \text{max}}$$

F_d : [kN] vertikale Belastung

t_1 : [cm] Breite des Lagers in Schnittebene

t_2 : [cm] Breite des Lagers aus Schnittebene

α_c : [] 0,75

f_{cd} : [kN/cm²] Bemessungswert der einaxialen Druckfestigkeit

6.) Nachweis der Verankerung

- Bemessung siehe 47
- Die horizontale Zugbewehrung muss in der Stütze und an der Stirnseite der Konsole verankert werden.
- An der Stirnseite werden mäßige Verbundbedingungen, in der Stütze gute Verbundbedingungen angesetzt.
- An der Stirnseite wird mit Schlaufen $D \geq 15 \varnothing$ verankert.
- An der Stirnseite kann eine direkte Lagerung angenommen werden.
- In der Stütze wird die Bewehrung mit Winkelhaken verankert. Wenn $D \geq 15 \varnothing$: $\alpha_1 = 0,5$

7.) Bügelbewehrung (nach DAfStb 525)

für $\frac{a_c}{h_c} \leq 0,5$ und $\frac{V_{Ed}}{V_{Rd, \text{max}}} > 0,3$: (gedrungene Konsole)

→ Horizontale Bewehrung: $A_{sw, H} = 0,5 \cdot A_{s, \text{erf.}}$ [cm²]

$$\rightarrow n_{\text{erf.}} = \frac{4 \cdot A_{sw, H}}{\pi \cdot \varnothing_{sw}^2} \text{ [] Anzahl der Bügel: } n/2$$

für $\frac{a_c}{h_c} > 0,5$ und $V_{Ed} > V_{Rd, \text{ct}}$:

$$\rightarrow \text{Vertikale Bewehrung: } A_{sw, V} = 0,7 \cdot \frac{F_d}{f_{yd}} \text{ [cm}^2\text{]}$$

$$\rightarrow n_{\text{erf.}} = \frac{4 \cdot A_{sw, V}}{\pi \cdot \varnothing_{sw}^2} \text{ []}$$

a_c : [cm] Abstand zwischen Stützenkante und vertikaler Last

h_c : [cm] Höhe der Konsole

$A_{sw, H}$: [cm²] Querschnittsfläche der horizontalen geschlossenen Bügelbewehrung

$A_{sw, V}$: [cm²] Querschnittsfläche der vertikal geschlossenen Bügelbewehrung

$A_{s, \text{erf.}}$: [cm²] Querschnittsfläche der horizontalen Zugbewehrung infolge

F_{td}

$V_{Rd, \text{ct}}$: [kN] Bemessungswert der aufnehmbaren Querkraft ohne

Querkraftbewehrung; siehe 0

6.5.2 Bemessung einer Ausklinkung – Stabwerksmodell 1

1.) Belastung		
$H_{Ed} = 0,2 \cdot F_{Ed}$ [kN]	F_d : [kN] Vertikalbelastung	
2.) Geometrische Größen		
$e' = e + c_{nom} + 2 \cdot \varnothing_{sw} + 1,5 \cdot a$ [cm] (Annahme von 4 vertikalen Bügeln)		
$d_k = h_k - d_1$ [cm]		$z_k = d_k - d_1$ [cm]
$d_a = h_{ges} - h_k$ [cm]		$l_1' = d_a \cdot \frac{1}{\tan \theta}$ [cm]
$\Theta_1 = \arctan \left(\frac{z_k}{e'} \right)$ [°]		$\Theta_2 = \arctan \left(\frac{z_k}{l_1'} \right)$ [°]
\varnothing_{sw} : [cm] Durchmesser der Querkraftbewehrung infolge $F_{td,2}$ a : [cm] Abstand der Querkraftbewehrung infolge $F_{td,2}$; $a = 2,0$ cm (da $d_g \approx 16$ mm) Θ : [°] Druckstrebenneigungswinkel aus Querkraftbemessung; für $\cot(\theta) = 1,2$: $\theta \approx 40^\circ$ d_1 : [cm] Abstand der Bewehrung vom gezogenen Querschnittsrand $d_1 = c_{nom} + \varnothing_{sw} + 0,5 \cdot \varnothing_{sl}$		
Abbildung 17: Stabwerksmodell 1 einer Ausklinkung [6]		
3.) Bemessung der horizontalen Bewehrung		
$F_{td,1} = F_{Ed} \cdot \frac{1}{\tan \theta_1} + H_{Ed}$ [kN]	Θ_1 : [°] Winkel zwischen Druckstrebe 1 und horizontaler Ebene; siehe Abbildung 17 f_{yd} : [kN/cm ²] Bemessungswert der Streckgrenze des Betonstahls; $f_{yd} = 43,5$ kN/cm ²	
$A_{s,erf} = \frac{F_{td,1}}{f_{yd}}$ [cm ²]		
4.) Bemessung der vertikalen Bügelbewehrung		
$F_{td,2} = F_{Ed} + H_{Ed} \cdot \frac{\tan(\theta_1) \cdot \tan(\theta_2)}{\tan(\theta_1) + \tan(\theta_2)}$ [kN]	Θ_2 : [°] Winkel zwischen Druckstrebe 2 und horizontaler Ebene; siehe Abbildung 17 f_{yd} : [kN/cm ²] Bemessungswert der Streckgrenze des Betonstahls; $f_{yd} = 43,5$ kN/cm ²	
$A_{s,erf} = \frac{F_{td,2}}{f_{yd}}$ [cm ²]		
5.) Nachweis der Betondruckstrebe		
$V_{Rd,max} = b \cdot z_k \cdot \alpha_c \cdot f_{cd} \cdot \frac{1}{\frac{1}{\cot \theta_1} + \cot \theta_1}$ [kN]	b : [cm] Breite der Ausklinkung bzw. des Trägers z_k : [cm] innerer Hebelarm; siehe oben α_c : [] 0,75 f_{cd} : [kN/cm ²] Bemessungswert der einaxialen Druckfestigkeit $\cot \theta_1$: [] Winkel zwischen Betondruckstrebe und Zugstrebe; $\cot \theta = e'/z_k$	
Hinweis: Eine sehr gut nachvollziehbare Herleitung dieser Formel befindet sich in [8]		
NW: $F_d \leq V_{Rd,max}$		
6.) Nachweis der Auflagerpressung		
$\sigma_{sd} = \frac{F_{Ed}}{t_1 \cdot t_2}$ [kN/cm ²]	F_d : [kN] vertikale Belastung t_1 : [cm] Breite des Lagers in Schnittebene t_2 : [cm] Breite des Lagers aus Schnittebene α_c : [] 0,75 f_{cd} : [kN/cm ²] Bemessungswert der einaxialen Druckfestigkeit	
$\sigma_{Rd,max} = \alpha_c \cdot f_{cd}$ [kN/cm ²]		
NW: $\sigma_{sd} \leq \sigma_{Rd,max}$		
7.) Nachweis der Verankerung		
• Bemessung siehe 47		
8.) Bügelbewehrung (analog Konsole nach DAfStb 525)		
für $\frac{e}{h_k} \leq 0,5$ und $\frac{V_{Ed}}{V_{Rd,max}} > 0,3$: (gedrungene Auskl.) → Horizontale Bewehrung: $A_{sw,H} = 0,5 \cdot A_{s,erf}$ [cm ²] → $n_{erf} = \frac{4 \cdot A_{sw,H}}{\pi \cdot \varnothing_{sw}^2}$ []	h_k : [cm] Höhe der Ausklinkung e : [cm] Abstand zwischen Lasteinleitung und Kante der Ausklinkung $A_{sw,H}$: [cm ²] Querschnittsfläche der horizontalen geschlossenen Bügelbewehrung $A_{sw,V}$: [cm ²] Querschnittsfläche der vertikal geschlossenen Bügelbewehrung $A_{s,erf}$: [cm ²] Querschnittsfläche der horizontalen Zugbewehrung infolge $F_{td,1}$ $V_{Rd,ct}$: [kN] Bemessungswert der aufnehmbaren Querkraft ohne Querkraftbewehrung; siehe 0	
für $\frac{e}{h_k} > 0,5$ und $V_{Ed} > V_{Rd,ct}$: → Vertikale Bewehrung: $A_{sw,V} = 0,7 \cdot \frac{F_d}{f_{yd}}$ [cm ²] → $n_{erf} = \frac{4 \cdot A_{sw,V}}{\pi \cdot \varnothing_{sw}^2}$ []		

6.5.3 Bemessung einer Ausklinkung – Stabwerksmodell 2

1.) Belastung	
$H_{Ed} = 0,2 \cdot F_{Ed}$ [kN]	F_d : [kN] Vertikalbelastung
2.) Geometrische Größen	
$d_k = h_k - d_1$ [cm] $z_k = d_k - d_1$ [cm] $d_a = h_{ges} - h_k$ [cm]	
\varnothing_{sw} : [cm] Durchmesser der Querkraftbewehrung infolge $F_{td,2}$ Θ : [°] Druckstrebenneigungswinkel aus Querkraftbemessung; für $\cot(\theta) = 1,2$: $\theta \approx 40^\circ$ d_1 : [cm] Abstand der Bewehrung vom gezogenen Querschnittsrand $d_1 = c_{nom} + \varnothing_{sw} + 0,5 \cdot \varnothing_{sl}$	
Abbildung 18: Stabwerksmodell 2 einer Ausklinkung [6]	
3.) Bemessung der horizontalen Bewehrung	
$F_{sd,1} = H_{Ed}$ [kN]	f_{yd} : [kN/cm ²] Bemessungswert der Streckgrenze des Betonstahls; $f_{yd} = 43,5$ kN/cm ²
$A_{s,erf.} = \frac{F_{sd,1}}{f_{yd}}$ [cm ²]	
4.) Bemessung der Schrägbewehrung	
$F_{sd,2} = \frac{F_{Ed}}{\sin \alpha}$ [kN]	f_{yd} : [kN/cm ²] Bemessungswert der Streckgrenze des Betonstahls; $f_{yd} = 43,5$ kN/cm ²
$A_{s,erf.} = \frac{F_{sd,2}}{f_{yd}}$ [cm ²]	
5.) Bemessung der vertikalen Bewehrung	
$F_{sd,3} = F_{Ed}$ [kN]	f_{yd} : [kN/cm ²] Bemessungswert der Streckgrenze des Betonstahls; $f_{yd} = 43,5$ kN/cm ²
6.) Nachweis der Auflagerpressung	
$\sigma_{sd} = \frac{F_{Ed}}{t_1 \cdot t_2}$ [kN/cm ²]	F_d : [kN] vertikale Belastung
$\sigma_{Rd,max} = \alpha_c \cdot f_{cd}$ [kN/cm ²]	t_1 : [cm] Breite des Lagers in Schnittebene
NW: $\sigma_{sd} \leq \sigma_{Rd,max}$	t_2 : [cm] Breite des Lagers aus Schnittebene
	α_c : [] 0,75
	f_{cd} : [kN/cm ²] Bemessungswert der einaxialen Druckfestigkeit
7.) Nachweis der Verankerung	
• Bemessung siehe 47	

6.5.4 Bemessung Rahmenendknoten eines Mehrfeldrahmen

1.) Hinweise

- Bei Einfeldrahmen sind die Biegemomente durch eine Rahmenberechnung zu ermitteln.
- Bei Mehrfeldrahmen die ausreichend ausgesteift sind, können die Biegemomente an den Innenknoten näherungsweise an einem Mehrfeldträger ermittelt werden.
- Die Randmomente müssen bei Mehrfeldrahmen gesondert berechnet werden. Zum Beispiel nach DAfStb Heft 240 → siehe 2.)

2.) Bemessungsschnittgrößen

$$c_o = \frac{L_b}{L_{col,o}} \cdot \frac{I_{col,o}}{I_b} \quad [] \quad c_u = \frac{L_b}{L_{col,u}} \cdot \frac{I_{col,u}}{I_b} \quad []$$

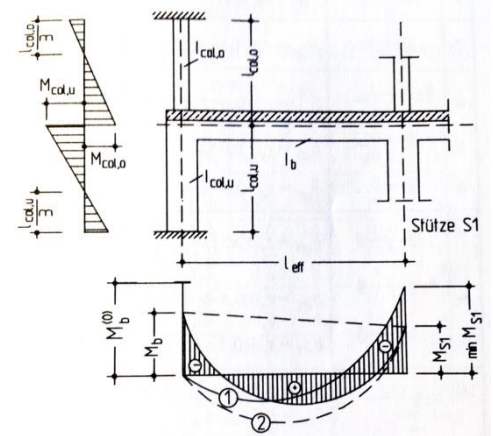
$$M_b^{(0)} = - \frac{p_{Ed} \cdot L_b^2}{12} \quad [\text{kNm}]$$

$$M_b = \frac{c_o + c_u}{3 \cdot (c_o + c_u) + 2,5} \cdot \left(3 + \frac{g_d}{p_d} \right) \cdot M_b^{(0)} \quad [\text{kNm}]$$

$$M_{col,o} = \frac{c_o}{3 \cdot (c_o + c_u) + 2,5} \cdot \left(3 + \frac{g_d}{p_d} \right) \cdot M_b^{(0)} \quad [\text{kNm}]$$

$$M_{col,u} = \frac{c_u}{3 \cdot (c_o + c_u) + 2,5} \cdot \left(3 + \frac{g_d}{p_d} \right) \cdot M_b^{(0)} \quad [\text{kNm}]$$

$$V_{col,o} = \frac{1,5 \cdot M_{col,o}}{L_{col,o}} \quad [\text{kN}] \quad V_{col,u} = \frac{1,5 \cdot M_{col,u}}{L_{col,u}} \quad [\text{kN}] \quad (\text{aus } \frac{dM_{col}(x)}{dx})$$



--- Momentenverlauf des Durchlaufträgers
 ① für das absolute größte Stützmoment in Achse 1
 ② für das größte Feldmoment im Endfeld
 Abbildung 19: Näherungsweise Ermittlung der Momente in rahmenartigen Tragwerken [9]

$M_b^{(0)}$: [kNm] Stützmoment des beidseits voll eingespannten Rahmenriegels unter Volllast
 M_b : [kNm] Stützmoment des Rahmenriegels am Rahmenstiel
 $M_{col,o}$: [kNm] Einspannmoment des oberen Rahmenstiels am Rahmenriegel
 $M_{col,u}$: [kNm] Einspannmoment des unteren Rahmenstiels am Rahmenriegel
 I_b : [m⁴] Flächenträgheitsmoment des Riegels
 $I_{col,o}$: [m⁴] Flächenträgheitsmoment der oberen Stütze
 $I_{col,u}$: [m⁴] Flächenträgheitsmoment der unteren Stütze
 L_b : [m] effektive Stützweite des Riegels
 $L_{col,o}$: [m] effektive Länge der oberen Stütze
 $L_{col,u}$: [m] effektive Länge der unteren Stütze
 p_{Ed} : [kN/m] Bemessungslast; $p_{Ed} = 1,35 \cdot g_k + 1,5 \cdot q_k$

3.) Bemessung des Knoten A

- 1.) Ermittlung der Bewehrung in der Stütze/Wand infolge $\max \{M_{col,o}; M_{col,u}\} + N$ mit IAD-Verfahren
- 2.) Mindestbewehrung für die Stütze/Wand überprüfen
- 3.) Ermittlung der Bewehrung in der Decke mit $M_b \rightarrow$ Wahl einer passenden Schlaufe
- 4.) Schubtragfähigkeit \rightarrow siehe 4.)
- 5.) Verankerung der oberen Stütze im Riegel (Verankerung der Zugbewehrung)
- 6.) Verankerung der unteren Stütze im Riegel (Verankerung der Druckbewehrung)

4.) Schubtragfähigkeit ohne Bügel (nach DAfStb Heft 600)

$$V_{jh} = F_{s,b} - V_{col,o} \quad [\text{kN}]$$

$$V_{j,cd} = 1,4 \cdot (1,2 - 0,3 \cdot \lambda) \cdot b_{eff} \cdot h_{col} \cdot \sqrt[4]{\frac{f_{ck}}{Y_c}} \cdot 0,1 \quad [\text{kN}]$$

NW: $V_{jh} \leq V_{j,cd} \rightarrow$ keine Steckbügel erf. (nur konstruktiv)
 $V_{jh} > V_{j,cd} \rightarrow$ horizontale Steckbügel erf.
 \rightarrow NW der Knotenragfähigkeit unter Berücksichtigung der Bügel erforderlich!
 \rightarrow siehe 5.)

$F_{s,b}$: [kN] Zugkraft in der Riegelbewehrung;
 $F_{s,b} = M_{beam}/z$ bzw. $F_{s,b} = 43,5 \cdot A_b$
 z : [cm] innerer Hebelarm; vereinfacht = $0,9 \cdot d$
 A_b : [cm²] gewählte Querschnittsfläche der Zugbewehrung im Riegel
 $V_{col,o}$: [kN] Querkraft im Knoten A in der oberen Stütze
 λ : [] Schubschlankheit; $1,0 \leq \lambda = \frac{h_{beam}}{h_{col}} \leq 2,0$
 h_b : [cm] Querschnittshöhe des Riegels in Rahmenebene
 h_{col} : [cm] Querschnittshöhe der Stütze in Rahmenebene
 b_{eff} : [cm] effektive Knotenbreite; $b_{eff} = \min \{0,5 \cdot (b_{beam} + b_{col}); b_{col}\}$
 b_{beam} : [cm] Breite des Riegels
 b_{col} : [cm] Breite der Stütze/Wand
 f_{ck} : [N/mm²] charakteristische Zylinderdruckfestigkeit von Beton

5.) Knotenragfähigkeit mit Bügel (nach DAfStb Heft 600)

$$V_{j,Rd} = \min \left\{ \begin{array}{l} V_{j,cd} + 0,4 \cdot A_{s,j,eff} \cdot f_{yd} \quad [\text{kN}] \\ 2 \cdot V_{j,cd} \quad [\text{kN}] \\ \gamma_N \cdot 0,25 \cdot \frac{f_{ck}}{Y_c} \cdot b_{eff} \cdot h_{col} \quad [\text{kN}] \end{array} \right.$$

mit:

$$\gamma_N = \gamma_{N1} \cdot \gamma_{N2}$$

$$\gamma_{N1} = 1,5 \cdot \left(1 - 0,8 \cdot \frac{|N_{Ed,col,perm}|}{A_{c,col} \cdot f_{ck}} \right) \leq 1,0$$

$$\gamma_{N2} = 1,9 - 0,6 \cdot \frac{h_{beam}}{h_{col}} \leq 1,0$$

$V_{j,cd}$: [kN] Knotenquerkrafttragfähigkeit ohne Bügel
 $A_{s,j,eff}$: [cm²] effektive Steckbügelbewehrung im Knotenbereich
 Anrechenbar sind nur die Bügel die oberhalb der Druckzone x des Riegels liegen! (Zwischen OK des Riegels und Druckzone)
 f_{yd} : [kN/cm²] Bemessungswert der Streckgrenze des Betonstahls;
 $f_{yd} = 43,5 \text{ kN/cm}^2$
 b_{eff} : [cm] effektive Knotenbreite; $b_{eff} = \min \{0,5 \cdot (b_{beam} + b_{col}); b_{col}\}$
 h_{col} : [cm] Querschnittshöhe der Stütze in Rahmenebene
 h_{beam} : [cm] Querschnittshöhe des Riegels in Rahmenebene
 f_{ck} : [kN/cm²] charakteristische Zylinderdruckfestigkeit von Beton
 $N_{Ed,col,perm}$: [kN] Normalkraft in der quasi ständigen EWK der unteren Stütze
 $A_{c,col}$: [cm²] Querschnittsfläche der Stütze; $A_{c,col} = b_{col} \cdot h_{col}$
 γ_{N1} : [] Faktor für den Einfluss der Stützendruckkraft
 γ_{N2} : [] Faktor für den Einfluss der Schubschlankheit

6.5.5 Bemessung Rahmeninnenknoten

1.) Nachweise

- Biegebemessung des Riegels
- Nachweis der Knoten Tragfähigkeit → siehe 2.)
(Bei gleichem Vorzeichen der Biegemomente in den Riegeln kann auf einen NW der Knoten Tragfähigkeit verzichtet werden. → wenn horizontale Zug- und Druckstrebe durchläuft)
- Nachweis der Verankerung der Riegelzugbewehrung
- Nachweis der Verankerung der Stützbewehrung

2.) Nachweis der Knoten Tragfähigkeit

$$V_{jh} = \frac{(|M_{beam,1}| + |M_{beam,2}|)}{z_{beam}} - |V_{col}| \quad [\text{kN}]$$

$$V_{j,Rd} = \gamma_N \cdot 0,25 \cdot \frac{f_{ck}}{\gamma_c} \cdot b_{eff} \cdot h_{col} \quad [\text{kN}]$$

mit:

$$\gamma_N = 1,5 \cdot \left(1 - 0,8 \cdot \frac{|N_{Ed,col,perm}|}{A_{c,col} \cdot f_{ck}} \right) \leq 1,0$$

$$\text{NW: } V_{jh} \leq V_{j,Rd}$$

$M_{beam,1}$: [kNm] Biegemoment im Riegel 1
 $M_{beam,2}$: [kNm] Biegemoment im Riegel 2
 V_{col} : [kN] Querkraft in der Stütze
 b_{eff} : [cm] effektive Knotenbreite; $b_{eff} = \min \{0,5 \cdot (b_{beam} + b_{col}); b_{col}\}$
 h_{col} : [cm] Querschnittshöhe der Stütze in Rahmenebene
 f_{ck} : [kN/cm²] charakteristische Zylinderdruckfestigkeit von Beton
 γ_N : [] Faktor für den Einfluss der Stützendruckkraft
 $N_{Ed,col,perm}$: [kN] Normalkraft in der quasi ständigen EWK der unteren Stütze
 $A_{c,col}$: [cm²] Querschnittsfläche der Stütze; $A_{c,col} = b_{col} \cdot h_{col}$

3.) Nachweis der Verankerung der Riegelzugbewehrung

Hinweise:

- Verbundbedingungen i.d.R. „mäßig“
- Durch Stützen Normalkraft $\alpha_5 = 0,7$
- Wenn $l_{b,erf} > l_{b,vorh} = h_{col} \rightarrow$ Zulagebewehrung erf. (Zulage $\geq 1/3 \cdot A_{sR}$)

4.) Nachweis der Verankerung der Stützbewehrung

Hinweise:

- Verbundbedingungen „gut“
- Nachweis der Verankerung eines Druckstabes
- Wenn $l_{b,erf} > l_{b,vorh} = h_{col} \rightarrow$ Zulagebewehrung erf. (Zulage $\geq 1/3 \cdot A_{sR}$)

6.5.6 Bemessung von Wandartigen Trägern

1.) Definitionen	
Einfeldträger: $h/L > 0,5$ Zweifeldträger: $h/L > 0,4$ Endfeld eines Durchlaufträgers: $h/L > 0,4$ Innenfeld eines Durchlaufträgers: $h/L > 0,3$ Kragträger: $h/L > 1,0$	h: [m] Höhe des Bauteils L: [m] Stützweite des Bauteils L _k : [m] Kraglänge des Bauteils
2.) Hebelarm der inneren Kräfte:	
Einfeldträger:	
$0,5 < h/L < 1,0:$ $Z_F = 0,3 \cdot h \cdot (3 - h/L)$ [m] $h/L \geq 1,0:$ $Z_F = 0,6 \cdot L$ [m]	h: [m] Höhe des Bauteils L: [m] Stützweite des Bauteils
Zweifeldträger:	
$0,4 < h/L < 1,0:$ $Z_F = Z_S = 0,5 \cdot h \cdot (1,9 - h/L)$ [m] $h/L \geq 1,0:$ $Z_F = Z_S = 0,45 \cdot L$ [m]	h: [m] Höhe des Bauteils L: [m] Stützweite des Bauteils
Endfeld eines Mehrfeldträgers	
$0,4 < h/L < 1,0:$ $Z_F = Z_S = 0,5 \cdot h \cdot (1,9 - h/L)$ [m] $h/L \geq 1,0:$ $Z_F = Z_S = 0,45 \cdot L$ [m]	h: [m] Höhe des Bauteils L: [m] Stützweite des Bauteils
Innenfeld eines Mehrfeldträgers	
$0,3 < h/L < 1,0:$ $Z_F = Z_S = 0,5 \cdot h \cdot (1,8 - h/L)$ [m] $h/L \geq 1,0:$ $Z_F = Z_S = 0,4 \cdot L$ [m]	h: [m] Höhe des Bauteils L: [m] Stützweite des Bauteils
Kragträger	
$1,0 < h/L < 2,0:$ $Z_F = Z_S = 0,65 \cdot L_k + 0,1 \cdot h$ [m] $h/L \geq 2,0:$ $Z_F = Z_S = 0,85 \cdot L_k$ [m]	h: [m] Höhe des Bauteils L _k : [m] Kraglänge des Bauteils
3.) Zugkräfte	
Im Feld: $Z_F = \frac{M_F}{Z_F}$ [KN] In der Stütze: $Z_S = \frac{M_S}{z_S}$ [KN]	M _F : [KNm] Biegemoment im Feld M _S : [KNm] Stützmoment z _F : [m] Hebelarm der inneren Kräfte z _S : [m] Hebelarm der inneren Kräfte
4.) Konstruktive Regelungen für wandartige Träger	
Beidseitige Netzbewehrung: $a_{s,min} = \max \begin{cases} 1,5 \text{ [cm}^2/\text{m]} \\ 7,5 \cdot 10^{-4} \cdot a_c \text{ [cm}^2/\text{m]} \end{cases}$ Verankerung am Endauflager für: $Z_{sd} \geq 0,8 \cdot Z_F$ [KN]	a _c : [cm ² /m] Betonquerschnittsfläche = h _w • 100 Z _F : [KN] Zugkraft im Feld

6.6 Verankerung der Längsbewehrung

6.6.1 Verankerung der Biegezugbewehrung am Endauflager

1.) Allgemein:

- gilt für Endauflager ohne wesentliche Einspannung. Bei Einspannung → Bemessung Rahmenendknoten
- Die Verankerung beginnt an der Innenkante des Auflagers
- Die Bewehrung muss mindestens über die rechnerische Auflagerlinie geführt werden. (EC2/NA - 9.2.1.4(3))
- Bei Balken und Plattenbalken muss mindestens 25 % der unteren Feldbewehrung über das Auflager geführt werden. (EC 2 / NA - 9.2.1.4 (1))
- Bei gelenkig gelagerten Platten muss mindestens 50 % der unteren Feldbewehrung über das Auflager geführt werden. (EC 2 - 9.3.1.2 (1))

2.) Zugkraft am Endauflager (s. DIN EN 1992-1-1; 9.2.1.4)

$$\cot \vartheta = \frac{1,2}{1 - \frac{0,24 \cdot \sqrt[3]{f_{ck}} \cdot b_w \cdot z \cdot 0,1}{V_{Ed,red}}}$$

$$0,58 \leq \cot \vartheta \leq 3,0 \quad \cot \vartheta < 0 \rightarrow 3,0$$

$$a_l = z \cdot (\cot \vartheta - \cot \alpha) \cdot 0,5 \geq 0$$

$$F_{Ed,Auflager} = \max \left\{ \begin{array}{l} V_{Ed} \cdot \frac{a_l}{z} + N_{Ed} \\ V_{Ed} \cdot 0,5 \end{array} \right.$$

f_{ck} : [N/mm²]
 b_w : [cm]
 z : [cm] min { 0,9 · d ; d - c_{v,l} - 3 }
 $V_{Ed,red}$: [kN] reduzierte Querkraft am Endauflager
 F_{Ed} : [kN] Zugkraft an der rechnerischen Auflagerlinie
 V_{Ed} : [kN] maximale Auflagerkraft am Endauflager
 α : Winkel zwischen der Horizontalen und des Bewehrungsstabes
 Hinweis: $\cot \alpha = 0$ (für $\alpha = 90$)

3.) Bewehrung die mindestens bis zum Auflager geführt und verankert werden muss

$$\text{erf. } A_{s,Auflager} = \max \left\{ \begin{array}{l} \frac{F_{Ed,Auflager}}{f_{yd}} \quad [\text{cm}^2] \\ \text{allgemein: } \frac{\max A_{s,Feld}}{4} \quad [\text{cm}^2] \\ \text{Platten: } \frac{\max A_{s,Feld}}{2} \quad [\text{cm}^2] \end{array} \right.$$

4.) Verankerungslänge

Siehe Punkt 6.6.2

6.6.2 Verankerung der Längsbewehrung

1.) Allgemein:

Nachzuweisen bei Stäben die im Feld enden, bei Stäben die an Zwischenauflagern enden.
Im Verankerungsbereich ist eine Querbewehrung anzuordnen.
(Wird erfüllt durch Querkraftbewehrung bei Trägern und Stützen, bzw. Querbewehrung bei Platten)

2.) Verbundbedingungen:

guter Verbund:

- Stäbe mit Neigungen $45^\circ \leq \alpha \leq 90^\circ$
- Stäbe mit Neigungen $0^\circ \leq \alpha \leq 45^\circ$, die in Bauteilen mit $h \leq 300\text{mm}$ eingebaut sind.
- Stäbe mit Neigungen $0^\circ \leq \alpha \leq 45^\circ$ in Bauteilen mit $h > 300\text{mm}$, die $\leq 300\text{mm}$ von der Unterkante eingebaut sind.
- Stäbe mit Neigungen $0^\circ \leq \alpha \leq 45^\circ$ in Bauteilen mit $h > 300\text{mm}$, die $\geq 300\text{mm}$ von der Oberkante eingebaut sind.
- Stäbe in liegend gefertigten, stabförmigen Bauteilen (z.B. Stützen) mit Querschnittsabmessungen $\leq 500\text{mm}$ die mit Außenrüttlern verdichtet werden.

mäßiger Verbund:

alle anderen Fälle

α : [°] Winkel zwischen der Horizontalen und des Bewehrungsstabes

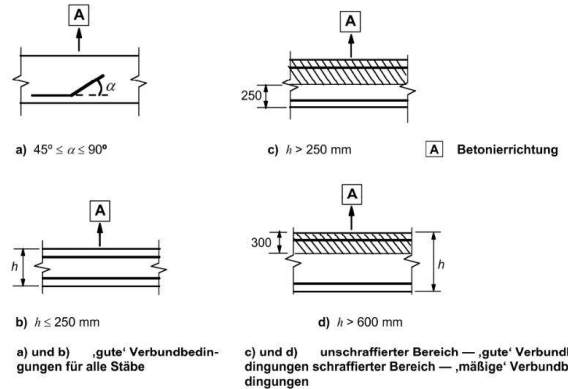


Abbildung 20: Verbundbedingungen [4]

3.) Bemessungswert der Verbundfestigkeit:

f_{ck} [N/mm ²]	16	20	25	30	35	40	45	50	55	60
f_{bd} [N/mm ²] (guter Verbund)	2,00	2,32	2,69	3,04	3,37	3,68	3,99	4,28	4,43	4,57
f_{bd} [N/mm ²] (mäßiger Verbund)	1,40	1,62	1,89	2,13	2,36	2,58	2,79	2,99	3,10	3,20

4.) Grundwert der Verankerungslänge: (s. DIN EN 1992-1-1: 8.4.3)

$$l_{b,rd} = \frac{\varnothing \cdot \sigma_{sd}}{4 \cdot f_{bd}} \quad [\text{mm}]$$

Reicht die vorhandene Verankerungslänge nicht aus:

- 1.) Bügel, Winkelhaken oder Schlaufen → Ersatzverankerungslänge → α -Beiwerte berücksichtigen
- 2.) Bewehrung abbiegen: → Biegerollendurchmesser $D \geq 15 \varnothing$ → alle α -Werte = 1,0

Hinweise:

Bei Doppelstäben in geschweißten Betonstahlmatten: $\varnothing = \varnothing \cdot \sqrt{2}$ [mm]
Bei Stäben mit unterschiedlichen \varnothing ist der größere \varnothing maßgebend
(z.B. 1.Lage $\varnothing 28$, 2.Lage $\varnothing 25$) → l_b von $\varnothing 28$

\varnothing : [mm] Stabdurchmesser

f_{bd} : [N/mm²] siehe oben

σ_{sd} : [N/mm²] Bemessungswert der Stahlspannung; $f_{yd} = 435$

5.) 5. Beiwerte:

α_1 : Beiwert zur Verankerungsart:

gerader Stab $\alpha_1 = 1,0$ (Druck und Zug)

Haken, Winkelhaken, $\alpha_1 = 0,7$ für $c_d > 3 \varnothing$ (nur Zug)

Schlaufe: $\alpha_1 = 0,5$ wenn $c_d > 3 \varnothing$ und $D \geq 15 \cdot \varnothing$

Hinweis: Verankerungen mit gebogenden Druckstäben sind unzulässig!

α_2 : Beiwert für Mindestbetondeckung: $\alpha_2 = 1,0$

α_3 : Beiwert für nicht angeschweißte Querstäbe:

siehe EC2 (i.d.R. $\alpha_3 = 1,0$)

α_4 : Beiwert für angeschweißte Querstäbe:

siehe EC2 (i.d.R. $\alpha_3 = 1,0$)

α_5 : Beiwert bei Querdruck:

$\alpha_5 = 1,0$ bei indirekter Lagerung

$\alpha_5 = 2/3$ bei direkter Lagerung

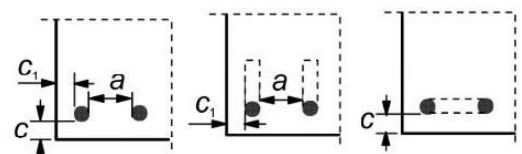
$\alpha_5 = 1,5$ bei Querzug senkrecht zur Verankerungsebene

$\alpha_5 = \max \{1/(1 - 0,04 \cdot p), 0,7\}$

p : [N/mm²] Querdruck \perp zur Verankerungsebene

D : [mm] Biegerollendurchmesser

c_d : [mm] siehe Bild



a) Gerade Stäbe

b) (Winkel) Haken

c) Schlaufen

$$c_d = \min(a/2, c_1)$$

$$c_d = \min(a/2, c_1)$$

$$c_d = c$$

Abbildung 21: Werte c_d für Balken und Platten [4]

6.) Mindestverankerungslänge:

Für Zugstäbe:

$$l_{b,min} = \max \left\{ \begin{array}{l} 0,3 \cdot \alpha_1 \cdot \alpha_4 \cdot l_{b,rd} \\ 10 \cdot \alpha_5 \cdot \varnothing \end{array} \right.$$

Für Druckstäbe:

$$l_{b,min} = \max \left\{ \begin{array}{l} 0,6 \cdot l_{b,rd} \\ 10 \cdot \varnothing \end{array} \right.$$

\varnothing : [mm] größter Stabdurchmesser an der Verankerung

7.) Ersatzverankerungslänge

Bei Anordnung von Winkelhaken oder Schlaufen kann mit der Ersatzverankerungslänge gerechnet werden.

$$l_{bd} = \max \begin{cases} \alpha_1 \cdot \alpha_3 \cdot \alpha_4 \cdot \alpha_5 \cdot l_{b,rqd} \cdot \frac{A_{s,erf.}}{A_{s,vorh.}} \\ l_{b,min} \end{cases}$$

Hinweis: nach EC2/NA – 8.4.4(2) kann die Verankerung unter Zug mit $l_{b,eq}$ vereinfacht berechnet werden. In der Praxis wird oft auf die Abminderung $A_{s,erf.}/A_{s,vorh.}$ verzichtet.

$A_{s,erf.}$ = Bewehrung die zu Beginn der Verankerungslänge erforderlich ist
 $A_{s,vorh.} = A_{s,erf.} + \text{Bewehrungsfläche der Verankerungsbewehrung}$

8.) Verankerung bei Kombination aus guter und mäßiger Verbundbedingung

Wenn die Verankerungsstrecke unterschiedliche Verbundbereiche überquert gilt:

$$(l_g \cdot \pi \cdot \varnothing_{sl}) \cdot f_{bd,g} + (l_m \cdot \pi \cdot \varnothing_{sl}) \cdot f_{bd,m} = \frac{\pi \cdot \varnothing_{sl}^2}{4} \cdot f_{yd}$$

wenn Δl_m bekannt:

$$\Delta l_g = l_{b,rqd,g} - \frac{f_{bd,m}}{f_{bd,g}} \cdot l_m \quad [\text{mm}]$$

wenn Δl_g bekannt:

$$\Delta l_m = l_{b,rqd,m} - \frac{f_{bd,g}}{f_{bd,m}} \cdot l_g \quad [\text{mm}]$$

Δl_g : [mm] notwendige Verankerungslänge im Bereich guter Vb.
 l_m : [mm] vorhandene Verankerungslänge im Bereich mäßiger Vb.
 Δl_m : [mm] notwendige Verankerungslänge im Bereich mäßiger Vb.
 l_g : [mm] vorhandene Verankerungslänge im Bereich guter Vb.
 $l_{b,rqd,g}$: [mm] Grundmaß der Verankerungslänge bei guten Vb.
 $l_{b,rqd,m}$: [mm] Grundmaß der Verankerungslänge bei mäßigen Vb.
 $f_{bd,m}$: [N/mm²] Bemessungswert der Verbundfestigkeit bei mäßigen Vb.
 $f_{bd,g}$: [N/mm²] Bemessungswert der Verbundfestigkeit bei guten Vb.

6.7 Übergreifungsstöße von Stabstählen

1.) Allgemein:

Stöße von Zugstäben sind möglichst zu vermeiden (Stöße kommen bei Stabstahllängen von 12m selten vor)
 Stöße sollten nicht in hochbeanspruchten Bereichen liegen.
 Übergreifungsstöße sollten versetzt angeordnet werden.
 Im Bereich von Übergreifungsstößen ist eine Querbewehrung anzuordnen (EC2 – 8.7.4)

2.) Mindestübergreifungslänge

$$l_{0,\min} = \max \begin{cases} 0,3 \cdot \alpha_1 \cdot \alpha_6 \cdot l_{b,\text{rqd}} \text{ [mm]} \\ 15 \cdot \varnothing \text{ [mm]} \\ 200 \text{ [mm]} \end{cases}$$

α_1 : [] Beiwert zur Verankerungsart; gerades Stabende: $\alpha_1 = 1,0$
 α_6 : [] Beiwert zur Berücksichtigung des Stoßanteils einer Bewehrungslage
 Zugstoß: $\alpha_6 = 1,2$ ($1,0^a$) für $\varnothing < 16\text{mm}$ und Stoßanteil $\leq 33\%$
 $\alpha_6 = 1,4$ ($1,0^a$) für $\varnothing < 16\text{mm}$ und Stoßanteil $> 33\%$
 $\alpha_6 = 1,4$ ($1,0^a$) für $\varnothing \geq 16\text{mm}$ und Stoßanteil $\leq 33\%$
 $\alpha_6 = 2,0$ ($1,4^a$) für $\varnothing \geq 16\text{mm}$ und Stoßanteil $> 33\%$
Achtung: bei Stäben $\geq 20\text{mm}$: 2,3 falls Querbewehrung nicht ins Bauteilinnere geführt wird.
^a Wenn $a \geq 8 \cdot \varnothing$ und $c_1 \geq 4 \cdot \varnothing$ (vgl. DIN EN 1992-1-1/NA; 8.7.3(1))
 Druckstoß: $\alpha_6 = 1,0$
 $l_{b,\text{rqd}}$: [mm] Grundmaß der Verankerungslänge; siehe Punkt 0
 \varnothing : [mm] größter Stabdurchmesser an der Verankerung

3.) Übergreifungslänge

$$l_0 = \max \begin{cases} \alpha_1 \cdot \alpha_6 \cdot l_{b,\text{rqd}} \cdot \frac{A_{s,\text{erf.}}}{A_{s,\text{vorh.}}} \text{ [mm]} \\ l_{0,\min} \text{ [mm]} \end{cases}$$

$l_{b,\text{rqd}}$: [mm] Grundmaß der Verankerungslänge; siehe Punkt 0
 α_1 : [] Beiwert zur Verankerungsart; gerades Stabende: $\alpha_1 = 1,0$
Bei unterschiedlichen Durchmessern kann i.d.R. das Grundmaß des kleineren Stabdurchmessers gewählt werden.

6.8 Verankerung und Übergreifungsstöße von Betonstahlmatten:

Allgemein:

Für die Verankerung gelten die gleichen Regeln wie für Stabstahl

Beispiel - Wahl der Übergreifungslänge

z.B. 50%-Stoß

maßen. Der Grundwert $l_{b,rd}$ so
Die ggf. reduzierte erforderliche
nutzungsgrades $A_{s,ert} / A_{s,vorh}$ b
rücksichtigt werden. Dies gilt u

Bei Übergreifungsstößen mit v
messer und zugehöriger Ausla

Zusätzlich ist die Übergreifung
spannung σ_s nachzuweisen. B
im GZG zu beziehen. Dieser N
sehr gering oder z. B. erf $A_s =$

Bei der Ermittlung der Überg
nach Tabelle 8.2) wie bisher
schiebungsverhalten von Bew
kerungen berücksichtigt. Über
Bei dieser Bruchart wird die Tr
gegen Absprengen der Beton
hängt.

Der Übergreifungsbeiwert α_6
Stabdurchmessern und von S
der Prozentsatz der innerhalb

Diese Werte mussten im NA
DIN 1045-1 (R4) ersetzt werden, weil die EN 1992-1-1-Beiwerte α_6 insbeson

Bodenplatte h=40cm:

- Grundbewehrung D12/10
- Beton C30/37
- 50% Stoß
- Stoßebene liegt horizontal.
- lichter Stababstand zwischen Stoß:
 $a_{vorh} = 2 \cdot (100\text{mm} - 12\text{mm}) = 176\text{mm}$
- $a_{ert} = 8 \cdot 12\text{mm} = 96\text{mm}$
- > Beiwert $\alpha_6 = 1,0$

erforderlich:

- Übergreifungslänge oben: $L_{0,ert} = 61\text{cm}$
- Übergreifungslänge unten: $L_{0,ert} = 43\text{cm}$

gewählt:

- Übergreifungslänge oben: $L_0 = 65\text{cm}$
- Übergreifungslänge unten: $L_0 = 50\text{cm}$

Tabelle 8.3DE – Beiwert α_6

Stoß	Stab- ϕ	Stoßanteil einer Bewehrungslage	
		$\leq 33\%$	$> 33\%$
1 Zug	$< 16\text{ mm}$	1,2 ^{a)}	1,4 ^{b)}
	$\geq 16\text{ mm}$	1,4 ^{a)}	2,0 ^{b)}
3 Druck	alle	1,0	1,0

Wenn die lichten Stababstände $a \geq 8\phi$ (Bild 8.7) und der Randabstand in der Stoßebene $c_1 \geq 4\phi$ (Bild 8.3) eingehalten werden, darf der Beiwert α_6 reduziert werden auf:

^{a)} $\alpha_6 = 1,0$
^{b)} $\alpha_6 = 1,4$

$\alpha_6 = 2,3$ bei Stabdurchmesser ≥ 20 und Stoßanteil $> 50\%$

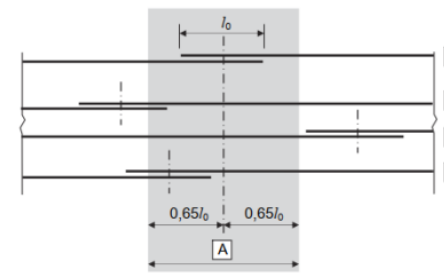


Bild 8.8 – Anteil gestoßener Stäbe in einem Stoßabschnitt

A betrachteteter Abschnitt
B Stab I C Stab II D Stab III E Stab IV
BEISPIEL Die Stäbe II und III liegen außerhalb des betrachteten Abschnitts: Stoßanteil = 50 %.

Bodenplatte h=150cm:

- Grundbewehrung D20/10
- Beton C30/37
- 50% Stoß
- Stoßebene liegt horizontal.
- lichter Stababstand zwischen Stoß:
 $a_{vorh} = 2 \cdot (100\text{mm} - 20\text{mm}) = 160\text{mm}$
- $a_{ert} = 8 \cdot 20\text{mm} = 160\text{mm}$
- > Beiwert $\alpha_6 = 1,4$

erforderlich:

- Übergreifungslänge oben: $L_{0,ert} = 100\text{cm}$
- Übergreifungslänge unten: $L_{0,ert} = 145\text{cm}$

gewählt:

- Übergreifungslänge oben: $L_0 = 110\text{cm}$
- Übergreifungslänge unten: $L_0 = 150\text{cm}$

*aufgrund Verlegetoleranzen ist m.E. ein kleiner Puffer sinnvoll

ben von 4ϕ bzw. 50 mm sind ohne Änderungen der Übergreifung

Die Forderung eines lichten Mindestrandabstandes c_1 nach Bild 8.3 zum nächstgen Bauteilrand bezieht sich auf die Richtung, in der das Absprengen der Betondeckung durch die Stabkräfte der nebeneinander liegenden gestoßenen Stäbe gefördert wird (Beispiel siehe Bild H8-5).

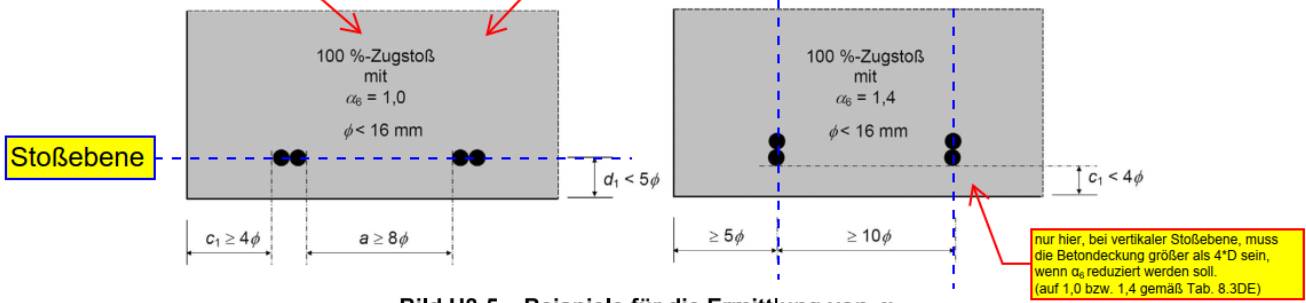


Bild H8-5 – Beispiele für die Ermittlung von α_6 abhängig von Rand- und Achsabstand der gestoßenen Stäbe

Beim Stoß einer konstruktiven Querbewehrung in einachsig gespannten Platten nach 9.3.1.1 (2) liegen in der Regel günstige Randbedingungen vor. Bei der höheren bezogenen Betondeckung $c_d / \phi > 1$ kann bei gerade gestoßenen Stäben - auch dann, wenn sie in der Höhenlage versetzt sind (z. B. in Elementdecken) - die Abminderung der Übergreifungslänge infolge erhöhter Betondeckung $\alpha_2 = 1 - 0,15(c_d - \phi) / \phi > 0,7$ angesetzt werden. Dabei ist jedoch $\alpha_2 \cdot \alpha_6 \geq 1,0$ einzuhalten. Die maßgebende Betondeckung c_d ergibt sich nach Bild 8.3.

Ed. Züblin AG, Kd.-Nr. 184270

7 Nachweise im Grenzzustand der Gebrauchstauglichkeit

7.1 Beschränkung der Rissbreite

1.) Hinweise

Für biegebeanspruchte Platten der Expositionsklasse XC1 ist der Nachweis nicht erforderlich, wenn die Gesamtdicke 20cm nicht überschreitet (vgl. EC2-1-1, 7.3.3)

2.) Grenzwert für die rechnerische Rissbreite

Expositions- klasse	Stahlbeton und Vorspannung ohne Verbund	Vorspannung mit nachträglichem Verbund	Vorspannung mit sofortigem Verbund	
			mit Einwirkungskombination	
			quasi-ständig	häufig
X0, XC1	0,4 ^a	0,2	0,2	—
XC2 – XC4	0,3	0,2 ^{b, c}	0,2 ^b	0,2
XS1 – XS3 XD1, XD2, XD3 ^d			Dekom- pression	

^a Bei den Expositionsklassen X0 und XC1 hat die Rissbreite keinen Einfluss auf die Dauerhaftigkeit und dieser Grenzwert wird i. Allg. zur Wahrung eines akzeptablen Erscheinungsbildes gesetzt. Fehlen entsprechende Anforderungen an das Erscheinungsbild, darf dieser Grenzwert erhöht werden.

^b Zusätzlich ist der Nachweis der Dekompression unter der quasi-ständigen Einwirkungskombination zu führen.

^c Wenn der Korrosionsschutz anderweitig sichergestellt wird (Hinweise hierzu in den Zulassungen der Spannverfahren), darf der Dekompressionsnachweis entfallen.

^d Beachte 7.3.1 (7).

Tabelle 2: maximale Rissbreite in mm [1]

7.2 Begrenzung der Betondruckspannungen und der Betonstahlspannungen

1.) Allgemein

Nachweise erforderlich:

- Um Kriechverformungen zu begrenzen: $\sigma_c \leq 0,45 \cdot f_{ck}$ in der quasi-ständigen EWK
- Um Längsrisse zu vermeiden: $\sigma_c \leq 0,6 \cdot f_{ck}$ in der charakteristischen (seltenen) EWK
- Vermeidung großer bleibender Verformungen durch Überschreiten der Streckgrenze:
 $\sigma_s \leq 0,8 \cdot f_{yk}$ in der seltenen EWK bei direkter Einwirkung (Last).
 $\sigma_s \leq 1,0 \cdot f_{yk}$ in der seltenen EWK bei indirekter Einwirkung (Zwang)

Oberer Nachweis für nicht vorgespannte Tragwerke des üblichen Hochbaus i.d.R. nicht erforderlich (s. EC2-1-1/NA, 7.1)

2.) Charakteristische Kombination (früher seltene Kombination)

$\sigma_{c2, char} \leq 0,6 \cdot f_{ck}$
 → keine Längsrisse in der Druckzone

$\sigma_{s1, char} \leq 0,80 \cdot f_{yk}$ (bei Last)
 $\sigma_{s1, char} \leq 1,00 \cdot f_{yk}$ (bei Zwang)

→ keine bleibenden Verformungen

σ_{c2} : [N/mm²] Betondruckspannung am oberen Querschnittsrand
 f_{ck} : [N/mm²] charakteristische Zylinderdruckfestigkeit von Beton
 f_{yk} : [N/mm²] charakteristischer Wert der Streckgrenze; $f_{yk} = 500$ N/mm²

3.) Quasi-ständige Kombination

$\sigma_{c2, perm} \leq 0,45 \cdot f_{ck}$
 → kein nichtlineares Kriechen

σ_{c2} : [N/mm²] Betondruckspannung am oberen Querschnittsrand
 f_{ck} : [N/mm²] charakteristische Zylinderdruckfestigkeit von Beton

7.3 Rissbreitennachweis mit direkter Berechnung

1.) Wirkungsbereich der Bewehrung

$$h_{c,eff} = \min \begin{cases} 2,5 \cdot d_1 \text{ [cm]} \\ \frac{h - x_{II}}{3} \text{ [cm]} \text{ (Obergrenze für biegebanspruchte Bauteile)} \\ \frac{h}{2} \text{ [cm]} \text{ (Obergrenze für zentrisch gezogene Bauteile)} \end{cases}$$

$$A_{c,eff} = h_{c,eff} \cdot b_{eff} \text{ [cm}^2\text{]}$$

Hinweis: $2,5 \cdot d_1$ gilt nur für dünne Bauteile ($h/d_1 \leq 10$ bei Biegung; $h/d_1 \leq 5$ bei zentrischem Zwang) und konzentrierte Bewehrungsanordnung. Bei dicken Bauteilen kann $h_{c,eff}$ bis auf $5 \cdot d_1$ anwachsen.

d_1 : [cm] Abstand zwischen Betonrand und Schwerpunkt der Zugbewehrung
 $h_{c,eff}$: [cm]
 b_{eff} : [cm] effektive Querschnittsbreite
bei Plattenbalken mit negativem Moment:
 $b_{eff} = b_{eff}/2 + 2 \cdot 1,5 \cdot d_1$ (nach DIN 1045 → sichere Seite)
 nach EC2: b_{eff} = Breite des Verlegebereichs der Bewehrung + $2 \cdot 5 \cdot (c + \varnothing_s)$
bei Plattenbalken mit positivem Moment: $b_{eff} = b_w$

c : [cm] Betondeckung

\varnothing_s : [cm] Stabdurchmesser

x_{II} : [cm] Druckzonenhöhe im Zustand 2; siehe 9.2

h : [cm] Querschnittshöhe; bei PB: gesamte Querschnittshöhe

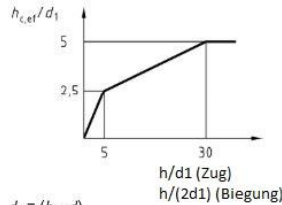


Abbildung 22: Vergrößerung von $h_{c,eff}$ [1]

2.) Effektiver Bewehrungsgrad

$$\rho_{p,eff} = \frac{A_s}{A_{c,eff}} \text{ []}$$

A_s : [cm²] vorhandene Zugbewehrung (auch bei zentrischem Zug nur A_{s1})
 $A_{c,eff}$: [cm²] Wirkungsbereich der Bewehrung; siehe oben

3.) Wirksame Betonzugfestigkeit

$$f_{ct,eff} \begin{cases} \text{früher Zwang: } f_{ct,eff} = 0,5 \cdot f_{ctm} \text{ [N/mm}^2\text{]} \\ \text{später Zwang: } f_{ct,eff} = f_{ctm} \text{ [N/mm}^2\text{]} \end{cases}$$

Hinweis: Nach DIN EN 1992-1-1; NA7.3.4(2): wirksame Betonzugfestigkeit der folgenden Gleichung ohne Ansatz einer Mindestbetonzugfestigkeit.

Mit der Änderung DIN EN 1992-1-1/NA/A1:2015-12 Sollte $f_{ct,eff} > 3,0$ angenommen werden.

Wenn Abschluss der Rissbildung innerhalb 28d darf ein geringerer Wert angenommen werden. Z.B.:

Nach 3 Tagen: 65% (i.d.R. bei Platten $h < 0,3m$)

Nach 5 Tagen: 75%

Nach 7 Tagen: 85% (i.d.R. bei Platten $h > 0,8m$)

f_{ctm} : [N/mm²] Mittelwert der zentrischen Betonzugfestigkeit; siehe Tab. 3.1

früher Zwang: (3-5d)

- z.B. durch abfließen der Hydratationswärme

später Zwang: (nach 28d)

- z.B. aus Last

4.) Differenz der mittleren Dehnungen

$$\varepsilon_{sm} - \varepsilon_{cm} = \max \begin{cases} \frac{\sigma_s}{E_s} - k_t \cdot \frac{f_{ct,eff}}{\rho_{p,eff} \cdot E_s} \cdot (1 + \alpha_e \cdot \rho_{p,eff}) \text{ []} \\ 0,6 \cdot \frac{\sigma_s}{E_s} \text{ []} \end{cases}$$

σ_s : [N/mm²] Spannung in der Zugbewehrung im Zustand 2 für die quasi ständige EWK.

für zentrischen Zwang: $\sigma_s = \frac{A_{c,eff} \cdot f_{ct,eff}}{A_s}$ (s. Heft 525 S. 103)

sonst: s. Abschnitt „Spannung in der Zugbewehrung im Zustand 2“

k_t : [] Völligkeitsbeiwert der Spannungsverteilung zwischen den Rissen.

$k_t = 0,6$ bei kurzzeitiger Einwirkung

$k_t = 0,4$ bei langfristiger Einwirkung (Regelfall)

$f_{ct,eff}$: [N/mm²] wirksame Betonzugfestigkeit; siehe oben

$\rho_{p,eff}$: [] effektiver Bewehrungsgrad; siehe oben

α_e : [] Verhältnis der E-Moduli; $\alpha_e = E_s/E_c$

E_s : [N/mm²] E-Modul des Betonstahls; $E_s = 200.000$

E_c : [N/mm²] E-Modul des Beton

5.) Maximaler Rissabstand

für $s \leq 5 \cdot c + \varnothing/2$: (Regelfall)

$$s_{r,max} = \min \begin{cases} \frac{\varnothing}{3,6 \cdot \rho_{p,eff}} \text{ [mm]} \\ \frac{\sigma_s \cdot \varnothing}{3,6 \cdot f_{ct,eff}} \text{ [mm]} \end{cases}$$

für $s > 5 \cdot c + \varnothing/2$:

$$s_{r,max} = 1,3 \cdot (h - x)$$

s : [mm] Abstand der Stäbe zueinander

c : [mm] Betondeckung bezogen auf die Längsbewehrung

\varnothing : [mm] Durchmesser der vorhandenen Bewehrung

$\rho_{p,eff}$: [] effektiver Bewehrungsgrad; siehe oben

σ_s : [N/mm²] Spannung in der Zugbewehrung im Zustand 2 unter der quasi ständigen EWK; siehe Punkt 0

$f_{ct,eff}$: [N/mm²] wirksame Betonzugfestigkeit; siehe oben

6.) Rissbreite

$$w_k = s_{r,max} \cdot (\varepsilon_{sm} - \varepsilon_{cm}) \text{ [mm]}$$

7.) Nachweis

$$w_k \leq \text{zul. } w_k$$

7.4 Rissbreitennachweis ohne direkte Berechnung

1.) Verfahren über Grenzdurchmesser (mit Tabelle NA 7.2)

Grenzdurchmesser

σ_s^b N/mm ²	Grenzdurchmesser bei Betonstählen $\phi_s^* \cdot a$ mm		
	0,4 mm	0,3 mm	0,2 mm
160	54	41	27
200	35	26	17
240	24	18	12
280	18	13	9
320	14	10	7
360	11	8	5
400	9	7	4
450	7	5	3

Tabelle 3: Tabelle NA.7.2 [1]

σ_s : Spannung in der Zugbewehrung im Zustand 2 für die quasi ständige EWK, [σ_s] = N/mm²

$$\text{für zentrischen Zwang: } \sigma_s = \frac{A_{c,eff} \cdot f_{ct,eff}}{A_s} \quad (\text{s. Heft 525 S. 103})$$

sonst: siehe Punkt 0

w_k : Rissbreite nach 2.), [w_k] = mm

Hinweis: Zwischenwerte dürfen linear interpoliert werden

Wirksame Betonzugfestigkeit

$$f_{ct,eff} \begin{cases} \text{früher Zwang: } f_{ct,eff} = 0,5 \cdot f_{ctm} \text{ [N/mm}^2\text{]} \\ \text{später Zwang: } f_{ct,eff} = f_{ctm} \text{ [N/mm}^2\text{]} \end{cases}$$

Hinweis: Nach DIN EN 1992-1-1; NA7.3.4(2): wirksame Betonzugfestigkeit der folgenden Gleichung ohne Ansatz einer Mindestbetonzugfestigkeit.

Mit der Änderung DIN EN 1992-1-1/NA/A1:2015-12

Sollte $f_{ct,eff} > 3,0$ angenommen werden.

Wenn Abschluss der Rissbildung innerhalb 28d darf ein geringerer Wert angenommen werden. Z.B.:

Nach 3 Tagen: 65% (i.d.R. bei Platten $h < 0,3m$)

Nach 5 Tagen: 75%

Nach 7 Tagen: 85% (i.d.R. bei Platten $h > 0,8m$)

f_{ctm} : [N/mm²] Mittelwert der zentrischen Betonzugfestigkeit; siehe Tab. 3.1

früher Zwang: (3-5d)

- z.B. durch abfließen der Hydratationswärme

später Zwang: (nach 28d)

- z.B. aus Last

Maximal zulässiger Durchmesser

$$\lim \phi_s = \max \begin{cases} \phi_s^* \cdot \frac{\sigma_s \cdot A_s}{4 \cdot (h-d) \cdot b \cdot f_{ct,0}} \text{ [mm]} \\ \phi_s^* \cdot \frac{f_{ct,eff}}{f_{ct,0}} \text{ [mm]} \end{cases}$$

$\lim \phi_s$: maximal zulässiger Durchmesser der Bewehrungsstäbe

ϕ_s^* : [mm] Grenzdurchmesser nach Tabelle NA.7.2; siehe oben

σ_s : [N/mm²] Spannung in der Zugbewehrung im Zustand 2 für die quasi ständige EWK; siehe Punkt 0

Bei Bauteilen mit innerer Zwangsbeanspruchung gilt die bei der Berechnung der Mindestbewehrung ermittelte Stahlspannung σ_s

A_s : [cm²] Querschnitt der vorhandenen Bewehrung

h : [cm] Bauteildicke

b : [cm] Breite der Zugzone

d : [cm] statische Nutzhöhe

$f_{ct,0}$: [N/mm²] $f_{ct,0} = 2,9$

$f_{ct,eff}$: [N/mm²] wirksame Zugfestigkeit; siehe oben

Nachweis

$$\lim \phi_s \geq \text{vorh. } \phi_s$$

2.) Verfahren über Höchstwerte der Stababstände (nur bei Lastbeanspruchung)

Höchstwert des Stababstandes

Stahlspannung ² [N/mm ²]	Höchstwerte der Stababstände [mm]		
	$w_k=0,4$ mm	$w_k=0,3$ mm	$w_k=0,2$ mm
160	300	300	200
200	300	250	150
240	250	200	100
280	200	150	50
320	150	100	—
360	100	50	—

Tabelle 4: Höchstwerte der Stababstände nach 7.3N [4]

σ_s : [N/mm²] Spannung in der Zugbewehrung im Zustand 2 für die quasi ständige EWK; siehe Punkt 0

s : [mm] Abstand zwischen den einzelnen Zugbewehrungsstäben

Hinweis: Zwischenwerte dürfen linear interpoliert werden.

Nachweis

$$\max s \geq \text{vorh. } s$$

s : [mm] Abstand zwischen den einzelnen Zugbewehrungsstäben

7.5 Mindestbewehrung zur Beschränkung der Rissbreite

1.) Hinweise	
<ul style="list-style-type: none"> • Notwendig bei Bauteilen, die durch Zugsp. aus indirekten Einwirkungen (Zwang) beansprucht werden. • Bei gegliederten Querschnitten (z.B. Plattenbalken) ist die Mindestbewehrung für jeden Teilquerschnitt einzeln nachzuweisen! 	
2.) Überprüfung ob Mindestbewehrung für Zwang aus Hydratation erforderlich ist	
Dehnung infolge Temperatur	
$\epsilon_T = \Delta T \cdot \alpha_T$ []	ΔT : [K] Temperaturdifferenz des Bauteils zwischen Ende der Hydratation und abgekühltem Zustand α_T : [1/K] Wärmeausdehnungskoeffizient des Bauteils; für Stahlbeton: $\alpha_T \approx 10^{-5}$
Wirksame Betonzugfestigkeit	
$f_{ct,eff}$ [N/mm ²] früher Zwang: $f_{ct,eff} = 0,5 \cdot f_{ctm}$ [N/mm ²] später Zwang: $f_{ctm} < 3,0 \rightarrow f_{ct,eff} = 3,0$ [N/mm ²] $f_{ctm} > 3,0 \rightarrow f_{ct,eff} = f_{ctm}$	f_{ctm} : [N/mm ²] Mittelwert der zentrischen Betonzugfestigkeit; siehe Tab. 3.1 früher Zwang: (3-5d) - z.B. durch abfließen der Hydratationswärme später Zwang: (nach 28d) - z.B. aus Last
Hinweis: Mit der Änderung DIN EN 1992-1-1/NA/A1:2015-12 Sollte $f_{ct,eff} > 3,0$ angenommen werden. Wenn Abschluss der Rissbildung innerhalb 28d darf ein geringerer Wert angenommen werden. Z.B.: Nach 3 Tagen: 65% (i.d.R. bei Platten $h < 0,3m$) Nach 5 Tagen: 75% Nach 7 Tagen: 85% (i.d.R. bei Platten $h > 0,8m$)	
Rissdehnung	
$\epsilon_c = \frac{f_{ct,eff}}{E_{cm}}$ []	$f_{ct,eff}$: [N/mm ²] wirksame Betonzugfestigkeit; siehe oben E_{cm} : [N/mm ²] E-Modul des Beton
Nachweis	
$\epsilon_T \geq \epsilon_c \rightarrow$ Risse \rightarrow Mindestbewehrung erf.!	

3.) Ermittlung der Mindestbewehrung

Fläche der Betonzugzone im Zustand 1 und Betonspannungen

Rechteckquerschnitt:

$$A_{ct} = 0,5 \cdot b \cdot h \quad [\text{cm}^2] \quad (\text{je Bauteilseite})$$

Hinweis: auch bei reiner Zugbelastung wird mit halber Querschnittshöhe gerechnet, da A_{ct} dann auf eine Bewehrungslage bezogen ist.

A_{ct} : [cm²] Zugzone im Zustand 1 (unmittelbar vor der Erstrissbildung)

Gegliederte Querschnitte:

Hinweis: bei gegliederten Querschnitten muss die Mindestbew. Für die einzelnen Teilquerschnitte separat bestimmt werden. Jeweils an einem Rand muss gelten: $\sigma_c = f_{ct,eff}$

Plattenbalken (Zug oben):

$t = 0$:

$$\sigma_{c,m} = \frac{r_{inf} \cdot P_{m0}}{A_c}$$

Hinweis: falls keine Normalkraft vorhanden ist gilt: $\sigma_{c,m} = 0$

$t = \infty$:

$$\sigma_{c,m} = \frac{r_{inf} \cdot P_{m\infty}}{A_c} \quad \text{Hinweis:}$$

Hinweis:
falls keine Normalkraft vorhanden ist gilt: $\sigma_{c,m} = 0$
es wird immer mit dem Wert r_{inf} gerechnet, da daraus das größtes $A_{s,min}$ resultiert.

$$h_t = \frac{f_{ct,eff} \cdot z_{so}}{f_{ct,eff} + |\sigma_{c,m}|} \quad [\text{cm}]$$

$$A_{ct,web} = b_w \cdot h_t \quad [\text{cm}^2]$$

$$A_{ct,f} = (b_{eff} - b_w) \cdot h_{cf} \quad [\text{cm}^2] \quad (\text{für NL im Steg})$$

$$\sigma_{c,web} = \frac{f_{ct,eff} \cdot h_{ges}}{2 \cdot h_t} - f_{ct,eff} \quad [\text{N/mm}^2]$$

$$\sigma_{c,f} = f_{ct,eff} \cdot \left(1 - \frac{h_{cf}}{2 \cdot h_t}\right) \quad [\text{N/mm}^2]$$

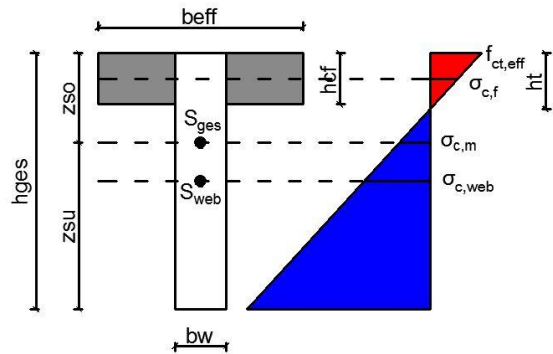


Abbildung 23: Spannungsverteilung eines Plattenbalken – oberer Querschnittsrand zugbeansprucht

r_{inf} : [] Wert zur Berücksichtigung der Streuung der Vorspannkraft
Nachträglicher Verbund: $r_{inf} = 0,9$
Sofortiger Verbund/ Kein Verbund: $r_{inf} = 0,95$
 h_{cf} : [cm] Plattendicke

Plattenbalken (Zug unten):

$t = 0$:

$$\sigma_{c,m} = \frac{r_{inf} \cdot P_{m0}}{A_c}$$

Hinweis: falls keine Normalkraft vorhanden ist gilt: $\sigma_{c,m} = 0$

$t = \infty$:

$$\sigma_{c,m} = \frac{r_{inf} \cdot P_{m\infty}}{A_c} \quad \text{Hinweis:}$$

Hinweis:
falls keine Normalkraft vorhanden ist gilt: $\sigma_{c,m} = 0$
es wird immer mit dem Wert r_{inf} gerechnet, da daraus das größtes $A_{s,min}$ resultiert.

$$h_t = \frac{f_{ct,eff} \cdot z_{su}}{f_{ct,eff} + |\sigma_{c,m}|} \quad [\text{cm}]$$

$$A_{ct} = b_w \cdot h_t \quad [\text{cm}^2]$$

$$\sigma_{c,web} = \frac{f_{ct,eff} \cdot h_{ges}}{2 \cdot h_t} - f_{ct,eff} \quad [\text{N/mm}^2]$$

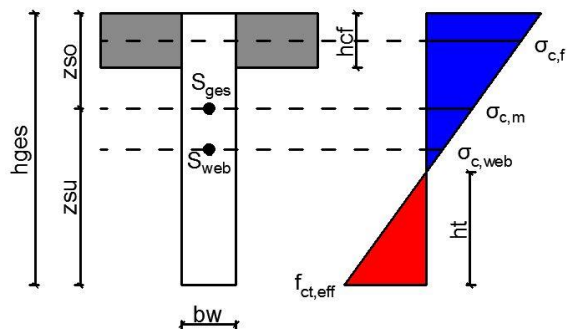


Abbildung 24: Spannungsverteilung eines Plattenbalken - unterer Querschnittsrand zugbeansprucht

r_{inf} : [] Wert zur Berücksichtigung der Streuung der Vorspannkraft
Nachträglicher Verbund: $r_{inf} = 0,9$
Sofortiger Verbund/ Kein Verbund: $r_{inf} = 0,95$

Faktor k_c

- **bei reinem Zug:** $k_c = 1,0$
- **bei Biegung und Biegung mit Normalkraft:** Rechteckquerschnitt, Steg von Hohlkasten, Steg eines T-Querschnitts:

$$k_c = 0,4 \cdot \left[1 - \frac{\sigma_c}{k_1 \cdot \left(\frac{h}{h^*}\right) \cdot f_{ct,eff}} \right] \leq 1$$

Gurt von Hohlkasten, Gurt eines T-Querschnitts:

$$k_c = 0,9 \cdot \frac{F_{cr}}{A_{ct} \cdot f_{ct,eff}} \geq 0,5$$

Hinweis: Herleitung & Beispiel zu T-Querschnitt: siehe [5]

k_c : [] Faktor zu Erfassung der Spannungsverteilung vor Erstrissbildung

σ_c : [N/mm²] Betonspannung in Höhe der Schwerlinie des Querschnitts im Zustand 1.

Bei Rechteckquerschnitt: $\sigma_c = N_{Ed} / (b \cdot h)$

Bei gegliedertem Querschnitt: σ_c vgl. **Fehler! V**

erweisquelle konnte nicht gefunden werden.

N_{Ed} : [N] Normalkraft im GZG (Druckkraft positiv)

h : [m] Höhe des Querschnitts/ Teilquerschnitts

h^* : [m] $h < 1m$: $h^* = h$
 $h \geq 1m$: $h^* = 1$

k_1 : [] Beiwert zur Berücksichtigung der Auswirkung von Normalkräften auf den Spannungsverlauf

N_{Ed} Druckkraft: $k_1 = 1,5$

N_{Ed} Zugkraft: $k_1 = 2 \cdot h^* / (3 \cdot h)$

F_{cr} : [N] Zugkraft im Gurt inf. Rissmoment; $F_{cr} = A_{ct} \cdot \sigma_{c,x}$

$\sigma_{c,x}$: [N/mm²] Betonspannung im Schwerpunkt der Fläche A_{ct}

A_{ct} : [mm²]

reiner Zug:

z.B. durch abfließen der Hydratationswärme

Faktor k

- äußerer Zwang: $k = 1,0$
- innerer Zwang: $h \leq 30cm \rightarrow k = 0,8$
 $30cm < h < 80cm \rightarrow$ Interp.
 $h \geq 80cm \rightarrow k = 0,5$

Interpolation: $k = 0,98 - 0,6 \cdot h$

k : [] Beiwert zur Berücksichtigung von nichtlinear verteilten Eigenspannungen.

äußerer Zwang:

nur möglich wenn Bauteil statisch unbestimmt gelagert ist.

- Temperaturänderung

- Stützensenkung

innerer Zwang:

- durch Schwinden

- durch abfließen der Hydratationswärme

h ist der kleinere Wert von b und h!! h in m!!

Grenzdurchmesser

Bei Zwangsbeanspruchung aus zentrischem Zug:

$$\varnothing_s^* = \min \left\{ \begin{array}{l} \varnothing_s \cdot \frac{2,9}{f_{ct,eff}} \quad [\text{mm}] \\ \varnothing_s \cdot \frac{2,9}{f_{ct,eff}} \cdot \frac{8 \cdot (h-d)}{k_c \cdot k \cdot h_{cr}} \quad [\text{mm}] \end{array} \right.$$

Bei Zwangsbeanspruchung aus Biegung:

$$\varnothing_s^* = \min \left\{ \begin{array}{l} \varnothing_s \cdot \frac{2,9}{f_{ct,eff}} \quad [\text{mm}] \\ \varnothing_s \cdot \frac{2,9}{f_{ct,eff}} \cdot \frac{4 \cdot (h-d)}{k_c \cdot k \cdot h_{cr}} \quad [\text{mm}] \end{array} \right.$$

Lastbeanspruchung:

$$\varnothing_s^* = \min \left\{ \begin{array}{l} \varnothing_s \cdot \frac{2,9}{f_{ct,eff}} \quad [\text{mm}] \\ \varnothing_s \cdot \frac{4 \cdot (h-d) \cdot b \cdot 2,9}{\sigma_s^* \cdot A_s} \quad [\text{mm}] \end{array} \right.$$

Hinweise:

- Auf der sicheren Seite kann stets mit dem ersten Wert gerechnet werden.

- Wenn \varnothing obere Bewehrung $\neq \varnothing$ untere Bewehrung \rightarrow separater Nachweis für oben und unten erforderlich (2 verschiedene \varnothing_s^* bzw. σ_s)

- Alternativ nach DIN EN 1992-1-1; 7.3.3(NA.7): Bei unterschiedlichen Durchmessern in einem Querschnitt darf mit einem mittleren

Stabdurchmesser gerechnet werden. $\varnothing_m = \frac{\sum \sigma_i^2}{\sum \sigma_i}$

- Bei Stahlbetonmatten mit Doppelstäben: $\varnothing_s = \varnothing$ eines Einzelstabes.

\varnothing_s : [mm] vorhandener Stabdurchmesser. (siehe Hinweise)

$f_{ct,eff}$: [N/mm²] wirksame Betonzugfestigkeit; siehe oben

h_{cr} : [cm] Höhe der Zugzone, unmittelbar nach Rissbildung senkrecht zur Symmetrieebene des Querschnitts

bei Biegung: $h_{cr} = h/2$

bei zentrischem Zug: $h_{cr} = h$

h : [cm] Gesamthöhe des Querschnittes \perp zur Symmetrieachse der Bewehrung

d : [cm] statische Nutzhöhe

k : [] siehe oben

σ_s : [N/mm²] Betonstahlspannung im Zustand 2

A_s : [cm²] vorhandene Zugbewehrung

zentrischer Zug:

z.B. durch abfließen der Hydratationswärme

*1 da σ_s unbekannt ist, kann auf der sicheren Seite mit dem ersten Wert weitergerechnet werden.

Zulässige Spannung in der Bewehrung (damit Risse nicht zu groß werden)

$$\sigma_s = \sqrt{\frac{w_k \cdot 3,48 \cdot 10^6 \cdot (1,5)^{*1}}{\sigma_s^*}} \quad [\text{N/mm}^2]$$

1: Bei Kurzzeitbeanspruchung darf σ_s^ mit dem Faktor 1,5 erhöht werden. Im DVB Merkblatt „Rissbildung“ wird von dieser Erhöhung allerdings abgeraten.

w_k : [mm]
 σ_s^* : [mm]

Mindestquerschnittsfläche innerhalb der Zugzone

$$A_{s,\min(o/u)} = k_c \cdot k \cdot f_{ct,\text{eff}} \cdot \frac{A_{ct}}{\sigma_s} \quad [\text{cm}^2]$$

$f_{ct,\text{eff}}$ in [N/mm²]
 σ_s in [N/mm²]
 A_{ct} in [cm²]

Nachweis

$$A_{s,\text{vorh}(o/u)} \geq A_{s,\min(o,u)} \quad \text{Unterschreitung} < 3\% \text{ OK}$$

7.6 Nachweis der Begrenzung der Verformung ohne direkte Berechnung nach 7.4.2

1.) Referenzbewehrungsgrad	
$\rho_0 = \sqrt{f_{ck}} \cdot 10^{-3}$	f_{ck} : [N/mm ²] Betondruckfestigkeit
2.) erf. Zugbewehrungsgrad in Feldmitte/ Einspannstelle bei Kragträger	
<p>bei Platten $\rho = \frac{a_{\text{erf.}}}{100 \cdot d}$</p> <p>bei Trägern $\rho = \frac{A_{\text{erf.,t}}}{b \cdot d}$ Druckbewehrungsgrad: $\rho' = \frac{A_{\text{erf.,p}}}{b \cdot d}$</p> <p>zur Vorbemessung (Ermittlung der erf. Deckendicke) können folgende Werte angenommen werden: Beton gering beansprucht (Platten): $\rho = 0,5\%$ Beton hochbeansprucht (Träger): $\rho = 1,5\%$</p>	$a_{\text{erf.}}$: Zugbewehrung in Feldmitte (bei Kragträgern: Einspannstelle), die erforderlich ist, um das Bemessungsmoment im GZT aufzunehmen.
3.) K-Wert (aus DIN EN 1992-1-1 Tab. 7.4N)	
<p>$K = 1,0$ (frei drehbar gelagerter Einfeldträger, gelenkig gelagerte einachsig oder zweiachsig gespannte Platte) $K = 1,3$ (Endfeld eines Durchlaufträgers oder einer einachsig gespannten durchlaufenden Platte) (Endfeld einer zweiachsig gespannten Platte, die kontinuierlich über eine längere Seite durchläuft) $K = 1,5$ (Mittelfeld eines Balkens oder einer einachsig oder zweiachsig gespannten Platte) $K = 1,2$ (Platte die ohne Unterzüge auf Stützen gelagert ist (Flachdecke) $K = 0,4$ (Kragträger)</p> <p>Anmerkung: zweiachsig gespannte Platten → kürzere Spannweite maßgebend Flachdecken → größere Stützweite maßgebend</p>	
4.) Grundbeziehungen	
<p>wenn $\rho \leq \rho_0$: zul. $\frac{l}{d} = K \cdot \left[11 + 1,5 \cdot \sqrt{f_{ck}} \cdot \frac{\rho_0}{\rho} + 3,2 \cdot \sqrt{f_{ck}} \cdot \left(\frac{\rho_0}{\rho} - 1 \right)^2 \right]$</p> <p>wenn $\rho > \rho_0$: zul. $\frac{l}{d} = K \cdot \left[11 + 1,5 \cdot \sqrt{f_{ck}} \cdot \frac{\rho_0}{\rho - \rho'} + \frac{1}{12} \cdot \sqrt{f_{ck}} \cdot \frac{\rho'}{\rho_0} \right]$</p> <p>Anmerkung: Bei der Vorbemessung entspricht $\frac{l}{d}$ dem kleinstmöglichen Verhältniswert (liefert das größte d)</p>	f_{ck} : [N/mm ²] charakteristische Zylinderdruckfestigkeit von Beton
5.) Einfluss der Stahlspannung	
<p>Die Grundbeziehungen basieren auf einer Stahlspannung von 310N/mm². Bei anderen Spannungen können die Grundbeziehungen angepasst werden:</p> <p>zul. $\frac{l}{d}$ angepasst = zul. $\frac{l}{d} \cdot \frac{310}{\sigma_{s,\text{perm}}}$</p> <p>mit: $\sigma_{s,\text{perm}} = \frac{M_{\text{Ed,perm}}}{M_{\text{Ed}}} \cdot \frac{A_{s,\text{erf.}}}{A_{s,\text{vorh.}}} \cdot f_{yd}$ [N/mm²]</p>	$M_{\text{Ed,perm}}$: [kNm] Bemessungsmoment im GZG unter der quasi ständigen EWK M_{Ed} : [kNm] Bemessungsmoment im GZT $A_{s,\text{vorh.}}$: [cm ²] Vorhandene Querschnittsfläche der Zugbewehrung $A_{s,\text{erf.}}$: [cm ²] erforderliche Querschnittsfläche der Zugbew. im GZT f_{yd} : [N/mm ²] Bemessungswert der Streckgrenze; $f_{yd} = 435$ N/mm ²
6.) Sonstige Einflüsse	
<ul style="list-style-type: none"> Bei Balken und Platten (außer Flachdecken) mit Stützweiten über 7m, die leichte Trennwände tragen, ist in der Regel der Wert l/d mit dem Faktor $7/l_{\text{eff}}$ zu multiplizieren (vgl. DIN EN 1992-1-1 5.3.2.2 (1)) Bei Flachdecken mit Stützweiten über 8,5m, die leichte Trennwände tragen, ist in der Regel der Wert l/d mit dem Faktor $8,5/l_{\text{eff}}$ zu multiplizieren (vgl. DIN EN 1992-1-1 5.3.2.2 (1)) Bei gegliederten Querschnitten mit $b/b_w > 3$: zul. $\frac{l}{d}$ angepasst = zul. $\frac{l}{d} \cdot 0,8$ 	l_{eff} : [m] effektive Stützweite

7.) Begrenzung der Biegeschlankheiten nach NAD

allgemein: zul. $\frac{l}{d} \leq K \cdot 35$

bei Bauteilen, die verformungsempfindliche Bauelemente beeinträchtigen können: zul. $\frac{l}{d} \leq K^2 \cdot \frac{150}{l_{\text{eff}}}$

Anmerkung: Bei der Vorbemessung entspricht zul. $\frac{l}{d}$ nach NAD dem größtmöglichen Verhältniswert. (liefert das kleinste d)
Wenn bei der Vorbemessung beide Bedingungen erfüllt sein sollen, ist das kleinere $\frac{l_{\text{eff}}}{d}$ der größtmögliche Verhältniswert $\frac{l}{d}$

l_{eff} : [m] siehe
unter
„Geometrien“

8.) Nachweis:

vorh. $\frac{l}{d} \leq \frac{l_{\text{eff}}}{d}$

7.7 Nachweis der Begrenzung der Verformungen mit direkter Berechnung

1.) Hinweise:	
Das folgende Verfahren ist lediglich ein sehr grobes Verfahren und kann von der wirklichen Verformung erheblich abweichen. Die Krümmung wird an einer charakteristischen Stelle (z.B. bei max.M) ermittelt. Für die Krümmung an allen anderen Stellen des Trägers wird ein Verlauf affin zum Momentenverlauf angenommen. Die Integration der Krümmung kann dann mit Integraltafeln (Faktor K) erfolgen. [5] Um die unterschiedlichen Zustände (Zustand 1, Zustand 2) und somit die Mitwirkung des Betons auf Zug zwischen den Rissen, entlang der Trägerlänge zu erfassen, werden die Krümmungen mit einem Verteilungsbeiwert gewichtet um eine mittlere Krümmung zu erhalten.	
2.) Effektiver E-Modul	
$E_{c,eff} = \frac{E_{cm}}{1 + \varphi(\infty, t_0)}$ [N/mm ²]	E_{cm} : [N/mm ²] mittlerer Elastizitätsmodul $\varphi(\infty, t_0)$: [] Kriechzahl; siehe 105
3.) Krümmung im Zustand 1	
Infolge Last & Kriechen: $K_{l,L+K} = \frac{M_{Ed,perm} \cdot 0,001}{E_{c,eff} \cdot I_l}$ [1/m] Infolge Schwinden & Kriechen: $K_{l,S+K} = \epsilon_{cs} \cdot \alpha_{e,eff} \cdot \frac{S_l}{I_l}$ [1/m] Gesamt: $K_l = K_{l,L+K} + K_{l,S+K}$ [1/m]	$M_{Ed,perm}$: [kNm] Bemessungsmoment im GZG (quasi ständige EWK) $E_{c,eff}$: [MN/m ²] effektiver E-Modul; siehe oben I_l : [m ⁴] ideelles Flächenmoment 2. Grades im Zustand 1 (Bewehrung braucht nur durch Steineranteil berücksichtigt werden.) Für Rechteckquerschnitt: $I_l = \frac{b \cdot h^3}{12} + A_{s1} \cdot e_{s1}^2$ e_{s1} : [m] Abstand zwischen Schwerpunkt des ideellen Querschnitts und der Zugsbewehrung. $e_{s1} = h/2 - d_1$ S_l : [m ³] Flächenmoment 1. Grades der Querschnittsfläche der Bewehrung, bezogen auf den Schwerpunkt des Querschnitts im Zustand 1. $S_l = A_{s1} \cdot z_{s1} = A_{s1} \cdot (d - h/2)$
4.) Krümmung im Zustand 2	
Infolge Last & Kriechen: $K_{ll,L+K} = \frac{\epsilon_s}{d - x_{ll}} = \frac{\sigma_{s1,ll}}{E_s \cdot (d - x_{ll})}$ [1/m] Infolge Schwinden & Kriechen: $K_{ll,S+K} = \epsilon_{cs} \cdot \alpha_{e,eff} \cdot \frac{S_{ll}}{I_{ll}}$ [1/m] Gesamt: $K_{ll} = K_{ll,L+K} + K_{ll,S+K}$ [1/m]	I_2 : [m ⁴] Flächenmoment 2. Grades im Zustand 2; siehe Punkt 9.2 $\sigma_{s1,ll}$: [MN/m ²] Spannung in der Bewehrung im Zustand 2 ; i.d.R infolge $M_{Ed,perm}$; siehe Punkt 0 E_s : [MN/m ²] E-Modul des Betonstahls; $E_s = 200.000$ d : [m] statische Nutzhöhe x_{ll} : [m] Druckzonenhöhe im Zustand 2 (mit Kriechen); siehe Punkt 9.2 ϵ_{cs} : [] Endschwindmaß; siehe Anhang $\alpha_{e,eff}$: [] Verhältnis der E-Moduli; $\alpha_{e,eff} = E_s/E_{c,eff}$ $E_{c,eff}$: [MN/m ²] effektiver E-Modul; siehe oben S_{ll} : [m ³] Flächenmoment 1. Grades der Querschnittsfläche der Bewehrung, bezogen auf den Schwerpunkt des Querschnitts im Zustand 2. Siehe Punkt 9.2 I_{ll} : [m ⁴] Flächenmoment 2. Grades im Zustand 2; siehe Punkt 9.2
5.) Verteilungsbeiwert	
$\zeta = 1 - \beta \cdot \left(\frac{M_{cr}}{M_{Ed}} \right)^2$ [] oder: $\zeta = 1 - \beta \cdot \left(\frac{\sigma_{sr}}{\sigma_s} \right)^2$ []	M_{cr} : [kNm] Rissmoment; $M_{cr} = f_{ctm} \cdot \frac{b \cdot h^2}{6}$ M_{Ed} : [kN] einwirkendes Moment welches zur Erstrissbildung führt; i.d.R $M_{Ed} = M_{Ed,perm}$ f_{ctm} : [N/mm ²] Mittelwert der zentrischen Betonzugfestigkeit; siehe Anhang σ_s : [N/mm ²] Spannung in der Zugsbewehrung im Zustand 2 σ_{sr} : [N/mm ²] Spannung in der Zugsbewehrung β : [] Koeffizient; berücksichtigt Belastungsdauer und Lastwiederholung $\beta = 1,0$ bei Kurzzeitbelastung $\beta = 0,5$ bei Langzeitbelastung oder vielen Lastzyklen (Regel)
6.) Mittlere Krümmung	
$K_m = \zeta \cdot K_{ll} + (1 - \zeta) \cdot K_l$ [1/m]	ζ : [] Verteilungsbeiwert; siehe oben K_l : [1/m] Krümmung an der charakteristischen Stelle im Zustand 1 K_{ll} : [1/m] Krümmung an der charakteristischen Stelle im Zustand 2
7.) Vorhandene Verformung	
$w_{vorh.} = K \cdot K_m \cdot l_{eff}^2$	K : [] Beiwert; siehe Integraltafel im Anhang K_m : [1/m] mittlere Krümmung an der charakteristischen Stelle l_{eff} : [m] effektive Stützweite
8.) Zulässige Verformung	
Feldmitte: $w_{zul} = \frac{l_{eff}}{250}$ [cm] Kragträger: $w_{zul} = \frac{l_{eff}}{100}$ [cm] Verformungsempfindliche Ausbauteile: $w_{zul} = \frac{l_{eff}}{500}$ [cm]	l_{eff} : [cm] effektive Stützweite
9.) Nachweis	
$w_{vorh.} \leq w_{zul.} \rightarrow$ NW OK $w_{vorh.} > w_{zul.} \rightarrow$ Überhöhung erf.	Max. Überhöhung im Bauzustand: $w_{zul} = \frac{l_{eff}}{250}$ [cm]

8 Konstruktionsregeln

8.1 Zugkraftdeckung

1.) <u>genaue Ermittlung von z</u>	
$z = \zeta \cdot d$ [cm]	d: [cm] ζ : [] aus dem k_d -Verfahren
2.) <u>Zugkraft an der Stelle des maximalen Moments</u>	
$\max F_{sd} = \frac{ \max M_{Eds} \cdot 100}{z} + N_{Ed}$ [kN(/m)]	$\max M_{Eds} \rightarrow$ (abgemindert bei Stütze) z: [cm]
3.) <u>Aufnehmbare Zugkraft</u>	
$F_{sd,aufn} = A_{s,vorh} \cdot f_{yd}$ [kN(/m)] Hinweis: $F_{sd,aufn}$ ist für mehrere Stellen zu berechnen	f_{yd} : [KN/cm ²] Bemessungswert der Streckgrenze des Betonstahls; $f_{yd} = 43,5$ KN/cm ²
4.) <u>Nachweis:</u>	
$\max F_{sd} < F_{sd,aufn}$	
5.) <u>Versatzmaß</u>	
allgemein: $a_i = z \cdot (\cot \vartheta - \cot \alpha) \cdot 0,5 \geq 0$ [cm] bei Platten ohne Querkraftbew.: $a_i = 1,0$ mit $z = \min \begin{cases} 0,9 \cdot d \\ d - c_{v,l} - 3 \end{cases}$	$\cot \alpha = 0$ d: [cm] $c_{v,l}$ in [cm] = 3

8.2 Mindestbewehrung nach dem Duktilitätskriterium

1.) Hinweis

Die Mindestbewehrung zur Sicherstellung eines duktilen Bauteilverhaltens, ist nach DIN EN 1992-1-1, 9.2.1.1, in der Zugzone zu verteilen. Im Druckbereich ist diese Bewehrung nicht notwendig.

2.) Widerstandsmoment

Rechteckquerschnitt: $W_o = W_u = \frac{b \cdot h^2}{6}$

I_y : [cm⁴] Flächenträgheitsmoment um die y-Achse; $I_y = \sum \frac{b \cdot h^3}{12} \cdot A \cdot z_{(o/u)}^2$
 z_o : [cm] Abstand Schwerpunkt von Querschnitt zum oberen Rand.
 z_u : [cm] Abstand Schwerpunkt von Querschnitt zum unteren Rand.

Allgemein (z.B. PB): $W_o = \frac{I_y}{z_o}$; $W_u = \frac{I_y}{z_u}$

3.) Rissmoment:

$M_{cro} = W_o \cdot f_{ctm}$ [KNcm(/m)]

W : [cm³] Widerstandsmoment; siehe oben
 f_{ctm} : [kN/cm²] Mittelwert der zentrischen Betonzugfestigkeit; siehe Anhang

$M_{cru} = W_u \cdot f_{ctm}$ [KNcm(/m)]

4.) Risskraft

Im Feld (Zug unten):

$F_{sru} = \frac{M_{cr,u}}{z}$ [KN]

z : [cm] innerer Hebelarm; vereinfacht = $0,9 \cdot d$
 d : [cm] statische Nutzhöhe

An Stütze (Zug oben):

$F_{sro} = \frac{M_{cr,o}}{z}$ [KN]

5.) Mindestbewehrung

$\min A_s = \frac{F_{sr}}{50}$ [cm²(/m)]

6.) Nachweis:

$\min A_s \leq$ Grundbewehrung

Hinweis:

Bei zweiachsig gespannten Platten ist die Mindestbewehrung nur in Haupttragrichtung notwendig. (DIN EN 1992-1-1/NA:2013-04; NCI zu 9.3.1.1(1))

8.3 Konstruktive Regeln für Platten

1.) Vollplatten

Plattendicke

Allgemein: $h \geq 7\text{cm}$
 Platten mit aufgebogener Querkraftbewehrung: $h \geq 16\text{cm}$
 Platten mit Bügeln oder Durchstanzbewehrung: $h \geq 20\text{cm}$

Einachsig gespannte Platten

Querbewehrung $\geq 20\%$ der Hauptbewehrung (s. DIN EN 1992-1-1 9.3.1.1(2))

Bewehrung in Auflagernähe (s. DIN EN 1992-1-1; 9.3.1.2)

Bei gelenkiger Lagerung ist mindestens die Hälfte der Feldbewehrung über das Auflager zu führen.

 Bei teilweise eingespannter Lagerung, die in der Rechnung nicht berücksichtigt wurde, muss eine obere Stützbewehrung, über die Länge $L = 0,2 \cdot L_E$ angeordnet werden. Bei Zwischenauflägern muss diese Bewehrung durchlaufen.
 $A_{S,Auflager,oben} = 0,25 \cdot A_{S,Feld} [\text{cm}^2/\text{m}]$

L_E : [m] Länge des angrenzenden Endfeldes
 $A_{S,Feld}$: [cm²] erforderliche Bewehrung im Feld, zur Aufnahme des Biegemomentes.

Randbewehrung an freien Rändern von Platten (s. DIN EN 1992-1-1; 9.3.1.4)

Entlang von freien Rändern ist die Bewehrung wie in Abbildung 25 auszuführen.
 Die Plattenbewehrung entlang des Randes darf angerechnet werden.

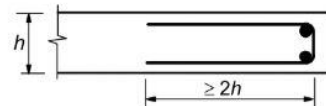


Abbildung 25: Randbewehrung an freien Rändern [4]

Eckbewehrung

Bei drillsteifen Platten (abheben der Ecken nicht möglich) ist eine Drillbewehrung einzulegen. (s. DIN EN 1992-1-1; 9.3.1.3(1))

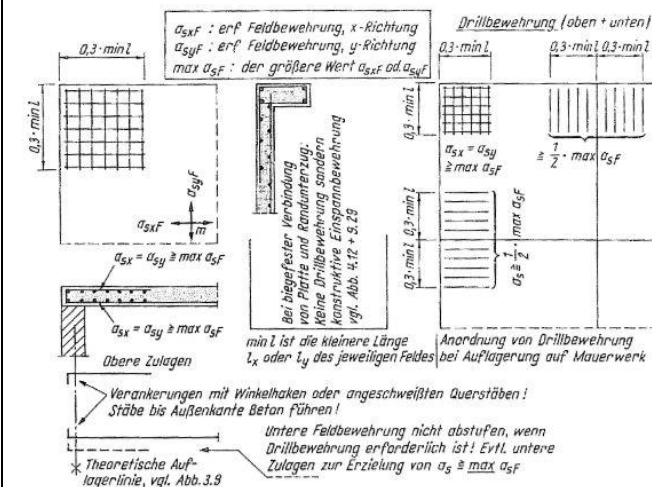


Abbildung 26: Ausführung einer Eckbewehrung [10]

Bewehrungsstababstände

Biegebewehrung (s. DIN EN 1992-1-1/NA; 9.3.1.1(3))

Bewehrung in der Haupttragrichtung:
 $h \leq 250\text{mm}$: $s_{\text{max,slab}} = 150 \text{ mm}$
 $h \geq 250\text{mm}$: $s_{\text{max,slab}} = 250 \text{ mm}$
 Hinweis: Zwischenwerte linear interpolieren

$s_{\text{max,slab}}$: [mm] maximaler Abstand der Biegebewehrung
 h : [mm] Plattendicke

Bewehrung in der Nebentragrichtung:
 $s_{\text{max,slab}} \leq 250\text{mm}$

Zweiachsig gespannte Decken

Die Bewehrung in Nebentragrichtung muss größer als 20% der Haupttragrichtung sein. (s. DIN EN 1992-1-1/NA; 9.3.1.1(2))
 Die Mindestbewehrung nach dem Duktilitätskriterium braucht nur in Haupttragrichtung eingelegt zu werden.
 (s. DIN EN 1992-1-1/NA; 9.3.1.1(1))

2.) Flachdecken

Siehe DIN EN 1992-1-1; 9.4)

8.4 Anschlussbewehrung Stütze-Fundament

8.5 Schnittkräfte

$$N_C = c_x \cdot c_y \cdot f_{cd} \text{ [KN]}$$

$$f_{cd}: \text{[KN/cm}^2\text{]} = 0,85 \cdot (f_{ck} / 1,5)$$

$$N_S = N_{ges} - N_C \text{ [KN]}$$

8.6 Bewehrung

$$A_S = \frac{N_S}{f_{yd}} \cdot \left(1 - \frac{f_{cd}}{f_{yd}}\right) \text{ [cm}^2\text{]}$$

8.7 Stababstände (horizontal/ vertikal)

$$a_n = \max \left\{ \begin{array}{l} \emptyset \\ d_g + k_2 \\ 20 \text{ mm} \end{array} \right.$$

a_n : [mm] lichter Abstand zwischen 2 parallelen Stäben

\emptyset : [mm] Stabdurchmesser

d_g : [mm] Größtkorn der der Gesteinskörnung

$k_2 = 0$ für $d_g \leq 16\text{mm}$

$k_2 = 5$ für $d_g > 16\text{mm}$

Hinweise:

Um für Balken die maximale Anzahl von Bewehrungsstäben in einer Lage zu ermitteln, existieren Tabellen. → siehe Anhang
Gestoßene Stäbe dürfen sich innerhalb der Übergreifungslänge berühren. (EC2 – 8.2(4))

Bei einer Stabanordnung in getrennten horizontalen Lagen müssen Stäbe übereinander angeordnet werden.

Zusammenfassung Bügelchlösser wenn diese in der Zugzone liegen (z.B. Unterzug im Bereich Mittelaufleger)

nach EC2 sollen sich Bügelchlösser, die in der Zugzone liegen übergreifen.

DIN EN 1992-1-1/NA:2013-04
 NCI Zu 8.5, Bild 8.5
 Bild 8.5 wird durch Bild 8.5DE ersetzt.

Legende

- 1 Verankerungselemente nach a) bzw. b)
- 2 Kappenbügel
- 3 Betondruckzone
- 4 Zugzone
- 5 obere Querbewehrung
- 6 untere Bewehrung der anschließenden Platte

a) Haken
 b) Winkelhaken
 c) gerade Stabenden mit zwei angeschweißten Querstäben
 d) gerade Stabenden mit einem angeschweißten Querstab
 e) und f) Schließen in der Druckzone
 g) und h) Schließen in der Zugzone (C, mit $\alpha_1 = 0,7$ nach Tabelle 3.12 mit Haken oder Winkelhaken am Bügelende)
 i) Schließen bei Flankenbalken im Bereich der Platte

ANMERKUNG Für c) und d) darf in der Regel die Betondeckung nicht weniger als 3s oder 50 mm betragen.

Bild 8.5DE — Verankerung und Schließen von Bügeln

Zu (2): Mit Bild 8.5DE e) bis i) wurden die üblichen Bügelformen mit ihren Verankerungsarten und Übergreifungsstößen der Bügelschenkel zur Klarstellung im NA ergänzt. Die Wirksamkeit der dargestellten Übergreifungsstöße mit l_0 wird hauptsächlich durch die 90°-Abbiegungen sichergestellt. Die Anrechnung von $\alpha_1 = 0,7$ bei einer Schenkelübergreifung nach Bild 8.5DE g) ist nur zulässig, wenn an den Schenkeln zusätzliche Haken oder Winkelhaken ähnlich wie in Bild 8.5DE h) angeordnet werden. Die Kombination aller Verankerungselemente nach Bild 8.5 a) bis d) mit einem Kappenbügel nach Bild 8.5DE f) ist möglich. In der Zugzone ist der Kappenbügel auch mit Übergreifungsstoß anzuschließen.

$\alpha_1 = 0,7$

nur bei Haken (untypisch Haken störend)

gilt auch für Eurocode

3.1.2 Beiwert α_1 zur Berücksichtigung des Stoßanteils (DIN 1045-1, Tabelle 27)

Beiwert α_1	Beiwert α_1	$\geq 2d$, ≥ 2 cm
1 Anteil der ohne Längsversatz gestoßenen Stäbe je Lage	$\leq 33\%$	$\leq 33\%$
2 Stoß in der Zugzone	$d_s < 16$ mm $d_s \geq 16$ mm	1,2 ¹⁾ 1,4 ¹⁾ 2,0 ²⁾
4 Stoß in der Druckzone		1,0 1,0

¹⁾ Falls $s \geq 10 \cdot d_s$ und $m \geq 5 \cdot d_s$: $\alpha_1 = 1,0$
²⁾ Falls $s \geq 10 \cdot d_s$ und $m \geq 5 \cdot d_s$: $\alpha_1 = 1,4$

☉ gestoßene Stäbe
 ● durchgehender Stab

$\alpha_1 = 0,7$ nur wenn Haken angeordnet wird.
 $\alpha_1 = 1,0$ nur wenn Abstand der Übergreifung ($s \geq 10 \cdot D_s$)
 $\alpha_1 = 1,4$ wenn Abstand der Übergreifung gering ($s < 10 \cdot D_s$)

Beispiel 1: Bügel D10/10 Bügelchloss einseitig
 -> $s = 10 \text{ cm} \geq 10 \cdot D_s = 10 \text{ cm}$
 -> $\alpha_1 = 1,0$

Beispiel 2: Bügel D12/10 Bügelchloss einseitig
 -> $s = 10 \text{ cm} < 10 \cdot D_s = 12 \text{ cm}$
 -> $\alpha_1 = 1,4$

Beispiel 3: Bügel D12/10 Bügelchloss im Wechsel
 -> $s = 20 \text{ cm} \geq 10 \cdot D_s = 12 \text{ cm}$
 -> $\alpha_1 = 1,0$

Beispiel 2 **Beispiel 3**

Übergreifung oben rechts
 -> Spaltzugkräfte konzentrieren sich in einer Ecke
 i.d.R. -> $\alpha_1 = 1,4$

Übergreifung wechselt zwischen oben links und oben rechts
 -> Spaltzugkräfte verteilen sich
 i.d.R. -> $\alpha_1 = 1,0$

Fazit:
 - Bügelchlösser versetzen.
 Damit liegt man i.d.R. unabhängig vom Stabdurchmesser und Bügelabstand auf der sicheren Seite und kann den Faktor $\alpha_1 = 1,0$ ansetzen.
 -> $\alpha_1 = 1,0$, da s dann immer $> 10 \cdot D_s$.
 -> $L_0 = 1,0 \cdot L_{0d}$ bei C30/37 und $D=10 \text{ mm}$: $L_0 = 36 \text{ cm}$: 90°-Haken wenn möglich Hakenlänge $2 \times 18 \text{ cm}$ oder $16 \text{ cm} + 20 \text{ cm}$
 bei C50/60 und $D=10 \text{ mm}$: $L_0 = 25 \text{ cm}$: 90°-Haken mit $2 \times 15 \text{ cm} = 30 \text{ cm} > 25 \text{ cm}$

Beispiel für Bewehrungsplan

Bügelchloss im Wechsel

C30/37, Bügel D=10mm, oben guter Verbund

C50/60, Bügel D=10mm, oben guter Verbund

9 Spannungsermittlung

9.1 Untersuchung ob Querschnitt gerissen

1.) Rissmoment

$$M_{cr} = W \cdot f_{ctm} \quad [\text{KNcm}/(\text{m})]$$

Hinweis:
für $W_u \neq W_o$: kleineres W maßgebend

W_y : [m³] Widerstandsmoment
 f_{ctm} : [N/mm²] Mittelwert der zentrischen Zugfestigkeit des Betons

2.) Nachweis

$M_{cr} \geq M_{Ed,perm}$ → Querschnitt ist unter quasi-ständiger EWK ungerissen
→ Spannungsermittlung für Querschnitt im Zustand 1

$M_{cr} \geq M_{Ed,char}$ → Querschnitt ist unter charakteristischer EWK ungerissen
→ Spannungsermittlung für Querschnitt im Zustand 1

$M_{cr} < M_{Ed,perm}$ → Querschnitt ist unter quasi-ständiger EWK gerissen
→ Spannungsermittlung für Querschnitt im Zustand 2 (Regelfall)

$M_{cr} < M_{Ed,char}$ → Querschnitt ist unter seltener EWK gerissen
→ Spannungsermittlung für Querschnitt im Zustand 2 (Regelfall)

9.2 Druckzonenhöhe und Flächenträgheitsmoment im Zustand 2 nach dem Verfahren von Dutulescu

1.) Reine Biegung

Nulllinie in Platte

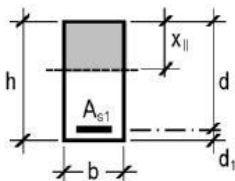


Abbildung 27: [11]

b_{eff} = b und A_{s2} = 0

Hinweis: gilt auch für PB

$$x_{||} = -\bar{B}_1 + \sqrt{\bar{B}_1^2 - \bar{C}} \quad [\text{cm}]$$

$$I_i = \frac{1}{3} \cdot b \cdot x_{||}^3 + \alpha_e \cdot A_{s1} \cdot (d - x_{||})^2 \quad [\text{cm}^4]$$

$$S_i = A_{s1} \cdot z_{s1} = A_{s1} \cdot (d - x_{||}) \quad [\text{cm}^3]$$

mit:

$$\bar{B}_1 = \frac{1}{b} \cdot \alpha_e \cdot A_{s1}$$

$$\bar{C} = -\frac{2}{b} \cdot \alpha_e \cdot A_{s1} \cdot d$$

b: [cm] Querschnittsbreite
 α_e : [] Verhältnis der E-Moduli; $\alpha_e = E_s/E_c$
 E_s : [N/mm²] E-Modul des Betonstahls; $E_s = 200.000$
 E_c : [N/mm²] E-Modul des Beton
 A_{s1} : [cm²] Querschnittsfläche der
 Zugbewehrung
 d: [cm] statische Nutzhöhe

$z_{s,1}$: [cm] Abstand zwischen Schwerachse
 des Querschnittes und Bewehrung A_{s1} .
 Hinweis: Bei reiner Biegung
 entspricht die NL der Schwerachse.

Nulllinie in Platte

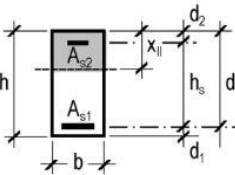


Abbildung 28: [11]

b_{eff} = b und A_{s2} > 0

Hinweis: gilt auch für PB

$$x_{||} = -\bar{B}_1 + \sqrt{\bar{B}_1^2 - \bar{C}} \quad [\text{cm}]$$

$$I_i = \frac{1}{3} \cdot b \cdot x_{||}^3 + \alpha_e \cdot [A_{s1} \cdot (d - x_{||})^2 + A_{s2} \cdot (d_2 - x_{||})^2] \quad [\text{cm}^4]$$

$$S_i = \sum A_{s,i} \cdot z_{s,i} \quad [\text{cm}^3]$$

mit:

$$\bar{B}_1 = \frac{1}{b} \cdot \alpha_e \cdot (A_{s1} + A_{s2})$$

$$\bar{C} = -\frac{2}{b} \cdot \alpha_e \cdot (A_{s1} \cdot d + A_{s2} \cdot d_2)$$

b: [cm] Querschnittsbreite
 α_e : [] Verhältnis der E-Moduli;
 $\alpha_e = E_s/E_c$
 E_s : [N/mm²] E-Modul des Betonstahls;
 $E_s = 200.000$
 E_c : [N/mm²] E-Modul des Beton

A_{s1} : [cm²] Querschnittsfläche der
 Zugbewehrung
 A_{s2} : [cm²] Querschnittsfläche der
 Druckbewehrung
 d: [cm] statische Nutzhöhe
 d_2 : [cm] Abstand der Druckbewehrung vom
 oberen Rand

$z_{s,i}$: [cm] Abstand zwischen Schwerachse
 des Querschnittes und Bewehrung.
 Hinweis: Bei reiner Biegung
 entspricht die NL der Schwerachse.
 $z_{s,1} = d - x_{||}$; $z_{s,2} = x_{||} - d_2$
 $z_{s,i}$ mit Vorzeichen!!

Nulllinie im Steg

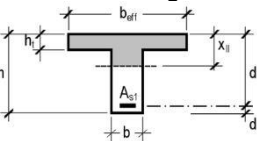


Abbildung 29: [11]

b_{eff} ≠ b und A_{s2} = 0

Hinweis: bei PB zuerst mit
 der Annahme dass NL in
 Platte liegt rechnen

$$x_{||} = -\bar{B}_1 + \sqrt{\bar{B}_1^2 - \bar{C}} \quad [\text{cm}]$$

$$I_i = \frac{1}{3} \cdot b \cdot x_{||}^3 + (b_{\text{eff}} - b) \cdot h_t \cdot (x^2 - x \cdot h_t + \frac{1}{3} \cdot h_t^2) + \alpha_e \cdot A_{s1} \cdot (d - x)^2 \quad [\text{cm}^4]$$

mit:

$$\bar{B}_1 = \frac{1}{b} \cdot [\alpha_e \cdot A_{s1} + h_t \cdot (b_{\text{eff}} - b)]$$

$$\bar{C} = -\frac{1}{b} \cdot [2 \cdot \alpha_e \cdot (A_{s1} \cdot d) + h_t^2 \cdot (b_{\text{eff}} - b)]$$

b: [cm] Querschnittsbreite
 b_{eff} : [cm] effektive Querschnittsbreite des
 PB

α_e : [] Verhältnis der E-Moduli; $\alpha_e = E_s/E_c$
 E_s : [N/mm²] E-Modul des Betonstahls;
 $E_s = 200.000$

E_c : [N/mm²] E-Modul des Beton
 A_{s1} : [cm²] Querschnittsfläche der
 Zugbewehrung
 d: [cm] statische Nutzhöhe
 h_t : [cm] Dicke der Betonplatte

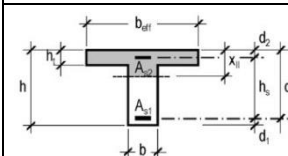


Abbildung 30: [11]

b_{eff} ≠ b und A_{s2} > 0

$$x_{||} = -\bar{B}_1 + \sqrt{\bar{B}_1^2 - \bar{C}} \quad [\text{cm}]$$

$$I_i = \frac{1}{3} \cdot b \cdot x_{||}^3 + (b_{\text{eff}} - b) \cdot h_t \cdot (x^2 - x \cdot h_t + \frac{1}{3} \cdot h_t^2) + \alpha_e \cdot [A_{s1} \cdot (d - x)^2 + A_{s2} \cdot (d_2 - x)^2] \quad [\text{cm}^4]$$

mit:

$$\bar{B}_1 = \frac{1}{b} \cdot [\alpha_e \cdot (A_{s1} + A_{s2}) + h_t \cdot (b_{\text{eff}} - b)]$$

$$\bar{C} = -\frac{1}{b} \cdot [2 \cdot \alpha_e \cdot (A_{s1} \cdot d + A_{s2} \cdot d_2) + h_t^2 \cdot (b_{\text{eff}} - b)]$$

b: [cm] Querschnittsbreite
 α_e : [] Verhältnis der E-Moduli; $\alpha_e = E_s/E_c$
 E_s : [N/mm²] E-Modul des Betonstahls;
 $E_s = 200.000$
 E_c : [N/mm²] E-Modul des Beton

A_{s1} : [cm²] Querschnittsfläche der
 Zugbewehrung
 A_{s2} : [cm²] Querschnittsfläche der
 Druckbewehrung
 d: [cm] statische Nutzhöhe
 d_2 : [cm] Abstand der Druckbewehrung vom
 oberen Rand

2.) Biegung und Normalkraft

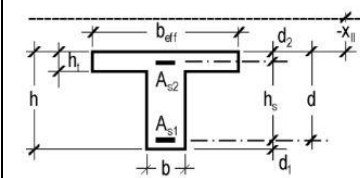


Abbildung 31: [11]

$$e_0 = \frac{|M_{Ed} \cdot 100|}{N_{Ed}} \text{ [cm]}$$

(N_{Ed} mit Vorzeichen!)

$$e_{c2} = e_0 + z_g \text{ [cm]}$$

$$e_{s1} = e_{c2} - d \text{ [cm]}$$

$$e_{s2} = e_{c2} - d_2 \text{ [cm]}$$

Druckzonenhöhe:

$$x_{||} = \frac{A_{s1} \cdot e_{s1} \cdot d + A_{s2} \cdot e_{s2} \cdot d_2}{A_{s1} \cdot e_{s1} + A_{s2} \cdot e_{s2}} \leq 0$$

Ideeles Statisches Moment: (um die Nulllinie)

$$S_{i,NL} = A_{s1} \cdot (x_{||} - d) + A_{s2} \cdot (x_{||} - d_2) \text{ [cm}^3\text{]}$$

A_{s1} : [cm²] Querschnittsfläche der unteren Zugbewehrung
 A_{s2} : [cm²] Querschnittsfläche der oberen Zugbewehrung
 d : [cm] statische Nutzhöhe
 d_2 : [cm] Abstand zwischen Druckbewehrung und Oberkante des Querschnittes
 z_g : [cm] Abstand zwischen Schwerpunkt und Oberkante des Querschnittes
 e_0 : [cm] Lastausmitte
 M_{Ed} : [kNm] einwirkendes Biegemoment
 N_{Ed} : [kN] einwirkende Normalkraft (Druck negativ)

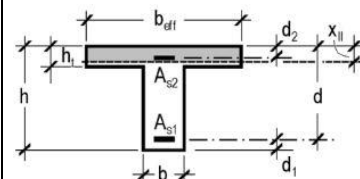


Abbildung 32: [11]

$$e_0 = \frac{|M_{Ed} \cdot 100|}{N_{Ed}} \text{ [cm]}$$

(N_{Ed} mit Vorzeichen!)

$$e_{c2} = e_0 + z_g \text{ [cm]}$$

$$e_{s1} = e_{c2} - d \text{ [cm]}$$

$$e_{s2} = e_{c2} - d_2 \text{ [cm]}$$

Hinweis:
gilt auch für einen
Rechteckquerschnitt

Druckzonenhöhe: (durch lösen des Polyn. 3.Grades)

$$x_{||}^3 + A \cdot x_{||}^2 + B \cdot x_{||} + C = 0$$

Hinweis: Das Polynom 3. Grades kann z.B. mit dem Newton-Raphsen Verfahren gelöst werden:

$$x_{i+1} = x_i - \frac{f(x_i)}{f'(x_i)}$$

mit:

$$A = -3 \cdot e_{c2}$$

$$B = -\frac{6}{b_{eff}} \cdot D$$

$$C = +\frac{6}{b_{eff}} \cdot E$$

$$D = \alpha_e \cdot (A_{s1} \cdot e_{s1} + A_{s2} \cdot e_{s2})$$

$$E = \alpha_e \cdot (A_{s1} \cdot e_{s1} \cdot d + A_{s2} \cdot e_{s2} \cdot d_2)$$

Ideeles Statisches Moment: (um die Nulllinie)

$$S_{i,NL} = \left| \frac{1}{2} \cdot b_{eff} \cdot x_{||}^2 + \alpha_e \cdot A_{s1} \cdot (x_{||} - d) + \alpha_e \cdot A_{s2} \cdot (x_{||} - d_2) \right| \text{ [cm}^3\text{]}$$

A_{s1} : [cm²] Querschnittsfläche der unteren Zugbewehrung
 A_{s2} : [cm²] Querschnittsfläche der oberen Zugbewehrung
 b : [cm] Querschnittsbreite
 b_{eff} : [cm] effektive Querschnittsbreite des PB
 d : [cm] statische Nutzhöhe
 d_2 : [cm] Abstand zwischen Druckbewehrung und Oberkante des Querschnittes
 α_e : [] Verhältnis der E-Moduli;
 $\alpha_e = E_s/E_c$
 E_s : [N/mm²] E-Modul des Betonstahls;
 $E_s = 200.000$
 E_c : [N/mm²] E-Modul des Beton
 z_g : [cm] Abstand zwischen Schwerpunkt und Oberkante des Querschnittes
 M_{Ed} : [kNm] einwirkendes Biegemoment
 N_{Ed} : [kN] einwirkende Normalkraft (Druck negativ)

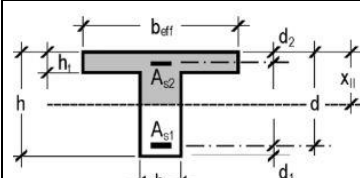


Abbildung 33: [11]

$$e_0 = \frac{|M_{Ed} \cdot 100|}{N_{Ed}} \text{ [cm]}$$

(N_{Ed} mit Vorzeichen!)

$$e_{c2} = e_0 + z_g \text{ [cm]}$$

$$e_{s1} = e_{c2} - d \text{ [cm]}$$

$$e_{s2} = e_{c2} - d_2 \text{ [cm]}$$

Druckzonenhöhe: (durch lösen des Polyn. 3.Grades)

$$x_{||}^3 + A \cdot x_{||}^2 + B \cdot x_{||} + C = 0$$

Hinweis: Das Polynom 3. Grades kann z.B. mit dem Newton-Raphsen Verfahren gelöst werden:

$$x_{i+1} = x_i - \frac{f(x_i)}{f'(x_i)}$$

mit:

$$A = -3 \cdot e_{c2}$$

$$B = -\frac{3}{b} \cdot (2 \cdot D + 2 \cdot F - G)$$

$$C = \frac{1}{b} \cdot [6 \cdot E + h_t \cdot (3 \cdot F - G)]$$

$$D = \alpha_e \cdot (A_{s1} \cdot e_{s1} + A_{s2} \cdot e_{s2})$$

$$E = \alpha_e \cdot (A_{s1} \cdot e_{s1} \cdot d + A_{s2} \cdot e_{s2} \cdot d_2)$$

$$F = h_t \cdot (b_{eff} - b) \cdot e_{c2}$$

$$G = h_t^2 \cdot (b_{eff} - b)$$

Ideeles Statisches Moment: (um die Nulllinie)

$$S_{i,NL} = \frac{1}{2} \cdot b \cdot x_{||}^2 + h_t \cdot (b_{eff} - b) \cdot \left(x_{||} - \frac{1}{2} \cdot h_t \right) + \alpha_e \cdot A_{s1} \cdot (x_{||} - d) + \alpha_e \cdot A_{s2} \cdot (x_{||} - d_2) \text{ [cm}^3\text{]}$$

A_{s1} : [cm²] Querschnittsfläche der unteren Zugbewehrung
 A_{s2} : [cm²] Querschnittsfläche der oberen Zugbewehrung
 b : [cm] Querschnittsbreite
 b_{eff} : [cm] effektive Querschnittsbreite des PB
 d : [cm] statische Nutzhöhe
 d_2 : [cm] Abstand zwischen Druckbewehrung und Oberkante des Querschnittes
 α_e : [] Verhältnis der E-Moduli;
 $\alpha_e = E_s/E_c$
 E_s : [N/mm²] E-Modul des Betonstahls;
 $E_s = 200.000$
 E_c : [N/mm²] E-Modul des Beton
 z_g : [cm] Abstand zwischen Schwerpunkt und Oberkante des Querschnittes
 M_{Ed} : [kNm] einwirkendes Biegemoment
 N_{Ed} : [kN] einwirkende Normalkraft (Druck negativ)

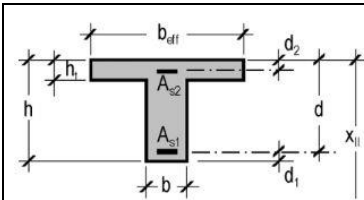


Abbildung 34: [11]

$$e_0 = \frac{|M_{Ed} \cdot 100|}{N_{Ed}} \text{ [cm]}$$

$$e_{c2} = e_0 + z_g \text{ [cm]}$$

$$e_{s1} = e_{c2} - d \text{ [cm]}$$

$$e_{s2} = e_{c2} - d_2 \text{ [cm]}$$

Druckzonenhöhe:

$$x_{||} = \frac{1}{3} \cdot \frac{b \cdot h^2 \cdot (3 \cdot e_{c2} - 2 \cdot h) + 6 \cdot E \cdot h_t \cdot (3 \cdot F - 2 \cdot G)}{b \cdot h \cdot (2 \cdot e_{c2} - h) + 2 \cdot D + 2 \cdot F - G} \geq h$$

mit:

$$D = \alpha_e \cdot (A_{s1} \cdot e_{s1} + A_{s2} \cdot e_{s2})$$

$$E = \alpha_e \cdot (A_{s1} \cdot e_{s1} \cdot d + A_{s2} \cdot e_{s2} \cdot d_2)$$

$$F = h_t \cdot (b_{eff} - b) \cdot e_{c2}$$

$$G = h_t^2 \cdot (b_{eff} - b)$$

Ideeles Statisches Moment: (um die Nulllinie)

$$S_{i,NL} = b \cdot h \cdot \left(x_{||} - \frac{1}{2} \cdot h\right) + h_t \cdot (b_{eff} - b) \cdot \left(x_{||} - \frac{1}{2} \cdot h_t\right) + \alpha_e \cdot A_{s1} \cdot (x_{||} - d) + \alpha_e \cdot A_{s2} \cdot (x_{||} - d_2) \text{ [cm}^3\text{]}$$

A_{s1} : [cm²] Querschnittsfläche der unteren Zugbewehrung
 A_{s2} : [cm²] Querschnittsfläche der oberen Zugbewehrung

b : [cm] Querschnittsbreite
 b_{eff} : [cm] effektive Querschnittsbreite des PB

d : [cm] statische Nutzhöhe
 d_2 : [cm] Abstand zwischen Druckbewehrung und Oberkante des Querschnittes

α_e : [] Verhältnis der E-Moduli;

$$\alpha_e = E_s / E_c$$

E_s : [N/mm²] E-Modul des Betonstahls;

$E_s = 200.000$

E_c : [N/mm²] E-Modul des Beton

z_g : [cm] Abstand zwischen Schwerpunkt und Oberkante des Querschnittes

M_{Ed} : [kNm] einwirkendes Biegemoment

N_{Ed} : [kN] einwirkende Normalkraft

(Druck negativ)

9.3 Ermittlung von Spannungen im Zustand 1

1.) Reine Biegung

$$\sigma_{c1} = \frac{M_{Ed} \cdot 100}{J_I} \cdot (h - x_I) \text{ [kN/cm}^2\text{]}$$

$$\sigma_{c2} = \frac{M_{Ed} \cdot 100}{J_I} \cdot x_I \text{ [kN/cm}^2\text{]}$$

$$\sigma_{s1} = \alpha_e \cdot \frac{M_{Ed} \cdot 100}{J_I} \cdot (d - x_I) \text{ [kN/cm}^2\text{]}$$

M_{Ed} : [kNm] einwirkendes Biegemoment

J_I : [cm⁴] Flächenträgheitsmoment des Querschnitts im Zustand 1

h : [cm] Querschnittshöhe

d : [cm] statische Nutzhöhe

x_I : [cm] Druckzonenhöhe im Zustand 1

α_e : [] Verhältnis der E-Moduli;

$$\alpha_e = E_s / E_c$$

E_s : [N/mm²] E-Modul des Betonstahls; $E_s = 200.000$

E_c : [N/mm²] E-Modul des Beton

2.) Biegung mit Normalkraft

$$\sigma_{c1} = \frac{N_{Ed}}{A_I} + \frac{M_{Ed} \cdot 100}{J_I} \cdot z_{max} \text{ [kN/cm}^2\text{]}$$

$$\sigma_{c2} = \frac{N_{Ed}}{A_I} + \frac{M_{Ed} \cdot 100}{J_I} \cdot z_{min} \text{ [kN/cm}^2\text{]}$$

$$\sigma_{s1} = \alpha_e \cdot \left[\frac{N_{Ed}}{A_I} + \frac{M_{Ed} \cdot 100}{J_I} \cdot (z_{max} - d_1) \right] \text{ [kN/cm}^2\text{]}$$

$$\sigma_{s2} = \alpha_e \cdot \left[\frac{N_{Ed}}{A_I} + \frac{M_{Ed} \cdot 100}{J_I} \cdot (z_{min} + d_2) \right] \text{ [kN/cm}^2\text{]}$$

M_{Ed} : [kNm] einwirkendes Biegemoment

N_{Ed} : [kN] einwirkende Normalkraft

A_I : [cm²] Querschnittsfläche im Zustand 1; für Rechteck: $A_I = b \cdot h$

J_I : [cm⁴] Flächenträgheitsmoment des Querschnitts im Zustand 1

h : [cm] Querschnittshöhe

d : [cm] statische Nutzhöhe

x_I : [cm] Druckzonenhöhe im Zustand 1

α_e : [] Verhältnis der E-Moduli;

$$\alpha_e = E_s / E_c$$

E_s : [N/mm²] E-Modul des Betonstahls; $E_s = 200.000$

E_c : [N/mm²] E-Modul des Beton

9.4 Ermittlung von Spannungen im Zustand 2

1.) Reine Biegung	
$\sigma_{c2} = \frac{2 \cdot M_{Ed} \cdot 100}{b \cdot x_{ } \cdot z_{ }} \text{ [kN/cm}^2\text{]}$ $\sigma_{s1} = \frac{M_{Ed} \cdot 100}{A_{s1} \cdot z_{ }} \text{ [kN/cm}^2\text{]}$	M_{Ed} : [kNm] einwirkendes Biegemoment b : [cm] Querschnittsbreite $z_{ }$: [cm] innerer Hebelarm; $z_{ } = d - \frac{x_{ }}{3}$ $x_{ }$: [cm] Druckzonenhöhe; siehe Punkt 9 A_{s1} : [cm ²] Querschnittsfläche der Biegezugbewehrung
2.) Biegung mit Normalkraft	
$\sigma_{c2} = - \frac{ N_{Ed} }{S_{i,NL}} \cdot x_{ } \text{ [kN/cm}^2\text{]}$ $\sigma_{s2} = - \alpha_e \cdot \frac{ N_{Ed} }{S_{i,NL}} \cdot (x_{ } - d_2) \text{ [kN/cm}^2\text{]}$ $\sigma_{s1} = \alpha_e \cdot \frac{ N_{Ed} }{S_{i,NL}} \cdot (d - x_{ }) \text{ [kN/cm}^2\text{]}$	N_{Ed} : [kN] einwirkende Normalkraft $S_{i,NL}$: [cm ³] statisches Moment; siehe Punkt 9 $z_{ }$: [cm] innerer Hebelarm; $z_{ } = d - \frac{x_{ }}{3}$ $x_{ }$: [cm] Druckzonenhöhe; siehe Punkt 9 A_{s1} : [cm ²] Querschnittsfläche der Biegezugbewehrung d : [cm] statische Nutzhöhe d_2 : [cm] Abstand zwischen Druckbewehrung und Oberkante des Querschnittes α_e : [] Verhältnis der E-Moduli; $\alpha_e = E_s/E_c$ E_s : [N/mm ²] E-Modul des Betonstahls; $E_s = 200.000$ E_c : [N/mm ²] E-Modul des Beton

10 Aussteifung

10.1 Aussteifung bei einem statisch unbestimmten System

1.) Geometrieparameter	
$I_{y,i} = \frac{b \cdot h^3}{12} \quad [m^4]$ $I_{z,i} = \frac{b^3 \cdot h}{12} \quad [m^4]$ <p>Wenn Rotationssteifigkeit nachzuweisen:</p> $I_{\omega} = \sum (I_{y,i} \cdot \bar{y}_i - \bar{y}_0 ^2 + I_{z,i} \cdot \bar{z}_i - \bar{z}_0 ^2) \quad [m^6]^{\wedge}$	<p>b: [m] Dicke der Wand h: [m] Länge der Wand $I_{y,i}$: [m⁴] Flächenträgheitsmoment 2. Grades der Wandscheibe i um die y-Achse $I_{z,i}$: [m⁴] Flächenträgheitsmoment 2. Grades der Wandscheibe i um die z-Achse I_{ω}: [m⁶] Wölbrägheitsmoment \bar{y}_i: [m] Abstand zwischen KOS und Wandachse der Wand i in y-Richtung \bar{z}_i: [m] Abstand zwischen KOS und Wandachse der Wand i in z-Richtung \bar{y}_0: [m] Lage des Schubmittelpunktes, → siehe unten \bar{z}_0: [m] Lage des Schubmittelpunktes, → siehe unten</p>
2.) Schubmittelpunkt	
<p>gleicher E-Modul:</p> $\bar{y}_0 = \frac{\sum I_{y,i} \cdot \bar{y}_i}{\sum I_{y,i}} \quad [m]$ $\bar{z}_0 = \frac{\sum I_{z,i} \cdot \bar{z}_i}{\sum I_{z,i}} \quad [m]$ <p>unterschiedlicher E-Modul:</p> $\bar{y}_0 = \frac{\sum E \cdot I_{y,i} \cdot \bar{y}_i}{\sum E \cdot I_{y,i}} \quad [m]$ $\bar{z}_0 = \frac{\sum E \cdot I_{z,i} \cdot \bar{z}_i}{\sum E \cdot I_{z,i}} \quad [m]$ <p>Hinweis: Der Schubmittelpunkt muss berechnet werden um festzustellen ob die Horizontallast im Schubmittelpunkt angreift, oder wenn die Rotationssteifigkeit nachgewiesen werden muss.</p>	<p>\bar{y}_i: [m] Abstand zwischen KOS und Wandachse der Wand i in y-Richtung \bar{z}_i: [m] Abstand zwischen KOS und Wandachse der Wand i in z-Richtung (Lage des KOS ist egal) E: [MN/m²] E-Modul der Wandscheibe C20/25: $E_{cm} = 30.000$ C25/30: $E_{cm} = 31.000$ C30/37: $E_{cm} = 33.000$ C35/45: $E_{cm} = 34.000$ C40/50: $E_{cm} = 35.000$</p>
3.) Aufteilung der äußeren Horizontallast	
Lastanteile aus Translation:	
<p>gleicher E-Modul:</p> $H_{z,i} = \pm H_z \cdot \frac{I_{y,i}}{\sum I_y} \quad [KN] \qquad H_{y,i} = \pm H_y \cdot \frac{I_{z,i}}{\sum I_z} \quad [KN]$ <p>unterschiedlicher E-Modul:</p> $H_{z,i} = \pm H_z \cdot \frac{E \cdot I_{y,i}}{\sum E \cdot I_y} \quad [KN] \qquad H_{y,i} = \pm H_y \cdot \frac{E \cdot I_{z,i}}{\sum E \cdot I_z} \quad [KN]$ <p>Hinweise:</p> <ul style="list-style-type: none"> + wenn äußere Last in Richtung KOS - wenn äußere Last entgegen Richtung KOS 	<p>P: [KN] Last auf eine einzelne Wandscheibe H: [KN] Einwirkende Horizontalkraft $I_{y,i}$: [m⁴] Flächenträgheitsmoment 2. Grades der Wandscheibe i um die y-Achse $I_{z,i}$: [m⁴] Flächenträgheitsmoment 2. Grades der Wandscheibe i um die z-Achse E: [MN/m²] E-Modul der Wandscheibe C20/25: $E_{cm} = 30.000$ C25/30: $E_{cm} = 31.000$ C30/37: $E_{cm} = 33.000$ C35/45: $E_{cm} = 34.000$ C40/50: $E_{cm} = 35.000$</p>

Lastanteile aus Rotation:

gleicher E-Modul:

$$H_{y,i}^T = \pm M_T \cdot \frac{I_{z,i} \cdot (\bar{z}_i - \bar{z}_0)}{I_\omega} \quad [\text{KN}]$$

$$H_{z,i}^T = \pm M_T \cdot \frac{I_{y,i} \cdot (\bar{y}_i - \bar{y}_0)}{I_\omega} \quad [\text{KN}]$$

unterschiedlicher E-Modul:

$$H_{y,i}^T = \pm M_T \cdot \frac{E \cdot I_{z,i} \cdot (\bar{z}_i - \bar{z}_0)}{\sum (E \cdot I_\omega)} \quad [\text{KN}]$$

$$H_{z,i}^T = \pm M_T \cdot \frac{E \cdot I_{y,i} \cdot (\bar{y}_i - \bar{y}_0)}{\sum (E \cdot I_\omega)} \quad [\text{KN}]$$

Hinweise:

- Die Torsionssteifigkeiten wurden vernachlässigt.
- Bei einem Kern mit hoher Torsionssteifigkeit gibt es zusätzliche Reserven. In der Praxis wird aber auch bei vorhandenem Kern ohne die Torsionssteifigkeit gerechnet (Kern hat i.d.R. Öffnungen usw.)
- + wenn M_T in der Wand i eine Kraft in KOS- Richtung erzeugt.
- - wenn M_T in der Wand i eine Kraft entgegen der KOS- Richtung erzeugt.

$$M_T: [\text{KNm}] = M_{T,y} \pm M_{T,z} \quad (+ \text{ wenn gleiche Drehrichtung})$$

$$M_{T,y}: [\text{KNm}] = H_y \cdot e_z$$

$$M_{T,z}: [\text{KNm}] = H_z \cdot e_y$$

e_y : [m] Abstand zwischen Lastangriffspunkt und Schubmittelpunkt.

e_z : [m] Abstand zwischen Lastangriffspunkt und Schubmittelpunkt.

I_ω : [m⁶] Wölbträgheitsmoment, → siehe oben

\bar{y}_i : [m] Abstand zwischen KOS und Wandachse der Wand i in y- Richtung

\bar{z}_i : [m] Abstand zwischen KOS und Wandachse der Wand i in z- Richtung

\bar{y}_0 : [m] Lage des Schubmittelpunktes, → siehe oben

\bar{z}_0 : [m] Lage des Schubmittelpunktes, → siehe oben

E: [MN/m²] E-Modul der Wandscheibe

C20/25: $E_{cm} = 30.000$

C25/30: $E_{cm} = 31.000$

C30/37: $E_{cm} = 33.000$

C35/45: $E_{cm} = 34.000$

C40/50: $E_{cm} = 35.000$

4.) Kontrolle

$$\sum I_{y,i} \cdot y_i \approx 0 \text{ und}$$

$$\sum I_{z,i} \cdot z_i \approx 0$$

Hinweis:

Wenn z_i und y_i jeweils mit Vorzeichen eingesetzt werden.

y_i : [m] Abstand zwischen Schubmittelpunkt des Einzelelementes und Gesamtschubmittelpunkt. $y_i = \bar{y}_i - \bar{y}_0$

z_i : [m] Abstand zwischen Schubmittelpunkt des Einzelelementes und Gesamtschubmittelpunkt. $z_i = \bar{z}_i - \bar{z}_0$

5.) Gesamtlasten:

$$H_{y,i,ges} = H_{y,i} \pm H_{y,i}^T \quad [\text{KN}]$$

$$H_{z,i,ges} = H_{z,i} \pm H_{z,i}^T \quad [\text{KN}]$$

Hinweis:

Auf Vorzeichen achten!!!

10.2 Nachweis der Aussteifung

1.) Hinweise

- Ist ein Bauwerk ausreichend ausgesteift, darf der Nachweis nach Theorie 2. Ordnung am Gesamtsystem entfallen.
- Es muss die Translationssteifigkeit und die Rotationssteifigkeit nachgewiesen werden.

2.) Nachweis der Translationssteifigkeit

In y-Richtung

$$\frac{F_{v,Ed} \cdot L^2}{\sum E_{cd} \cdot I_{z,c}} \leq K_i \cdot \frac{n_s}{n_s + 1,6}$$

→ Tragwerk ist unverschieblich in y-Richtung.

$F_{v,Ed}$: [MN] die gesamte charakteristische vertikale Last (auf ausgesteifte und aussteifende Bauteile)
 $= (g_k + q_k) \cdot b_z \cdot b_y \cdot n_s \cdot 10^{-3}$
 $(g_k + q_k)$: [kN/m²] Belastung der Decken je Geschoss
 n_s : [] Anzahl der Geschosse
 L : [m] Gesamthöhe des Gebäudes oberhalb der Einspannung
 E_{cd} : [MN/m²] Bemessungswert des Elastizitätsmoduls des Betons = E_{cm}/γ_{CE}
 E_{cm} : [MN/m²] mittlerer Elastizitätsmodul
 C20/25: $E_{cm} = 30.000$ C25/30: $E_{cm} = 31.000$ C30/37: $E_{cm} = 33.000$
 C35/45: $E_{cm} = 34.000$ C40/50: $E_{cm} = 35.000$
 $\gamma_{CE} = 1,2$
 $I_{z,c}$: [m⁴] Flächenträgheitsmoment der einzelnen aussteifenden Elemente um die z-Achse
 K_i : Beton gerissen: $K_1 = 0,31$ (sichere Seite)
 Beton ungerissen: $K_2 = 0,62$

In z-Richtung

$$\frac{F_{v,Ed} \cdot L^2}{\sum E_{cd} \cdot I_{y,c}} \leq K_i \cdot \frac{n_s}{n_s + 1,6}$$

→ Tragwerk ist unverschieblich in z-Richtung.

$F_{v,Ed}$: [MN] die gesamte charakteristische vertikale Last (auf ausgesteifte und aussteifende Bauteile)
 $= (g_k + q_k) \cdot b_z \cdot b_y \cdot n_s \cdot 10^{-3}$
 $(g_k + q_k)$: [kN/m²] Belastung der Decken je Geschoss
 n_s : [] Anzahl der Geschosse
 L : [m] Gesamthöhe des Gebäudes oberhalb der Einspannung
 E_{cd} : [MN/m²] Bemessungswert des Elastizitätsmoduls des Betons = E_{cm}/γ_{CE}
 E_{cm} : [MN/m²] mittlerer Elastizitätsmodul
 C20/25: $E_{cm} = 30.000$ C25/30: $E_{cm} = 31.000$ C30/37: $E_{cm} = 33.000$
 C35/45: $E_{cm} = 34.000$ C40/50: $E_{cm} = 35.000$
 $\gamma_{CE} = 1,2$
 $I_{y,c}$: [m⁴] Flächenträgheitsmoment der einzelnen aussteifenden Elemente um die y-Achse
 K_i : Beton gerissen: $K_1 = 0,31$ (sichere Seite)
 Beton ungerissen: $K_2 = 0,62$

3.) Nachweis der Rotationssteifigkeit

Geometrieparameter

$$r_j = \sqrt{y_i^2 + z_i^2} \text{ [m]}$$

wenn Torsionssteifigkeit berücksichtigt werden soll:

Wand ($h/b > 10$): $I_T \approx 0,33 \cdot h \cdot b^3 \text{ [m}^4\text{]}$

Kern (Hohlprofil): $I_T \approx \frac{4 \cdot A_m^2}{\sum \frac{h_i}{b_i}} \text{ [m}^4\text{]}$

Allgemein: siehe Schneider 4.28

r_j : [m] der Abstand der Stütze j vom Schubmittelpunkt des Gesamtsystems
 y_i : [m] Abstand zwischen Schubmittelpunkt des Einzelelementes und Gesamtschubmittelpunkt. $y_i = |\bar{y}_i - \bar{y}_0|$
 z_i : [m] Abstand zwischen Schubmittelpunkt des Einzelelementes und Gesamtschubmittelpunkt. $z_i = |\bar{z}_i - \bar{z}_0|$
 A_m : [m²] Fläche, die von der Mittellinie der Wandung eingeschlossen ist.
 h_i : [m] Wandlänge
 b_i : [m] Wanddicke

Nachweis

Allgemein: (Regelfall)

$$\frac{1}{\left[\frac{1}{L} \cdot \sqrt{\frac{E_{cd} \cdot I_w}{\sum_j F_{v,Ed,j} \cdot r_j^2}} + \frac{1}{2,28} \cdot \sqrt{\frac{G_{cd} \cdot I_T}{\sum_j F_{v,Ed,j} \cdot r_j^2}} \right]^2} \leq K_i \cdot \frac{n_s}{n_s + 1,6}$$

wird i.d.R. nicht berücksichtigt

NW ist nicht zu führen, wenn Schubmittelpunkt \approx Massenmittelpunkt:

$$\frac{\sum I_{y,i} \cdot \bar{y}_i}{\sum I_{y,i}} \approx \frac{\sum A_i \cdot \bar{y}_i}{\sum A_i} \text{ [m]}$$

Mit A_i : [m²] Fläche der Decke

L : [m] Gesamthöhe des Gebäudes oberhalb der Einspannung
 E_{cd} : [MN/m²] Bemessungswert des Elastizitätsmoduls des Betons = E_{cm}/γ_{CE}
 E_{cm} : [MN/m²] mittlerer Elastizitätsmodul
 C20/25: $E_{cm} = 30.000$ C25/30: $E_{cm} = 31.000$
 C30/37: $E_{cm} = 33.000$ C35/45: $E_{cm} = 34.000$
 C40/50: $E_{cm} = 35.000$
 $\gamma_{CE} = 1,2$
 I_w : [m⁶] Wölbträgheitsmoment, → siehe oben
 $F_{v,Ed,j}$: [MN] charakteristische Vertikallast des Bauteils j
 $= (g_k + q_k) \cdot h_i \cdot n_s \cdot 10^{-3}$
 $(g_k + q_k)$: [kN/m] Belastung des Wandelementes
 h_i : [m] Wandlänge der Wand i
 r_j : [m] der Abstand der Stütze j vom Schubmittelpunkt des Gesamtsystems, → siehe oben
 G_{cd} : [MN/m²] Schubmodul = $\frac{E_{cd}}{2 \cdot (1 + \mu)}$
 μ : Querdehnzahl = 0,2
 I_T : [m] siehe oben
 n_s : [] Anzahl der Geschosse
 K_i : Beton gerissen: $K_1 = 0,31$ (sichere Seite)
 Beton ungerissen: $K_2 = 0,62$

Wenn Vertikallasten der Stützen ($F_{Ed,i}$) gleichmäßig über den Grundriss verteilt sind:

$$\left[\frac{1}{L} \cdot \sqrt{\frac{E_{cd} \cdot I_{\omega}}{F_{V,Ed} \cdot \left(\frac{d^2}{12 + c^2}\right)}} + \frac{1}{2,28} \cdot \sqrt{\frac{G_{cd} \cdot I_T}{F_{V,Ed} \cdot \left(\frac{d^2}{12 + c^2}\right)}} \right]^2 \leq K_1 \cdot \frac{n_s}{n_s + 1,6}$$

wird i.d.R. nicht berücksichtigt

L: [m] Gesamthöhe des Gebäudes oberhalb der Einspannung
 E_{cd} : [MN/m²] Bemessungswert des Elastizitätsmoduls des Betons = E_{cm} / γ_{CE}
 E_{cm} : [MN/m²] mittlerer Elastizitätsmodul
 C20/25: $E_{cm} = 30.000$ C25/30: $E_{cm} = 31.000$
 C30/37: $E_{cm} = 33.000$ C35/45: $E_{cm} = 34.000$
 C40/50: $E_{cm} = 35.000$

γ_{CE} : = 1,2
 I_{ω} : [m⁶] Wölbträgheitsmoment, → siehe oben
 $F_{V,Ed}$: [MN] die gesamte charakteristische vertikale Last (auf ausgesteifte und aussteifende Bauteile)
 = $(g_k + q_k) \cdot b_z \cdot b_y \cdot n_s \cdot 10^{-3}$
 $(g_k + q_k)$: [kN/m²] Belastung der Decken je Geschoss
 d: [m] Grundrissdiagonale = $\sqrt{A^2 + B^2}$
 c: [m] Abstand zwischen Schubmittelpunkt und Grundrissmittelpunkt
 G_{cd} : [MN/m²] Schubmodul = $\frac{E_{cd}}{[2 \cdot (1 + \mu)]}$
 μ : Querdehnzahl = 0,2
 I_T : [m] siehe oben
 n_s : [] Anzahl der Geschosse
 K_i : Beton gerissen: $K_1 = 0,31$ (sichere Seite)
 Beton ungerissen: $K_2 = 0,62$

10.3 Ersatzsteifigkeit bei einer über die Wandhöhe veränderlichen Steifigkeit

1.) Steifigkeiten der einzelnen Geschosse:

Steifigkeiten allgemein

$$I_i = \frac{b \cdot L_i^3}{12} \text{ [m}^4\text{]}$$

b: [m] Wanddicke
L_i: [m] Wandlänge der Wand i

Steifigkeiten bei Öffnung im EG

$$I_1^* = \frac{b \cdot L_1^3}{12} \text{ [m}^4\text{]}$$

$$I_2^* = 2 \cdot a^2 \cdot A_{st} \text{ [m}^4\text{]} \text{ (nur Steiner-Anteil)}$$

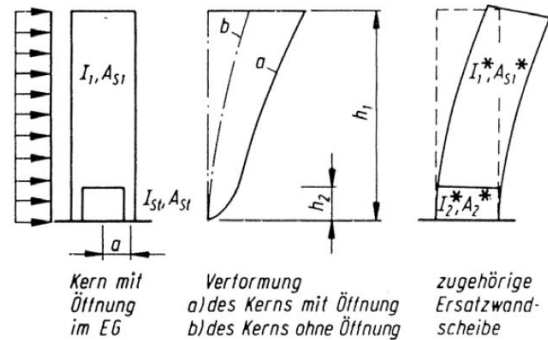
$$L_2 = \sqrt[3]{\frac{I_2^* \cdot 12}{b}} \text{ [m]}$$

→ mit den vorhandenen Querschnittswerten kann die Ersatzsteifigkeit $(E \cdot I)_m$ ermittelt werden.

$$A_{s1}^* = A_{s1}$$

$$A_{s2}^* = 12 \cdot \frac{\sum I_{st}}{h^2} \cdot \frac{E}{E_c}$$

b: [m] Wanddicke
L₁: [m] Wandlänge der oberen Wand
L₂: [m] fiktive Wandlänge der fiktiven EG Wand
a: [m] Abstand zwischen Stützenachse und Schwerpunktsachse der beiden EG Stützen
→ siehe Zeichnung
A_{st}: [m²] Querschnittsfläche der Stütze im EG



2.) Ermittlung der Kopfverformung

- Möglichkeit: EDV Programm
- Möglichkeit: f über Kraftgrößenverfahren

Hinweise:

- bei der Berechnung der Verformung muss E_{cm} verwendet werden.
- E · I in KNm² einsetzen!

E_{cm}: [KN/m²] mittlerer Elastizitätsmodul

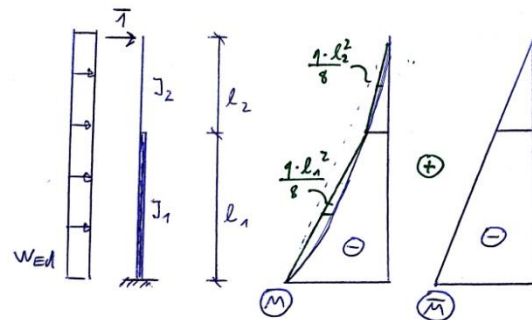
$$C20/25: E_{cm} = 3,0 \cdot 10^7$$

$$C25/30: E_{cm} = 3,1 \cdot 10^7$$

$$C30/37: E_{cm} = 3,3 \cdot 10^7$$

$$C35/45: E_{cm} = 3,4 \cdot 10^7$$

$$C40/50: E_{cm} = 3,5 \cdot 10^7$$



3.) Ersatzsteifigkeit

$$(E \cdot I)_m = \frac{w_{Ed} \cdot h_{ges}^4}{8 \cdot f} \text{ [KNm}^2\text{]}$$

$$I_m = \frac{(E \cdot I)_m}{E_{cm}} \text{ [m}^4\text{]}$$

Plausibilitätskontrolle: I_m muss irgendwo zwischen I₁ und I₂ liegen

w_{Ed}: [KN/m] Flächenlast auf Kragträger
vereinfacht: w_{Ed} ≈ 1,0
h_{ges}: [m] Gesamthöhe der Wand
f: [m] Kopfverformung der Wand

10.4 Bestimmung von Ersatzlasten

1.) Schiefstellung	
$\alpha_h = \frac{2}{\sqrt{i}} [] \quad 0,67 \leq \alpha_h \leq 1$ $\alpha_m = \sqrt{0,5 \cdot \left(1 + \frac{1}{m}\right)} []$ $\Theta_i = \theta_0 \cdot \alpha_h \cdot \alpha_m []$	<p> Θ_0: [] Grundwert. $\Theta_0 = 1/200$ α_h: [] Abminderungsbeiwert für die Höhe α_m: [] Abminderungsbeiwert für die Anzahl der Bauteile <i>l</i>: [m] Höhe Auswirkung auf Einzelstütze: <i>l</i> = Länge der Stütze Auswirkung auf Aussteifungssystem: <i>l</i> = Gebäudehöhe Auswirkung auf Deckenscheiben: <i>l</i> = Stockwerkshöhe m: [] Anzahl der vertikalen Bauteile, die mindestens 70 % des Bemessungswerts der mittleren Längskraft aufnehmen. $0,7 \cdot N_{Ed,m} \leq$ als alle $N_{Ed,i} \rightarrow m = n$ $0,7 \cdot N_{Ed,m} >$ als $x N_{Ed,i} \rightarrow m = n - x$ Auswirkung auf Einzelstütze: $m = 1$ Auswirkung auf Aussteifungssystem: $m =$ Anzahl der Bauteile, die zur horizontalen Aussteifung beitragen. Auswirkung auf Deckenscheiben: $m =$ Anzahl der Bauteile in den Stockwerken, die zur horizontalen Gesamtbelastung auf das Geschoss beitragen. $N_{Ed,m}$: [KN] Bemessungswert der mittleren Längskraft. $N_{Ed,m} = \Sigma F_{Ed,i} / n$ $F_{Ed,i}$: [KN] vertikale Einwirkung auf das Bauteil <i>i</i> (Stockwerkweise betrachten) n: [] Anzahl aller in einem Geschoss vorhandenen lotrechten, lastabtragenden Bauteile. $N_{Ed,i}$: [KN] Normalkraft in dem Bauteil <i>i</i> </p>
2.) Ersatzkräfte	
<p>Auswirkung auf ein Aussteifungssystem:</p> $H_{E,j} = \theta_i \cdot \sum_{i=1}^n V_{i,j} [KN]$ <p>alternative:</p> $H_{E,j} = \theta_i \cdot (N_b - N_a) [KN]$ <p>Hinweis: Die größte horizontale Belastung in den aussteifenden Bauteilen ergibt sich, wenn alle Stützen in die gleiche Richtung schiefgestellt sind.</p> <p>Auswirkung auf eine Deckenscheibe:</p> $H_{E,i} = \theta_i \cdot (N_b - N_a) \cdot 0,5 [KN]$ <p>Hinweis: nach EC 2 ist bei Zwischendecken die Schiefstellung θ_i nur zur Hälfte anzusetzen.</p> <p>Auswirkung auf eine Dachsscheibe:</p> $H_{E,i} = \theta_i \cdot N_a [KN]$	<p> $H_{E,j}$: [KN] Ersatzhorizontallast in der Deckenebene <i>j</i> $\sum_{i=1}^n V_{i,j}$: [KN] Summe aller vertikalen Lasten in aussteifenden und auszustreifenden Bauteilen im betrachteten Geschoss <i>j</i>. N_a: [KN] Normalkraft in der Stütze oberhalb des betrachteten Geschosses N_b: [KN] Normalkraft in der Stütze unterhalb des betrachteten Geschosses Θ_i: [] Schiefstellung. → Siehe oben </p>

10.5 Bestimmung von Ersatzlängen in Rahmensystemen

1.) Vorgehen	
1. Knoten oberhalb und unterhalb des Stabes gedanklich verdrehen 2. Passend zur Verformungsfigur das Moment M_i bzw. M_k für die Riegel berechnen. (Drehwinkelverfahren) 3. Ermittlung der Beiwerte k_1 und k_2	
2.) Momente infolge θ	
Abliegendes Riegelende eingespannt:	
	$M_{ii} = \frac{4 \cdot E \cdot I}{L} \cdot \varphi_i$ <p>E: [MN/m²] E-Modul des Betons im Riegel. Hinweis: Kürzt sich bei gleichem Beton in der Stütze und dem Riegel raus. I: [m⁴] Flächenträgheitsmoment 2. Grades des angrenzenden Riegels L: [m] Länge des Riegels φ_i: [] = 1</p>
Abliegendes Riegelende gelenkig:	
	$M_{ii} = \frac{3 \cdot E \cdot I}{L} \cdot \varphi_i \text{ [MNm]}$ <p>E: [MN/m²] E-Modul des Betons im Riegel Hinweis: Kürzt sich bei gleichem Beton in der Stütze und dem Riegel raus. I: [m⁴] Flächenträgheitsmoment 2. Grades des angrenzenden Riegels L: [m] Länge des Riegels φ_i: [] = 1</p>
Abliegendes Riegelende vertikal verschieblich:	
	$M_{ii} = 0$
Abliegendes Riegelende endet im Knoten eines unverschieblichen Systems:	
	$M_{ii} = \frac{2 \cdot E \cdot I}{L} \cdot \varphi_i \quad M_{kk} = -\frac{2 \cdot E \cdot I}{L} \cdot \varphi_i$ <p>E: [MN/m²] E-Modul des Betons im Riegel Hinweis: Kürzt sich bei gleichem Beton in der Stütze und dem Riegel raus. I: [m⁴] Flächenträgheitsmoment 2. Grades des angrenzenden Riegels L: [m] Länge des Riegels φ_i: [] = 1</p>
Abliegendes Riegelende endet im Knoten eines verschieblichen Systems:	
	$M_{ii} = \frac{6 \cdot E \cdot I}{L} \cdot \varphi_i$ <p>E: [MN/m²] E-Modul des Betons im Riegel Hinweis: Kürzt sich bei gleichem Beton in der Stütze und dem Riegel raus. I: [m⁴] Flächenträgheitsmoment 2. Grades des angrenzenden Riegels L: [m] Länge des Riegels φ_i: [] = 1</p>
3.) Beiwerte k_1 und k_2 – Beton	
<p>Allgemein:</p> $k_i = \frac{\theta}{(0,5^*) \cdot \sum M_i} \cdot \sum \frac{E \cdot I_{col}}{L_{col}} \geq 0,1 \quad [] \quad i = 1; 2$ <p>*0,5 nur wenn Beton gerissen</p> <p>Stütze eingespannt: $k_i = 0,1 \quad i = 1; 2$</p>	<p>θ: [] Knotenverdrehung (kürzt sich später raus) $\sum M_i$: [] Momente aller einspannenden Stäbe am Knoten infolge der Verdrehung θ. $\sum \frac{E \cdot I_{col}}{L_{col}}$: [KNm] Stabsteifigkeit aller an einem Knoten angeschlossenen Druckglieder → in der Regel $2 \cdot (I_{col}/L_{col})$ L_{col}: [m] Lichte Länge des Druckgliedes zwischen den Endeinspannungen. I_{col}: [m⁴] Flächenträgheitsmoment der Stütze. E: [MN/m²] E-Modul des Stützenbetons.</p>
4.) Ersatzlänge	
Druckglieder in ausgesteiften Systemen:	
$L_0 = 0,5 \cdot L_{col} \cdot \sqrt{\left[1 + \frac{k_1}{(0,45 + k_1)}\right] \cdot \left[1 + \frac{k_2}{(0,45 + k_2)}\right]} \text{ [m]}$	<p>L_{col}: [m] Lichte Länge des Druckgliedes zwischen den Endeinspannungen. k_1: [] Beiwert, → siehe oben k_2: [] Beiwert, → siehe oben</p>
Druckglieder in nicht ausgesteiften Systemen:	
$L_0 = L_{col} \cdot \max \left\{ \begin{array}{l} \sqrt{\left[1 + 10 \cdot \frac{k_1 \cdot k_2}{(k_1 + k_2)}\right]} \text{ [m]} \\ \left[1 + \frac{k_1}{1 + k_1}\right] \cdot \left[1 + \frac{k_2}{1 + k_2}\right] \text{ [m]} \end{array} \right.$	<p>L_{col}: [m] Lichte Länge des Druckgliedes zwischen den Endeinspannungen. k_1: [] Beiwert, → siehe oben k_2: [] Beiwert, → siehe oben</p>

11 Bemessung von Druckgliedern

11.1 Druckglieder mit einachsiger Biegung

1.) Schlankheit											
<p>Rechteckstütze: $i_y = 0,289 \cdot h$ [cm] $i_z = 0,289 \cdot b$ [cm]</p> <p>Rundstütze: $i = r/2$</p> <p>Allgemein: $i = \sqrt{\frac{I_{col}}{A_{col}}}$ [m]</p> <p>Schlankheit für Biegung um y-Achse: $\lambda_y = \frac{L_{0,z}}{i_y}$ []</p> <p>Schlankheit für Biegung um z-Achse: $\lambda_z = \frac{L_{0,y}}{i_z}$ []</p>	<p>b: [m] Querschnittsbreite h: [m] Querschnittshöhe I_{col}: [m⁴] Flächenträgheitsmoment der Stütze. A_{col}: [m²] Querschnittsfläche der Stütze $L_{0,z}$: [m] Knicklänge der Stütze in z-Richtung. $L_{0,y}$: [m] Knicklänge der Stütze in y-Richtung. i: [m] Trägheitsradius des Stützenquerschnitts</p>										
2.) Grenzschlankheit											
<p>$n_{Ed} = \frac{N_{Ed}}{A_c \cdot f_{cd}}$ []</p> <p>$n_{Ed} \geq 0,41 \rightarrow \lambda_{lim} = 25$</p> <p>$n_{Ed} < 0,41 \rightarrow \lambda_{lim} = \frac{16}{\sqrt{ n_{Ed} }}$</p>	<p>N_{Ed}: [KN] Bemessungswert der einwirkenden Normalkraft Normalkraft inf. Stützeigengewicht wird i.d.R vernachlässigt A_c: [cm²] Bruttoquerschnitt der Stütze f_{cd}: [KN/cm²] Zylinderdruckfestigkeit des Betons ($\alpha_c = 0,85$, $\gamma_c = 1,5$)</p> <table style="width: 100%; border: none;"> <tr> <td>C20/25: $f_{cd} = 1,13$</td> <td>C30/37: $f_{cd} = 1,7$</td> </tr> <tr> <td>C25/30: $f_{cd} = 1,42$</td> <td>C35/45: $f_{cd} = 1,98$</td> </tr> <tr> <td>C40/50: $f_{cd} = 2,27$</td> <td>C45/55: $f_{cd} = 2,55$</td> </tr> <tr> <td>C50/60: $f_{cd} = 2,83$</td> <td>C55/67: $f_{cd} = 3,11$</td> </tr> <tr> <td>C60/75: $f_{cd} = 3,40$</td> <td></td> </tr> </table>	C20/25: $f_{cd} = 1,13$	C30/37: $f_{cd} = 1,7$	C25/30: $f_{cd} = 1,42$	C35/45: $f_{cd} = 1,98$	C40/50: $f_{cd} = 2,27$	C45/55: $f_{cd} = 2,55$	C50/60: $f_{cd} = 2,83$	C55/67: $f_{cd} = 3,11$	C60/75: $f_{cd} = 3,40$	
C20/25: $f_{cd} = 1,13$	C30/37: $f_{cd} = 1,7$										
C25/30: $f_{cd} = 1,42$	C35/45: $f_{cd} = 1,98$										
C40/50: $f_{cd} = 2,27$	C45/55: $f_{cd} = 2,55$										
C50/60: $f_{cd} = 2,83$	C55/67: $f_{cd} = 3,11$										
C60/75: $f_{cd} = 3,40$											
3.) Untersuchung ob Theorie 2. Ordnung											
<p>$\lambda_{lim} < \lambda \rightarrow$ Theorie 2.Ordnung muss berücksichtigt werden \rightarrow z.B. Modellstützenverfahren $\lambda_{lim} \geq \lambda \rightarrow$ Theorie 1.Ordnung \rightarrow z.B. IAD-Verfahren ohne e_2</p>											

11.2 Einzeldruckglied - Modellstützenverfahren

1.) <u>planmäßige Exzentrizität</u>	
Unverschiebliche Stützen	
<p>Wenn M_1 und M_2 bekannt:</p> $e_1 = \frac{M_1}{N_1} \quad (M_1, M_2 \text{ und } N_1 \text{ vorzeichengerecht!})$ $e_2 = \frac{M_2}{N_2} \quad (M_1, M_2 \text{ und } N_2 \text{ vorzeichengerecht!})$ <p>→ Der Betragsmäßig größere Wert ist e_02 → Der Betragsmäßig kleinere Wert ist e_01</p> <p>Stabende stellt eine Drehfeder dar:</p> $e_0 = \max \begin{cases} 0,6 \cdot e_{02} + 0,4 \cdot e_{01} & [\text{m}] \\ 0,4 \cdot e_{02} & [\text{m}] \end{cases}$ <p>Hinweis: Bei zweichasiger Biegung wird e_0 an der Stelle ermittelt an der die Exzentrizität in der anderen Richtung maximal wird.</p> <p>Beidseitig gelenkig gelagert:</p> $e_0 = 0$	
Allgemein	
<p>Knicken um die z-Achse:</p> $e_{0y} = \frac{M_{Ed,z}}{N_{Ed}} \quad [\text{m}]$ <p>Knicken um die y-Achse:</p> $e_{0z} = \frac{M_{Ed,y}}{N_{Ed}} \quad [\text{m}]$	<p>$M_{Ed,z}$: [KNm] Bemessungswert des Biegemoments um die z-Achse Kragstütze: Biegemoment am Stützenfuß</p> <p>$M_{Ed,y}$: [KNm] Bemessungswert des Biegemoments um die y-Achse Kragstütze: Biegemoment am Stützenfuß</p> <p>N_{Ed}: [KN] Bemessungswert der Normalkraft in der Stütze</p>
2.) <u>Ungewollte Ausmitte - Imperfektionen</u>	
$\alpha_h = \frac{2}{\sqrt{L_{\text{col}}}} \quad [] \quad 0 \leq \alpha_h \leq 1$ $\alpha_m = \sqrt{0,5 \cdot \left(1 + \frac{1}{m}\right)} \quad []$ <p>Knicken um die z-Achse:</p> $e_{iy} = \theta_0 \cdot \alpha_h \cdot \alpha_m \cdot \frac{L_{0,y}}{2} \quad [\text{m}]$ <p>Knicken um die y-Achse:</p> $e_{iz} = \theta_0 \cdot \alpha_h \cdot \alpha_m \cdot \frac{L_{0,z}}{2} \quad [\text{m}]$	<p>θ_0: [] Grundwert. $\theta_0 = 1/200$</p> <p>α_h: [] Abminderungsbeiwert für die Höhe</p> <p>α_m: [] Abminderungsbeiwert für die Anzahl der Bauteile</p> <p>L_{col}: [m] Höhe</p> <p>Auswirkung auf Einzelstütze: $l =$ Länge der Stütze Auswirkung auf Aussteifungssystem: $l =$ Gebäudehöhe Auswirkung auf Deckenscheiben: $l =$ Stockwerkshöhe</p> <p>m: [] Anzahl der vertikalen Bauteile, die mindestens 70 % des Bemessungswerts der mittleren Längskraft aufnehmen.</p> <p>$0,7 \cdot N_{Ed,m} \leq$ als alle $N_{Ed,i} \rightarrow m = n$ $0,7 \cdot N_{Ed,m} >$ als $x N_{Ed,i} \rightarrow m = n - x$</p> <p>Auswirkung auf Einzelstütze: $m = 1$</p> <p>Auswirkung auf Aussteifungssystem: $m =$ Anzahl der Bauteile, die zur horizontalen Aussteifung beitragen.</p> <p>Auswirkung auf Deckenscheiben: $m =$ Anzahl der Bauteile in den Stockwerken, die zur horizontalen Gesamtbelastung auf das Geschoss beitragen.</p> <p>$N_{Ed,m}$: [KN] Bemessungswert der mittleren Längskraft. $N_{Ed,m} = \sum F_{Ed,i} / n$</p> <p>$F_{Ed,i}$: [KN] vertikale Einwirkung auf das Bauteil i (Stockwerksweise betrachten)</p> <p>n: [] Anzahl aller in einem Geschoss vorhandenen lotrechten, lastabtragenden Bauteile.</p> <p>$N_{Ed,i}$: [KN] Normalkraft in dem Bauteil i</p> <p>$L_{0,z}$: [m] Knicklänge der Stütze in z-Richtung.</p> <p>$L_{0,y}$: [m] Knicklänge der Stütze in y-Richtung.</p>

3.) Ausmitte infolge Theorie 2.Ordnung

Beiwert K_r

$$N_u = A_c \cdot f_{cd} + A_s \cdot f_{sd} \quad [\text{KN}]$$

$$N_{bal} = 0,4 \cdot A_c \cdot f_{cd} \quad [\text{KN}]$$

$$K_r = \frac{N_u - N_{Ed}}{N_u - N_{bal}} \leq 1,0$$

Hinweis: Falls Annahme nach der Ermittlung von A_s nicht zutrifft: A_s neu berechnen.

A_c : [cm²] Bruttoquerschnittsfläche der Stütze
 f_{cd} : [KN/cm²] Zylinderdruckfestigkeit des Betons ($\alpha_c = 0,85$, $\gamma_c = 1,5$)
 C20/25: $f_{cd} = 1,13$ C30/37: $f_{cd} = 1,7$
 C25/30: $f_{cd} = 1,42$ C35/45: $f_{cd} = 1,98$
 C40/50: $f_{cd} = 2,27$ C45/55: $f_{cd} = 2,55$
 C50/60: $f_{cd} = 2,83$ C55/67: $f_{cd} = 3,11$
 C60/75: $f_{cd} = 3,40$
 A_s : [cm²] Querschnittsfläche der Bewehrung
 ggf. Annahme treffen (z.B. 4Ø16)
 f_{sd} : [KN/cm²] Streckgrenze der Betonstahlbewehrung. $f_{sd} = 43,5$

Beiwert K_φ - Kriechen

Kriechauswirkungen dürfen vernachlässigt werden wenn:

- $\Phi(\infty, t_0) \leq 2,0$
- und $\lambda \leq 75$
- und $M_{0Ed}/N_{Ed} \geq h$

Oder wenn:

Stützen an beiden Enden monolithisch mit lastabtragenden Bauteilen verbunden sind.

Oder wenn:

bei verschieblichen Tragwerken die Schlankheit $\lambda < 50$ ist und $e_0/h > 2$ ist.

Wenn Kriechen vernachlässigt werden darf:

$$K_\varphi = 1$$

Sonst:

$$K_\varphi = 1 + \left(0,35 + \frac{f_{ck}}{200} - \frac{\lambda}{150}\right) \cdot \left(\varphi(\infty, t_0) \cdot \frac{M_{0Eqp}}{M_{0Ed}}\right) \geq 1,0$$

M_{0Eqp} : [KNm] Biegemoment nach Th.I.O. unter der quasi ständigen EWK (GZG)
 M_{0Ed} : [KNm] Biegemoment nach Th.I.O. unter der Bemessungs-EWK (GZT)

Krümmung

$$\frac{1}{r} \approx K_r \cdot K_\varphi \cdot \frac{1}{207 \cdot d} \quad [1/m]$$

d : [m] statische Nutzhöhe der Stütze

Beiwert K_1

$$25 \leq \lambda \leq 35 \rightarrow K_1 = \frac{\lambda}{10} - 2,5$$

$$\lambda > 35 \rightarrow K_1 = 1,0$$

Ausmitte

Konstante Bewehrung:

$$e_2 = \frac{1}{10} \cdot K_1 \cdot \frac{1}{r} \cdot L_0^2 \quad [m]$$

fein gestaffelte Bewehrung:

$$e_2 = \frac{1}{8} \cdot K_1 \cdot \frac{1}{r} \cdot L_0^2 \quad [m]$$

4.) Bemessung mit μ -Nomogramm

Ermittlung der reduzierten Höhe

Hinweis:

Die Querschnittshöhe muss nur bei dem getrennten NW infolge zweiachsiger Beanspruchung reduziert werden, wenn es sich um einen Rechteckquerschnitt mit $e_{0z} > 0,2h$ handelt.

$$h_{red} = \frac{h}{2} \cdot \left(1 + \frac{h}{6 \cdot (e_{0z} + e_{iz})} \right) \leq h$$

h : [m] größere der beiden Querschnittsseiten

h_{red} : [m] reduzierte Querschnittshöhe in Richtung der z-Achse

e_{0z} : [m] Lastausmitte nach Th. 1.O. in Richtung der Querschnittsseite h

e_{iz} : [m] Zusatzausmitte nach Th. 1.O. in z-Richtung

Eingangswerte

Biegung um die z-Achse: (schwache Achse)

$$M_{Ed,z} = N_{Ed} \cdot e_{tot,y} \quad [\text{KNm}]$$

$$\mu_{Ed,z} = \frac{M_{Ed,z} \cdot 100}{h^{*1} \cdot b^2 \cdot f_{cd}} \quad [] \quad \left. \vphantom{\mu_{Ed,z}} \right\} \omega \text{ aus dem Diagramm ablesen}$$

$$V_{Ed} = \frac{N_{Ed}}{h^{*1} \cdot b \cdot f_{cd}} \quad []$$

$$\frac{L_0}{h}$$

$$A_{s,tot} = \omega \cdot b \cdot h^{*1} \cdot \frac{f_{cd}}{f_{yd}} \quad [\text{cm}^2]$$

Biegung um die y-Achse: (starke Achse)

$$M_{Ed,y} = N_{Ed} \cdot e_{tot,z} \quad [\text{KNm}]$$

$$\mu_{Ed,y} = \frac{M_{Ed,y} \cdot 100}{h^2 \cdot b \cdot f_{cd}} \quad [] \quad \left. \vphantom{\mu_{Ed,y}} \right\} \omega \text{ aus dem Diagramm ablesen}$$

$$V_{Ed} = \frac{N_{Ed}}{h \cdot b \cdot f_{cd}} \quad []$$

$$\frac{L_0}{h}$$

$$A_{s,tot} = \omega \cdot b^* \cdot h \cdot \frac{f_{cd}}{f_{yd}} \quad [\text{cm}^2]$$

Konstruktive Anforderungen beachten!!

→ siehe unter „Konstruktive Regeln bei der Stützenbemessung“

N_{Ed} : [KN] Bemessungsnormalkraft

M_{Ed} : [KNm] Bemessungsmoment

$e_{tot,y}$: [m] Gesamtausmitte in y-Richtung. $e_{tot,y} = e_{0,y} + e_{i,y}$

$e_{tot,z}$: [m] Gesamtausmitte in z-Richtung. $e_{tot,z} = e_{0,z} + e_{i,z}$

h : [m] Querschnittshöhe

*1 beim NW um die schwache Achse (z-Achse), wenn infolge

zweiachsiger Biegung ein getrennter Nachweis geführt wird: $h = h_{red}$

b : [m] Querschnittsbreite

f_{cd} : [KN/cm²] Betondruckfestigkeit ohne Beiwert α_{cc} . $f_{cd} = f_{ck}/\gamma_M$

γ_M : [] Sicherheitsbeiwert. $\gamma_M = 1,5$

5.) Bemessung mit e/h-Nomogramm

Ermittlung der reduzierten Höhe

Hinweis:

Die Querschnittshöhe muss nur bei dem getrennten NW infolge zweiachsiger Beanspruchung reduziert werden, wenn es sich um einen Rechteckquerschnitt mit $e_{0z} > 0,2h$ handelt.

$$h_{red} = \frac{h}{2} \cdot \left(1 + \frac{h}{6 \cdot (e_{0z} + e_{iz})} \right) \leq h$$

h: [m] größere der beiden Querschnittsseiten

h_{red} : [m] reduzierte Querschnittshöhe in Richtung der z-Achse

e_{0z} : [m] Lastausmitte nach Th. 1.O. in Richtung der Querschnittsseite h

e_{iz} : [m] Zusatzausmitte nach Th. 1.O. in z-Richtung

Eingangswerte

$$\frac{h_1}{h} = \frac{d_1}{h} \rightarrow \text{passendes Diagramm wählen}$$

Biegung um die z-Achse: (schwache Achse)

$$M_{Ed,z} = N_{Ed} \cdot e_{tot,y} \quad [\text{KNm}]$$

$$\left. \begin{array}{l} \frac{e_1}{h} = \frac{e_{tot}}{h} \\ \frac{L_0}{h} \end{array} \right\} \omega \text{ aus dem Diagramm ablesen}$$

$$V_{Ed} = \frac{N_{Ed}}{h^* \cdot b \cdot f_{cd}} \quad []$$

Biegung um die y-Achse: (starke Achse)

$$M_{Ed,y} = N_{Ed} \cdot e_{tot,z} \quad [\text{KNm}]$$

$$\left. \begin{array}{l} \frac{e_1}{h} = \frac{e_{tot}}{h} \\ \frac{L_0}{h} \end{array} \right\} \omega \text{ aus dem Diagramm ablesen}$$

$$V_{Ed} = \frac{N_{Ed}}{h \cdot b \cdot f_{cd}} \quad []$$

$$A_{s,tot} = \omega \cdot b \cdot h^* \cdot \frac{f_{cd}}{f_{yd}} \quad [\text{cm}^2]$$

Konstruktive Anforderungen beachten!!

→ siehe unter „Konstruktive Regeln bei der Stützenbemessung“

d_1 : [cm] Abstand zwischen Schwerachse der Bewehrung und Betonrand

N_{Ed} : [KN] Bemessungsnormalkraft

$e_{tot,y}$: [m] Gesamtausmitte in y-Richtung. $e_{tot,y} = e_{0,y} + e_{i,y}$

$e_{tot,z}$: [m] Gesamtausmitte in z-Richtung. $e_{tot,z} = e_{0,z} + e_{i,z}$

h: [m] Querschnittshöhe

*1 beim NW um die schwache Achse (z-Achse), wenn infolge

zweiachsiger Biegung ein getrennter Nachweis geführt wird: $h = h_{red}$

b: [m] Querschnittsbreite

γ_M : [] Sicherheitsbeiwert. $\gamma_M = 1,5$

L_0 : [m] Knicklänge der Stütze

h: [m] Querschnittshöhe

f_{cd} : [KN/cm²] Betondruckfestigkeit ohne Beiwert α_{cc} . $f_{cd} = f_{ck}/\gamma_M$

f_{yd} : [KN/cm²] Streckgrenze des Betonstahls. $f_{yd} = 43,5$

6.) Bemessung mit Schmitz/Goris-Diagramm für einachsige Biegung

Hinweise

Die Exzentrizität infolge Theorie 2. Ordnung ist in dem Diagramm berücksichtigt.

Ermittlung der reduzierten Höhe

Hinweis:

Wenn bei zweiachsiger Biegung ein getrennter Nachweis geführt werden kann, muss beim Nachweis um die schwächere Achse die dazu orthogonal liegende Seite abgemindert werden!

$$\text{wenn Querschnittshöhe } h \geq b \text{ und } e_{0z} > 0,2h \text{ gilt: } h_{red} = \frac{h}{2} \cdot \left(1 + \frac{h}{6 \cdot (e_{0z} + e_{iz})}\right) \leq h$$

$$\text{wenn Querschnittshöhe } h < b \text{ und } e_{0y} > 0,2b \text{ gilt: } b_{red} = \frac{b}{2} \cdot \left(1 + \frac{b}{6 \cdot (e_{0y} + e_{iy})}\right) \leq b$$

h: [m] Querschnittshöhe in Richtung der z-Achse
 b: [m] Querschnittsbreite in Richtung der y-Achse
 h_{red} : [m] reduzierte Querschnittshöhe in Richtung der z-Achse
 e_{0z} : [m] Lastausmitte nach Th. 1.O. in z-Richtung
 e_{iz} : [m] Zusatzausmitte nach Th. 1.O. in z-Richtung
 e_{0y} : [m] Lastausmitte nach Th. 1.O. in y-Richtung
 e_{iy} : [m] Zusatzausmitte nach Th. 1.O. in y-Richtung

Eingangswerte

Biegung um die z-Achse:

$$M_{Ed,z} = N_{Ed} \cdot e_{tot,y} \quad [\text{KNm}]$$

$$\mu_{Ed,z} = \frac{M_{Ed,z} \cdot 100}{h^{*1} \cdot b^2 \cdot f_{cd}} \quad [] \quad \left. \vphantom{\mu_{Ed,z}} \right\} \omega \text{ aus dem Diagramm ablesen}$$

$$V_{Ed} = \frac{N_{Ed}}{h^{*1} \cdot b \cdot f_{cd}} \quad []$$

Biegung um die y-Achse:

$$M_{Ed,y} = N_{Ed} \cdot e_{tot,z} \quad [\text{KNm}]$$

$$\mu_{Ed,y} = \frac{M_{Ed,y} \cdot 100}{h^2 \cdot b^2 \cdot f_{cd}} \quad [] \quad \left. \vphantom{\mu_{Ed,y}} \right\} \omega \text{ aus dem Diagramm ablesen}$$

$$V_{Ed} = \frac{N_{Ed}}{h \cdot b^2 \cdot f_{cd}} \quad []$$

$$A_{s,tot} = \omega \cdot b \cdot h \cdot \frac{f_{cd}}{f_{yd}} \quad [\text{cm}^2]$$

Konstruktive Anforderungen beachten!!

→ siehe unter „Konstruktive Regeln bei der Stützenbemessung“

N_{Ed} : [KN] Bemessungsnormalkraft

M_{Ed} : [KNm] Bemessungsmoment

$e_{tot,y}$: [m] Gesamtausmitte in y-Richtung. $e_{tot,y} = e_{0,y} + e_{i,y}$

$e_{tot,z}$: [m] Gesamtausmitte in z-Richtung. $e_{tot,z} = e_{0,z} + e_{i,z}$

h: [m] Querschnittshöhe

b: [m] Querschnittsbreite

f_{cd} : [KN/cm²] Zylinderdruckfestigkeit des Betons ($\alpha_c = 0,85$, $\gamma_c = 1,5$)

C20/25: $f_{cd} = 1,13$ C30/37: $f_{cd} = 1,7$

C25/30: $f_{cd} = 1,42$ C35/45: $f_{cd} = 1,98$

C40/50: $f_{cd} = 2,27$ C45/55: $f_{cd} = 2,55$

C50/60: $f_{cd} = 2,83$ C55/67: $f_{cd} = 3,11$

C60/75: $f_{cd} = 3,40$

γ_M : [] Sicherheitsbeiwert. $\gamma_M = 1,5$

*1 $h = h_{red}$ wenn die Querschnittshöhe h (in z-Richtung) größer als b ist und ein getrennter Nachweis infolge zweiachsiger Biegung geführt werden darf.

*2 $b = b_{red}$ wenn die Querschnittshöhe h (in z-Richtung) kleiner als b ist und ein getrennter Nachweis infolge zweiachsiger Biegung geführt werden darf.

7.) Bemessung mit IAD-Diagramm

Hinweise

Die Exzentrizität infolge Theorie 2. Ordnung ist in dem IAD-Diagramm nicht berücksichtigt.

Ermittlung der reduzierten Höhe

Hinweis:

Wenn bei zweiachsiger Biegung ein getrennter Nachweis geführt werden kann, muss beim Nachweis um die schwächere Achse die dazu parallel liegende Seite abgemindert werden!

$$\text{wenn Querschnittshöhe } h \geq b \text{ und } e_{0z} > 0,2h \text{ gilt: } h_{\text{red}} = \frac{h}{2} \cdot \left(1 + \frac{h}{6 \cdot (e_{0z} + e_{iz})}\right) \leq h$$

$$\text{wenn Querschnittshöhe } h < b \text{ und } e_{0y} > 0,2b \text{ gilt: } b_{\text{red}} = \frac{b}{2} \cdot \left(1 + \frac{b}{6 \cdot (e_{0y} + e_{iy})}\right) \leq b$$

h: [m] Querschnittshöhe in Richtung der z-Achse
 b: [m] Querschnittsbreite in Richtung der y-Achse
 h_{red} : [m] reduzierte Querschnittshöhe in Richtung der z-Achse
 e_{0z} : [m] Lastausmitte nach Th. 1.O. in z-Richtung
 e_{iz} : [m] Zusatzausmitte nach Th. 1.O. in z-Richtung
 e_{0y} : [m] Lastausmitte nach Th. 1.O. in y-Richtung
 e_{iy} : [m] Zusatzausmitte nach Th. 1.O. in y-Richtung

Bemessungsmoment

$$M_{\text{tot}}^{\text{II}} = N_{\text{Ed}} \cdot e_0 + N_{\text{Ed}} \cdot e_a + N_{\text{Ed}} \cdot e_2 \quad [\text{KNm}]$$

→ Bemessung siehe IAD – Verfahren

e_0 : [m] Exzentrizität inf. planmäßiger Ausmitte
 e_i : [m] Exzentrizität inf. Imperfektionen
 e_2 : [m] Exzentrizität inf. Moment Th. 2.O.
 h: [m] Querschnittshöhe

Eingangswerte

Biegung um die z-Achse:

$$M_{\text{Ed},z} = N_{\text{Ed}} \cdot e_{\text{tot},y} \quad [\text{KNm}]$$

$$\mu_{\text{Ed},z} = \frac{M_{\text{Ed},z} \cdot 100}{h^{\ast 1} \cdot b^{\ast 2} \cdot f_{\text{cd}}} \quad [] \quad \left. \vphantom{\mu_{\text{Ed},z}} \right\} \omega \text{ aus dem Diagramm ablesen}$$

$$v_{\text{Ed}} = \frac{N_{\text{Ed}}}{h^{\ast 1} \cdot b \cdot f_{\text{cd}}} \quad []$$

Biegung um die y-Achse:

$$M_{\text{Ed},y} = N_{\text{Ed}} \cdot e_{\text{tot},z} \quad [\text{KNm}]$$

$$\mu_{\text{Ed},y} = \frac{M_{\text{Ed},y} \cdot 100}{h^2 \cdot b^{\ast 2} \cdot f_{\text{cd}}} \quad [] \quad \left. \vphantom{\mu_{\text{Ed},y}} \right\} \omega \text{ aus dem Diagramm ablesen}$$

$$v_{\text{Ed}} = \frac{N_{\text{Ed}}}{h \cdot b^{\ast 2} \cdot f_{\text{cd}}} \quad []$$

$$A_{\text{s,tot}} = \omega \cdot b \cdot h \cdot \frac{f_{\text{cd}}}{f_{\text{yd}}} \quad [\text{cm}^2]$$

Konstruktive Anforderungen beachten!!
 → siehe unter „Konstruktive Regeln bei der Stützenbemessung“

N_{Ed} : [KN] Bemessungsnormalkraft
 M_{Ed} : [KNm] Bemessungsmoment
 $e_{\text{tot},y}$: [m] Gesamtausmitte in y-Richtung. $e_{\text{tot},y} = e_{0,y} + e_{i,y} + e_{2,y}$
 $e_{\text{tot},z}$: [m] Gesamtausmitte in z-Richtung. $e_{\text{tot},z} = e_{0,z} + e_{i,z} + e_{2,z}$
 h: [m] Querschnittshöhe
 b: [m] Querschnittsbreite
 f_{cd} : [KN/cm²] Zylinderdruckfestigkeit des Betons ($\alpha_c = 0,85$, $\gamma_c = 1,5$)

C20/25: $f_{\text{cd}} = 1,13$	C30/37: $f_{\text{cd}} = 1,7$
C25/30: $f_{\text{cd}} = 1,42$	C35/45: $f_{\text{cd}} = 1,98$
C40/50: $f_{\text{cd}} = 2,27$	C45/55: $f_{\text{cd}} = 2,55$
C50/60: $f_{\text{cd}} = 2,83$	C55/67: $f_{\text{cd}} = 3,11$
C60/75: $f_{\text{cd}} = 3,40$	

γ_M : [] Sicherheitsbeiwert. $\gamma_M = 1,5$

^{*1} $h = h_{\text{red}}$ wenn die Querschnittshöhe h (in z-Richtung) größer als b ist und ein getrennter Nachweis infolge zweiachsiger Biegung geführt werden darf.
^{*2} $b = b_{\text{red}}$ wenn die Querschnittshöhe h (in z-Richtung) kleiner als b ist und ein getrennter Nachweis infolge zweiachsiger Biegung geführt werden darf.

11.3 Rechteckförmige Druckglieder mit zweiachsiger Ausmitte

1.) Schlankheit

Rechteckstütze:

$$i_y = 0,289 \cdot h \text{ [cm]}$$

$$i_z = 0,289 \cdot b \text{ [cm]}$$

Allgemein:

$$i = \sqrt{\frac{I_{\text{col}}}{A_{\text{col}}}} \text{ [m]}$$

Schlankheit für Biegung um y-Achse:

$$\lambda_y = \frac{L_{0,z}}{i_y} \text{ []}$$

Schlankheit für Biegung um z-Achse:

$$\lambda_z = \frac{L_{0,y}}{i_z} \text{ []}$$

Hinweis:

- nach EC2 zeigt die y-Achse in Richtung der Querschnittshöhe h. Demnach müsste i_y für eine Rechteckstütze wie folgt berechnet werden: $i_y = 0,289 \cdot b$. Da für einen normalen Träger die Querschnittshöhe parallel zur z-Achse definiert ist, werden die oberen Formeln verwendet. Die Koordinatenachsen aus Bild 5.8 sind in diesem Fall um 90° gedreht.

- Bei Rundstützen $M_{\text{res}} = \sqrt{M_y^2 + M_z^2}$

b: [m] Querschnittsbreite

h: [m] Querschnittshöhe

I_{col} : [m⁴] Flächenträgheitsmoment der Stütze.

A_{col} : [m²] Querschnittsfläche der Stütze

$L_{0,z}$: [m] Knicklänge der Stütze in z-Richtung.

$L_{0,y}$: [m] Knicklänge der Stütze in y-Richtung.

i: [m] Trägheitsradius des Stützenquerschnitts

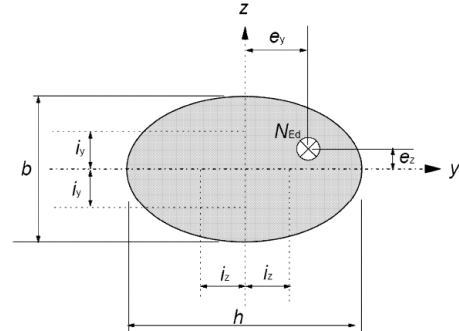


Bild 5.8 — Definition der Lastausmitten e_y und e_z

2.) Überprüfung ob getrennter NW möglich

1. Bedingung:

$$\frac{\lambda_y}{\lambda_z} \leq 2 \quad \text{und} \quad \frac{\lambda_z}{\lambda_y} \leq 2$$

2. Bedingung:

Wenn h parallel zur z-Achse gewählt wurde:

$$\frac{e_{0,y}}{b_{\text{eq}}} \leq 0,2 \quad \text{oder} \quad \frac{e_{0,z}}{e_{0,y}} \leq 0,2$$

Nach Definition im EC2:

$$\frac{e_{0,y}}{h_{\text{eq}}} \leq 0,2 \quad \text{oder} \quad \frac{e_{0,z}}{e_{0,y}} \leq 0,2$$

Hinweis:

- Wenn beide Bedingungen eingehalten sind, kann der Nachweis getrennt für Knicken um die y-Achse und Knicken um die z-Achse geführt werden. Siehe „Druckglieder mit einachsiger Biegung“.
- Wenn eine der Bedingungen nicht eingehalten ist, muss der Nachweis der schiefen Biegung als Interaktion geführt werden.
Alternativ: Diagramm Schmitz & Goris

h_{eq} : [m]

Rechteckquerschnitt. $h_{\text{eq}} = h$

allgemein: $h_{\text{eq}} = i_z \cdot \sqrt{12}$ (wenn h parallel zur z-Achse: $h_{\text{eq}} = i_y \cdot \sqrt{12}$)

b_{eq} : [m]

Rechteckquerschnitt. $b_{\text{eq}} = b$

allgemein: $b_{\text{eq}} = i_y \cdot \sqrt{12}$ (wenn b parallel zur y-Achse: $b_{\text{eq}} = i_z \cdot \sqrt{12}$)

e_y : [m]

Lastausmitte in Richtung der y-Achse

e_z : [m]

Lastausmitte in Richtung der z-Achse

$e_{0,y}$: [m]

resultierende Lastausmitte in Richtung der y-Achse: $e_{0,y} = \frac{M_{\text{Ed},z}}{N_{\text{Ed}}}$

$e_{0,z}$: [m]

resultierende Lastausmitte in Richtung der z-Achse: $e_{0,z} = \frac{M_{\text{Ed},y}}{N_{\text{Ed}}}$

$M_{\text{Ed},y}$: [KNm]

Bemessungsmoment um die y-Achse

Kragstütze: $M_{\text{Ed},y} = N_{\text{Ed}} \cdot e_z + H_{\text{Ed},z} \cdot l_{\text{col}}$

$M_{\text{Ed},z}$: [KNm]

Bemessungsmoment um die z-Achse

Kragstütze: $M_{\text{Ed},z} = N_{\text{Ed}} \cdot e_y + H_{\text{Ed},y} \cdot l_{\text{col}}$

$H_{\text{Ed},z}$: [kN]

Horizontalkraft in z-Richtung

$H_{\text{Ed},y}$: [kN]

Horizontalkraft in y-Richtung

3.) Diagramm Schmitz & Goris für zweiachsige Biegung

Eingangswerte

!! Theorie 2.Ordnung ist in dem Nomogramm nicht berücksichtigt!!

$$\mu_{Ed,y} = \frac{M_{Ed,y} \cdot 100}{h^2 \cdot b \cdot f_{cd}} \quad []$$

$$\mu_{Ed,z} = \frac{M_{Ed,z} \cdot 100}{h \cdot b^2 \cdot f_{cd}} \quad []$$

$$\mu_1 = \max \{ \mu_{Ed,y}, \mu_{Ed,z} \}$$

$$\mu_2 = \min \{ \mu_{Ed,y}, \mu_{Ed,z} \}$$

$$\nu_{Ed} = \frac{N_{Ed}}{h \cdot b \cdot f_{cd}} \quad []$$

Interpolation: (wenn ν_{Ed} zwischen zwei Werten liegt)

$$A_{s,tot} = \omega \cdot b \cdot h \cdot \frac{f_{cd}}{f_{yd}} \quad [cm^2] \leq A_{s,gew.}$$

Falls $A_{s,tot} > A_{s,gew.}$ → neues A_s wählen

$M_{Ed,y}$: [KNm] Moment um die y-Achse

$$M_{Ed,y} = N_{Ed} \cdot (e_{0,z} + e_{i,z} + e_{2,z})$$

$M_{Ed,z}$: [KNm] Moment um die z-Achse

$$M_{Ed,z} = N_{Ed} \cdot (e_{0,y} + e_{i,y} + e_{2,y})$$

N_{Ed} : [KN] Normalkraft in der Stütze

$e_{0,y}$: [m] resultierende Lastausmitte in Richtung der y-Achse. → siehe oben

$e_{0,z}$: [m] resultierende Lastausmitte in Richtung der z-Achse. → siehe oben

$e_{i,z}$: [m] Exzentrizität in z-Richtung infolge Imperfektionen.

→ siehe NW Druckglieder mit einachsiger Biegung

$e_{i,y}$: [m] Exzentrizität in y-Richtung infolge Moment Th. 2.O.

→ siehe NW Druckglieder mit einachsiger Biegung

$e_{2,z}$: [m] Exzentrizität in z-Richtung infolge Imperfektionen.

→ siehe NW Druckglieder mit einachsiger Biegung

$e_{2,y}$: [m] Exzentrizität in y-Richtung infolge Moment Th. 2.O.

→ siehe NW Druckglieder mit einachsiger Biegung

h : [cm] Querschnittshöhe

b : [cm] Querschnittsbreite

f_{cd} : [KN/cm²] Zylinderdruckfestigkeit des Betons ($\alpha_c = 0,85$, $\gamma_c = 1,5$)

C20/25: $f_{cd} = 1,13$ C25/30: $f_{cd} = 1,42$ C30/37: $f_{cd} = 1,7$

C35/45: $f_{cd} = 1,98$ C40/50: $f_{cd} = 2,27$ C45/55: $f_{cd} = 2,55$

C50/60: $f_{cd} = 2,83$ C55/67: $f_{cd} = 3,11$ C60/75: $f_{cd} = 3,40$

11.4 Konstruktive Regelungen für Stützen

11.5 Mindestbewehrung

$$A_{s,min} = \frac{0,15 \cdot |N_{Ed}|}{f_{yd}} \quad [cm^2]$$

N_{Ed} : [KN] Normalkraft in der Stütze

f_{yd} : [KN/cm²] Streckgrenze des Stahls. $f_{yd} = 43,5$

11.6 Maximalbewehrung

$$A_{s,max} = 0,09 \cdot A_c \quad [cm^2]$$

A_c : [cm²] Betonquerschnittsfläche

11.7 Stützenabmessungen

Ortbetonbauweise: Seitenlänge ≥ 200 mm

Fertigteilstützen: Seitenlänge ≥ 120 mm

11.8 Bewehrungsregeln:

- $\min \varnothing_{sl} = 12$ mm
- $\varnothing_{s,bü} \geq 0,25 \cdot \varnothing_{sl}$ und $\varnothing_{s,bü} \geq 6$ mm
- $\max s_{bü} = \min \begin{cases} 12 \cdot \varnothing_{sl} \\ \min h_{col} \\ 300$ mm
- Längsstäbe, deren Abstand $> 15 \cdot \varnothing_{s,bü}$ von einem Bügelschenkel ist, müssen durch zusätzliche Querbewehrung gesichert werden.
- Der maximale Abstand der Querbewehrung beträgt: $2 \cdot s_{Bü}$.
- Bei Rundstützen mindestens 6 Stäbe.
- Bei polygonalen Querschnitten mindestens 1 Stab je Ecke.

$\max s_{bü}$: maximaler Bügelabstand, [$\max s_{Bü}$] = mm

12 Bemessen von Wänden

1.) Zentrischer Druck, keine Tragwerksverformungen

$$n_{Rd} = - (a_c \cdot f_{cd} + a_{s,tot} \cdot f_{yd}) \text{ [KN/m]}$$

a_c : [cm²/m] Betonquerschnitt = $h_w \cdot 100$
 h_w : [cm] Wanddicke
 $a_{s,tot}$: [cm²/m] Lotrechte Bewehrung
 f_{yd} : [KN/cm²] Streckgrenze von Betonstahl = 43,5

2.) Zentrischer Druck, Gefahr des Ausknicken

$$\lambda = \frac{L_0}{i} \text{ []}$$

Hinweis:

- Bei zweiseitig gehaltenen Wänden, die am Kopf und Fußpunkt biegesteif angeschlossen sind, darf der β -Wert aus Tabelle 12.1 mit dem Faktor 0,85 abgemindert werden.

L_0 : [cm] Knicklänge = $\beta \cdot L_{col}$
 L_{col} : [cm] Stützenlänge
 β : [] Knicklängenbeiwert → siehe Tab. 12.1
 i : [cm] Trägheitsradius
 Rechteckquerschnitt: $i = 0,289 \cdot h_w$
 h_w : [cm] Wanddicke

Tabelle 12.1 — Werte für β bei verschiedenen Randbedingungen

Lagerungsbedingungen	Zeichnung	Gleichung	Faktor β	
Zweiseitig gehalten			$\beta = 1,0$ für alle Verhältnisse von l_w/b	
Dreiseitig gehalten		$\beta = \frac{1}{1 + \left(\frac{l_w}{3b}\right)^2}$	b/l_w	β
Vierseitig gehalten		Wenn $b \geq l_w$ $\beta = \frac{1}{1 + \left(\frac{l_w}{b}\right)^2}$	0,2	0,26
			0,4	0,59
		Wenn $b < l_w$ $\beta = \frac{b}{2l_w}$	0,6	0,76
			0,8	0,85
			1,0	0,90
			1,5	0,95
			2,0	0,97
			5,0	1,00

Ⓐ — Deckenplatt

Ⓑ — Freier Rand

Ⓒ — Querwand

Abbildung 35: [4]

3.) Konstruktive Regelungen für Wände:

Mindestbewehrung je Wandseite:

$$A_{s,min} = \max \left\{ \begin{array}{l} 0,15 \cdot \frac{N_{Ed}}{f_{yd}} \text{ [cm}^2\text{]} \\ 0,0015 \cdot A_c \text{ [cm}^2\text{]} \end{array} \right.$$

Maximalbewehrung:

$$A_{s,max} \leq 0,04 \cdot A_c \text{ [cm}^2\text{]}$$

A_c : [cm²] Betonquerschnittsfläche

13 Bemessen von Fundamenten

13.1 Unbewehrtes Streifenfundament

1.) Anwendungsgrenze	
$\frac{h_f}{a} \geq 2 \rightarrow$ Fundament darf ohne weiteren NW unbewehrt ausgeführt werden. wenn $\frac{0,85 \cdot h_f}{a} \geq \sqrt{\frac{3 \cdot \sigma_{gd}}{f_{ctd}}}$ und $\frac{h_f}{a} \geq 1,0$ \rightarrow Fundament darf unbewehrt ausgeführt werden. s. DIN EN 1992-1-1; 12.9.3 (1) + (2)	h_f : [m] Höhe des Streifenfundamentes a : [m] Kragarmlänge; = $(b - h_{st}) \cdot 0,5$ σ_{gd} : [MN/m ²] Bemessungswert des Sohldrucks $\sigma_{gd} = p_{Ed}/(1,0 \cdot b)$ f_{ctd} : [N/mm ²] Bemessungswert der Betonzugfestigkeit $f_{ctd} = (\alpha_{ct} \cdot f_{ctk;0,05})/\gamma_c$ ($\alpha_{ct} = 0,85; \gamma_c = 1,5$) C16/20: $f_{ctd} = 0,74$ N/mm ² C20/25: $f_{ctd} = 0,85$ N/mm ² C25/30: $f_{ctd} = 1,02$ N/mm ² C30/37: $f_{ctd} = 1,13$ N/mm ² C35/45: $f_{ctd} = 1,25$ N/mm ²
2.) Biegebemessung	
Biegemoment	
$M_{Ed} = \sigma_{gd} \cdot \frac{a^2}{2}$ [MNm/m]	σ_{gd} : [MN/m ²] Bemessungswert des Sohldrucks; $\sigma_{gd} = p_{Ed}/(1,0 \cdot b_x)$ b_x : [m] Breite des Fundamentes quer zum Streifen a : [m] Kragarmlänge; = $(b - h_{st}) \cdot 0,5$
Widerstandsmoment	
$W = b_y \cdot \frac{(0,85 \cdot h_f)^2}{6}$ [m ³ /m] Hinweis: Reduzierung auf 0,85 da Bernoulli nicht mehr gültig.	b_y : [m] Breite des Fundaments in Streifenrichtung Bei einem Streifenfundament: $b_y = 1,0m$ h_f : [m] Höhe des Streifenfundamentes
Spannung	
$\sigma = \frac{M_{Ed}}{W}$ [MN/m ²]	M_{Ed} : [MNm/m] Biegemoment; siehe oben W : [m ³ /m] Widerstandsmoment; siehe oben
Nachweis	
$\sigma \leq f_{ctd}$ alternativ: $h_f \geq a \cdot \tan \alpha$ mit: $\tan \alpha \geq \sqrt{\frac{3 \cdot \sigma_{gd}}{f_{ctd}}} \cdot \frac{1}{0,85}$	f_{ctd} : [N/mm ²] Bemessungswert der Betonzugfestigkeit $f_{ctd} = (\alpha_{ct} \cdot f_{ctk;0,05})/\gamma_c$ ($\alpha_{ct} = 0,85; \gamma_c = 1,5$) C16/20: $f_{ctd} = 0,74$ N/mm ² C20/25: $f_{ctd} = 0,85$ N/mm ² C25/30: $f_{ctd} = 1,02$ N/mm ² C30/37: $f_{ctd} = 1,13$ N/mm ² C35/45: $f_{ctd} = 1,25$ N/mm ²
3.) Querkraftbemessung (Annahme Beton ungerissen)	
Einwirkungen	
$\sigma_{cp} = \frac{N_{Ed}}{A_{cc}}$ [MN/m ²] $\sigma_{gd} = p_{Ed}/(1,0 \cdot b)$ [MN/m ²] $V_{Ed} = \sigma_{gd} \cdot a \cdot b_y$ [MN] $T_{cp} = k \cdot \frac{V_{Ed}}{A_{cc}}$ [MN/m ²]	N_{Ed} : [MN] Normalkraft im Querschnitt (Bei Streifenfundament: N_{Ed} i.d.R. = 0) V_{Ed} : [MN] Querkraft im Querschnitt; a : [cm] Kragarmlänge; = $(b - h_{st}) \cdot 0,5$ σ_{gd} : [MN/m ²] Bemessungswert des Sohldrucks A_{cc} : [m ²] Betondruckzone; = $h/2 \cdot b_y$ (Zustand 1 und reine Biegebeanspruchung) b_y : [m] Breite des Fundaments in Streifenrichtung Bei einem Streifenfundament: $b_y = 1,0m$ k : [] Beiwert für vorwiegend statische Schnittgrößen (ländersp.) Streifenfundament (Rechteckquerschnitt): $k = 1,5$; allgemein: $k = \frac{S \cdot A_{cc}}{b_w \cdot J}$
Bemessungswerte der Spannungen s. DIN EN 1992-1-1; 12.6.3(2)	
$\sigma_{c,lim} = f_{cd,pl} - 2 \cdot \sqrt{f_{ctd,pl} \cdot (f_{ctd,pl} + f_{cd,pl})}$ [N/mm ²] wenn $\sigma_{cp} \leq \sigma_{c,lim}$: $f_{cvd} = \sqrt{f_{ctd,pl}^2 + \sigma_{cp} \cdot f_{ctd,pl}}$ [N/mm ²] wenn $\sigma_{cp} \geq \sigma_{c,lim}$: $f_{cvd} = \sqrt{f_{ctd,pl}^2 + \sigma_{cp} \cdot f_{ctd,pl} - \left(\frac{\sigma_{cp} - \sigma_{c,lim}}{2}\right)^2}$ [N/mm ²]	$f_{cd,pl}$: [N/mm ²] Bemessungswert der Betondruckfestigkeit $f_{cd,pl} = \alpha_{ccpl} \cdot \frac{f_{ck}}{\gamma_c}$ ($\alpha_{ccpl} = 0,7; \gamma_c = 1,5$) C16/20: $f_{cd,pl} = 7,47$ N/mm ² C20/25: $f_{cd,pl} = 9,33$ N/mm ² C25/30: $f_{cd,pl} = 11,67$ N/mm ² C30/37: $f_{cd,pl} = 14,0$ N/mm ² C35/45: $f_{cd,pl} = 16,33$ N/mm ² $f_{ctd,pl}$: [N/mm ²] Bemessungswert der Betonzugfestigkeit $f_{ctd,pl} = \alpha_{ctpl} \cdot \frac{f_{ctk;0,05}}{\gamma_c}$ ($\alpha_{ctpl} = 0,7; \gamma_c = 1,5$) C16/20: $f_{ctd,pl} = 0,61$ N/mm ² C20/25: $f_{ctd,pl} = 0,70$ N/mm ² C25/30: $f_{ctd,pl} = 0,84$ N/mm ² C30/37: $f_{ctd,pl} = 0,93$ N/mm ² C35/45: $f_{ctd,pl} = 1,03$ N/mm ²
Nachweis	
$T_{cp} \leq f_{cvd}$ und $\sigma_{cp} \leq \sigma_{c,lim}$	

13.2 Bemessung bewehrtes Streifenfundament – mittig belastet

1.) Dimensionierung

Vorgehen:

1. erf. $b \approx \frac{n_k}{\sigma_{zul}}$ [m]

2. Höhe bestimmen. Dabei soll a/h kleiner als 2 sein

3. $\sigma_{g,Fund.,k} = h \cdot 25$ [KN/m²]

4. erf. $b = \frac{n_k}{\sigma_{zul} - \sigma_{g,Fund.,k}}$ [m]

2.) Biegebemessung

Belastung

$n_d = 1,35 \cdot n_{gk} + 1,5 \cdot n_{qk}$ [KN/m]

oder wenn nur eine Last n_k gegeben ist: $n_d = 1,35 \cdot n_{gk} \cdot \frac{2}{3} + 1,5 \cdot n_{qk} \cdot \frac{1}{3}$
[KN/m]

Spannungsermittlung:

$\sigma_d = \frac{n_d}{A}$ [KN/m²]

σ_d : [KN/m²] Bodenpressung im GZT, ohne Fundamenteigengewicht
 n_d : [KN/m] Balastung; bei Einzellasten $n_d = P_{Ed}/x$
 x : [m] Abstand der Stützen
 A : [m²/m] Aufstandsfläche des Fundamentes

Bemessungsmomente

bindiger Baugrund: $m_{Ed1} \approx \frac{\sigma_d \cdot b^2}{8}$ [KNm/m] (Moment bezogen auf die Mittelachse)

nichtbindiger Baugrund: $m_{Ed2} \approx \frac{\sigma_d \cdot a^2}{2}$ [KNm/m] (Moment bezogen auf Stützenanschnitt)

b : [m] Breite des Fundamentes
 a : [m] Abstand zwischen Fundamentkante und Stützenkante

k_d -Verfahren

$k_d = \frac{d}{\sqrt{m_{Ed}}}$ []

k_s -Wert ablesen $\rightarrow a_s = k_s \cdot \frac{m_{Ed}}{d}$ [cm²/m]

d : [cm] statische Nutzhöhe
 m_{Ed} : [KNm/m] Biegemoment

3.) Querkraftbemessung Streifenfundament – mittig belastet

Allgemein

Die Höhe des Fundamentes sollte so gewählt werden, dass keine Querkraftbewehrung erforderlich wird.

Bemessungswert:

$$V_{Ed,red} = \sigma_d \cdot (a - d) \quad [\text{KN/m}]$$

a: [m] Überstand des Fundamentes
d: [m] statische Nutzhöhe des Fundamentes
 σ_d : [KN/m²] Sohlspannung (siehe Biegebemessung)

Einfluss der Bauteilhöhe:

$$k = \min \left\{ \begin{array}{l} 1 + \sqrt{\frac{200}{d}} \\ 2 \end{array} \right.$$

d: [mm] statische Nutzhöhe des Streifenfundamentes

Längsbewehrungsgrad:

$$\rho_l = \frac{a_{sl}}{b_w \cdot d} \leq 0,02$$

a_{sl} : [cm²/m] Hauptbewehrung (quer zum Streifenfundament)
 b_w : [cm] kleinste Querschnittsbreite in der Zugzone
bei Streifenfundament: $b = 100\text{cm}$
d: [cm] statische Nutzhöhe des Streifenfundamentes

Querkraftwiderstand (s. DIN EN 1992-1-1; 6.2.2)

Beiwert x

wenn $d \leq 600\text{mm} \rightarrow x = 0,0525$
wenn $600\text{mm} < d < 800\text{mm} \rightarrow$ Interpolation: $x = 0,0975 - 0,075 \cdot d_{\text{vorh.}}$
wenn $d > 800\text{mm} \rightarrow x = 0,0375$

d: [m] statische Nutzhöhe des Streifenfundamentes

Grundwert der Querkrafttragfähigkeit

$$V_{Rd,c} = \left[\frac{0,15}{\gamma_c} \cdot k \cdot \sqrt[3]{100 \cdot \rho_l \cdot f_{ck}} - 0,12 \cdot \sigma_{cp} \right] \cdot b_w \cdot d \quad [\text{MN/m}]$$

γ_c : [] Sicherheitsbeiwert = 1,5
k: [] Einfluss der Bauteilhöhe; siehe oben
 f_{ck} : [N/mm²] Betondruckfestigkeit
 σ_{cp} : [N/mm²] Zugspannung im Beton (i.d.R. = 0)
Betonzugspannungen sind negativ einzusetzen.
 b_w : [m/m] kleinste Querschnittsbreite in der Zugzone
bei Streifenfundament: $b_w = 1,0\text{m/m}$
d: [m] statische Nutzhöhe

Mindestwert der Querkrafttragfähigkeit

$$V_{\min} = \frac{x}{\gamma_c} \cdot k \cdot \sqrt{k \cdot f_{ck}} \quad [\text{MN/m}^2]$$

$$V_{Rd,c,\min} = (V_{\min} + k_1 \cdot \sigma_{cp}) \cdot b_w \cdot d \quad [\text{MN/m}]$$

γ_c : [] Sicherheitsbeiwert = 1,5
k: [] Einfluss der Bauteilhöhe; siehe oben
 f_{ck} : [N/mm²] Betondruckfestigkeit
 b_w : [m/m] kleinste Querschnittsbreite in der Zugzone
bei Streifenfundament: $b_w = 1,0\text{m/m}$
d: [m] statische Nutzhöhe des Streifenfundamentes
 V_{\min} : [MN/m²]
 k_1 : [] = 0,12

Maßgebende Querkrafttragfähigkeit

$$\text{maß } V_{Rd,c} = \max \left\{ \begin{array}{l} V_{Rd,c} \quad [\text{MN/m}] \\ V_{Rd,c,\min} \quad [\text{MN/m}] \end{array} \right.$$

Nachweis

$V_{Ed} \leq \text{maß } V_{Rd,c} \rightarrow$ keine Querkraftbewehrung erforderlich

$V_{Ed} > \text{maß } V_{Rd,c} \rightarrow$ Querkraftbewehrung erforderlich. Weiter mit

Ermittlung der Querkraftbewehrung (s. DIN EN 1992-1-1; 6.2.3)

Innerer Hebelarm

$z = \min \left\{ \begin{array}{l} 0,9 \cdot d \text{ [cm]} \\ \max \{ d - 2 \cdot c_{v,l} ; d - c_{v,l} - 3 \} \text{ [cm]} \end{array} \right.$	z: [cm] innerer Hebelarm bei Bauteil mit konstanter Höhe d: [cm] statische Nutzhöhe c _{v,l} : [cm] Verlegemaß der Längsbewehrung in der Betondruckzone
---	---

V_{Rd,cc}

Für $\sigma_{cd} = 0$: $V_{Rd,cc} = c \cdot 0,48 \cdot \sqrt[3]{f_{ck}} \cdot b_w \cdot z \cdot 0,1 \text{ [KN/m]}$	c: [] = 0,5 f _{ck} : [N/mm ²] charakteristische Betondruckfestigkeit σ _{cd} : [N/mm ²] Spannung aus Längskraft infolge Last oder Vorspannung = N _{Ed} /A _c (i.d.R.: σ _{cd} = 0) f _{cd} : [N/mm ²] Betondruckfestigkeit b _w : [cm] kleinste Querschnittsbreite zwischen Bewehrungsschwerpunkt und der Druckresultierenden. für Streifenfundament: b _w = 100cm z: [cm] innerer Hebelarm; siehe oben
Für $\sigma_{cd} \neq 0$: $V_{Rd,cc} = c \cdot 0,48 \cdot \sqrt[3]{f_{ck}} \cdot \left(1 - 1,2 \cdot \frac{\sigma_{cd}}{f_{cd}} \right) \cdot b_w \cdot z \cdot 0,1 \text{ [KN/m]}$	

Neigungswinkel der Druckstrebe

$\cot \vartheta = \frac{1,2 + 1,4 \cdot \frac{\sigma_{cd}}{f_{cd}}}{1 - \frac{V_{Rd,cc}}{V_{Ed}}} \text{ []}$ <p>1,0 ≤ cot ϑ ≤ 3,0 Hinweis: bei geeigneter Querkraftbewehrung: 0,58 ≤ cot ϑ ≤ 3,0</p> <p>vereinfacht: cot ϑ = 1,2 für Biegung/ Biegung + Druckkraft cot ϑ = 1,0 für Biegung + Zugkraft</p>	σ _{cd} : [N/mm ²] Spannung aus Längskraft infolge Last oder Vorspannung = N _{Ed} /A _c (i.d.R.: σ _{cd} = 0) f _{cd} : [N/mm ²] Betondruckfestigkeit V _{Rd,cc} : [KN/m] siehe oben V _{Ed} : [KN/m] Maximalwert der einwirkenden Querkraft Bei mittig belastetem Streifenfundament: V _{Ed} = n _d /2
--	--

Beiwerte (s. DIN EN 1992-1-1 NA; 6.2.3(3))

$\alpha_{cw} = 1,0$ $v_2 = 1,0 \text{ für } \leq C50/60$ $v_2 = \left(1,1 - \frac{f_{ck}}{500} \right) \text{ für } \geq C55/67$ $v_1 = 0,75 \cdot v_2 \text{ []}$	α _{cw} : [] Beiwert zur Berücksichtigung des Spannungszustands im Druckgurt. v ₁ : [] Abminderungsbeiwert für die Betonfestigkeit bei Schubrisen f _{ck} : [N/mm ²] charakteristische Betondruckfestigkeit
---	--

Maximal aufnehmbare Querkraft

$\alpha = 90^\circ: V_{Rd,max} = \alpha_{cw} \cdot b_w \cdot z \cdot v_1 \cdot f_{cd} \cdot \frac{1}{\cot \vartheta + \frac{1}{\cot \vartheta}} \text{ [KN/m]}$	α _{cw} : [] Beiwert; siehe oben b _w : [cm] kleinste Querschnittsbreite zwischen Bewehrungsschwerpunkt und der Druckresultierenden. für Streifenfundament: b _w = 100cm z: [cm] innerer Hebelarm; siehe oben v ₁ : [] Beiwert; siehe oben f _{cd} : [N/mm ²] Betondruckfestigkeit cot ϑ: [] Druckstrebenneigungswinkel α: [°] Winkel zwischen Querkraftbewehrung und Bauteilachse
$\alpha < 90^\circ: V_{Rd,max} = \alpha_{cw} \cdot b_w \cdot z \cdot v_1 \cdot f_{cd} \cdot \frac{\cot \vartheta + \frac{1}{\tan \alpha}}{1 + \cot^2 \vartheta} \text{ [KN/m]}$	
Nachweis: extr. V _{Ed} ≤ V _{Rd,max} → Druckstrebe versagt nicht	

Erforderliche Bewehrung

$\alpha = 90^\circ: a_{sw,erf.} \geq \frac{V_{Ed,red} \cdot s_w}{f_{ywd} \cdot z \cdot \cot \vartheta} \text{ [cm}^2\text{/m]}$	V _{Ed,red} : [KN/m] reduzierte Querkraft; siehe oben s _w : [m] Abstand der Querkraftbewehrung (vereinfacht 1,0 bzw. beim Fundament a-d = Lasteinzugsbereich) f _{ywd} : [KN/cm ²] Bemessungswert der Streckgrenze der Querkraftbewehrung. f _{ywd} = f _{yk} /γ _s (i.d.R.: f _{yk} = 50KN/cm ² ; γ _s = 1,15) z: [m] innerer Hebelarm; siehe oben cot ϑ: [] Druckstrebenneigungswinkel α: [°] Winkel zwischen Querkraftbewehrung und Bauteilachse
$\alpha < 90^\circ: a_{sw,erf.} \geq \frac{V_{Ed,red} \cdot s_w}{f_{ywd} \cdot z \cdot \left(\cot \vartheta + \frac{1}{\tan \alpha} \right) \cdot \sin \alpha} \text{ [cm}^2\text{/m]}$	

4.) Konstruktive Regelungen - Streifenfundament

die Biegebewehrung in Hauptrichtung liegt quer zur Streifenfundament und muss mit Winkelhaken verankert werden. Maximalabstand der Hauptbewehrung: s _h ≤ 25cm Längsbewehrung: a _{sl} = 0,2 · a _{sh} [cm ² /m]	a _{sl} : [cm ² /m] Längsbewehrung in Richtung des Streifenfundamentes a _{sh} : [cm ² /m] Hauptbewehrung quer zum Streifenfundament
---	---

13.3 Exzentrisch belastetes Streifenfundament

1.) Lastangriffspunkt	
$e_x = \frac{M_y}{N_{Ed}} \text{ [m]}$	M_y : [kNm] einwirkendes Moment um die y-Achse Wenn Stütze exzentrisch angreift: Moment um Fundamentachse bilden. N_{Ed} : [kN] einwirkende Normalkraft
2.) Spannungsverteilung	
keine klaffende Fuge ($e_x \leq b_x/6$)	
$\sigma_{1,d} = \frac{N_{Ed}}{b_x \cdot b_y} \cdot \left(1 - \frac{6 \cdot e_x}{b_x}\right) \text{ [kN/m}^2\text{]}$ $\sigma_{2,d} = \frac{N_{Ed}}{b_x \cdot b_y} \cdot \left(1 + \frac{6 \cdot e_x}{b_x}\right) \text{ [kN/m}^2\text{]}$ $\sigma_{w,d} = (\sigma_{2,d} - \sigma_{1,d}) \cdot \frac{a}{b_x} + \sigma_{1,d} \text{ [kN/m}^2\text{]}$ $\sigma_{m,d} = 0,5 \cdot (\sigma_{1,d} + \sigma_{2,d})$ $\Delta\sigma_d = \sigma_{2,d} - \sigma_{m,d} \text{ [kN/m}^2\text{]}$ Hinweis: Formeln gelten nur für + M_y , also wenn z.B. die Stütze exzentrisch auf der rechten Seite angeordnet ist.	
klaffende Fuge ($b_x/6 < e_x \leq b_x/3$)	
$\sigma_{2,d} = \frac{2 \cdot N_{Ed}}{3 \cdot b_y \cdot x_1} \text{ [kN/m}^2\text{]}$ $\sigma_{m,d} = \sigma_{2,d} \cdot \left(1 - \frac{1}{6} \cdot \frac{b_x}{x_1}\right) \text{ [kN/m}^2\text{]}$ $\Delta\sigma_d = \sigma_{2,d} - \sigma_{m,d} \text{ [kN/m}^2\text{]}$	
N_{Ed} : [kN] einwirkende Normalkraft b_x : [m] Breite des Fundamentes in x-Richtung b_y : [m] Breite des Fundamentes in y-Richtung e_x : [m] Exzentrizität; siehe oben x_1 : [m] Abstand zwischen Randspannung und R; $x_1 = b/2 - e_x$	
3.) Bemessungsmoment in Fundamentachse	
Allgemein: Momentengleichgewicht um Stützenachse (sichere Seite) oder Stützenkante durch Spannungsintegration Moment in Fundamentachse: (sichere Seite) $M_{Ed,y} = b_x^2 \cdot \left[\frac{1}{8} \cdot \sigma_{m,d} + \frac{1}{12} \cdot \Delta\sigma_d\right] \text{ [kNm/m]}$ Hinweis: ergibt sich aus ΣM um Fundamentachse gilt auch bei klaffender Fuge Moment an linker Wandkante: $M_{Ed,y} = \sigma_{1,d} \cdot \frac{1}{2} \cdot (b_1)^2 + (\sigma_{w,d} - \sigma_{1,d}) \cdot \frac{1}{6} \cdot (b_1)^2 \text{ [kNm/m]}$ Hinweis: gilt nicht bei klaffender Fuge	$\sigma_{1,d}$: [kN/m ²] Spannung am linken Fundamentrand $\sigma_{2,d}$: [kN/m ²] Spannung am rechten Fundamentrand $\sigma_{w,d}$: [kN/m ²] Spannung an der Stützenkante $\sigma_{m,d}$: [kN/m ²] Spannung in Fundamentachse; siehe oben b_1 : [m] Fundamentüberstand auf der linken Seite
4.) Biegebemessung	
kd-Verfahren	
$k_d = \frac{d_m}{\sqrt{\frac{M_d}{b}}}$ $a_s = k_s \cdot \frac{M_d}{d_m} \text{ [cm}^2\text{/m]}$	d_m : [cm] statische Nutzhöhe des Fundamentes $d_m = 0,5 \cdot (d_x + d_y) \text{ [cm]}$ M_d : [kNm] bei unterschiedlichen Momenten ist das größere Moment maßgebend b : [m]

5.) Querkraftbemessung eines exzentrisch belasteten Streifenfundamentes

Bodenpressung an der Stelle der maßgebenden Querkraft

Wenn Stütze exzentrisch auf der rechten Seite steht:

$$\sigma_{x,d} = \frac{(\sigma_{w,d} - \sigma_{1,d})}{a} \cdot (a - d) + \sigma_{1,d} \quad [\text{MN/m}^2]$$

Wenn Stütze mittig angreift:

$$\sigma_{x,d} = \frac{(\sigma_{w,d} - \sigma_{1,d})}{a} \cdot (a - d) + \sigma_{1,d} \quad [\text{MN/m}^2]$$

Hinweis: die Spannung befindet sich im Abstand d vom Stützenrand

$\sigma_{w,d}$: [MN/m²] Sohlspannung am Stützen-/Wandrand
 $\sigma_{1,d}$: [MN/m²] Sohlspannung am linken Fundamentrand
 a: [m] Überstand des Fundamentes
 d: [m] statische Nutzhöhe des Fundamentes

Bemessungswert:

$$V_{Ed,red} = \frac{\sigma_{1,d} + \sigma_{x,d}}{2} \cdot (a - d) \quad [\text{MN/m}]$$

a: [m] Überstand des Fundamentes
 d: [m] statische Nutzhöhe des Fundamentes

Einfluss der Bauteilhöhe:

$$k = \min \left\{ \begin{array}{l} 1 + \sqrt{\frac{200}{d}} \\ 2 \end{array} \right.$$

d: [mm] statische Nutzhöhe des Streifenfundamentes

Längsbewehrungsgrad:

$$\rho_l = \frac{a_{sl}}{b_w \cdot d} \leq 0,02$$

a_{sl} : [cm²/m] Hauptbewehrung (quer zum Streifenfundament)
 b_w : [cm] kleinste Querschnittsbreite in der Zugzone
 bei Streifenfundament: $b = 100\text{cm}$
 d: [cm] statische Nutzhöhe des Streifenfundamentes

Querkraftwiderstand (s. DIN EN 1992-1-1; 6.2.2)

Beiwert x

wenn $d \leq 600\text{mm} \rightarrow x = 0,0525$
 wenn $600\text{mm} < d < 800\text{mm} \rightarrow$ Interpolation: $x = 0,0975 - 0,075 \cdot d_{\text{vorh}}$
 wenn $d > 800\text{mm} \rightarrow x = 0,0375$

d: [m] statische Nutzhöhe des Streifenfundamentes

Grundwert der Querkrafttragfähigkeit

$$V_{Rd,c} = \left[\frac{0,15}{\gamma_c} \cdot k \cdot \sqrt[3]{100 \cdot \rho_l \cdot f_{ck}} - 0,12 \cdot \sigma_{cp} \right] \cdot b_w \cdot d \quad [\text{MN/m}]$$

γ_c : [] Sicherheitsbeiwert = 1,5
 k: [] Einfluss der Bauteilhöhe; siehe oben
 f_{ck} : [N/mm²] Betondruckfestigkeit
 σ_{cp} : [N/mm²] Zugspannung im Beton (i.d.R. = 0)
 Betonzugspannungen sind negativ einzusetzen.
 b_w : [m/m] kleinste Querschnittsbreite in der Zugzone
 bei Einzelfundament: $b_w = 1,0\text{m}$
 d: [m] statische Nutzhöhe

Mindestwert der Querkrafttragfähigkeit

$$V_{min} = \frac{x}{\gamma_c} \cdot k \cdot \sqrt{k \cdot f_{ck}} \quad [\text{MN/m}^2]$$

$$V_{Rd,c,min} = (V_{min} + k_1 \cdot \sigma_{cp}) \cdot b_w \cdot d \quad [\text{MN/m}]$$

γ_c : [] Sicherheitsbeiwert = 1,5
 k: [] Einfluss der Bauteilhöhe; siehe oben
 f_{ck} : [N/mm²] Betondruckfestigkeit
 b_w : [m/m] kleinste Querschnittsbreite in der Zugzone
 bei Einzelfundament: $b_w = 1,0\text{m/m}$
 d: [m] statische Nutzhöhe des Streifenfundamentes
 V_{min} : [MN/m²]
 k_1 : [] = 0,12

Maßgebende Querkrafttragfähigkeit

$$\text{maß } V_{Rd,c} = \max \left\{ \begin{array}{l} V_{Rd,c} \quad [\text{MN/m}] \\ V_{Rd,c,min} \quad [\text{MN/m}] \end{array} \right.$$

Nachweis

$V_{Ed} \leq \text{maß } V_{Rd,c} \rightarrow$ keine Querkraftbewehrung erforderlich

$V_{Ed} > \text{maß } V_{Rd,c} \rightarrow$ Querkraftbewehrung erforderlich.

6.) Konstruktive Regelungen – exzentrisch belastetes Streifenfundament

die Biegebewehrung in Hauptrichtung liegt quer zur Streifenfundament und muss mit Winkelhaken verankert werden.

Maximalabstand der Hauptbewehrung: $s_h \leq 25\text{cm}$

Längsbewehrung: $a_{sl} = 0,2 \cdot a_{sh}$ [cm²/m]

a_{sl} : [cm²/m] Längsbewehrung in Richtung des Streifenfundamentes
 a_{sh} : [cm²/m] Hauptbewehrung quer zum Streifenfundament

13.4 Biegebemessung Einzelfundament – mittig belastet

1.) Fundamentabmessungen für quadratisches Einzelfundament					
$\sigma_{\text{netto}} = \sigma_{\text{zul}} - h \cdot 25 \text{ [kN/m}^2\text{]}$ erf. $A = N_k / \sigma_{\text{netto}}$ erf. $b \geq \sqrt{A}$					
2.) Bemessungsmoment s. Heft 240 (DAfStb)					
Gelenkige Verbindung von Stütze und Fundament $M_{\text{Ed},y} = 1/8 \cdot N_{\text{Ed}} \cdot (b_x - c_x) \text{ [kNm]}$ $M_{\text{Ed},x} = 1/8 \cdot N_{\text{Ed}} \cdot (b_y - c_y) \text{ [kNm]}$ Hinweis: Das Moment wird bezogen auf die Stützenmitte ermittelt.			N_{Ed} : [kN] Normalkraft; $N_{\text{Ed}} = \gamma_G \cdot N_{\text{G,k}} + \gamma_Q \cdot N_{\text{Q,k}}$ Wenn nur eine charakteristische Kraft gegeben: $N_{\text{Ed}} \approx \gamma_G \cdot 2/3 \cdot N_{\text{g,k}} + \gamma_Q \cdot 1/3 \cdot N_{\text{q,k}}$ b_x : [m] Breite des Einzelfundamentes in x-Richtung b_y : [m] Breite des Einzelfundamentes in y-Richtung c_x : [m] Breite der Stütze in x-Richtung c_y : [m] Breite der Stütze in y-Richtung		
Biegesteife Verbindung von Stütze und Fundament: $M_{\text{Ed},y} = 1/8 \cdot N_{\text{Ed}} \cdot b_x \cdot (1 - c_x/b_x)^2 \text{ [kNm]}$ $M_{\text{Ed},x} = 1/8 \cdot N_{\text{Ed}} \cdot b_y \cdot (1 - c_y/b_y)^2 \text{ [kNm]}$ Hinweis: Das Moment wird bezogen auf den Stützenrand ermittelt.					
Hinweis: Bei unterschiedlichen Werten für c → mit dem maximalen Moment bemessen.					
3.) k_d -Verfahren					
$k_d = \frac{d_m}{\sqrt{\frac{\alpha \cdot M_d}{b}}}$ $A_s = k_s \cdot \frac{M_d}{d_m} \text{ [cm}^2\text{]}$			d_m : [cm] statische Nutzhöhe des Fundamentes $d_m = 0,5 \cdot (d_x + d_y) \text{ [cm]}$ M_d : [kNm] bei unterschiedlichen Momenten ist das größere Moment maßgebend b in [m] $\alpha \approx 1,5 \text{ bis } 2,0$		
Abgrenzung					
$c/b \begin{cases} < 0,3 \rightarrow \text{schlankes Fundament, weiter mit 0} \\ > 0,3 \rightarrow \text{gedrungenes Fundament, weiter mit 0} \end{cases}$					
Schlankes Fundament					
Abstufung der Bewehrung in 8 gleich breite Streifen (nach „Heft 240“ DAfStB)					
c/b	Anteile am Gesamtmoment in %				Summe in %
	Streifen 1	Streifen 2	Streifen 3	Streifen 4	
0,1	7	10	14	19	50
0,2	8	10	14	18	50
0,3	9	11	14	16	50
Gedrungenes Fundament					
→ gleichmäßige Anordnung der Biegezugbewehrung					
Mindestbiegemomente					
$m_{\text{Ed},x} = \eta_x \cdot V_{\text{Ed}} \text{ [KNm/m]}$ $m_{\text{Ed},y} = \eta_y \cdot V_{\text{Ed}} \text{ [KNm/m]}$ Hinweis zum Vorgehen: Mindestbiegemoment in k_d Formel einsetzen und Bewehrung ausrechnen. Dann mit gewählter Bewehrung vergleichen.			V_{Ed} : [kN] einwirkende Querkraft = Normalkraft in der Stütze η_x : [] Momentenbeiwert, siehe Anhang, Tabelle NA.6.1.1 η_y : [] Momentenbeiwert, siehe Anhang, Tabelle NA.6.1.1		

4.) Endverankerung s. DIN EN 1992-1-1, 9.8.2.2

Die zu verankernde Zugkraft beträgt:

$$F_s = R \cdot \frac{z_e}{z_i}$$

Falls die Verankerungslänge l_b in Bild 9.13 nicht ausreicht, muss der Zugstab nach oben abgebogen werden.

Wenn Aufbiegung erf.:

$L_{\text{Aufbieg.}} \geq 9 \cdot \varnothing$ ($5 \cdot \varnothing + 4 \cdot \varnothing$) für $\varnothing < 25\text{mm}$

$L_{\text{Aufbieg.}} \geq 12 \cdot \varnothing$ ($5 \cdot \varnothing + 7 \cdot \varnothing$) für $\varnothing \geq 25\text{mm}$

F_s : Zugkraft in der Bewehrung am Fundamentende, [F_s] = kN

z_e : äußere Hebelarm = Abstand zw. R und N_{Ed} , [z_e] = m

z_i : innere Hebelarm, vereinfacht: $z_i = 0,9 \cdot d$, [z_i] = m

x : Mindestwert, s. Bild 9.13, [x] = m

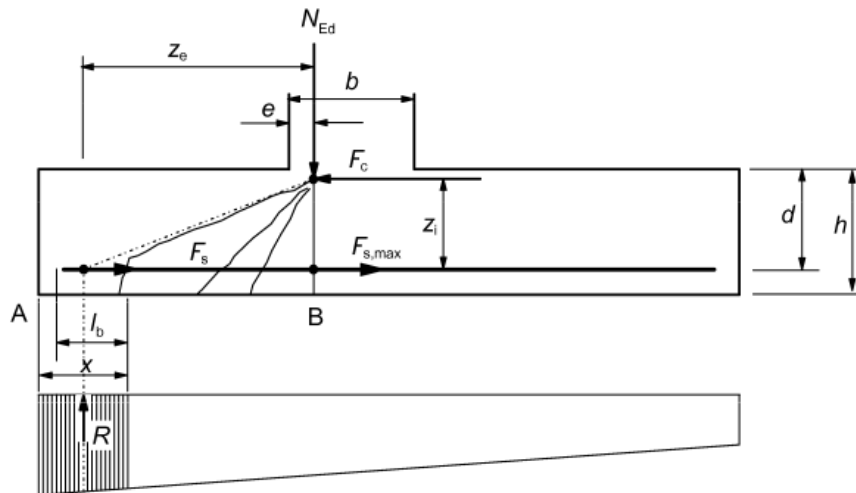


Bild 9.13 — Modell der Zugkraft unter Berücksichtigung geneigter Risse

13.5 Biegebemessung exzentrisch belastetes Einzelfundament

1.) Lastangriffspunkt	
$e_x = \frac{M_y}{N_{Ed}} \text{ [m]}$	M_y : [kNm] einwirkendes Moment um die y-Achse Wenn Stütze exzentrisch angreift: Moment um Fundamentachse bilden. N_{Ed} : [kN] einwirkende Normalkraft
2.) Spannungsverteilung	
keine klaffende Fuge ($e_x \leq b_x/6$)	
$\sigma_{1,d} = \frac{N_{Ed}}{b_x \cdot b_y} \cdot \left(1 - \frac{6 \cdot e_x}{b_x}\right) \text{ [kN/m}^2\text{]}$ $\sigma_{2,d} = \frac{N_{Ed}}{b_x \cdot b_y} \cdot \left(1 + \frac{6 \cdot e_x}{b_x}\right) \text{ [kN/m}^2\text{]}$ $\sigma_{w,d} = (\sigma_{2,d} - \sigma_{1,d}) \cdot \frac{a}{b_x} + \sigma_{1,d} \text{ [kN/m}^2\text{]}$ $\sigma_{m,d} = (\sigma_{2,d} - \sigma_{1,d}) \cdot 0,5 + \sigma_{1,d} \text{ [kN/m}^2\text{]}$ $\Delta\sigma_d = \sigma_{2,d} - \sigma_{m,d} \text{ [kN/m}^2\text{]}$ <p>Hinweis: Formeln gelten nur für +M_y, also wenn z.B. die Stütze exzentrisch auf der rechten Seite angeordnet ist.</p>	
klaffende Fuge ($b_x/6 < e_x \leq b_x/3$)	
$\sigma_{2,d} = \frac{2 \cdot N_{Ed}}{3 \cdot b_y \cdot x_1} \text{ [kN/m}^2\text{]}$ $\sigma_{m,d} = \sigma_2 \cdot \left(1 - \frac{1}{6} \cdot \frac{b_x}{x_1}\right) \text{ [kN/m}^2\text{]}$ $\Delta\sigma_d = \sigma_{2,d} - \sigma_{m,d} \text{ [kN/m}^2\text{]}$	<p>N_{Ed}: [kN] einwirkende Normalkraft b_x: [m] Breite des Fundamentes in x-Richtung b_y: [m] Breite des Fundamentes in y-Richtung e_x: [m] Exzentrizität; siehe oben x_1: [m] Abstand zwischen Randspannung und R; $x_1 = b/2 - e_x$</p>
3.) Bemessungsmoment in Fundamentachse	
<p>Allgemein: Momentengleichgewicht um Stützenachse (sichere Seite) oder Stützenkante durch Spannungsintegration</p> <p>Moment in Fundamentachse: (sichere Seite) $M_{Ed,y} = b_y \cdot b_x^2 \cdot \left[\frac{1}{8} \cdot \sigma_{m,d} + \frac{1}{12} \cdot \Delta\sigma_d \right] \text{ [kNm]}$ Hinweis: ergibt sich aus $\Sigma M_{,re}$ um Fundamentachse (nicht Stützenachse) Gilt auch bei klaffender Fuge. Bei einer ausmittig angeordneten Stütze wird diese in Fundamentachse verschoben und dafür ein Ersatzmoment aufgebracht.</p> <p>Alternativ Moment an Wandkante: $M_{Ed,y} = b_y \cdot \left[\sigma_{1,d} \cdot \frac{1}{2} \cdot (b_1)^2 + (\sigma_{w,d} - \sigma_{1,d}) \cdot \frac{1}{6} \cdot (b_1)^2 \right] \text{ [kNm]}$ Hinweis: ergibt sich aus ΣM um Stützenkante (linke Stützenkante wenn Stütze auf rechter Seite) gilt nicht bei klaffender Fuge</p>	<p>$\sigma_{1,d}$: [kN/m²] Spannung am linken Fundamentrand $\sigma_{2,d}$: [kN/m²] Spannung am rechten Fundamentrand $\sigma_{w,d}$: [kN/m²] Spannung an der Stützenkante $\sigma_{m,d}$: [kN/m²] Spannung in Fundamentachse; siehe o. b_1: [m] Fundamentüberstand auf der linken Seite b_y: [m] Breite des Fundamentes quer zu exzentrisch belasteter Richtung</p>
4.) kd-Verfahren	
$k_d = \frac{d_m}{\sqrt{\frac{\alpha \cdot M_d}{b}}}$ $A_s = k_s \cdot \frac{M_d}{d_m} \text{ [cm}^2\text{]}$ <p>Hinweis: die Biegezugbewehrung ist wie bei einer Rahmenecke an die Zugbewehrung des Fundamentes anzuschließen.</p>	<p>d_m: [cm] statische Nutzhöhe des Fundamentes $d_m = 0,5 \cdot (d_x + d_y)$ [cm] M_d: [kNm] bei unterschiedlichen Momenten ist das größere Moment maßgebend b: [m] $\alpha \approx 1,5$ bis <u>2,0</u></p>

5.) Endverankerung s. DIN EN 1992-1-1, 9.8.2.2

Die zu verankernde Zugkraft beträgt:

$$F_s = R \cdot \frac{z_e}{z_i}$$

Falls die Verankerungslänge l_b in Bild 9.13 nicht ausreicht, muss der Zugstab nach oben abgebogen werden.

Wenn Aufbiegung erf.:

$L_{\text{Aufbieg.}} \geq 9 \cdot \varnothing$ ($5 \cdot \varnothing + 4 \cdot \varnothing$) für $\varnothing < 25\text{mm}$

$L_{\text{Aufbieg.}} \geq 12 \cdot \varnothing$ ($5 \cdot \varnothing + 7 \cdot \varnothing$) für $\varnothing \geq 25\text{mm}$

F_s : Zugkraft in der Bewehrung am Fundamentende, [F_s] = kN

z_e : äußere Hebelarm = Abstand zw. R und N_{Ed} , [z_e] = m

z_i : innere Hebelarm, vereinfacht: $z_i = 0,9 \cdot d$, [z_i] = m

x : Mindestwert, s. Bild 9.13, [x] = m

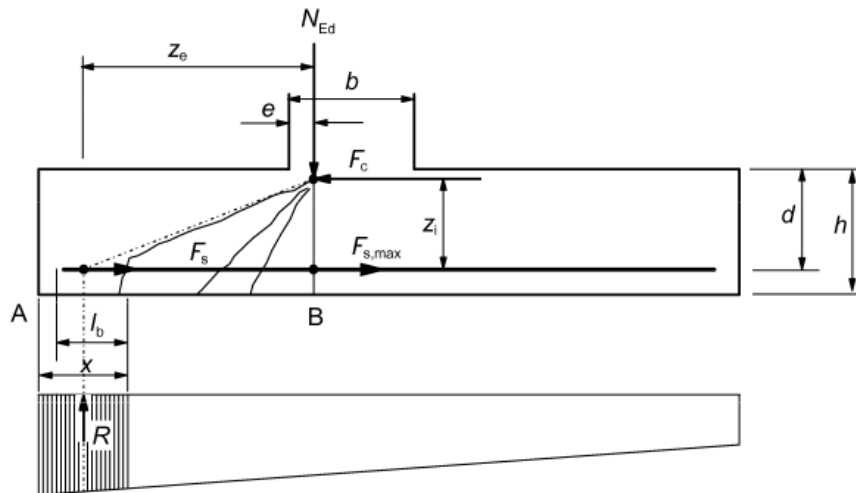


Bild 9.13 — Modell der Zugkraft unter Berücksichtigung geneigter Risse

13.6 Durchstanzbemessung bei Einzelfundamenten

1.) Lage des kritischen Rundschnittes	
$\lambda_f = \frac{a_\lambda}{d_{\text{eff}}} \quad []$ <p>$\lambda_f > 2,0$ (schlankes Fundament) → kritischer Rundschnitt im Abstand $a_{\text{crit.}} = 1,0 \cdot d$.</p> <p>$\lambda_f < 2,0$ (gedrungenes Fundament) → Lage des kritischen Rundschnittes iterativ ermitteln! → Die Ausnutzungsgrade $v_{\text{Ed}}/v_{\text{Rd,c}}$ von unterschiedlichen Abständen ermitteln. Maßgebend ist der höchste Ausnutzungsgrad!</p>	a_λ : [m] Abstand zwischen Stützen- und Fundamentkante d_{eff} : [m] mittlere Nutzhöhe der Platte $d_{\text{eff}} = (d_y + d_x)/2$
2.) Rundschnitte	
<p>Rechteckstütze $a/b \leq 2,0$ und $u_0 \leq 12 \cdot d_{\text{eff}}$: $u_0 = 2 \cdot (b_y + b_z) \quad [m]$ $u_{1,0 \cdot d} = 2 \cdot (b_y + b_z) + 1,0 \cdot d_{\text{eff}} \cdot 2 \cdot \pi \quad [m]$</p> <p>Rundstütze $u_0 \leq 12 \cdot d$: $u_0 = \pi \cdot d_{\text{Stütze}} \quad [m]$ $u_{1,0 \cdot d} = 2 \cdot \pi \cdot (1,0 \cdot d_{\text{eff}} + 0,5 \cdot d_{\text{Stütze}}) \quad [m]$</p>	d_{eff} : [m] mittlere Nutzhöhe der Platte $d_{\text{eff}} = (d_y + d_x)/2$ a : [m] Querschnittsabmessung der Rechteckstütze b : [m] Querschnittsabmessung der Rechteckstütze u_0 : [m] Umfang der Stütze $d_{\text{Stütze}}$: [m] Durchmesser der Stütze Hinweis: $U_{\text{Kreis}} = 2 \cdot \pi \cdot r$
3.) Fläche des kritischen Rundschnittes	
<p>Rechteckstütze $a/b \leq 2,0$ und $u_0 \leq 12 \cdot d_{\text{eff}}$: $A_{\text{crit,i}} = C_x \cdot C_y + 2 \cdot (C_x + C_y) \cdot a_i + \pi \cdot a_i^2 \quad [m^2]$</p> <p>Rundstütze $u_0 \leq 12 \cdot d$: $A_{\text{crit,i}} = \pi \cdot a_i^2 \quad [m^2]$</p>	a_i : [m] Abstand des kritischen Rundschnittes vom Stützenrand. (z.B. $1,0 \cdot d_{\text{eff}}$)
4.) Ermittlung der Einwirkung	
$V_{\text{Ed,red}} = V_{\text{Ed}} - \sigma_0 \cdot A_{\text{crit,i}} \cdot x \quad (\text{MN})$ <p>Hinweis: Bei Fundamenten darf die einwirkende Stützenkraft aufgrund der günstig wirkenden Bodenpressung, innerhalb der kritischen Fläche, reduziert werden.</p>	V_{Ed} : Stützennormalkraft, $[V_{\text{Ed}}] = \text{MN}$ σ_0 : Sohldruck, $\sigma_0 = V_{\text{Ed}}/A$, $[\sigma_0] = \text{MN/m}^2$ A : Aufstandsfläche des Fundamentes, $[A] = \text{m}^2$ $A_{\text{crit,i}}$: Fläche innerhalb des kritischen Rundschnittes; siehe oben Bei erf. Bewehrung: $A_{\text{crit,i}} =$ Fundamentfläche innerhalb der betrachteten Bewehrungsreihe, $[A_{\text{crit,i}}] = \text{m}^2$ x : Reduktionsfaktor, Rundschnitt bei $1,0 \cdot d$: $x = 0,5$ (s. DIN EN 1992NCI 6.4.4(2)) Rundschnitt iterativ: $x = 1,0$ (s. DIN EN 1992NCI 6.4.4(2))
Maximal einwirkende Querkraft je Flächeneinheit (s. DIN EN 1992-1-1; Formel 6.38)	
$v_{\text{Ed,i}} = \frac{\beta \cdot V_{\text{Ed,red}}}{u_i \cdot d_{\text{eff}}} \quad [\text{MN/m}^2]$	β : Lasterhöhungsfaktor für mittig belastete Einzelstütze: $\beta = 1,1$ sonst: siehe Durchstanzen bei Platten $V_{\text{Ed,red}}$: [MN] maximal einwirkende Querkraft; siehe oben u_i : [m] Umfang des kritischen Rundschnittes (z.B. im Abstand $1,0 \cdot d_{\text{eff}}$) d_{eff} : [m] mittlere Nutzhöhe der Platte $d_{\text{eff}} = (d_y + d_x)/2$

5.) Ermittlung des Durchstanzwiderstandes

Einfluss der Bauteilhöhe (Maßstabseffekt)

$$k = \min \left\{ \begin{array}{l} 1 + \sqrt{\frac{200}{d_{\text{eff}}}} \quad [] \\ 2 \end{array} \right.$$

d_{eff} : [mm] mittlere Nutzhöhe des Fundamentes
 $d_{\text{eff}} = (d_y + d_x)/2$

Mittlerer Bewehrungsgrad

$$\rho_{l,x} = \frac{a_{s,x}}{d_x \cdot 100} \quad [] \text{ bzw. } \frac{A_x}{d_x \cdot d_{\text{crit}}} \quad []$$

$$\rho_{l,y} = \frac{a_{s,y}}{d_y \cdot 100} \quad [] \text{ bzw. } \frac{A_y}{d_y \cdot d_{\text{crit}}} \quad []$$

$$\rho_l = \min \left\{ \begin{array}{l} \sqrt{\rho_{lx} \cdot \rho_{ly}} \quad [] \\ 0,02 \quad [] \\ 0,5 \cdot \frac{f_{cd}}{f_{yd}} \quad [] \end{array} \right.$$

Notwendiger Bewehrungsgrad damit keine Durchstanzbewehrung erforderlich wird:

$$\rho_l \geq \frac{\left(\frac{V_{Ed}}{C_{Rd,c} \cdot k} \right)^3}{100 \cdot f_{ck}} \quad [] \rightarrow a_{s,x} = a_{s,z} = \rho_l \cdot 100 \cdot d_{\text{eff}}$$

$a_{s,x}$: [cm²/m]

$a_{s,y}$: [cm²/m]

A_x : [cm²] Bewehrung die innerhalb einer Breite $d_{\text{crit},y}$ liegt.

A_y : [cm²] Bewehrung die innerhalb einer Breite $d_{\text{crit},x}$ liegt.

d_x : [cm] statische Nutzhöhe in x-Richtung

d_y : [cm] statische Nutzhöhe in y-Richtung

d_{crit} [cm] Durchmesser des kritischen Rundschnittes

$$d_{\text{crit}} = c + 2 \cdot a_i$$

a_i : [m] Abstand des kritischen Rundschnittes vom Stützenrand.

(z.B. $1,0 \cdot d_{\text{eff}}$)

f_{cd} : [KN/cm²] Bemessungswert der Betondruckfestigkeit

f_{yd} : [KN/cm²] Bemessungswert der Streckgrenze des Betonstahls; $f_{yd} = 43,5 \text{ KN/cm}^2$

Berechnung des Vorwertes $C_{Rd,c}$ (s. DIN EN 1992-1-1-NA; 6.4.4(1))

Bei Fundamenten:

$$C_{Rd,c} = \frac{0,15}{\gamma_c} \quad []$$

γ_c : [] Teilsicherheitsbeiwert für Beton; $\gamma_c = 1,5$

Mindestquerkrafttragfähigkeit

wenn $d_{\text{eff}} \leq 600 \text{ mm} \rightarrow x = 0,0525$

wenn $600 \text{ mm} < d_{\text{eff}} < 800 \text{ mm} \rightarrow \text{Interp.: } x = 0,0975 - 0,075 \cdot d_{\text{eff}}$

wenn $d_{\text{eff}} > 800 \text{ mm} \rightarrow x = 0,0375$

$$V_{\text{min}} = \frac{x}{\gamma_c} \cdot k \cdot \sqrt{k \cdot f_{ck}} \cdot 2 \cdot \frac{d_{\text{eff}}}{a_i} \quad [\text{MN/m}^2]$$

in [m]

a_i : [m] Abstand des betrachteten kritischen Rundschnittes vom Stützenrand. (z.B. $1,0 \cdot d_{\text{eff}}$)

d_{eff} : [mm] mittlere Nutzhöhe des Fundamentes

$$d_{\text{eff}} = (d_y + d_x)/2$$

γ_c : [] Teilsicherheitsbeiwert für Beton; $\gamma_c = 1,5$

k : [] Faktor für den Einfluss der Bauteilhöhe; siehe oben

f_{ck} : [N/mm²] charakteristische Zylinderdruckfestigkeit von Beton

Durchstanzwiderstand ohne Durchstanzbewehrung (s. DIN EN 1992-1-1; 6.4.4(2))

$$V_{Rd,c} = C_{Rd,c} \cdot k \cdot \sqrt[3]{100 \cdot \rho_l \cdot f_{ck}} \cdot 2 \cdot \frac{d_{\text{eff}}}{a_i} \quad [\text{MN/m}^2]$$

$$\text{maß. } V_{Rd,c} = \max \left\{ \begin{array}{l} V_{Rd,c} \quad [\text{MN/m}^2] \\ V_{\text{min}} \quad [\text{MN/m}^2] \end{array} \right.$$

f_{ck} : [N/mm²] charakteristische Zylinderdruckfestigkeit von Beton

k : [] Faktor für den Einfluss der Bauteilhöhe; siehe oben

b_w : [cm] kleinste Querschnittsbreite in der Zugzone

bei Streifenfundament: $b = 100 \text{ cm}$

a_i : [m] Abstand des betrachteten kritischen Rundschnittes vom Stützenrand. (z.B. $1,0 \cdot d_{\text{eff}}$)

d_{eff} : [mm] mittlere Nutzhöhe des Fundamentes

$$d_{\text{eff}} = (d_y + d_x)/2$$

6.) Nachweis

$V_{Ed} \leq V_{Rd,c} \rightarrow$ für den betrachteten Rundschnitt (z.B. $1,0 \cdot d$) ist keine Durchstanzbewehrung erforderlich.

$V_{Ed} > V_{Rd,c} \rightarrow$ Fundamentdicke vergrößern

\rightarrow Betongüte erhöhen

\rightarrow Biegezugbewehrung erhöhen (erf. $\rho_l \rightarrow$ siehe oben)

\rightarrow Stützenabmessung vergrößern (nicht üblich)

\rightarrow Durchstanzbewehrung anordnen (üblich)

V_{Ed} : [MN/m²] maximal einwirkende Querkraft; siehe oben

$V_{Rd,c}$: [MN/m²] Durchstanzwiderstand ohne Durchstanzbewehrung

7.) Nachweis der Druckstrebe

$$V_{Rd,max} = 1,4 \cdot V_{Rd,c} \quad [\text{MN/m}^2]$$

$V_{Rd,max} \geq V_{Ed,u1} \rightarrow$ Druckstrebe versagt nicht

$V_{Rd,max} < V_{Ed,u1} \rightarrow$ auch eine Durchstanzbewehrung kann die Durchstanztragfähigkeit nicht erhöhen.

$V_{Rd,c}$ [MN/m²] Durchstanzwiderstand ohne Durchstanzbewehrung

σ_{cp} muss bei der Ermittlung von $V_{Rd,c} = 0$ gesetzt werden!

8.) Bemessung der Durchstanzbewehrung

wirksamer Bemessungswert der Streckgrenze der Durchstanzbewehrung

$$f_{ywd,ef} = \min \begin{cases} 250 + 0,25 \cdot d_{eff} \text{ [N/mm}^2\text{]} \\ f_{ywd} \text{ [N/mm}^2\text{]} \end{cases} \quad \begin{array}{l} d_{eff}: \text{ [mm] mittlere Nutzhöhe der Platte; } d_{eff} = (d_y + d_x)/2 \\ f_{ywd}: \text{ [N/mm}^2\text{] Bemessungswert der Streckgrenze der Querkraftbewehrung; } f_{ywd} = 435 \text{ N/mm}^2 \end{array}$$

Abstände der Bewehrungsreihen

Es sind mindestens 2 Bewehrungsreihen innerhalb u_{out} anzuordnen!

s_r kann unter Berücksichtigung der folgenden Vorgaben gewählt werden.

Bei gedrungenden Fundamenten:

$$s_{r,1} = 0,3 \cdot d_{eff} \text{ [cm]}$$

$$s_{r,1} + s_{r,2} = 0,8 \cdot d_{eff} \text{ [cm]}$$

$$s_{r,2} = s_{r,3} \leq 0,5 \cdot d_{eff} \text{ [cm]}$$

d_{eff} : [cm] mittlere Nutzhöhe der Platte; $d_{eff} = (d_y + d_x)/2$

$s_{r,max}$: [cm] maximaler Abstand zwischen den Bewehrungsreihen
 $s_{r,out}$: [cm] Abstand zwischen der äußersten Bewehrungsreihe und dem kritischen Rundschnitt u_{out}

$s_{r,1}$: [cm] Abstand der ersten Bewehrungsreihe zum Stützenrand

$s_{r,2}$: [cm] Abstand zwischen erster und zweiter Bewehrungsreihe

$s_{r,2}$: [cm] Abstand zwischen der zweiten und dritten Bewehrungsreihe

Bewehrungsmenge der ersten beiden Bewehrungsreihen

Bei Bügelbewehrung:

$$A_{sw,1+2} = \frac{\beta \cdot V_{Ed,red}}{f_{ywd,ef}} \text{ [cm}^2\text{]}$$

Bei aufgebogener Bewehrung:

$$A_{sw,1+2} = \frac{\beta \cdot V_{Ed,red}}{1,3 \cdot f_{ywd} \cdot \sin \alpha} \text{ [cm}^2\text{]}$$

$$A_{sw,1} = A_{sw,2} = 0,5 \cdot A_{sw,1+2} \text{ [cm}^2\text{]}$$

$A_{sw,1+2}$: [cm²] Bewehrungsmenge der ersten beiden Bewehrungsreihen

β : [] Lasterhöhungsfaktor; siehe oben

$f_{ywd,ef}$: [N/mm²] wirksamer Bemessungswert der Streckgrenze der Durchstanzbew.; siehe oben

f_{ywd} : [N/mm²] Bemessungswert der Streckgrenze der Durchstanzbew.; siehe oben

α : [°] Winkel zwischen Durchstanzbewehrung und Plattenebene

für Regelfall $\alpha = 90^\circ$: $\sin \alpha = 1,0$

$V_{Ed,red}$: [MN] reduzierte Querkraft; siehe oben

Stabdurchmesser

Maximaler Stabdurchmesser:

Bügel: $\varnothing_{sw} \leq 0,05 \cdot d_{eff}$

Schrägaufbiegung: $\varnothing_{sw} \leq 0,08 \cdot d_{eff}$

d_{eff} : [cm] mittlere Nutzhöhe der Platte; $d_{eff} = (d_y + d_x)/2$

Sonstiges

Die Biegebewehrung muss hinter dem äußeren Rundschnitt verankert werden.

13.7 Bemessung Stiefelfundament

1.) Allgemein:

Annahme einer gleichmäßigen Verteilung der Bodenpressungen

2.) Belastung

$$n_d = 1,35 \cdot n_{g,k} + 1,5 \cdot n_{q,k}$$

oder wenn nur eine Last n_k gegeben ist: $n_d = 1,35 \cdot n_{g,k} \cdot \frac{2}{3} + 1,5 \cdot n_{q,k} \cdot \frac{1}{3}$

3.) Spannungsermittlung:

$$\sigma_d = \frac{n_d}{A} \text{ [KN /m}^2\text{]}$$

n_d : [KN/m]
 A : [m²/m] Aufstandsfläche des Fundamentes

4.) Biegebemessung des Fundamentes

Bemessungswert:

$$m_{Ed} = \frac{\sigma_d \cdot a^2}{2} \text{ [KNm/m]}$$

σ_d : [KN/m²]
 a : [m] siehe Skizze
 b : [m]

k_d -Verfahren

$$k_d = \frac{d}{\sqrt{m_{Ed}}} \text{ []}$$

k_s -Wert ablesen $\rightarrow a_s = k_s \cdot \frac{m_{Ed}}{d} \text{ [cm}^2\text{/m]}$

d : [cm]
 m_{Ed} : [KNm/m]

5.) Dimensionierung des Stiefelfundamentes

wenn Höhe gegeben:

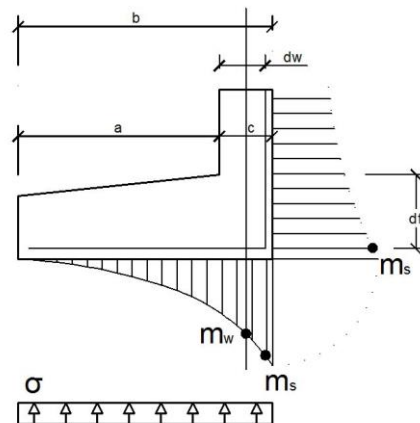
$$\text{erf. } b = \frac{n_k}{\sigma_{zul} - \sigma_{g,Fund.,k}} \text{ [m]}$$

wenn Höhe nicht gegeben:

1. erf. $b \approx \frac{n_k}{\sigma_{zul}} \text{ [m]}$

2. Höhe bestimmen. Dabei soll a/h kleiner als 2 sein

3. $\sigma_{g,Fund.,k} = h \cdot 25 \text{ [KN/m}^2\text{]}$



6.) Bemessung der Wandbewehrung

Biegemomente

Moment bezogen auf Wandmitte:

$$m_{wd} = \sigma_d \cdot b \cdot \left(\frac{b}{2} - \frac{h_w}{2} \right) \text{ [KNm/m]}$$

d_w : [m] statische Nutzhöhe der Wand
 h_w : [m] Wanddicke

Moment bezogen auf die äußere Wandbewehrung:

$$m_{sd} = m_{wd} + |n_{wd}| \cdot \left(d_w - \frac{h_w}{2} \right) \text{ [KNm/m]}$$

k_d -Verfahren

$$k_d = \frac{d_w}{\sqrt{m_{sd}}}$$

k_s -Wert ablesen $\rightarrow a_s = k_s \cdot \frac{m_{sd}}{d_w} - \frac{|n_{w,d}|}{f_{y,d}} \text{ [cm}^2\text{/m]}$

d_w : [cm] statische Nutzhöhe der Wand
 m_{sd} in [KNm/m]
 $f_{y,d}$: [KN/m²] = 43,5

7.) Querkraftbemessung Stiefelfundament

Bemessungswert:

$$V_{Ed,red} = \sigma_d \cdot (a - d) \text{ [MN/m]}$$

σ_d : [MN/m²] Bodenpressung aus Wandlast; siehe Biegebemessung
 a : [m] Überstand des Fundamentes
 d : [m] statische Nutzhöhe des Fundamentes

Einfluss der Bauteilhöhe:

$$k = \min \left\{ \begin{array}{l} 1 + \sqrt{\frac{200}{d}} \\ 2 \end{array} \right.$$

d : [mm] statische Nutzhöhe des Streifenfundamentes

Längsbewehrungsgrad:

$$\rho_l = \frac{a_{sl}}{b_w \cdot d} \leq 0,02$$

Wenn a_{sl} gesucht wird um keine Querkraftbew. Anzuordnen:

$$\rho_l = \left(\frac{V_{Ed,red}}{V_{Rd,ct}} \right)^3 \cdot \rho_{l,vorh}$$

$$A_{sl} = \rho_l \cdot b_w \cdot d \text{ [cm}^2\text{]}$$

a_{sl} : [cm²/m] Hauptbewehrung (quer zum Streifenfundament)
 b_w : [cm] kleinste Querschnittsbreite in der Zugzone
 bei Streifenfundament: $b = 100\text{cm}$
 d : [cm] statische Nutzhöhe des Streifenfundamentes

Querkraftwiderstand (s. DIN EN 1992-1-1; 6.2.2)

Beiwert x

wenn $d \leq 600\text{mm} \rightarrow x = 0,0525$
 wenn $600\text{mm} < d < 800\text{mm} \rightarrow$ Interpolation: $x = 0,0975 - 0,075 \cdot d_{vorh}$
 wenn $d > 800\text{mm} \rightarrow x = 0,0375$

d : [m] statische Nutzhöhe des Streifenfundamentes

Grundwert der Querkrafttragfähigkeit

$$V_{Rd,c} = \left[\frac{0,15}{\gamma_c} \cdot k \cdot \sqrt[3]{100 \cdot \rho_l \cdot f_{ck}} - 0,12 \cdot \sigma_{cp} \right] \cdot b_w \cdot d \text{ [MN/m]}$$

γ_c : [] Sicherheitsbeiwert = 1,5
 k : [] Einfluss der Bauteilhöhe; siehe oben
 f_{ck} : [N/mm²] Betondruckfestigkeit
 σ_{cp} : [N/mm²] Zugspannung im Beton (i.d.R. = 0)
 Betonzugspannungen sind negativ einzusetzen.
 b_w : [m/m] kleinste Querschnittsbreite in der Zugzone
 bei Stiefelfundament: $b_w = 1,0\text{m}$
 d : [m] statische Nutzhöhe des Stiefelfundamentes

Mindestwert der Querkrafttragfähigkeit

$$v_{min} = \frac{x}{\gamma_c} \cdot k \cdot \sqrt{k \cdot f_{ck}} \text{ [MN/m}^2\text{]}$$

$$V_{Rd,c,min} = (v_{min} + k_1 \cdot \sigma_{cp}) \cdot b_w \cdot d \text{ [MN/m]}$$

γ_c : [] Sicherheitsbeiwert = 1,5
 k : [] Einfluss der Bauteilhöhe; siehe oben
 f_{ck} : [N/mm²] Betondruckfestigkeit
 b_w : [m/m] kleinste Querschnittsbreite in der Zugzone
 bei Stiefelfundament: $b_w = 1,0\text{m}$
 d : [m] statische Nutzhöhe des Stiefelfundamentes
 v_{min} : [MN/m²]
 k_1 : [] = 0,12

Maßgebende Querkrafttragfähigkeit

$$\text{maß } V_{Rd,c} = \max \left\{ \begin{array}{l} V_{Rd,c} \text{ [MN/m]} \\ V_{Rd,c,min} \text{ [MN/m]} \end{array} \right.$$

Nachweis

$V_{Ed,red} \leq \text{maß } V_{Rd,c} \rightarrow$ keine Querkraftbewehrung erforderlich
 $V_{Ed,red} > \text{maß } V_{Rd,c} \rightarrow$ Querkraftbewehrung erforderlich. Weiter mit ??

8.) Konstruktive Regelungen

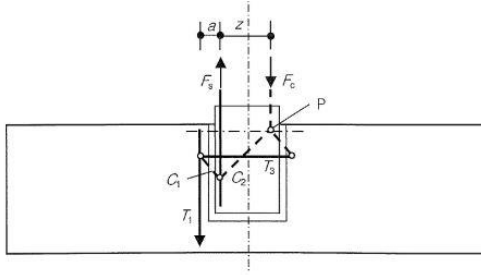
die Biegebewehrung in Hauptrichtung liegt quer zum Stiefelfundament und muss auf der auskragenden Seite mit Winkelhaken verankert werden.

Die Verbindung zwischen Wand und Fundament muss biegesteif ausgeführt werden, weil nur in diesem Fall konstante Spannungen angenommen werden können.

Maximalabstand der Hauptbewehrung: $s_h \leq 25\text{cm}$
 Längsbewehrung: $a_{sl} = 0,2 \cdot a_{sh} \text{ [cm}^2\text{/m]}$

a_{sl} : [cm²/m] Längsbewehrung in Richtung des Streifenfundamentes
 a_{sh} : [cm²/m] Hauptbewehrung quer zum Streifenfundament

13.8 Bemessung Köcherfundament



Versatz Bewehrung: $a = d_1 + t_f + c_{\text{nom}} + \phi / 2$
 $= 50 + 75 + 35 + 12 / 2 = 170 \text{ mm}$

Innerer Hebelarm z : $z \approx 0,9d = 0,9(h - d_1) \geq z_s = h - 2d_1$
 $z = 0,9(400 - 50) > 400 - 2 \cdot 50$
 $= 315 \text{ mm} > 300 \text{ mm}$

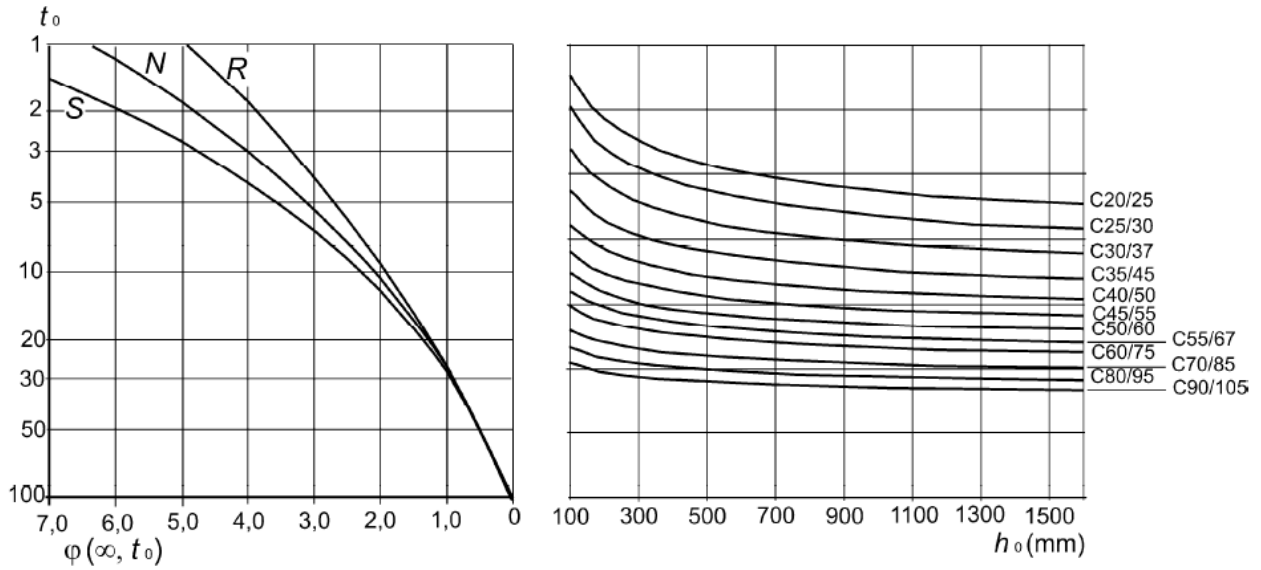
Stützenzugkraft: $F_s = \text{erf } A_{s,F} \cdot f_{yd} = 7,36 \cdot 10^{-4} \cdot 435 = 0,320 \text{ MN}$

Gleichgewicht: $T_1 = F_s \cdot z / (a + z)$
 $= 0,320 \cdot 315 / (170 + 315)$
 $= 0,208 \text{ MN}$

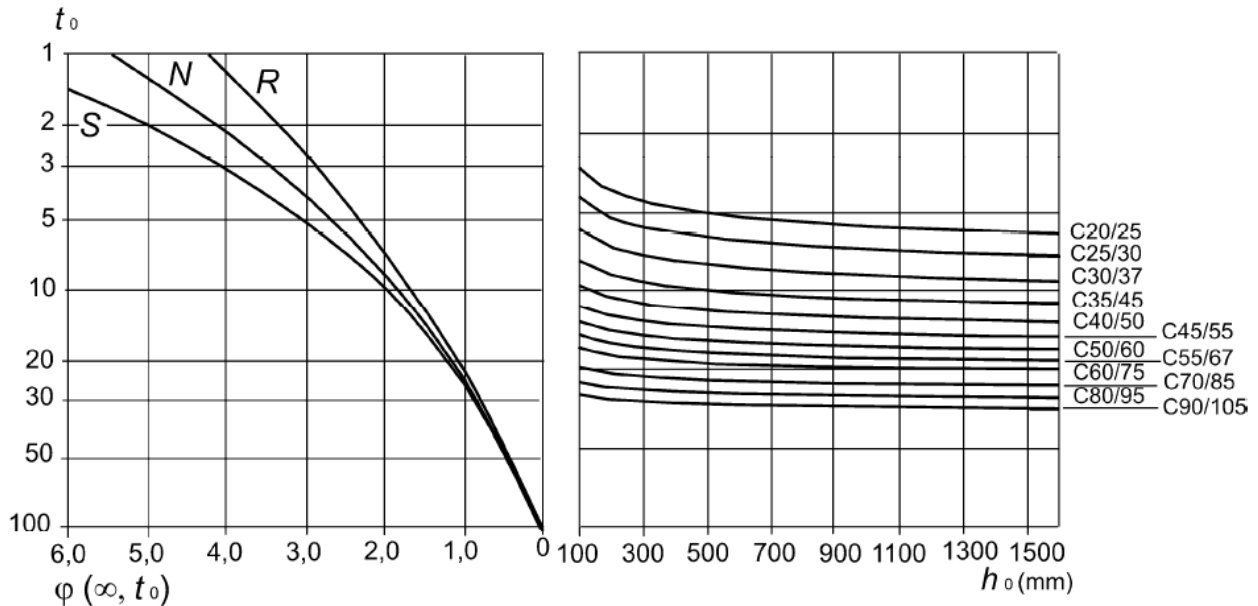
Abbildung 36: Blockfundament [12]

14 Ermittlung der Kriechzahl

1.) Ermittlung Kriechzahl φ_t - grafisch



a) trockene Innenräume, relative Luftfeuchte = 50%



b) Außenluft, relative Luftfeuchte = 80%

Bild 3.1 — Methode zur Bestimmung der Kriechzahl $\varphi(\infty, t_0)$ für Beton bei normalen Umgebungsbedingungen

h_0 : [mm] wirksame Querschnittsdicke = $\frac{2 \cdot A_c}{u} \cdot 10$

A_c : [cm²] Betonquerschnittsfläche

u : [cm] Umfang der dem trocknen ausgesetzten Querschnittsfläche = $2 \cdot b_{\text{eff}} + 2 \cdot h_{\text{pl}}$

Klasse R: CEM 42,5R, CEM 52,5N, CEM 52,5R

Klasse N: CEM 32,5R, CEM 42,5N

Klasse S: CEM 32,5N

Hinweise:

- Die Kriechzahlen müssen für jeden Lastfall separat ermittelt werden.
- Für Verkehrslasten braucht keine Kriechzahl ermittelt zu werden, da nur kurzzeitige Belastung.
- Beim Schwinden ist das Alter bei Belastungsbeginn in der Regel mit einem Tag anzunehmen. (DIN EN 1994-1-1/5.4.2.2(4))
- Belastungsbeginn bei Ausbaulast i.d.R. $t_0 = 28$ Tage.
- Bei Verwendung eines Profilbleches kann die Unterseite des Betons nicht austrocknen. $u = b_{\text{eff}} + 2 \cdot h_{\text{pl}}$

2.) Ermittlung der Kriechzahl - analytisch													
Wirksame Bauteilhöhe													
$h_0 = \frac{2 \cdot A_c}{u} \cdot 10 \text{ [mm]}$	A_c : [cm ²] Betonquerschnittsfläche = $b_{\text{eff}} \cdot h_{\text{pl}}$ u : [cm] Umfang der dem trocknen ausgesetzten Querschnittsfläche = $2 \cdot b_{\text{eff}} + 2 \cdot h_{\text{pl}}$												
Beiwerte zur Berücksichtigung des Einflusses der Betondruckfestigkeit													
wenn $f_{\text{cm}} > 35 \text{ N/mm}^2$: $\alpha_1 = \left[\frac{35}{f_{\text{cm}}} \right]^{0,7}$ $\alpha_2 = \left[\frac{35}{f_{\text{cm}}} \right]^{0,2}$ $\alpha_3 = \left[\frac{35}{f_{\text{cm}}} \right]^{0,5}$ wenn $f_{\text{cm}} \leq 35 \text{ N/mm}^2$: $\alpha_1 = 1,0$ $\alpha_2 = 1,0$ $\alpha_3 = 1,0$	f_{cm} : [N/mm ²] mittlere Zylinderdruckfestigkeit des Betons nach 28 Tagen = $f_{\text{ck}} + 8$												
Beiwert zur Berücksichtigung der RH auf die Grundzahl des Kriechens													
$\varphi_{\text{RH}} = \left[1 + \frac{1 - 0,01 \cdot \text{RH}}{0,1 \cdot \sqrt[3]{h_0}} \cdot \alpha_1 \right] \cdot \alpha_2 \text{ []}$	RH: [%] relative Luftfeuchte der Umgebung h_0 : [mm] siehe oben												
Beiwert zur Berücksichtigung der Betondruckfestigkeit auf die Grundzahl des Kriechens													
$\beta(f_{\text{cm}}) = \frac{16,8}{\sqrt{f_{\text{cm}}}} \text{ []}$	f_{cm} : [N/mm ²] mittlere Zylinderdruckfestigkeit des Betons nach 28 Tagen = $f_{\text{ck}} + 8$												
wirksames Betonalter unter Berücksichtigung der Zementart													
$t_{0,\text{eff}} = t_{0,\text{T}} \cdot \left[\frac{9}{2 + (t_{0,\text{T}})^{1,2}} + 1 \right]^\alpha \geq 0,5 \text{ [d]}$ Hinweis: Vereinfacht: $t_{0,\text{eff}} = t_0$	$t_{0,\text{T}}$: [d] der Temperatur angepasste Betonalter bei Belastungsbeginn. → Annahme $d = 1$ α : siehe Tab.												
<table border="1"> <thead> <tr> <th>Zementart</th> <th>Klasse</th> <th>α</th> </tr> </thead> <tbody> <tr> <td>CEM 32,5N</td> <td>S</td> <td>-1</td> </tr> <tr> <td>CEM 32,5R, CEM 42,5N</td> <td>N</td> <td>0</td> </tr> <tr> <td>CEM 42,5R, CEM 52,5N, CEM 52,5R</td> <td>R</td> <td>1</td> </tr> </tbody> </table>	Zementart	Klasse	α	CEM 32,5N	S	-1	CEM 32,5R, CEM 42,5N	N	0	CEM 42,5R, CEM 52,5N, CEM 52,5R	R	1	
Zementart	Klasse	α											
CEM 32,5N	S	-1											
CEM 32,5R, CEM 42,5N	N	0											
CEM 42,5R, CEM 52,5N, CEM 52,5R	R	1											
Beiwert zur Berücksichtigung des Betonalters bei Erstbelastung													
$\beta(t_0) = \frac{1}{0,1 + (t_{0,\text{eff}})^{0,2}} \text{ []}$	$t_{0,\text{eff}}$: [d] siehe oben												
Grundzahl des Kriechens													
$\varphi_0 = \varphi_{\text{RH}} \cdot \beta(f_{\text{cm}}) \cdot \beta(t_0) \text{ []}$													
Beiwert zur Berücksichtigung von RH und h_0													
$t = \infty \rightarrow \beta_{\text{H}} = 0 \rightarrow$ weiter mit Kriechzahl zum Zeitpunkt t $t \neq \infty \rightarrow \beta_{\text{H}} = \min \left\{ \begin{array}{l} 1,5 \cdot [1 + (0,012 \cdot \text{RH})^{18}] \cdot h_0 + 250 \cdot \alpha_3 \\ 1500 \cdot \alpha_3 \end{array} \right.$	RH: [%] rel. Luftfeuchte Außenbauteil: RH = 80 % Innenbauteil: RH = 50% h_0 : [mm] siehe oben α_3 : [] siehe oben												
Beiwert zur Beschreibung der zeitlichen Entwicklung des Kriechens nach Belastungsbeginn													
$t = \infty \rightarrow \beta_{\text{c}}(t, t_0) = 1 \rightarrow$ weiter mit Kriechzahl zum Zeitpunkt t $t \neq \infty \rightarrow \beta_{\text{c}}(t, t_0) = \left[\frac{(t - t_0)}{\beta_{\text{H}} + (t - t_0)} \right]^{0,3}$	t : [d] Betonalter bei dem die Kriechzahl gesucht ist → $t = \infty \approx 70 \text{ Jahre} \approx 30000\text{d}$ t_0 : [d] Betonalter bei Belastungsbeginn → Annahme $t_0 = 1$												
Kriechzahl zum Zeitpunkt t													
$\varphi(t, t_0) = \varphi_0 \cdot \beta_{\text{c}}(t, t_0) \text{ []}$													

15 Ermittlung des Schwindmaßes

1.) Ermittlung des Schwindmaßes - analytisch					
Wirksame Bauteilhöhe					
$h_0 = \frac{2 \cdot A_c}{u} \cdot 10 \text{ [mm]}$			A_c : [cm ²] Betonquerschnittsfläche u : [cm] Umfang der dem trocknen ausgesetzten Querschnittsfläche = $2 \cdot b_{\text{eff}} + 2 \cdot h_{\text{pl}}$		
Beiwert für den Einfluss der Umgebungsfeuchte					
$\beta_{\text{RH}} = 1,55 \cdot [1 - (0,01 \cdot \text{RH})^3]$			RH: [%] rel. Feuchte der Umgebung		
Grundwert des Trocknungsschwindens					
$\epsilon_{\text{cd},0} = 0,85 \cdot [(220 + 110 \cdot \alpha_{\text{ds}1}) \cdot e^{-0,1 \cdot \alpha_{\text{ds}2} \cdot f_{\text{cm}}}] \cdot 10^{-6} \cdot \beta_{\text{RH}} \text{ []}$			$\alpha_{\text{ds}1}$: [] Beiwert → siehe Tabelle $\alpha_{\text{ds}2}$: [] Beiwert → siehe Tabelle f_{cm} : [N/mm ²] = $f_{\text{ck}} + 8$		
Zementart	Klasse	α	$\alpha_{\text{ds}1}$	$\alpha_{\text{ds}2}$	
CEM 32,5N	S	-1	3	0,13	
CEM 32,5R, CEM 42,5N	N	0	4	0,12	
CEM 42,5R, CEM 52,5N, CEM 52,5R	R	1	6	0,11	
Beiwert zur Beschreibung des zeitlichen Verlaufes des Trocknungsschwindens					
$t = \infty$: $\beta_{\text{ds}}(t, t_s) = 1,0$ $t \neq \infty$: $\beta_{\text{ds}}(t, t_s) = \frac{(t - t_s)}{(t - t_s) + 0,04 \cdot \sqrt{(h_0)^3}} \text{ []}$			h_0 : [mm] siehe oben t : [d] Betonalter zum betrachteten Zeitpunkt → $t = \infty \approx 70 \text{ Jahre} \approx 30000\text{d}$ t_s : [d] Betonalter zu Beginn des Trocknungsschwindens. Normalerweise zum Ende der Nachbehandlung. Beim Schwinden ist das Alter bei Belastungsbeginn in der Regel mit einem Tag anzunehmen. (DIN EN 1994-1-1/5.4.2.2)		
Trocknungsschwinddehnung zum Zeitpunkt t					
$\epsilon_{\text{cd}}(t, t_s) = \beta_{\text{ds}}(t, t_s) \cdot k_h \cdot \epsilon_{\text{cd},0} \text{ []}$			k_h : [] Koeffizient, → siehe Tabelle		
h_0	100	200	300	≥ 500	$k_{h,\text{max}}$ = k_h -Wert, der der größeren wirksamen Bauteilhöhe zugeordnet ist. $k_{h,\text{min}}$ = k_h -Wert, der der kleineren wirksamen Bauteilhöhe zugeordnet ist.
k_h	1,0	0,85	0,75	0,7	
Hinweis: Zwischenwerte linear interpolieren $k_h = k_{h,\text{max}} + \frac{h_{0,\text{max}} - h_{0,\text{vorh.}}}{h_{0,\text{max}} - h_{0,\text{min}}} \cdot (k_{h,\text{min}} - k_{h,\text{max}})$					
Beiwert zur Beschreibung des zeitlichen Verlaufes					
$t = \infty$: $\beta_{\text{as}}(t) = 1,0$ $t \neq \infty$: $\beta_{\text{as}}(t) = 1 - e^{-0,2 \cdot \sqrt{t}} \text{ []}$			t : [d] Betonalter bei dem der Schwindbeiwert gesucht ist → $t = \infty \approx 70 \text{ Jahre} \approx 30000\text{d}$		
Autogene Schwinddehnung					
$\epsilon_{\text{ca}}(t) = \beta_{\text{as}}(t) \cdot 2,5 \cdot (f_{\text{ck}} - 10) \cdot 10^{-6} \text{ []}$			α_{as} : siehe Tabelle oben f_{ck} : [N/mm ²]		
Schwinddehnung zum Zeitpunkt t					
$\epsilon_{\text{cs}}(t, t_s) = \epsilon_{\text{ca}}(t) + \epsilon_{\text{cd}}(t, t_s) \text{ []}$					

16 Brandschutz bei Stahlbetonbalken

Prüfung ob Querschnittsfläche in der Zugzone ausreicht (DIN EN 1992-1-2:2010-12, 5.6)

1.) Erforderliche Querschnittsfläche in der Zugzone (DIN EN 1992-1-2:2010-12, 5.6.1(7))

Keine Auswirkung, wenn: $A_c = 2 * b_{min}^2 \text{ (cm}^2\text{)}$ $\rightarrow h_{erf.} = \frac{2 * b_{min}^2}{b_w} \text{ (cm)}$	b_{min} : [cm] Mindestquerschnittsbreite aus Tab. 5.5 bzw. 5.6 b_w : [cm] vorhandene Querschnittsbreite
---	--

2.) Nachweis

$h_{vorh.} \geq h_{erf.} \rightarrow \text{Ok}$ $h_{vorh.} < h_{erf.}$ → Öffnung nach oben schieben → Öffnung verkleinern → Achsmaß (Betondeckung) vergrößern	
---	--

3.) Ermittlung erf. Achsmaß a

1.) $b_{min,vorh.} = \sqrt{\frac{h_{vorh.} * b_w}{2}} \text{ (cm)}$ 2.) Ermittlung erf. Achsmaß durch lineare Interpolation: Beispiel für statisch bestimmt gelagerter Balken mit R120, $240\text{mm} < b_{min,vorh.} < 300$: $a_{erf.} = \frac{b_{min,vorh.} - 240}{300 - 240} * (55 - 60) + 60$	$h_{erf.}$: [cm] vorhandene Querschnittshöhe in der Zugzone b_w : [cm] vorhandene Querschnittsbreite
---	--

Technical drawing showing a beam cross-section with handwritten calculations and annotations. The drawing includes dimensions (18, 67, 4, 38, 25) and a handwritten note $b = 85\text{cm}$. Calculations show $h_{erf} = \frac{1800}{60} = 30\text{cm} > 25\text{cm}$, leading to the conclusion that the effective height must be increased to 57.5 cm. A table for linear interpolation is provided: $\begin{matrix} 240 & 270 & 300 \\ 60 & 97.5 & 55 \end{matrix}$. A note indicates $C_{ran} = 40\text{mm}$. The drawing also shows reinforcement details with labels like 'WD-63/8', 'OK = 4 UKRD', and 'OK = 4 UKRD'. A red stamp says 'Ankerhülse siehe Plan 5_NKS_DT_00_XK_0195'. The drawing is labeled 'E03-14' and 'E03-03'.

Tabelle 5.5 — Mindestmaße und -achsabstände für statisch bestimmt gelagerte Balken aus Stahlbeton und Spannbeton

Feuerwiderstandsklasse	Mindestmaße (mm)						
	Mögliche Kombinationen von a und b_{min} , dabei ist a der mittlere Achsabstand und b_{min} die Mindestbalkenbreite				Stegdicke b_w		
					Klasse WA	Klasse WB	Klasse WC
1	2	3	4	5	6	7	8
R 30	$b_{min} = 80$ $a = 25$	120 20	160 15*	200 15*	80	80	80
R 60	$b_{min} = 120$ $a = 40$	160 35	200 30	300 25	100	80	100
R 90	$b_{min} = 150$ $a = 55$	200 45	300 40	400 35	110	100	100
R 120	$b_{min} = 200$ $a = 65$	240 60	300 55	500 50	130	120	120
R 180	$b_{min} = 240$ $a = 80$	300 70	400 65	600 60	150	150	140
R 240	$b_{min} = 280$ $a = 90$	350 80	500 75	700 70	170	170	160

$a_{sd} = a + 10\text{mm}$ (siehe Anmerkung unten)

Bei Spannbetonbalken sollte der Achsabstand entsprechend 5.2(5) vergrößert werden.

a_{sd} ist der seitliche Achsabstand der Eckstäbe (bzw. des -spannglieds oder -drahts) in Balken mit nur einer Bewehrungslage. Für größere b_{min} -Werte als die nach Spalte 4 ist eine Vergrößerung von a_{sd} nicht erforderlich.

* Normalerweise reicht die nach EN 1992-1-1 erforderliche Betondeckung aus.

Tabelle 5.6 — Mindestmaße und -achsabstände für statisch unbestimmt gelagerte Balken (Durchlaufbalken) aus Stahlbeton und Spannbeton (siehe auch Tabelle 5.7).

Feuerwiderstandsdauer	Mindestmaße (mm)						
	Mögliche Kombinationen von a und b_{min} , dabei ist a der mittlere Achsabstand und b_{min} die Balkenbreite				Stegdicke b_w		
					Klasse WA	Klasse WB	Klasse WC
1	2	3	4	5	6	7	8
R 30	$b_{min} = 80$ $a = 15^*$	160 12*			80	80	80
R 60	$b_{min} = 120$ $a = 25$	200 12*			100	80	100
R 90	$b_{min} = 150$ $a = 35$	250 25			110	100	100
R 120	$b_{min} = 200$ $a = 45$	300 35	450 35	500 30	130	120	120
R 180	$b_{min} = 240$ $a = 60$	400 50	550 50	600 40	150	150	140
R 240	$b_{min} = 280$ $a = 75$	500 60	650 60	700 50	170	170	160

$a_{sd} = a + 10\text{mm}$ (siehe Anmerkung unten)

Für Spannbetonbalken sollte der Achsabstand entsprechend 5.2 (5) vergrößert werden.

a_{sd} ist der seitliche Achsabstand der Eckstäbe (bzw. des -spannglieds oder -drahts) in Balken mit nur einer Bewehrungslage. Für größere b_{min} -Werte als die nach Spalte 3 ist eine Vergrößerung von a_{sd} nicht erforderlich.

* Normalerweise reicht die nach EN 1992-1-1 erforderliche Betondeckung aus.

17 **Bewehrungskonstruktion**

Im Folgenden werden exemplarische Bewehrungsdetails und Checklisten zur Bewehrungsplanung vorgestellt, die aus meiner beruflichen Praxis stammen.

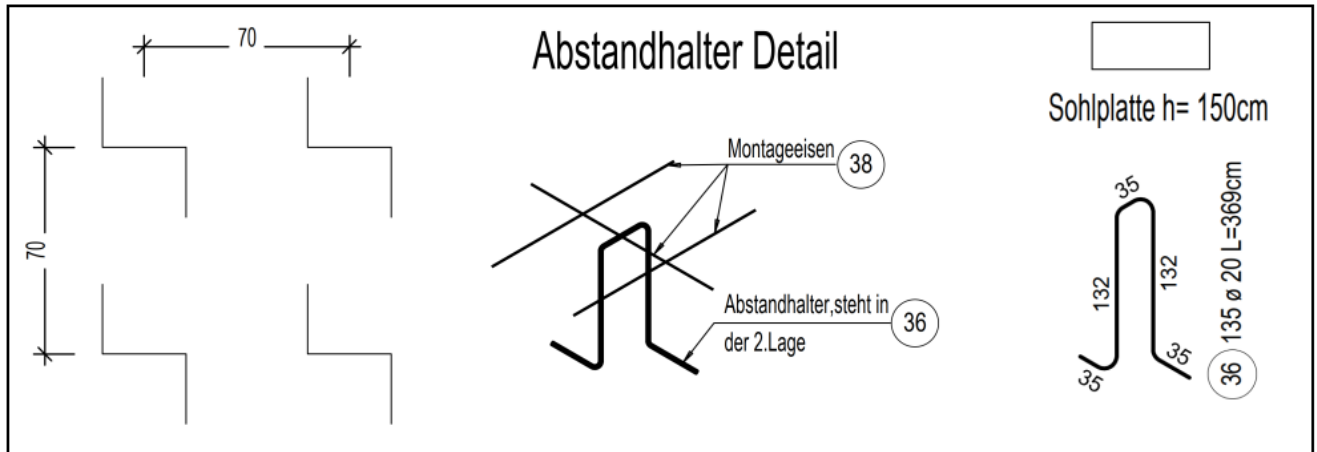
Die Auswahl stellt eine thematisch vielfältige, nicht abschließende Sammlung dar und erhebt keinen Anspruch auf Vollständigkeit. Vielmehr soll sie als Anregung und Unterstützung für die eigene Planungspraxis dienen.

17.1 Checkliste Bodenplatte

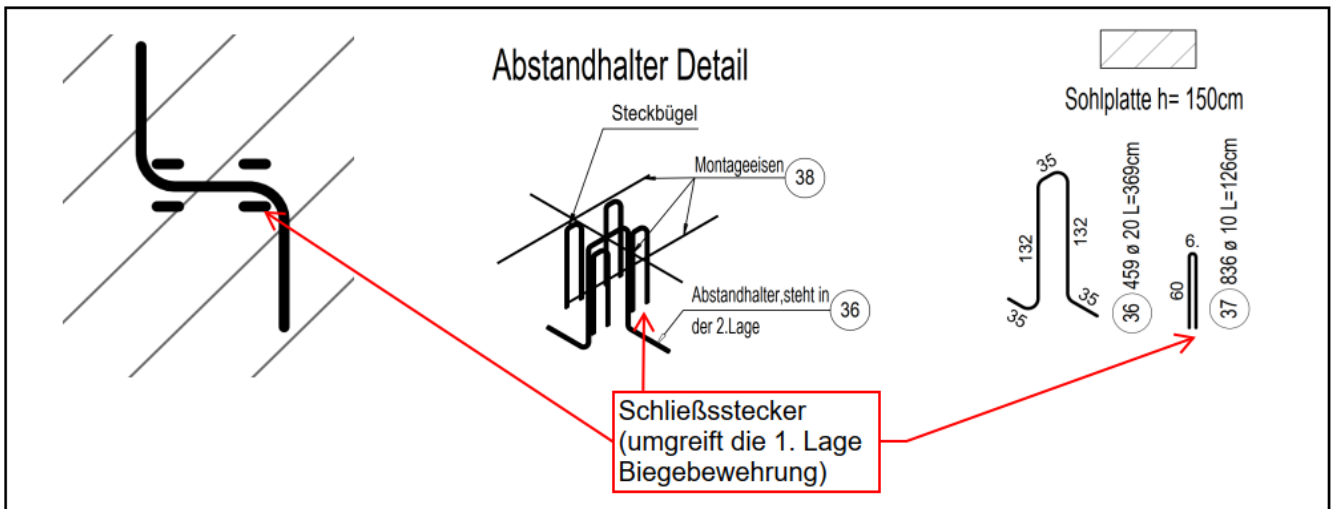
17.1.1 Abstandhalter

- Abstandsböcke erforderlich?
- Montageeisen erforderlich?
- Abstandsböcke als Querkraftzulage ($V_{Ed} \leq 1/3V_{Rd,max}$) ansetzbar?
Hinweis: nach DIN EN 1992-1-1 bzw. Heft 600 können die Unterstüztungen bei Platten mit $h \geq 50\text{cm}$ als Querkraftzulagen ausgeführt werden. Die Schenkel bzw. der Bügel muss auf der Zugseite mindestens in eine Bewehrungslage einbinden.
Mögliche Umsetzung in der Praxis:
 - Bock steht auf der 1. Lage: Schenkel ist in 2. Lage unten.
 - Umgreifung der Zugbewehrung oben durch Schließstecker.

Abstandsböcke ohne rechnerischen Ansatz der Abstandsböcke



Abstandsböcke mit rechnerischem Ansatz der Abstandsböcke



- Schubzulagen erforderlich?
- Dübelleisten erforderlich?
- Zulagebewehrung Biegung zur gewählten Grundbewehrung erforderlich?
- Anschlussbewehrung Wände und Stützen?

17.2 Stützen


17.2.1 Checkliste Stützenbewehrungsplan

- Mindestbewehrungsgrad der Längs- und Querbewehrung eingehalten?
Empfehlung Mindestbewehrung Bügel: D10/15
- Maximaler Bewehrungsgrad (insb. im Stoßbereich) eingehalten?
- Sind Schraubanschlüsse erforderlich?
 - Höhenversatz nebeneinanderliegender Muffen bei Schraubanschluss vorsehen.
- Gibt es Schraubmuffen im darunterliegenden Geschoss?
→ Abgleich der Gewindestäbe im darüberliegenden Geschoss
- Funktioniert die Lastdurchleitung (z.B. bei f_{ck} Decke \ll f_{ck} Stütze)
- Brandschutzanforderungen (insb. bei hochfestem Beton) eingehalten?
- Gibt es am Stützenkopf eine abgewinkelte, überstehende Bewehrung (Kollision mit Schalung)?

17.3 Wände

17.3.1 Checkliste Wandbewehrungsplan

- Sind alle Aussparungen aus dem Schalplan berücksichtigt?
- Konstruktive Regelungen eingehalten?
- Abstandshalter und S-Haken vorhanden, Regelungen dazu eingehalten?

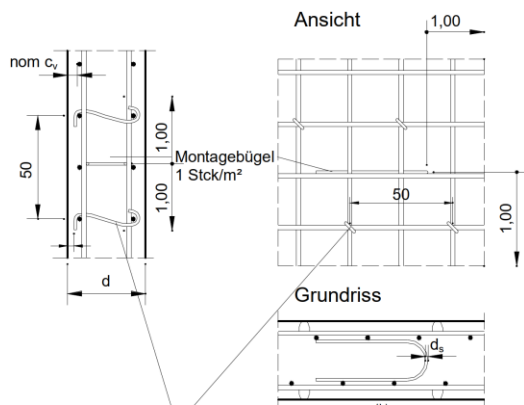


UNIVERSITÄT KAISERSLAUTERN
Massivbau und Baukonstruktion
Prof. Dr.-Ing. Jürgen Schnell

Betonierbarkeit von Betontragwerken

Seite 5 - 5
Stand: 25.06.2003

3.1.2 Wände



S - Haken Ø 6 IV, falls statisch keine größeren Ø erforderlich

Anmerkung:

S - Haken dürfen bei Tragstäben mit $d_s \leq 16$ mm entfallen, wenn $\min c \geq 2 d_s$ (DIN 1045 - 1, Abs. 13.7.1.11). In diesem Fall und stets bei geschweißten Betonstahlmatten dürfen die Stäbe in Druckrichtung außen liegen.

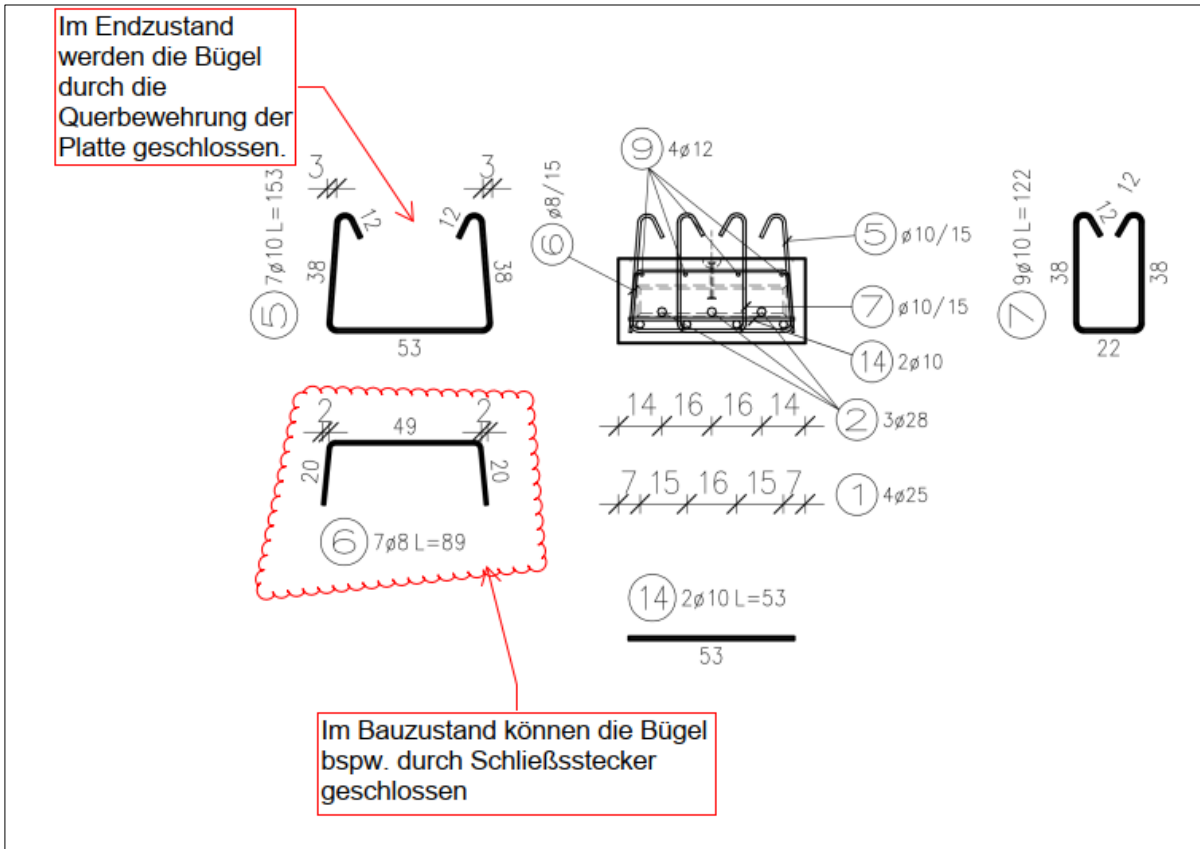
Montagebügel	
Ø ds [mm]	d [cm]
8	bis 25
10	25 - 50
12	50 - 75
14	75 - 100

Abbildung: Auszug „Betonierbarkeit von Betontragwerken“, Dokument der Universität Kaiserslautern

- Stababmessungen (Maximallängen, Einzelgewicht) Ok?
- Montagebewehrung erf. (z.B. bei sehr hohen Wänden)?
- Gibt es eine überstehende Bewehrung?

17.4 Unterzüge

17.4.1 Querkraftbewehrung Fertigteilträger



17.5 Dübelleisten

17.5.1 **Checkliste statische Themen:**

- Entfall der Dübelleisten durch Erhöhung der Betonfestigkeitsklasse oder des Längsbewehrungsgrads möglich?
- Typenbezeichnung auf Bewehrungsplan vorhanden?
- Länge korrekt? Bolzendurchmesser und Anzahl gemäß Statik?
- Bei Gründungen: wurde eine Sohlspannung zur Reduzierung der Durchstanzlast angesetzt? Passt die Sohlspannung zum Baugrundgutachten?
- Bei Gründungen: kann/soll die Dicke der Gründung vergrößert werden, um auf Dübelleisten zu verzichten?

17.5.2 **Checkliste ausführungstechnische Themen:**

- Typenvielfalt: Innerhalb eines Projekts möglichst wenige Typen planen, um Verwechslungen auf der Baustelle zu vermeiden (z.B. gleiche Bolzendurchmesser).
- Bestell-/ Stahlliste auf Plan vorhanden?
- Gibt es eine obere Lage Längsbewehrung als Montagehalterung während der Betonage?

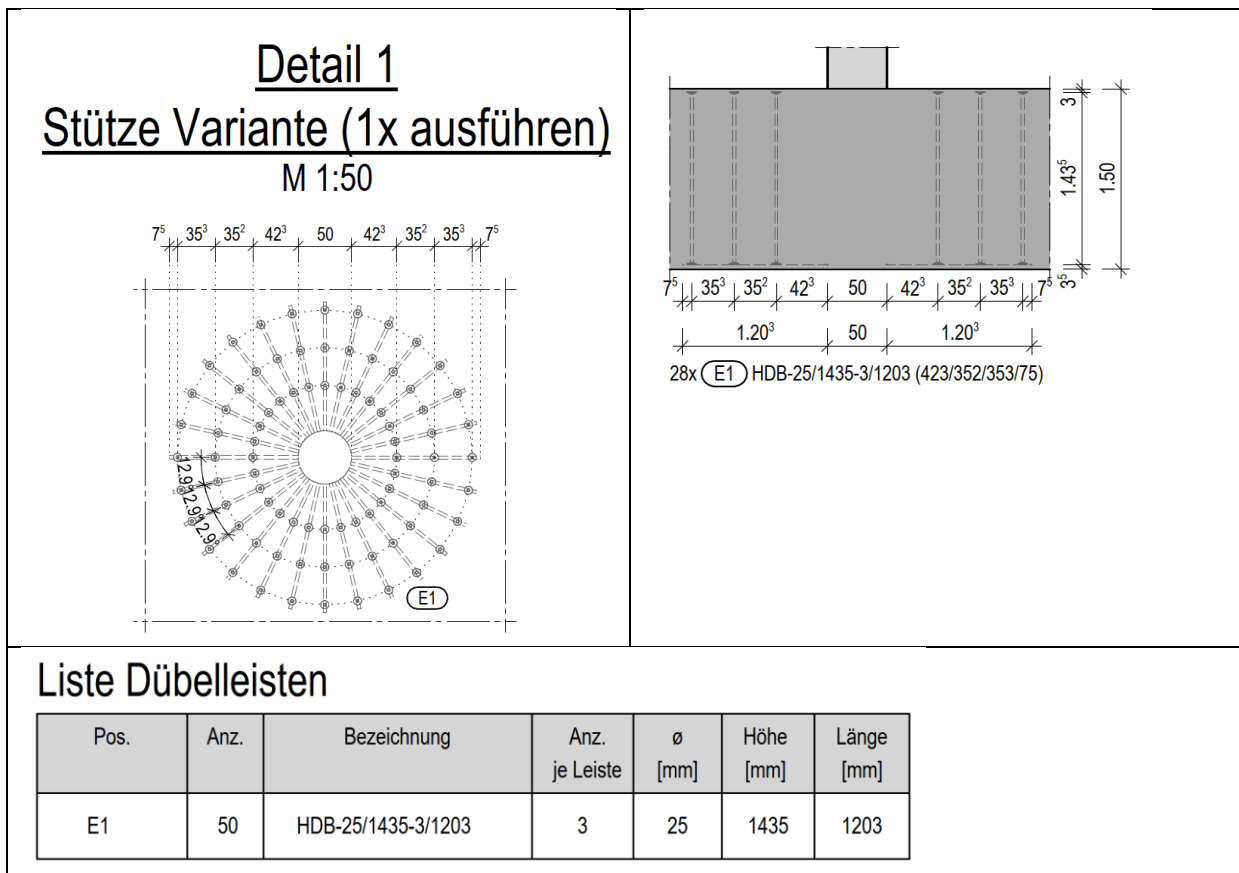
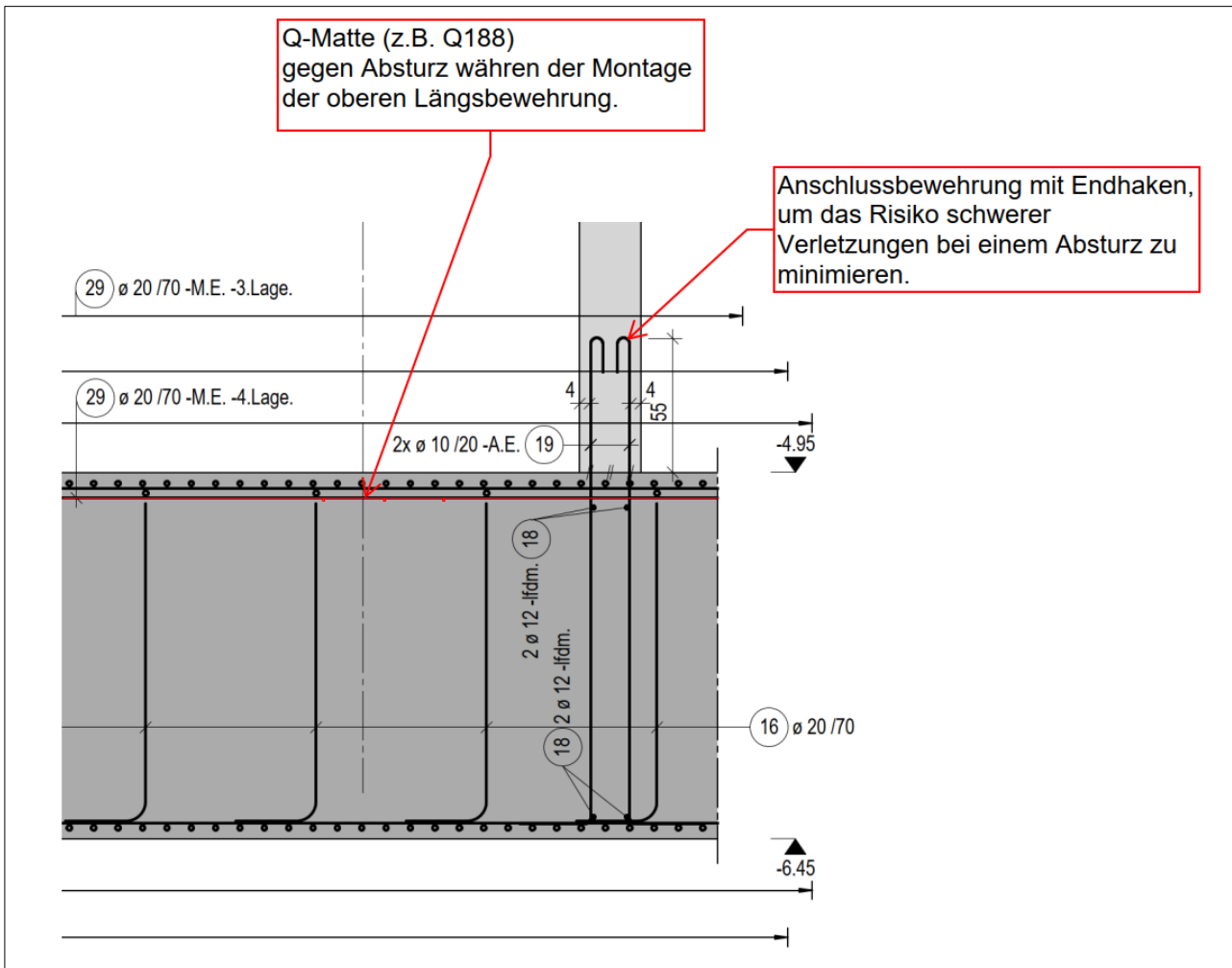


Abbildung: Auszug Bewehrungsplan mit Darstellung der Dübelleisten bei einer Bodenplatte

17.6 Arbeitssicherheit



17.7 Transport

Grundsätzlich sollten die Transportmaße, die zwischen der Baustelle und dem Lieferanten vertraglich vereinbart sind, eingehalten werden.

Maximale Transportbreite: i.d.R. 2,20m einhalten (bis 2,4m mit Standardtransport möglich)

Maximale Transportlänge: i.d.R. 14m einhalten (bis 15m mit Standardtransport möglich)

17.7.1 **Beispiele:**

L-Schenkel <2,4m x 12m, Standardtransport möglich

L-Schenkel >2,4m x 12m, Transport mit Innenlader möglich (Mehrkosten!)



Abbildung: Innenlader mit L-Schenkel 6,0m x 2,65m (z.B. für Tunnelwand)